

LA PESQUERÍA ATUNERA EN EL OCÉANO PACÍFICO ORIENTAL EN 2022

A.	La pesquería de atunes y peces picudos en el Océano Pacífico oriental.....	3
B.	Atún aleta amarilla	49
C.	Atún barrilete	65
D.	Atún patudo	70
E.	Atún aleta azul del Pacífico	85
F.	Atún albacora	90
G.	Pez espada.....	97
H.	Marlín azul.....	103
I.	Marlín rayado.....	104
J.	Pez vela.....	106
K.	Tiburón sedoso.....	109
L.	Consideraciones ecosistémicas.....	114

El presente informe contiene un resumen de las capturas y esfuerzo en 2022 de la pesquería atunera en el Océano Pacífico oriental (OPO), de cuya ordenación la Comisión Interamericana del Atún Tropical (CIAT) es responsable. Se basa en datos disponibles al personal de la CIAT en marzo de 2023; por lo tanto, algunos de los datos de 2021 y 2022 son incompletos, y se deben considerar preliminares todos los datos de 2020, 2021 y 2022. Cualquier cambio en las estadísticas de pesca proporcionadas en este informe para los años anteriores a 2020 se debe a las actualizaciones de datos notificadas por los CPC.

Se expresan los pesos de capturas y descartes en toneladas métricas (t). En las tablas, 0 significa ningún esfuerzo o una captura de menos de 0.5 t; - significa que no se tomaron datos; * significa datos faltantes o no disponibles. Se usan las siguientes siglas:

Especies:		Artes de pesca:	
ALB	Atún albacora (<i>Thunnus alalunga</i>)	FPN	Almadraba
BET	Atún patudo (<i>Thunnus obesus</i>)	GN	Red agallera
BIL	Peces picudos istiofóridos no identificados	HAR	Arpón
BKJ	Atún barrilete negro (<i>Euthynnus lineatus</i>)	LL	Palangre
BLM	Marlín negro (<i>Makaira indica</i>)	LP	Caña
BUM	Marlín azul (<i>Makaira nigricans</i>)	LTL	Curricán
BZX	Bonito (<i>Sarda</i> spp.)	LX	Sedal y anzuelo
MLS	Marlín rayado (<i>Kajikia audax</i>)	OTR	Otras ¹
PBF	Atún aleta azul del Pacífico (<i>Thunnus orientalis</i>)	UNK	Desconocido
SFA	Pez vela del Indo-Pacífico (<i>Istiophorus platypterus</i>)	PS	Red de cerco
SKJ	Atún barrilete (<i>Katsuwonus pelamis</i>)	RG	Deportivo
SSP	Marlín trompa corta (<i>Tetrapturus angustirostris</i>)	TX	Red de arrastre
SWO	Pez espada (<i>Xiphias gladius</i>)	Áreas oceánicas:	
TUN	Atunes no identificados	EPO	Océano Pacífico oriental
YFT	Atún aleta amarilla (<i>Thunnus albacares</i>)	WCPO	Océano Pacífico occidental y central
		Tipos de lance:	
		DEL	Delfín
		NOA	Atunes no asociados

¹ Usado para agrupar artes conocidas

OBJ	Objeto flotante LOG: natural FAD: plantado
-----	--

C	Captura
CPUE	Captura por unidad de esfuerzo
F	Tasa de mortalidad por pesca
MSY	Rendimiento máximo sostenible
S	Índice de biomasa reproductora
SBR	Cociente de biomasa reproductora
SSB	Biomasa de la población reproductora

Banderas:

Miembros y no Miembros Cooperantes de la CIAT

BLZ	Belice
BOL	Bolivia
CAN	Canadá
CHL	Chile
CHN	China
COL	Colombia
CRI	Costa Rica
ECU	Ecuador
EUR	Unión Europea
EU (CYP)	Chipre
EU (ESP)	España
EU (PRT)	Portugal
FRA	Francia
FRA (PYF)	Polinesia Francesa
GTM	Guatemala
HND	Honduras
IDN	Indonesia
JPN	Japón
KIR	Kiribati
KOR	República de Corea
LBR	Liberia
MEX	México
NIC	Nicaragua
PAN	Panamá
PER	Perú
SLV	El Salvador
TWN	Taipéi Chino
USA	Estados Unidos de América
VEN	Venezuela
VUT	Vanuatu

Otros códigos de bandera

COK	Islas Cook
MHL	Islas Marshall
NZL	Nueva Zelanda
RUS	Rusia
VCT	San Vicente y Granadinas
UNK	Desconocido

Evaluación de poblaciones:

B	Biomasa
---	---------

A. LA PESQUERÍA DE ATUNES Y PECES PICUDOS EN EL OCÉANO PACÍFICO ORIENTAL

En este documento se presenta un resumen de las capturas y esfuerzo de las pesquerías de especies amparadas por la Convención de Antigua (“*los atunes y especies afines y otras especies de peces capturados por buques que pescan atunes y especies afines*”) en el Océano Pacífico oriental (OPO) en 2022. Las más importantes de estas especies son los escómbridos (familia Scombridae), que incluyen los atunes, bonitos, carites, sierras y petos. Las principales especies de atunes capturadas son las tres especies de atunes tropicales (aleta amarilla, barrilete, y patudo), seguidos por los atunes templados (albacora, con capturas menores de atún aleta azul del Pacífico); se capturan también otros escómbridos, como el bonito y el peto. Además de los atunes, este documento abarca los peces picudos (pez espada, marlines, marlín trompa corta, y pez vela).

Existen pesquerías importantes de dorado, tiburones, y otras especies y grupos que interactúan con las pesquerías atuneras en el OPO, y son por lo tanto competencia de la CIAT. En el Documento SAC-14-11, *Consideraciones Ecosistémicas*, se proporciona información sobre estas otras especies como los carángidos (jureles, macarela y salmón), dorado, elasmobranchios (tiburones y rayas), entre otros.

El acceso a las pesquerías es regulado por la resolución [C-02-03](#), que permite solamente a los buques que están en el [Registro Regional de Buques](#) de la CIAT pescar atunes en el OPO. Los buques son autorizados para pescar por su gobierno de pabellón respectivo, y se incluye en el Registro solamente buques debidamente autorizados. El registro detalla, además del nombre y pabellón de un buque, su arte de pesca, dimensiones, capacidad de acarreo, fecha de construcción, propietario, puerto base, y otras características. Sin embargo, este requisito no ha sido aplicado a los miles de pequeñas embarcaciones artesanales, denominadas *pangas*, que se sabe capturan atunes, entre otras especies, en las aguas costeras del OPO, pero los datos de sus números, esfuerzo, y capturas son incompletos, o no están disponibles. Se completó un programa piloto, enfocado en tiburones, para recolectar datos de esas pesquerías en Centroamérica ([SAC-11-14](#)). Los resultados del estudio piloto ofrecerán orientación para el desarrollo de un programa de muestreo a largo plazo en la región.

El personal de la CIAT ha recolectado y compilado datos de las pesquerías palangreras desde 1952, de la captura de aleta amarilla y barrilete desde 1954, de aleta azul desde 1973, y de patudo desde 1975. Los datos en el presente informe, que son lo más exactos y completos posible, provienen de varias fuentes, incluyendo los cuadernos de bitácora de los buques, datos de observadores a bordo, registros de descarga provistos por empresas enlatadoras y otros procesadores, registros de exportación e importación, informes de gobiernos y otras entidades, y el programa de la CIAT de muestreo de composición por especie y talla.

1. CAPTURAS Y DESCARGAS DE ATUNES, PECES PICUDOS Y ESPECIES ASOCIADAS

Casi todas las capturas en el OPO son realizadas por las flotas de cerco y de palangre; los buques cañeros, y varias pesquerías artesanales y recreativas, responden de un pequeño porcentaje de las capturas totales reportadas. El personal de la CIAT compila datos de captura de todas las artes de pesca, incluyendo currián, arpón, y red agallera.

Se dispone de datos de captura detallados para la pesquería de cerco, que toma más del 90% de la captura total reportada; los datos de las otras pesquerías son incompletos. Los datos de cerco de 2021 y 2022, y los datos de palangre y otras artes de 2019-2021, son preliminares.

Desde 1993, todos los buques de cerco de clase 6² llevan observadores, que recolectan datos detallados sobre las capturas, incluyendo las descartadas en el mar. Las estimaciones de la captura “retenida” (la porción de la captura total que se descarga) se basan principalmente en datos tomados durante la descarga de pescado de los buques.

² Clase 6: más de 363 t de capacidad de acarreo

Los buques palangreros, particularmente los más grandes, pescan principalmente patudo, aleta amarilla, albacora, y pez espada. Se obtienen de los gobiernos del pabellón de los buques datos de las capturas retenidas de la mayoría de los buques palangreros grandes; los datos de palangreros pequeños, embarcaciones artesanales, y otras embarcaciones que pescan especies amparadas por la Convención de Antigua son incompletos o no están disponibles, pero se obtienen algunos datos de cuadernos de bitácora de los buques, o de gobiernos o informes gubernamentales.

Los datos del Pacífico occidental y central (WCPO) provienen del [Anuario de Pesquerías Atuneras de 2021](#) de la Comisión de Pesca del Pacífico Occidental y Central (WCPFC).

En el presente informe se resumen los datos de todas las fuentes antes descritas. En la [Tabla A-1](#) se presentan las capturas totales estimadas de atunes tropicales (aleta amarilla, barrilete, y patudo) en el Océano Pacífico entero, y se comentan en detalle en las secciones siguientes.

En las [Tablas A-2a-b](#) se presentan estimaciones de las capturas anuales retenidas y descartadas de atunes y otras especies capturadas por buques atuneros en el OPO durante 1993-2022.

En las [Tablas A-3a-e](#) se presentan las capturas de atunes tropicales durante 1993-2022, por bandera, y en las [Tablas A-4a-b](#) se resumen las capturas y descargas cerqueras de atunes durante 2021-2022, por bandera.

2. CAPTURAS POR ESPECIE

2.1. Atún aleta amarilla

En la [Tabla A-1](#) se presentan las capturas anuales de aleta amarilla durante 1993-2022. La captura del OPO en 2022 de 292 mil t es 20% mayor que el promedio de 243 mil t del quinquenio previo (2017-2021). En el WCPO, las capturas de aleta amarilla alcanzaron un récord de 771 mil t en 2021.

En la [Tabla A-2a](#) se presentan las capturas retenidas anuales de aleta amarilla en el OPO, por arte, durante 1993-2022. En el periodo más reciente de 15 años (2007-2021), las capturas retenidas anuales cerqueras y cañeras han fluctuado en un promedio de 223 mil t (amplitud: 171 a 253 mil t). La estimación preliminar de la captura retenida en 2022, 292 mil t, es 15% mayor que aquella de 2021, y 27% mayor que el promedio de 2017-2021. En promedio, aproximadamente el 0.3% (amplitud: 0.1 a 1.0%) de la captura cerquera total de aleta amarilla fue descartada en el mar durante 2007-2021 ([Tabla A-2a](#)).

Durante 1993-2005, las capturas palangreras anuales en el OPO fueron en promedio aproximadamente 21 mil t (amplitud: 12 a 30 mil t), o un 7% de las capturas retenidas totales de aleta amarilla. Luego disminuyeron bruscamente, a un promedio anual de 10 mil t (amplitud: 8 a 13 mil t), o un 4% de las capturas retenidas totales, durante 2006-2021. En la [Tabla A-2a](#), bajo “Otras artes” (OTR) se presentan las capturas de otras pesquerías (recreacional, red agallera, curricán, artesanal, etc.), ya sea incidental o dirigida; durante 2006-2021 fueron en promedio unas 2 mil t.

2.2. Atún barrilete

En la [Tabla A-1](#) se presentan las capturas totales anuales de barrilete en el Océano Pacífico durante 1993-2022. La mayor parte de la captura es tomada en el Pacífico central y occidental, donde las capturas promedio fueron de unas 900 mil t antes de 1998; subsecuentemente aumentaron constantemente, de 1.1 millones de toneladas a un récord de 2 millones de toneladas en 2019. En el OPO, las capturas máximas ocurrieron entre 2003 y 2022, variando de 153 a 351 mil t, la captura récord en 2019.

En la [Tabla A-2a](#) se presentan las capturas retenidas anuales de barrilete en el OPO durante 1993-2022, por arte. La captura retenida anual promedio cerquera durante 2007-2021 fue 281 mil t (amplitud: 147 a 347 mil t). La estimación preliminar de la captura retenida para 2022, 296 mil t, es 6% mayor que el promedio de 15 años de 2007-2021.

Los descartes de barrilete en el mar disminuyeron cada año durante el periodo, de 3% en 2007 a una mínima de menos de 1% en 2018, en promedio un 1.3% de la captura total de la especie ([Tabla A-2a](#)).

Las capturas de barrilete en el OPO por palangres y otras artes son insignificantes ([Tabla A-2a](#)).

2.3. Atún patudo

En la [Tabla A-1](#) se presentan las capturas totales anuales de patudo en el Océano Pacífico durante 1993-2022. En general, las capturas en el OPO y en el Pacífico central y occidental han aumentado, pero con fluctuaciones considerables. Desde 1993, en el Pacífico central y occidental la capturas de patudo han fluctuado entre 107 mil t y 163 mil t, alcanzando un récord de 183 mil t en 2004. Después de 2004, han fluctuado entre 130 y 171 mil t. En el OPO, la captura promedio durante 1993-2022 fue 104 mil t, con una mínima de 64 mil t en 2022 y una máxima de 149 mil t en 2000.

En la [Tabla A-2a](#) se presentan las capturas retenidas anuales de patudo en el OPO por buques cerqueros y cañeros durante 1993-2022. La introducción de dispositivos agregadores de peces (plantados), puestos en el agua por pescadores para atraer atunes, en 1993 condujo a un aumento súbito y dramático de las capturas cerqueras. De 1994 a 1999, la captura cerquera retenida anual promedio de patudo en el OPO fue de 44 mil t, y en 2000 fue de más de 95 mil t.. Desde el máximo alcanzado en 2000, ha fluctuado entre 49 y 84 mil t; la estimación preliminar para 2022 es de 47 mil t.

Durante 2000-2022, el porcentaje de la captura cerquera de patudo descartado en el mar ha disminuido constantemente, de 5% en 2000 a menos de 1% desde 2017 hasta el año en curso, con un promedio de alrededor de 1.5%.

Antes de la expansión de la pesquería sobre plantados, los palangreros capturaban casi todo el patudo en el OPO, con un promedio anual de unas 88 mil t durante 1985-1992. Desde 1993, la captura promedio anual ha disminuido en un 51%, hasta 43 mil t, y la estimación preliminar para 2022 es inferior a 17 mil t ([Tabla A-2a](#)).

Se capturan pequeñas cantidades de patudo con otras artes en el OPO ([Tabla A-2a](#)).

2.4. Atún aleta azul del Pacífico

En la [Tabla A-5a](#) se presentan las capturas de aleta azul del Pacífico en el Océano Pacífico entero, por bandera y arte, reportadas por los gobiernos de pabellón de los buques al Comité Científico Internacional sobre los Atunes y Especies Afines en el Océano Pacífico Norte (ISC).

En la [Tabla A-2a](#) se presentan las capturas de atún aleta azul del Pacífico en el OPO durante 1993-2022, por arte. Desde 2007, los buques cerqueros tomaban más del 89% de la captura anual. La captura promedio retenida del OPO durante 1993-2021 es de 3.8 mil t (amplitud: 600 t a 9.9 mil t); la estimación preliminar de 2022 es de 3.4 mil t ([Tabla A-2a](#)).

Las capturas de atún aleta azul del Pacífico con artes recreativas en el OPO son reportadas en número de peces individuales capturados, mientras todas las otras artes reportan sus capturas en peso; los datos se convierten por lo tanto en peso para inclusión en las capturas totales del OPO. En la [Tabla A-5b](#) se presentan los datos originales de 1993-2022, en número de peces.

2.5. Atún albacora

En la [Tabla A-6](#) se presentan datos, provistos por los CPC correspondientes, de captura de albacora en el OPO, por arte y zona (al norte y al sur de la línea ecuatorial), y en la [Tabla A-2a](#) en el OPO entero. Una porción de la captura de albacora es tomada por buques curricaneros (LTL), incluidos bajo "Otras artes" (OTR) en la [Tabla A-2a](#).

2.6. Otros atunes y especies afines

Mientras que los atunes aleta amarilla, barrilete, y patudo forman la gran mayoría de las capturas cerqueras retenidas en el OPO, otros atunes y especies afines, como el albacora, barrilete negro, bonito, y las melvas, contribuyen a la captura general. En la [Tabla A-2a](#) se presentan estimaciones de las capturas retenidas y descartadas de estas especies durante 1993-2022. Las capturas reportadas en la categoría de “atunes no identificados” (TUN) en la [Tabla A-2a](#) contienen algunas capturas reportadas por especie (melvas) junto con los atunes no identificados. La captura retenida total de estas otras especies en la pesquería de cerco en 2022 fue 15 mil t, más que el promedio de 2007-2021 de 14 mil t (amplitud: 8 a 23 mil t).

El barrilete negro es también capturado con otras artes en el OPO, principalmente en la pesca artesanal costera. El bonito es asimismo capturado en las pesquerías artesanales, y ha sido reportado como captura por buques palangreros en algunos años.

2.7. Peces picudos

En la [Tabla A-2b](#) se presentan datos de captura de peces picudos (pez espada, marlines azul, negro, rayado y trompa corta, y pez vela).

El **pez espada** es capturado en el OPO con palangres a gran escala y artesanales, red agallera, arpón y, de vez en cuando, con artes recreacionales. Durante 1999-2013 la captura anual media palangrera fue 15 mil t, pero durante 2014-2016 aumentó alrededor de 50%, a más de 24 mil t, debido posiblemente a una mayor abundancia de la especie, a un mayor aumento del esfuerzo dirigido hacia la misma junto con una mayor eficacia pesquera, a mejores informes, o a una combinación de todos estos factores.

Otros peces picudos son capturados con palangres a gran escala y artesanales y por artes recreacionales. Las capturas palangreras anuales medias de marlín azul y marlín rayado durante 2007-2021 fueron unas 3.0 mil and 1.8 mil t, respectivamente. Se capturan cantidades menores de otros peces picudos con palangre.

Se cuenta con poca información sobre las capturas recreacionales de peces picudos, pero se cree que, debido a prácticas de captura y liberación, las capturas retenidas son sustancialmente menores que las capturas comerciales de todas estas especies.

Los peces picudos son capturados incidentalmente en las pesquerías cerqueras, que durante 2007-2021 representaron el 1% de la captura total de peces picudos en el OPO. Antes de 2011, todos eran clasificados como descartados muertos, pero a causa de la tendencia creciente de retener estas capturas incidentales, se consideró importante reflejarlas en los datos, y desde 2011 se reportan las capturas retenidas y descartes por separado en la [Tabla A-2b](#).

3. CAPTURAS Y ESFUERZO DE PESCA

3.1. Cerco

En la [Tabla A-7](#) y en la [Figura 1](#)³ se presentan estimaciones del número de lances cerqueros de cada tipo (asociados a delfines (DEL), asociados a objetos flotantes (OBJ), y no asociados (NOA)) en el OPO durante 2007-2022, y de las capturas retenidas de esos lances. Se calcularon las estimaciones para los buques de clases 1-5⁴ con datos de bitácora en la base de datos estadística de la CIAT, y aquéllos para los buques de clase 6 a partir de las bases de datos de observadores de la CIAT, Colombia, Ecuador, Estados Unidos, México, Nicaragua, Panamá, la Unión Europea y Venezuela.

Desde la introducción de los dispositivos agregadores de peces artificiales (plantados) a mediados de los

³ Los datos de captura de 2007-2022 incorporan datos no disponibles anteriormente, y son por lo tanto diferentes de los datos correspondientes presentados en publicaciones previas.

⁴ Capacidad de acarreo ≤363 t

años 1990, se han vuelto predominantes en la pesquería sobre objetos flotantes, y ahora forman el 97% estimado de todos los lances sobre objetos flotantes por buques de clase 6 ([Tabla A-8](#)).

3.2. Palangre

En la [Tabla A-9](#) se presentan el esfuerzo nominal de los buques palangreros en el OPO, en miles de anzuelos, y sus capturas reportadas de las principales especies de atunes.

4. DISTRIBUCIÓN DE LAS CAPTURAS DE ATUNES TROPICALES

4.1. Capturas cerqueras

En las [Figuras A-1a](#), [A-2a](#), y [A-3a](#) se ilustran las distribuciones anuales medias de las capturas cerqueras en el OPO, por tipo de lance, de los atunes tropicales (aleta amarilla, barrilete y patudo), durante 2017-2021, respectivamente, y en las [Figuras A-1b](#), [A-2b](#), y [A-3b](#) las estimaciones preliminares para 2022.

Aleta amarilla: La mayor parte de las capturas en 2022 provino de lances asociados a delfines en dos áreas principales: al norte de 5°N, desde 105°O hasta 140°O, y cerca a la costa al norte de 5°S desde 100°O hasta la costa. Se capturaron cantidades mayores de aleta amarilla en lances sobre delfines y objetos flotantes en ambas áreas en comparación con los 5 años anteriores. ([Figura A-1b](#)).

En 2022, las capturas de **barrilete** provinieron principalmente de lances sobre objetos flotantes entre 5°N y 20°S y al oeste de 100°O. La proporción de la captura de barrilete en esta área proveniente de lances sobre objetos flotantes aumentó en los 5 años anteriores. La cantidad de barrilete capturado en 2022 en lances no asociados en el límite occidental del OPO fue mucho menor que en los 5 años anteriores. ([Figura A-2b](#)).

El **patudo** es rara vez capturado al norte de aproximadamente 7°N en el OPO. Casi todas las capturas en 2022 fueron logradas en lances sobre plantados entre 10°N y 15°S y al oeste de 90°O ([Figura A-3b](#)).

4.2. Capturas palangreras

Desde 2009, la CIAT recibe datos de captura y esfuerzo de Belice, China, la República de Corea, Panamá, Estados Unidos, Francia (Polinesia Francesa), Japón, Taipéi Chino, y Vanuatu. Los atunes albacora, patudo, y aleta amarilla forman la mayor parte de las capturas de la mayoría de estos buques. En la [Figura A-4](#) se ilustra la distribución de las capturas de aleta amarilla y patudo por buques palangreros de China, Corea, Japón, y Taipéi Chino en el Océano Pacífico durante 2017-2021.

5. COMPOSICIÓN POR TALLA DE LAS CAPTURAS DE ATUNES

5.1. Pesquerías cerqueras, cañeras, y recreacionales

Las muestras de frecuencia de talla forman la fuente básica de los datos usados para estimar la composición por talla y edad de las distintas especies de peces en las descargas. Esta información es necesaria para obtener estimaciones de la composición de las poblaciones por edad, usadas para varios propósitos,

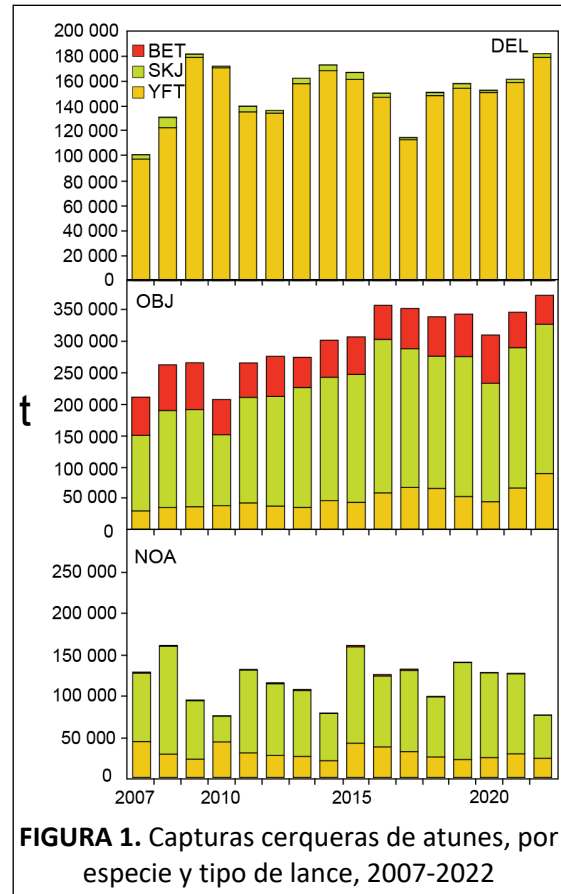


FIGURA 1. Capturas cerqueras de atunes, por especie y tipo de lance, 2007-2022

principalmente el modelado integrado que usa el personal para evaluar la condición de las poblaciones (ver [Informes de Evaluación de Stocks](#)). Las muestras de frecuencia de talla son obtenidas de las capturas de buques cerqueros en el OPO por técnicos de la CIAT en puertos de descarga en Ecuador y México. En el [informe anual de la CIAT de 2000](#) y los [Informes de Evaluación de Stocks 2](#) y [4](#) de la CIAT se describen los métodos de muestreo de las capturas de atunes.

Las series de tiempo históricas a largo plazo de datos de composición por talla del aleta amarilla y el patudo están disponibles en los [Informes de Evaluación de Stocks](#), y se dispone de indicadores de condición de población (SSI) basados en la talla promedio del aleta amarilla, patudo y barrilete ([SAC-14-04](#)). En este informe se presentan los datos sobre la composición por talla de las capturas durante 2017-2022 ([Figuras A-6 a A-8](#)), con dos conjuntos de histogramas de frecuencia de talla para cada especie: el primero presenta los datos de 2022 por estrato (tipo de arte, tipo de lance, y área), y el segundo los datos combinados para cada año del periodo de 2017-2022.

Aleta amarilla: se definen nueve pesquerías cerqueras (cuatro asociadas a objetos flotantes (OBJ), tres asociadas a delfines (DEL), y dos no asociadas (NOA)) y una pesquería cañera (LP), que incluye todas las 13 áreas de muestreo) ([Figura A-5](#)). De las 937 bodegas con peces capturados durante 2022, 824 contenían aleta amarilla. En la [Figura A-6a](#) se ilustra la composición por talla estimada de los peces capturados. La mayor parte de la captura de aleta amarilla provino de las pesquerías DEL durante los primeros tres trimestres del año, con menores cantidades capturadas en la pesquería OBJ durante todo el año. Los aletas amarillas grandes (100-140 cm) fueron capturados principalmente en las pesquerías DEL-I y DEL-S en el primer trimestre, en la pesquería DEL-N en el segundo y tercer trimestre y en la pesquería NOA-S en el primer trimestre. Los aletas amarillas más pequeños (<70 cm) fueron capturados en las pesquerías OBJ en los cuatro trimestres.

En la [Figura A-6b](#) se ilustra la composición por talla estimada del aleta amarilla capturado en todas las pesquerías combinadas durante 2017-2022. El peso promedio del aleta amarilla en 2022, 6.5 kg, fue mucho menor que el promedio de 2020 de 10.5 kg, y menor que el promedio de otros años (7.2-7.9 kg). La distribución de las tallas se desplazó hacia el extremo más pequeño del rango en comparación con años anteriores, lo que indica aletas amarillas de menor tamaño en 2022.

Barrilete: se definen siete pesquerías de cerco (cuatro OBJ, dos NOA, una DEL) y una de caña ([Figura A-5](#)); las dos últimas incluyen todas las 13 áreas de muestreo. De las 937 bodegas con peces capturados, 602 contenían barrilete. En la [Figura A-7a](#) se ilustran las composiciones por talla estimadas del pescado capturado durante 2022. La mayoría de la captura de barrilete provino de las pesquerías OBJ-N, OBJ-E y OBJ-S en todos los trimestres, y de la pesquería NOA-S en el primer y segundo trimestre. Los barriletes más grandes (60-70 cm) fueron capturados en la pesquería OBJ-E en el tercer y cuarto trimestre. Los barriletes más pequeños (<40 cm) fueron capturados principalmente en las pesquerías OBJ-N, OBJ-E y OBJ-S en los cuatro trimestres, y en la pesquería NOA-S en el segundo trimestre.

En la [Figura A-7b](#) se ilustra la composición por talla estimada del barrilete capturado en todas las pesquerías combinadas durante 2017-2022. La mayoría de los barriletes en 2022 estuvieron dentro del rango de 40-50 cm.

Patudo: se definen seis pesquerías de cerco (cuatro OBJ, una NOA, una DEL) y una de caña ([Figura A-5](#)); todas excepto las pesquerías OBJ incluyen todas las 13 áreas de muestreo. De las 937 bodegas con peces capturados, 160 contenían patudo. En la [Figura A-8a](#) se ilustran las composiciones por talla estimadas del pescado capturado durante 2022. La mayor parte de la captura de patudo provino de la pesquería OBJ-N en el segundo y tercer trimestre, y de la pesquería OBJ-S durante todo el año. Se capturaron cantidades menores en la pesquería OBJ-E en el segundo trimestre.

En la [Figura A-8b](#) se ilustra la composición por talla estimada del patudo capturado por todas las pesquerías combinadas durante 2017-2022. El peso promedio del patudo en 2022 (4.0 kg) fue considerablemente menor que el de los últimos cinco años (4.7-5.2 kg). La mayoría de los patudos capturados en 2022 estuvieron dentro del rango de 40-70 cm, con una cantidad menor de patudos mayores de 100 cm que en años anteriores.

El **aleta azul del Pacífico** es capturado con artes de cerco y recreacionales frente a California y Baja California, históricamente desde aproximadamente 23°N hasta 35°N, pero únicamente entre 28°N y 32°N en años recientes. La temporada de pesca de cerco de 2021 continuó la tendencia de comenzar más temprano que en cualquier año previo: en 2021, se capturó aleta azul por primera vez a principios de enero y la pesquería cerró a finales de enero, cuando se alcanzó el límite anual de captura. La mayoría de la captura es transportada viva a jaulas de engorda cerca del litoral mexicano. El Programa Nacional de Observadores de México (PNAAPD) remitió datos de composición por talla de capturas cerqueras durante 2016-2021 ([Figura A-9](#)). Estos datos se facilitan cada dos años, por lo que la figura se actualizará en 2024.

5.2. Pesquería de palangre

En las [Figuras A-10](#) y [A-11](#) se ilustra la composición por talla del aleta amarilla y patudo capturado por la flota palangrera japonesa en el OPO durante 2016-2020, basada en datos provistos por la Agencia Pesquera de Japón. El peso promedio anual durante ese periodo osciló entre 36.8 y 61.0 kg en el caso del aleta amarilla, y entre 61.7 kg y 66.2 kg en el caso del patudo. Los datos de composición por talla de 2021 no estaban disponibles debido a las dificultades derivadas de la pandemia de COVID-19, que afectaron la recolección y el análisis de los datos de talla de YFT y BET de 2021.

5.3. Capturas de atunes, por bandera y arte

En las [Tablas A-3a-e](#) se detallan las capturas retenidas anuales de atunes en el OPO durante 1993-2022, por bandera y arte. En la [Tabla A-4a](#) se resumen las capturas cerqueras de atunes en 2021 y 2022, por bandera y especie. De las casi 650 mil t de atunes capturadas en 2022, el 40% fue capturado por buques ecuatorianos, y 22% por buques mexicanos. Otros países con capturas importantes incluyen Panamá (15%), Venezuela (7%), Colombia (6%), Estados Unidos (4%) y Nicaragua (3%). En la [Tabla A-4b](#) se resumen las descargas cerqueras de atunes en 2021 y 2022, por especie y país de descarga. De las más de 639 mil t de atunes descargadas en el OPO en 2022, el 64% fue descargado en puertos ecuatorianos, y 23% en puertos mexicanos. Otros países con descargas de atunes en el OPO incluyen Colombia (5%), Perú (1%) y Estados Unidos (1%).

6. LAS FLOTAS

6.1. Cerco

El [Registro Regional de Buques](#) de la CIAT contiene registros detallados de todos los buques de cerco autorizados para pescar atunes en el OPO. Sin embargo, en la siguiente descripción de la flota cerquera se incluyen solamente los buques que pescaron atunes aleta amarilla, barrilete, patudo, y/o aleta azul del Pacífico en el OPO en 2022.

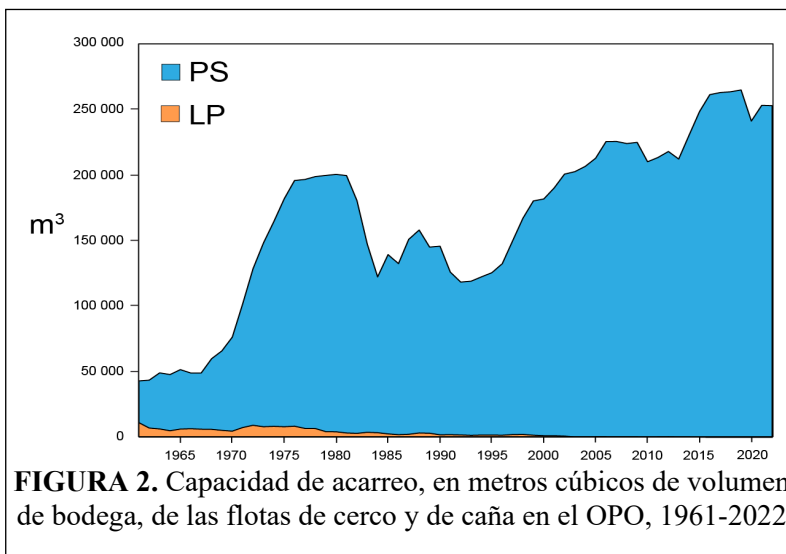


FIGURA 2. Capacidad de acarreo, en metros cúbicos de volumen de bodega, de las flotas de cerco y de caña en el OPO, 1961-2022

La CIAT usa el volumen de bodega, en metros cúbicos (m³), para medir la capacidad de acarreo de los buques cerqueros. Se cuenta con datos fiables de volumen de bodega para casi todos los buques cerqueros; se calcula el volumen de bodega de los buques restantes mediante la aplicación de un factor de conversión a su capacidad en toneladas ([Tabla A-10](#); [Figura 2](#)).

En las [Tablas A-11a](#) y [A-11b](#) se presentan los datos de 2021 y los preliminares de 2022 del número y volumen total de bodega de los buques de cerco que pescaron atunes en el OPO. Durante 2022, la flota estuvo dominada por buques ecuatorianos y mexicanos, con alrededor de 31% y 24% del volumen total de bodega, respectivamente; les siguieron Panamá (11%), Estados Unidos (11%), Venezuela (9%), Colombia (6%), la Unión Europea (España) (3%), Nicaragua (3%) y El Salvador (2%).⁵

En la [Figura 3](#) se compara la capacidad acumulativa en el mar durante 2022 con los cinco años anteriores.

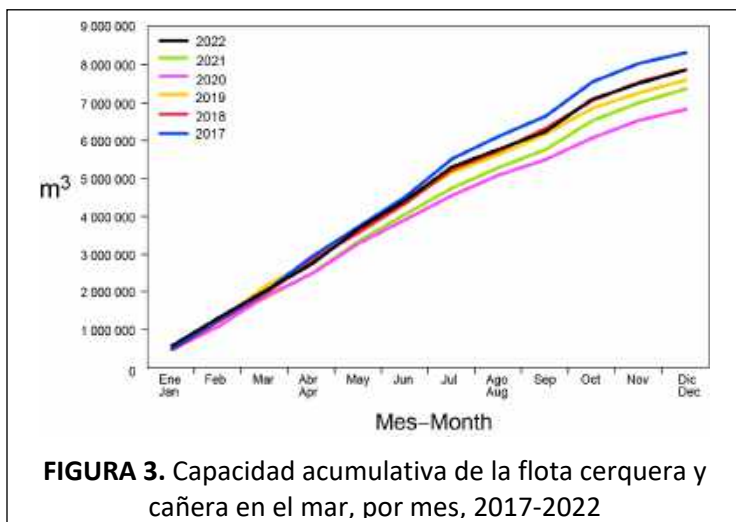


FIGURA 3. Capacidad acumulativa de la flota cerquera y cañera en el mar, por mes, 2017-2022

En la [Tabla A-12](#) se presentan los valores mensuales medios, mínimos, y máximos del volumen total de bodega en el mar (VEM), en miles de metros cúbicos, de los buques cerqueros y cañeros que pescaron atunes en el OPO durante 2012-2021, junto con los valores de 2022. Los valores mensuales son los promedios de las estimaciones del VEM calculadas semanalmente por el personal de la CIAT. Durante 2012-2021 y 2022 el valor medio del VEM fue un poco menos de 144 mil m³ (59% de la capacidad total) y cerca de 150 mil m³ (59% de la capacidad total), respectivamente.

6.2. Otras flotas del OPO

El [Registro Regional de Buques](#) de la CIAT contiene información sobre otros tipos de buques que están autorizados para pescar atunes en el OPO. En algunos casos, particularmente los buques palangreros grandes, el Registro contiene información de buques autorizados para pescar no sólo en el OPO, sino también en otros océanos, y que posiblemente no hayan pescado en el OPO durante 2022, o jamás.

⁵ La suma de los porcentajes puede no sumar 100% debido al redondeo.

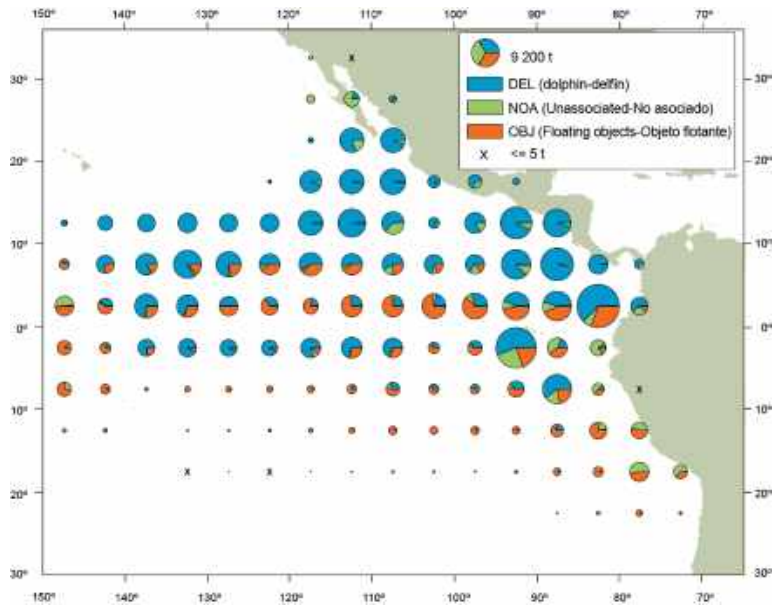


FIGURE A-1a. Average annual distributions of the purse-seine catches of yellowfin, by set type, 2017-2021. The sizes of the circles are proportional to the amounts of yellowfin caught in those 5° by 5° areas.

FIGURA A-1a. Distribución media anual de las capturas cerqueras de aleta amarilla, por tipo de lance, 2017-2021. El tamaño de cada círculo es proporcional a la cantidad de aleta amarilla capturado en la cuadrícula de 5° x 5° correspondiente.

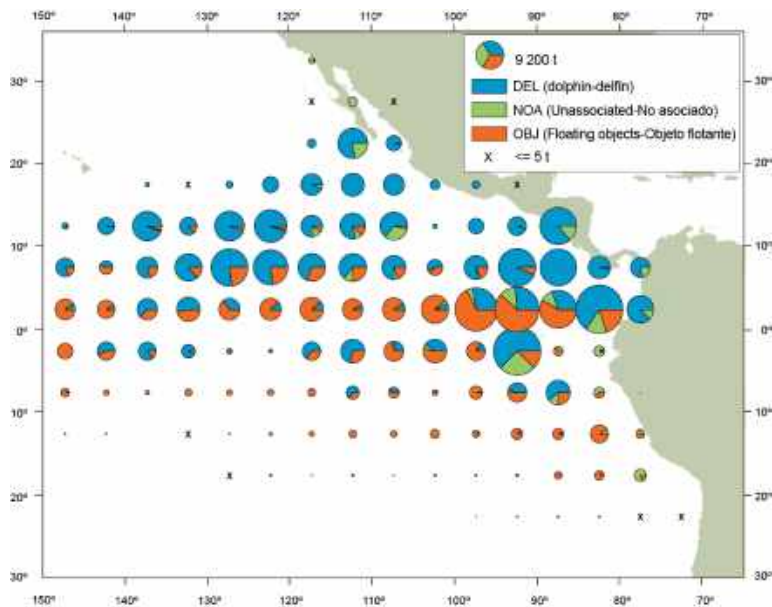


FIGURE A-1b. Annual distributions of the purse-seine catches of yellowfin, by set type, 2022. The sizes of the circles are proportional to the amounts of yellowfin caught in those 5° by 5° areas.

FIGURA A-1b. Distribución anual de las capturas cerqueras de aleta amarilla, por tipo de lance, 2022. El tamaño de cada círculo es proporcional a la cantidad de aleta amarilla capturado en la cuadrícula de 5° x 5° correspondiente.

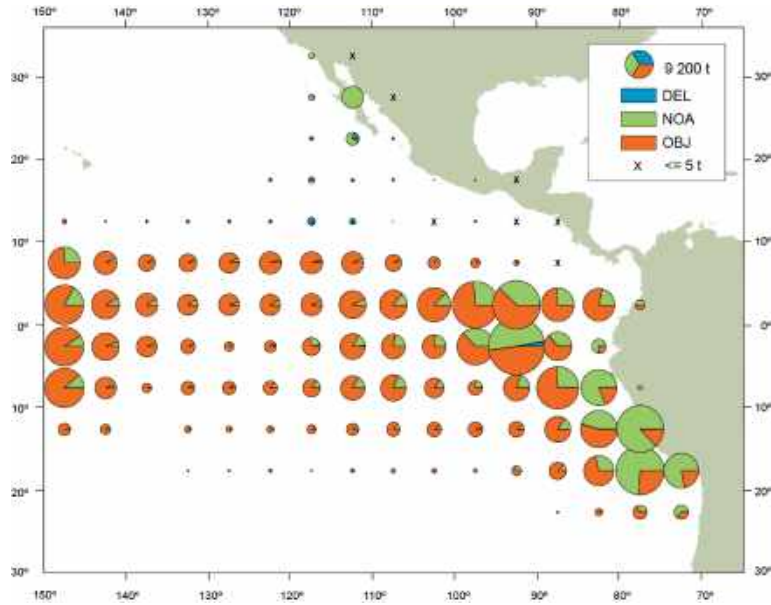


FIGURE A-2a. Average annual distributions of the purse-seine catches of skipjack, by set type, 2017-2021. The sizes of the circles are proportional to the amounts of skipjack caught in those 5° by 5° areas.

FIGURA A-2a. Distribución media anual de las capturas cerqueras de barrilete, por tipo de lance, 2017-2021. El tamaño de cada círculo es proporcional a la cantidad de barrilete capturado en la cuadrícula de 5° x 5° correspondiente.

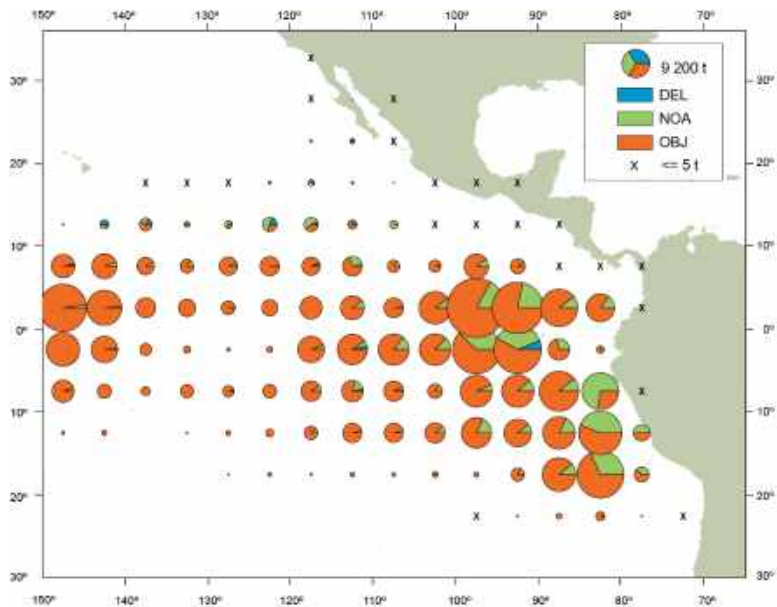


FIGURE A-2b. Annual distributions of the purse-seine catches of skipjack, by set type, 2022. The sizes of the circles are proportional to the amounts of skipjack caught in those 5° by 5° areas.

FIGURA A-2b. Distribución anual de las capturas cerqueras de barrilete, por tipo de lance, 2022. El tamaño de cada círculo es proporcional a la cantidad de barrilete capturado en la cuadrícula de 5° x 5° correspondiente.

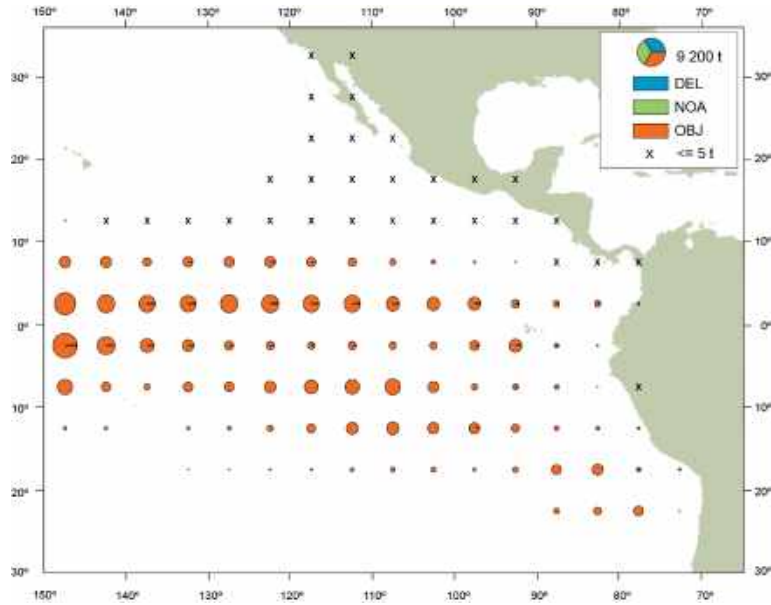


FIGURE A-3a. Average annual distributions of the purse-seine catches of bigeye, by set type, 2017-2021. The sizes of the circles are proportional to the amounts of bigeye caught in those 5° by 5° areas.

FIGURA A-3a. Distribución media anual de las capturas cerqueras de patudo, por tipo de lance, 2017-2021. El tamaño de cada círculo es proporcional a la cantidad de patudo capturado en la cuadrícula de 5° x 5° correspondiente.

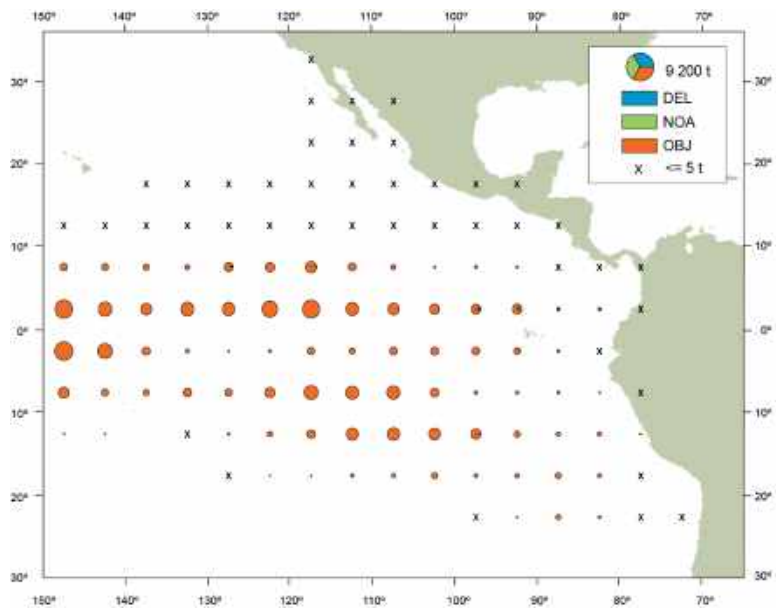


FIGURE A-3b. Annual distributions of the purse-seine catches of bigeye, by set type, 2022. The sizes of the circles are proportional to the amounts of bigeye caught in those 5° by 5° areas.

FIGURA A-3b. Distribución anual de las capturas cerqueras de patudo, por tipo de lance, 2022. El tamaño de cada círculo es proporcional a la cantidad de patudo capturado en la cuadrícula de 5° x 5° correspondiente.

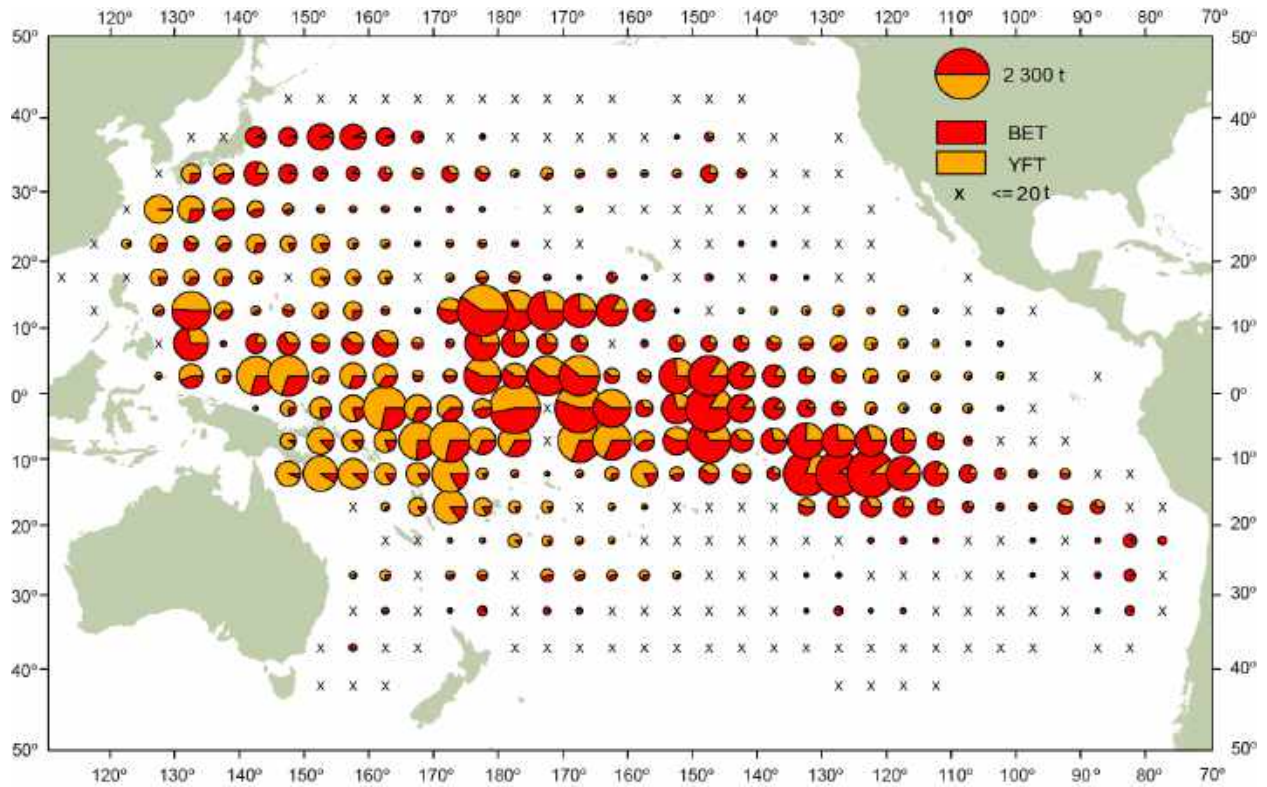


FIGURE A-4. Distributions of the average annual catches of bigeye and yellowfin tunas in the Pacific Ocean, in metric tons, by Chinese, Japanese, Korean, and Chinese Taipei longline vessels, 2017-2021. The sizes of the circles are proportional to the amounts of bigeye and yellowfin caught in those 5° by 5° areas.

FIGURA A-4. Distribución de las capturas anuales medias de atunes patudo y aleta amarilla en el Océano Pacífico, en toneladas métricas, por buques palangreros de China, Corea, Japón, y Taipei Chino, 2017-2021. El tamaño de cada círculo es proporcional a la cantidad de patudo y aleta amarilla capturado en la cuadrícula de 5° x 5° correspondiente.

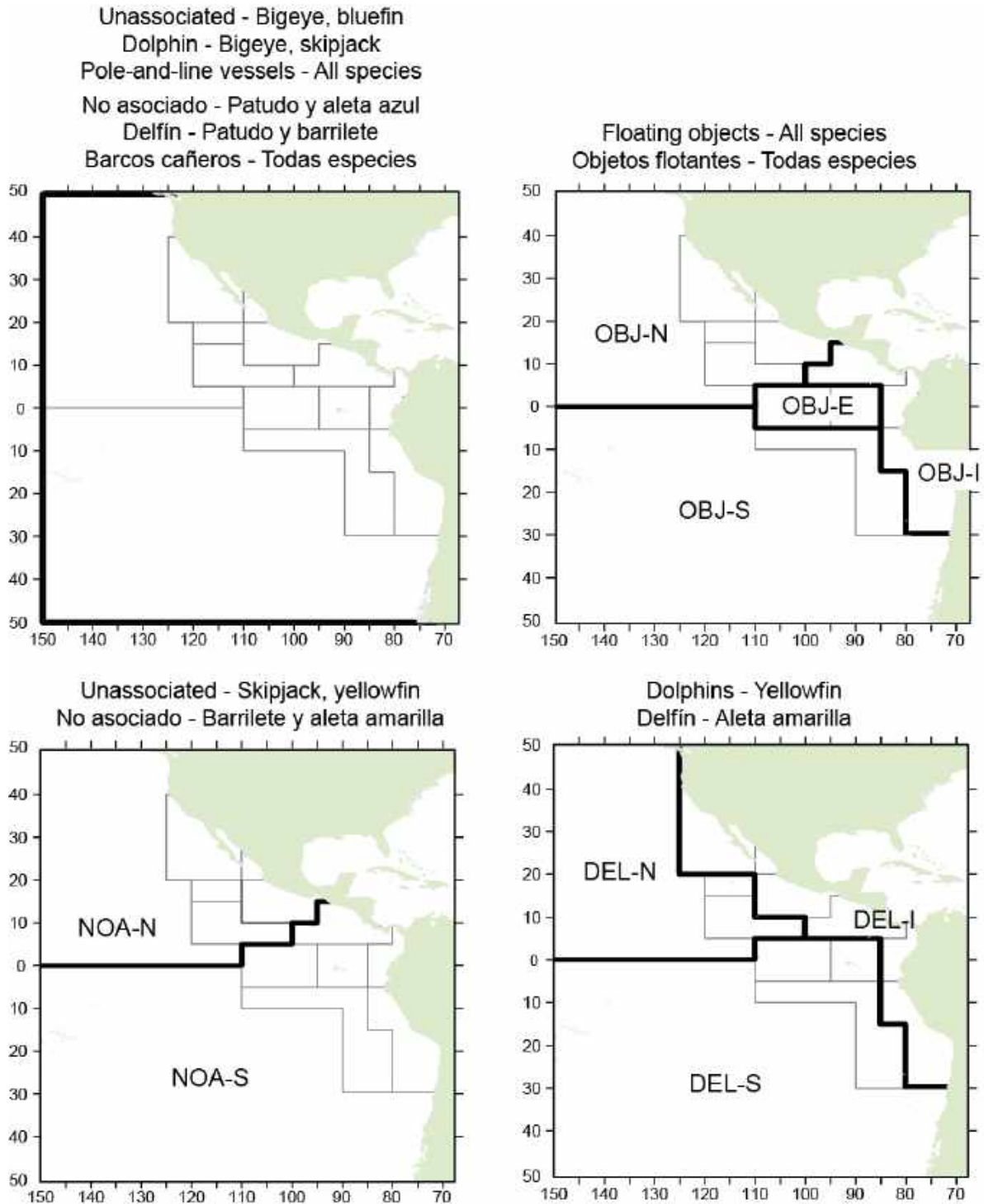


FIGURE A-5. The purse-seine fisheries defined by the IATTC staff for analyses of yellowfin, skipjack, and bigeye in the EPO. The thin lines indicate the boundaries of the 13 length-frequency sampling areas, and the bold lines the boundaries of the fisheries.

FIGURA A-5. Las pesquerías cerqueras definidas por el personal de la CIAT para los análisis de los atunes aleta amarilla, barrilete, y patudo en el OPO. Las líneas delgadas indican los límites de las 13 zonas de muestreo de frecuencia de tallas, y las líneas gruesas los límites de las pesquerías.

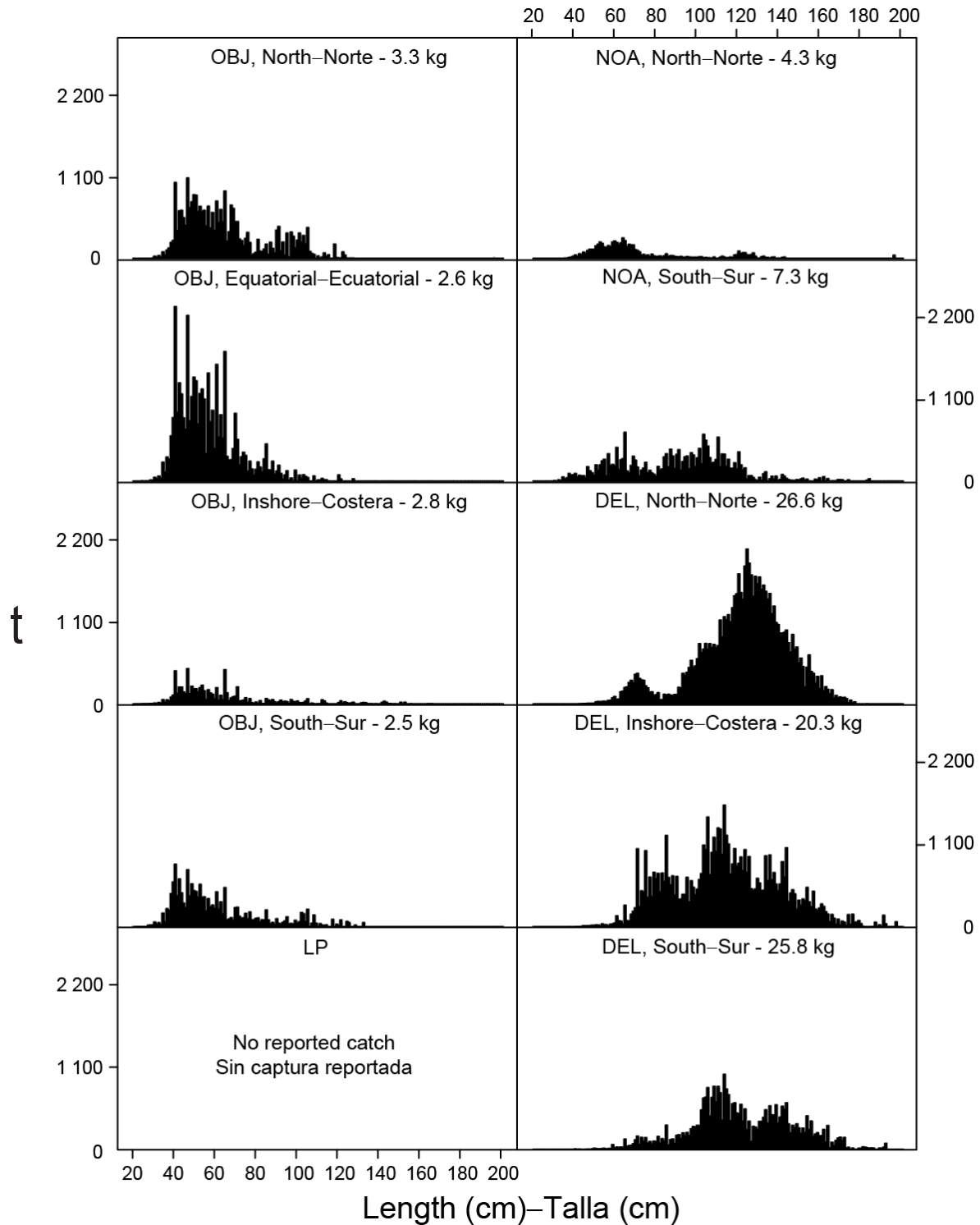


FIGURE A-6a. Estimated size compositions of the yellowfin caught in the EPO during 2022 for each fishery designated in Figure A-5. The value at the top of each panel is the average weight of the fish in the samples.

FIGURA A-6a. Composición por tallas estimada del aleta amarilla capturado en el OPO durante 2022 en cada pesquería ilustrada en la Figura A-5. El valor en cada recuadro representa el peso promedio del pescado en las muestras.

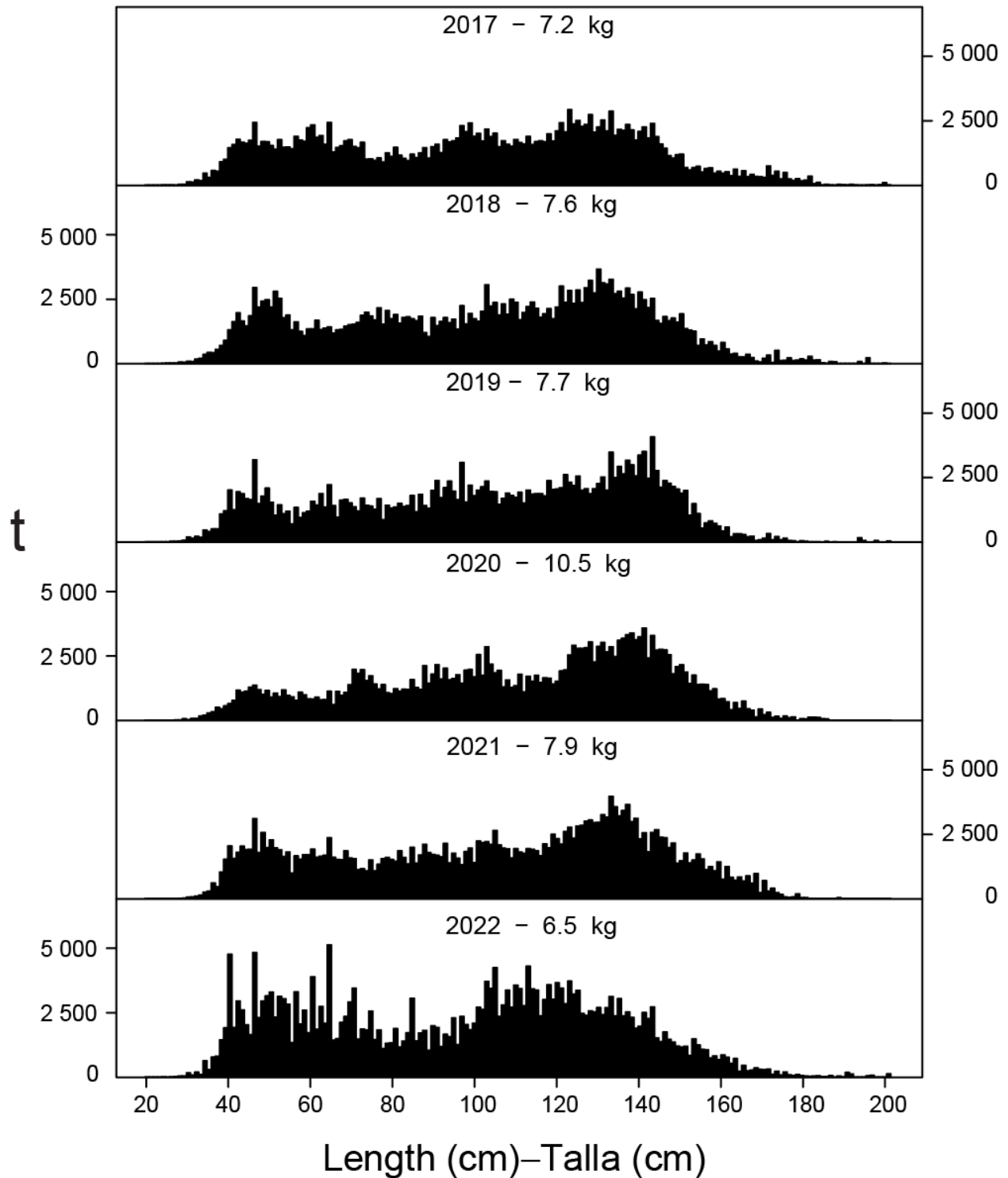


FIGURE A-6b. Estimated size compositions of the yellowfin caught by purse-seine and pole-and-line vessels in the EPO during 2017-2022. The value at the top of each panel is the average weight of the fish in the samples.

FIGURA A-6b. Composición por tallas estimada del aleta amarilla capturado por buques cerqueros y cañeros en el OPO durante 2017-2022. El valor en cada recuadro representa el peso promedio del pescado en las muestras.

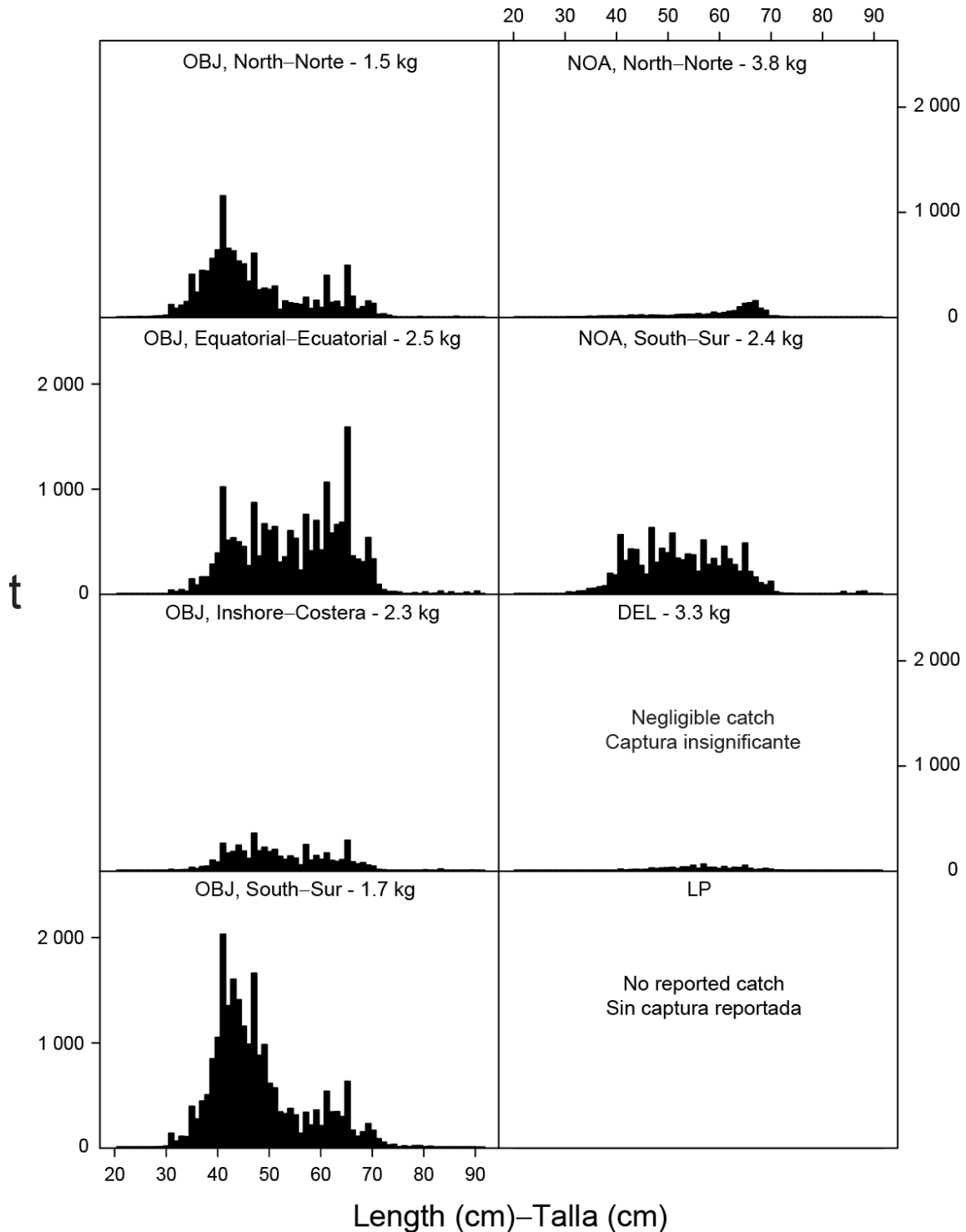


FIGURE A-7a. Estimated size compositions of the skipjack caught in the EPO during 2022 for each fishery designated in Figure A-5. The value at the top of each panel is the average weight of the fish in the samples.

FIGURA A-7a. Composición por tallas estimada del barrilete capturado en el OPO durante 2022 en cada pesquería ilustrada en la Figura A-5. El valor en cada recuadro representa el peso promedio del pescado en las muestras.

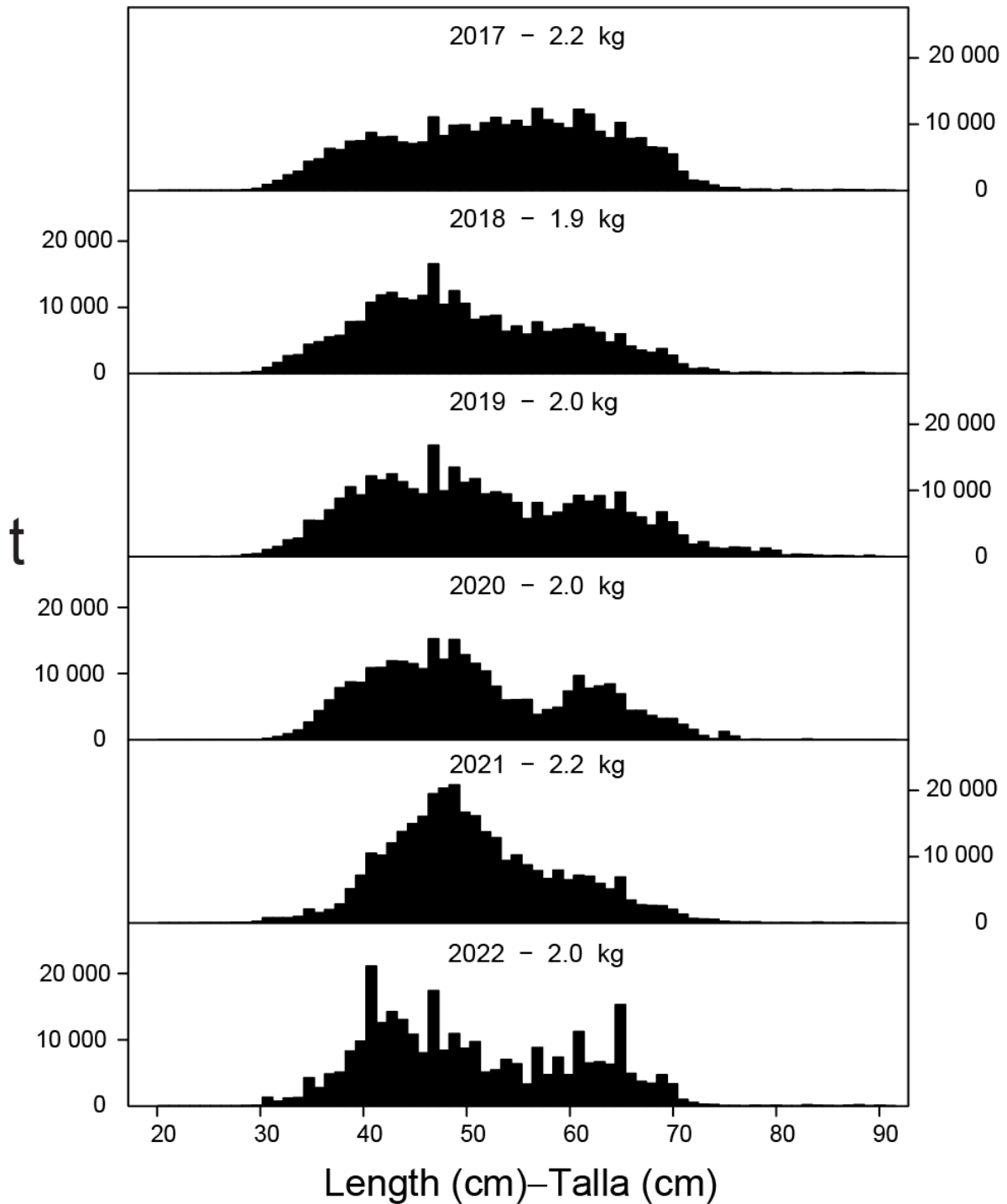


FIGURE A-7b. Estimated size compositions of the skipjack caught by purse-seine and pole-and-line vessels in the EPO during 2017-2022. The value at the top of each panel is the average weight of the fish in the samples.

FIGURA A-7b. Composición por tallas estimada del barrilete capturado por buques cerqueros y cañeros en el OPO durante 2017-2022. El valor en cada recuadro representa el peso promedio del pescado en las muestras.

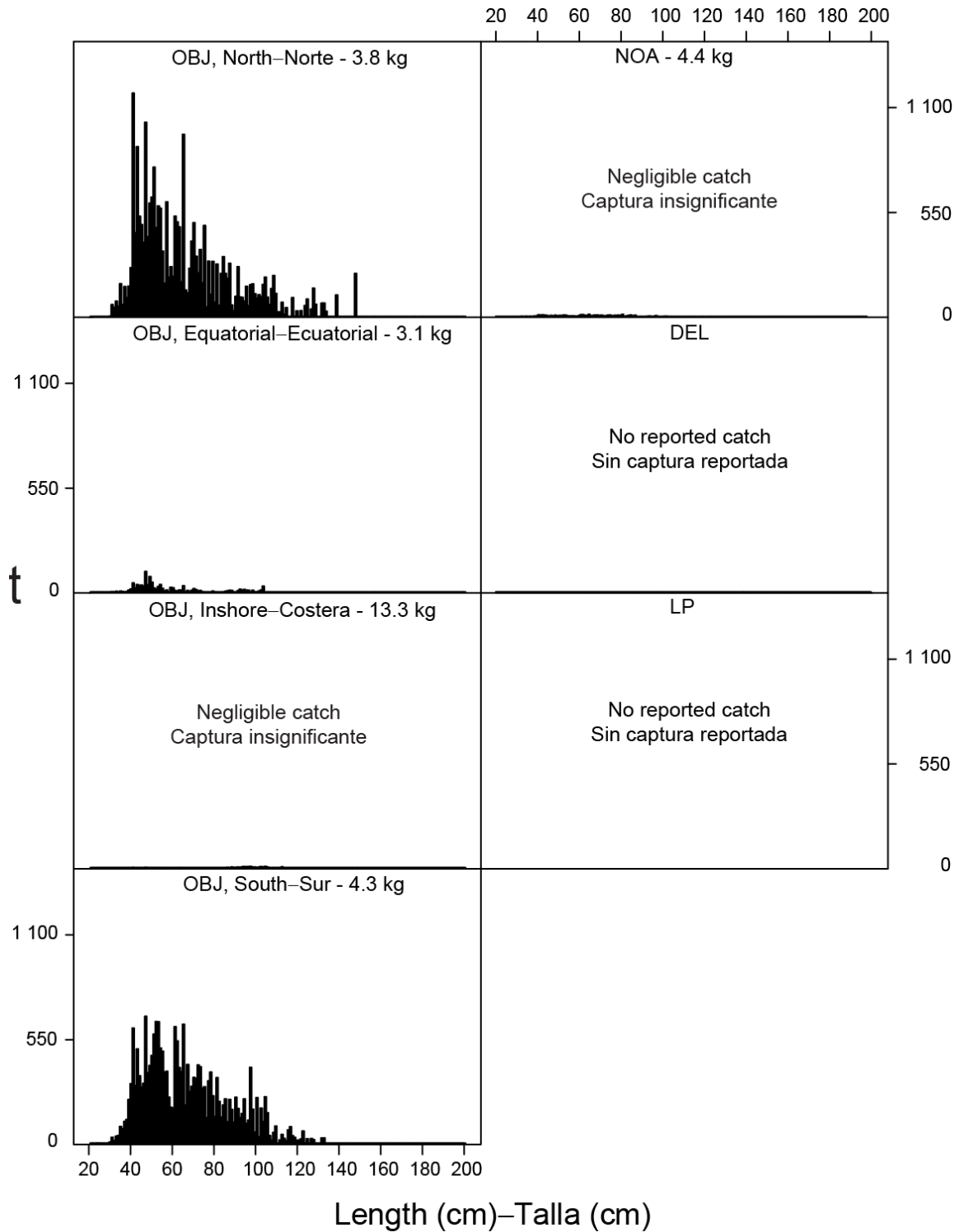


FIGURE A-8a. Estimated size compositions of the bigeye caught in the EPO during 2022 for each fishery designated in Figure A-5. The value at the top of each panel is the average weight.

FIGURA A-8a. Composición por tallas estimada del patudo capturado en el OPO durante 2022 en cada pesquería ilustrada en la Figura A-5. El valor en cada recuadro representa el peso promedio del pescado en las muestras.

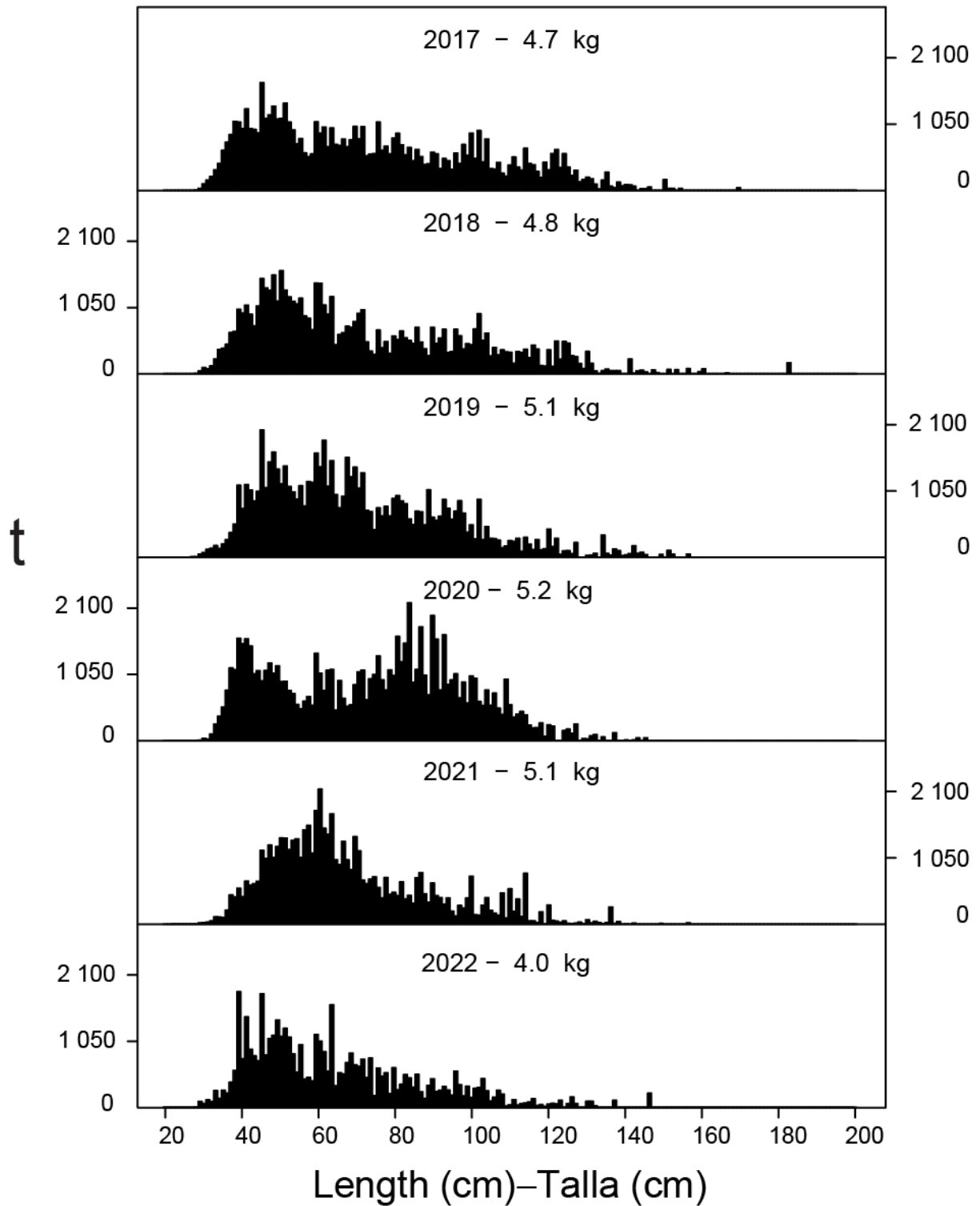


FIGURE A-8b. Estimated size compositions of the bigeye caught by purse-seine vessels in the EPO during 2017-2022. The value at the top of each panel is the average weight.

FIGURA A-8b. Composición por tallas estimada del patudo capturado por buques cerqueros en el OPO durante 2017-2022. El valor en cada recuadro representa el peso promedio del pescado en las muestras.

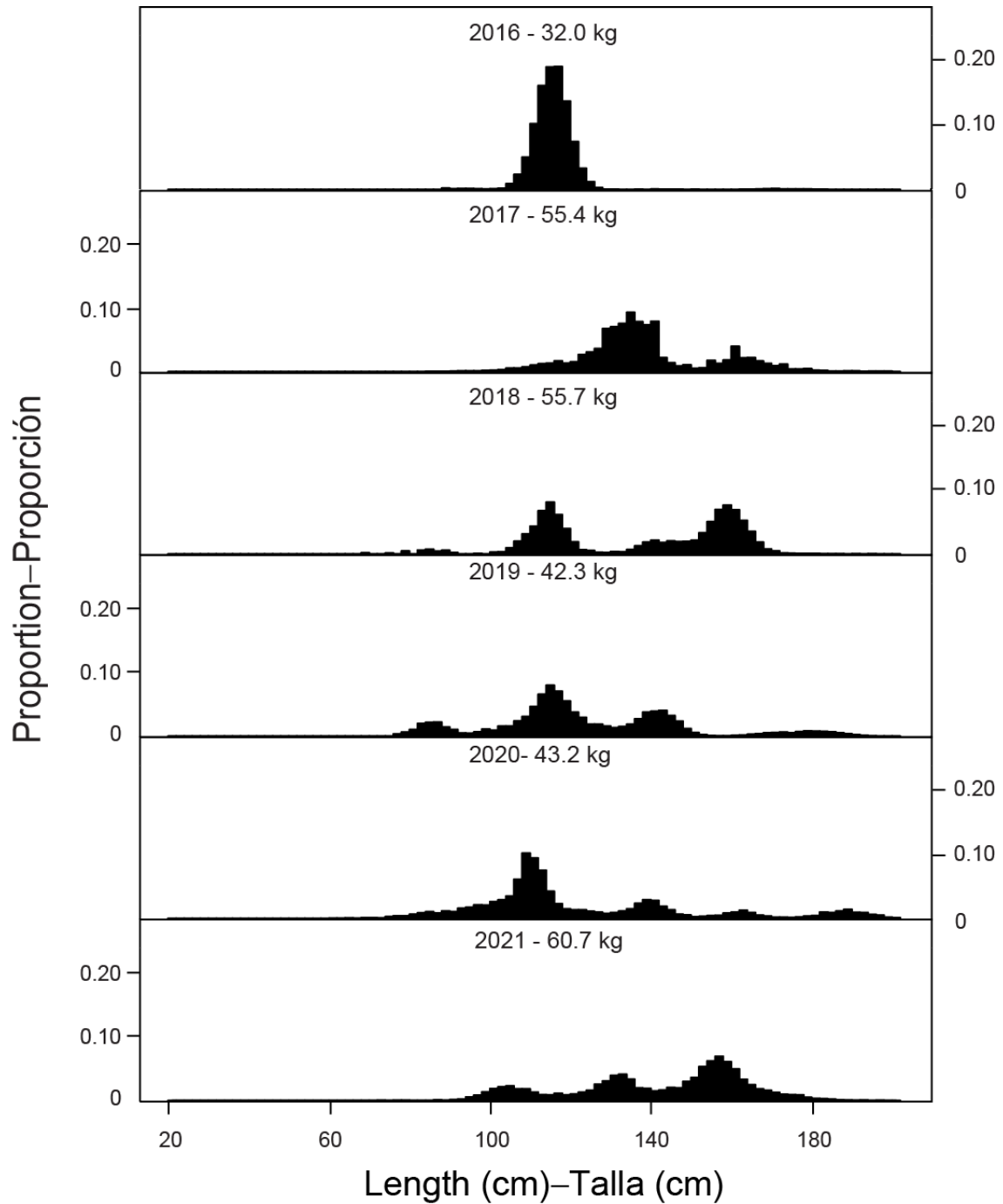


FIGURE A-9. Estimated length compositions of purse-seine catches of Pacific bluefin tuna, 2016-2021. The length distribution has been standardized as a proportion of the total number of measured tuna in each length interval. The value at the top of each panel is the average weight.

Source: Mexico’s National Observer Program (PNAAPD).

FIGURA A-9. Composición por talla estimada de las capturas cerqueras de atún aleta azul del Pacífico, 2016-2021. La distribución de las tallas ha sido estandarizada como proporción del número total de atunes medidos en cada intervalo de talla. El valor en cada recuadro representa el peso promedio.

Fuente: Programa Nacional de Observadores de México (PNAAPD).

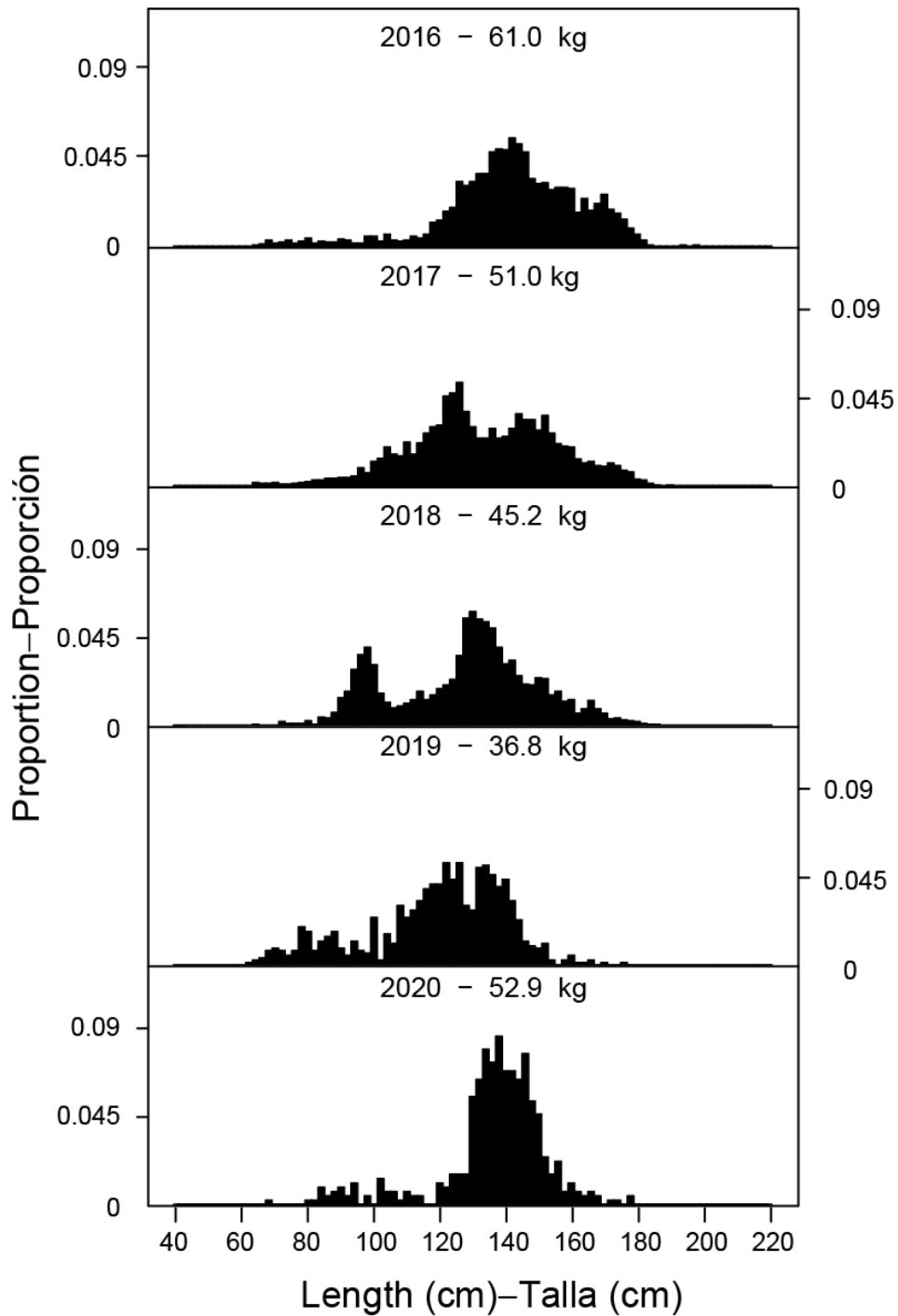


FIGURE A-10. Estimated size compositions of the catches of yellowfin by the Japanese longline fleet in the EPO, 2016-2020. The size distribution has been standardized as a proportion of the total number of measured tuna in each size range. The value at the top of each panel is the average weight. Source: Fisheries Agency of Japan.

FIGURA A-10. Composición por tallas estimada de las capturas de aleta amarilla por la flota palangrera japonesa en el OPO, 2016-2020. La distribución de las tallas ha sido estandarizada como proporción del número total de atunes medidos en cada gama de tallas. El valor en cada recuadro representa el peso promedio. Fuente: Agencia Pesquera de Japón.

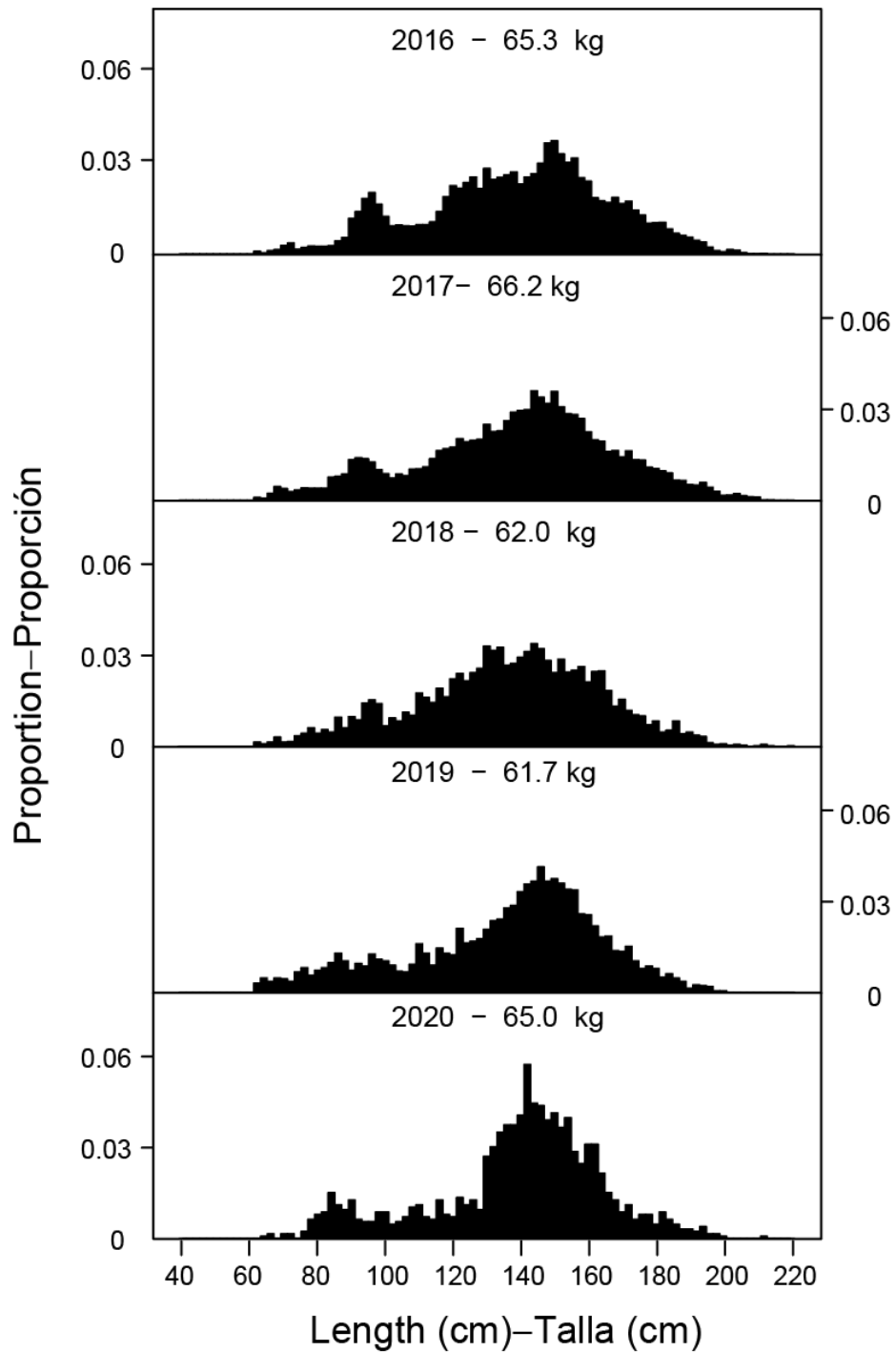


FIGURE A-11. Estimated size compositions of the catches of bigeye by the Japanese longline fleet in the EPO, 2016-2020. The size distribution has been standardized as a proportion of the total number of measured tuna in each size range. The value at the top of each panel is the average weight. Source: Fisheries Agency of Japan

FIGURA A-11. Composición por tallas estimada de las capturas de patudo por la flota palangrera japonesa en el OPO, 2016-2020. La distribución de las tallas ha sido estandarizada como proporción del número total de atunes medidos en cada gama de tallas. El valor en cada recuadro representa el peso promedio. Fuente: Agencia Pesquera de Japón.

TABLE A-1. Annual catches (t) of yellowfin, skipjack, and bigeye tunas, by all types of gear combined, in the Pacific Ocean. The EPO totals for 1993-2022 include discards from purse-seine vessels with carrying capacities greater than 363 t.

TABLA A-1. Capturas anuales (t) de atunes aleta amarilla, barrilete, y patudo, por todas las artes combinadas, en el Océano Pacífico. Los totales del OPO de 1993-2022 incluyen los descartes de buques cerqueros de más de 363 t de capacidad de acarreo.

	YFT			SKJ			BET			Total		
	EPO	WCPO	Total	EPO	WCPO	Total	EPO	WCPO	Total	EPO	WCPO	Total
1993	256,199	418,101	674,300	100,434	864,455	964,889	82,843	113,424	196,267	439,476	1,395,980	1,835,456
1994	248,071	449,221	697,292	84,661	939,508	1,024,169	109,331	124,623	233,954	442,063	1,513,352	1,955,415
1995	244,639	442,815	687,454	150,661	977,478	1,128,139	108,210	110,376	218,586	503,510	1,530,669	2,034,179
1996	266,928	425,705	692,633	132,335	1,003,205	1,135,540	114,706	107,153	221,859	513,969	1,536,063	2,050,032
1997	277,575	481,125	758,700	188,285	942,932	1,131,217	122,274	133,740	256,014	588,134	1,557,797	2,145,931
1998	280,606	536,853	817,459	165,489	1,247,087	1,412,576	93,954	152,607	246,561	540,049	1,936,547	2,476,596
1999	304,638	475,159	779,797	291,249	1,072,899	1,364,148	93,078	163,186	256,264	688,965	1,711,244	2,400,209
2000	286,863	506,965	793,828	230,479	1,198,149	1,428,628	148,557	149,248	297,805	665,899	1,854,362	2,520,261
2001	425,008	505,659	930,667	157,676	1,104,553	1,262,229	130,546	135,601	266,147	713,230	1,745,813	2,459,043
2002	443,458	491,890	935,348	167,048	1,256,174	1,423,222	132,806	158,936	291,742	743,312	1,907,000	2,650,312
2003	415,933	565,533	981,466	300,470	1,247,718	1,548,188	115,175	143,931	259,106	831,578	1,957,182	2,788,760
2004	296,847	598,099	894,946	217,249	1,357,330	1,574,579	110,722	182,945	293,667	624,818	2,138,374	2,763,192
2005	286,492	553,254	839,746	283,453	1,418,129	1,701,582	110,514	155,709	266,223	680,459	2,127,092	2,807,551
2006	180,519	539,773	720,292	309,090	1,479,386	1,788,476	117,328	165,069	282,397	606,937	2,184,228	2,791,165
2007	182,141	567,047	749,188	216,324	1,663,349	1,879,673	94,260	165,153	259,413	492,725	2,395,549	2,888,274
2008	197,328	644,427	841,755	307,699	1,649,075	1,956,774	103,350	171,318	274,668	608,377	2,464,820	3,073,197
2009	250,413	558,446	808,859	239,408	1,761,338	2,000,746	109,255	169,168	278,423	599,076	2,488,952	3,088,028
2010	261,871	566,205	828,076	153,092	1,680,363	1,833,455	95,408	139,927	235,335	510,371	2,386,495	2,896,866
2011	216,720	531,230	747,950	283,509	1,536,806	1,820,315	89,460	168,273	257,733	589,689	2,236,309	2,825,998
2012	213,310	625,687	838,997	273,519	1,731,944	2,005,463	102,687	167,341	270,028	589,516	2,524,972	3,114,488
2013	231,170	578,552	809,722	284,043	1,831,396	2,115,439	86,029	154,882	240,911	601,242	2,564,830	3,166,072
2014	246,789	618,063	864,852	265,490	1,985,132	2,250,622	96,045	169,029	265,074	608,324	2,772,224	3,380,548
2015	260,265	589,285	849,550	334,050	1,788,514	2,122,564	104,635	145,722	250,357	698,950	2,523,521	3,222,471
2016	255,446	660,584	916,030	345,142	1,788,767	2,133,909	92,835	156,799	249,634	693,423	2,606,150	3,299,573
2017	224,777	712,722	937,499	327,610	1,610,032	1,937,642	102,856	130,583	233,439	655,243	2,453,337	3,108,580
2018	253,281	701,448	954,729	291,338	1,842,737	2,134,075	94,480	152,335	246,815	639,099	2,696,520	3,335,619
2019	242,402	694,182	936,584	350,991	2,037,943	2,388,934	97,482	130,421	227,903	690,875	2,862,546	3,553,421
2020	231,416	731,203	962,619	298,406	1,719,535	2,017,941	105,255	147,428	252,683	635,077	2,598,166	3,233,243
2021	263,201	771,472	1,034,673	328,583	1,625,302	1,953,885	79,867	142,712	222,579	671,651	2,539,486	3,211,137
2022	292,158	*	292,158	297,511	*	297,511	63,661	*	63,661	653,330	*	653,330

TABLE A-2a. Estimated catches, in metric tons, of tunas and bonitos in the EPO, by fishing gear, 1993-2022. For purse-seine (PS) vessels, retained (Ret.) catches include all vessels; discard (Dis.) data are for Class-6 vessels only. 'C' indicates that the catch has been combined with the total in the 'OTR' column. The purse-seine and pole-and-line (LP) data for yellowfin, skipjack, and bigeye tunas have been adjusted to the species composition estimate, and are preliminary. The data for 2021-2022 are preliminary.

TABLA A-2a. Capturas estimadas, en toneladas métricas, de atunes y bonitos en el OPO, por arte de pesca, 1993-2022. En el caso de los buques de cerco (PS), las capturas retenidas (Ret) incluyen todos los buques; los datos de descartes (Dis.) son de buques de Clase 6 únicamente. 'C' indica que la captura se ha combinado con el total en la columna 'OTR'. Los datos de los atunes aleta amarilla, barrilete, y patudo de las pesquerías de cerco y de caña (LP) fueron ajustados a la estimación de composición por especies, y son preliminares. Los datos de 2021-2022 son preliminares.

	Yellowfin—Aleta amarilla						Skipjack—Barrilete						Bigeye—Patudo					
	PS		LP	LL	OTR + UNK	Total	PS		LP	LL	OTR + UNK	Total	PS		LP	LL	OTR + UNK	Total
	Ret.	Dis. [§]					Ret.	Dis. [§]					Ret.	Dis. [§]				
1993	219,492	4,713	4,951	24,009	3,034	256,199	83,830	10,515	3,772	61	2,256	100,434	9,657	653	-	72,498	35	82,843
1994	208,408	4,525	3,625	30,026	1,487	248,071	70,126	10,491	3,240	73	731	84,661	34,899	2,266	-	71,360	806	109,331
1995	215,434	5,275	1,268	20,596	2,066	244,639	127,047	16,373	5,253	77	1,911	150,661	45,321	3,251	-	58,269	1,369	108,210
1996	238,607	6,312	3,762	16,608	1,639	266,928	103,973	24,494	2,555	52	1,261	132,335	61,311	5,689	-	46,958	748	114,706
1997	244,878	5,516	4,418	22,163	600	277,575	153,456	31,338	3,260	135	96	188,285	64,272	5,402	-	52,580	20	122,274
1998	253,959	4,697	5,085	15,336	1,529	280,606	140,631	22,643	1,684	294	237	165,489	44,129	2,822	-	46,375	628	93,954
1999	281,920	6,547	1,783	11,682	2,706	304,638	261,565	26,046	2,044	201	1,393	291,249	51,158	4,932	-	36,450	538	93,078
2000	253,263	6,205	2,431	23,855	1,109	286,863	205,647	24,467	231	68	66	230,479	95,282	5,417	-	47,605	253	148,557
2001	383,936	7,028	3,916	29,608	520	425,008	143,165	12,815	448	1,214	34	157,676	60,518	1,254	-	68,755	19	130,546
2002	412,286	4,140	950	25,531	551	443,458	153,546	12,506	616	261	119	167,048	57,421	949	-	74,424	12	132,806
2003	383,279	5,865	470	25,174	1,145	415,933	273,968	22,453	638	634	2,777	300,470	53,052	2,326	-	59,776	21	115,175
2004	272,557	3,000	1,884	18,779	627	296,847	197,824	17,078	528	713	1,106	217,249	65,471	1,574	-	43,483	194	110,722
2005	268,101	2,771	1,822	11,946	1,852	286,492	263,229	16,915	1,299	231	1,779	283,453	67,895	1,900	-	40,694	25	110,514
2006	166,631	1,534	686	10,210	1,458	180,519	296,268	11,177	435	224	986	309,090	83,838	1,680	-	31,770	40	117,328
2007	170,016	1,725	894	8,067	1,439	182,141	208,295	6,450	276	238	1,065	216,324	63,450	890	-	29,876	44	94,260
2008	185,057	696	814	9,820	941	197,328	296,603	8,249	499	1,185	1,163	307,699	75,028	2,086	-	26,208	28	103,350
2009	236,757	1,262	709	10,444	1,241	250,413	230,523	6,064	151	1,584	1,086	239,408	76,799	1,019	-	31,422	15	109,255
2010	251,009	1,031	460	8,339	1,032	261,871	147,192	2,769	47	1,815	1,269	153,092	57,752	564	-	37,090	2	95,408
2011	206,851	415	276	8,048	1,130	216,720	276,035	5,215	24	1,384	851	283,509	56,512	631	-	32,317	-	89,460
2012	198,017	451	400	12,954	1,488	213,310	266,215	3,511	303	2,381	1,109	273,519	66,020	473	-	36,167	27	102,687
2013	218,187	207	759	10,783	1,234	231,170	278,560	2,254	164	2,024	1,041	284,043	49,487	273	-	36,170	99	86,029
2014	234,066	517	C	8,649	3,557	246,789	261,469	2,596	C	194	1,231	265,490	60,445	83	-	35,340	177	96,045
2015	245,727	334	C	10,637	3,567	260,265	328,907	3,699	C	189	1,255	334,050	62,913	177	-	41,524	21	104,635
2016	242,118	404	-	9,807	3,118	255,446	337,561	4,086	-	214	3,281	345,142	56,731	541	-	35,541	22	92,835
2017	210,980	412	C	10,643	2,742	224,777	324,759	1,765	C	185	901	327,610	66,973	201	-	35,649	33	102,856
2018	238,981	231	C	12,579	1,490	253,281	288,821	865	C	1,222	430	291,338	64,523	145	-	29,789	23	94,480
2019	228,313	578	C	12,081	1,430	242,402	347,405	2,851	C	262	473	350,991	69,223	117	-	28,124	18	97,482
2020	218,747	148	C	11,748	773	231,416	295,961	1,787	C	267	391	298,406	78,784	106	-	26,321	44	105,255
2021	253,415	246	-	9,458	82	263,201	326,524	1,824	-	224	11	328,583	58,170	69	-	21,623	5	79,867
2022	291,826	332	-	*	*	292,158	296,453	1,058	-	*	*	297,511	46,690	50	-	16,921	*	63,661

[§] Class-6 (carrying capacity >363 t) purse-seine vessels only-Buques cerqueros de Clase 6 (capacidad de acarreo >363 t) solamente

TABLE A-2a. (continued)

TABLA A-2a. (continuación)

	Pacific bluefin—Aleta azul del Pacífico						Albacore—Albacora						Black skipjack—Barrilete negro					
	PS		LP	LL	OTR + UNK	Total	PS		LP	LL	OTR + UNK	Total	PS		LP	LL	OTR + UNK	Total
	Ret.	Dis. [§]					Ret.	Dis. [§]					Ret.	Dis. [§]				
1993	580	-	-	11	316	907	-	-	1	11,194	4,410	15,605	104	3,925	-	31	-	4,060
1994	969	-	-	12	116	1,097	-	-	85	10,390	10,154	20,629	188	857	-	40	-	1,085
1995	659	-	-	25	264	948	-	-	465	6,185	7,427	14,077	202	1,448	-	-	-	1,650
1996	8,333	-	-	19	83	8,435	11	-	72	7,631	8,398	16,112	704	2,304	-	12	-	3,020
1997	2,608	3	2	14	235	2,862	1	-	59	9,678	7,540	17,278	100	2,512	-	11	-	2,623
1998	1,772	-	-	95	516	2,383	42	-	81	12,635	13,158	25,916	489	1,876	39	-	-	2,404
1999	2,553	54	5	151	514	3,277	47	-	227	11,633	14,510	26,417	171	3,404	-	-	-	3,575
2000	3,712	-	61	46	349	4,168	71	-	86	9,663	13,453	23,273	294	1,995	-	-	-	2,289
2001	1,155	3	1	148	378	1,685	3	-	157	19,410	13,727	33,297	2,258	1,019	-	-	-	3,277
2002	1,758	1	3	71	620	2,453	31	-	381	15,289	14,433	30,134	1,459	2,283	8	-	-	3,750
2003	3,233	-	3	87	369	3,692	34	-	59	24,901	20,397	45,391	433	1,535	6	13	117	2,104
2004	8,880	19	-	15	59	8,973	105	-	126	18,444	22,011	40,686	884	387	-	27	862	2,160
2005	4,743	15	-	-	80	4,838	2	-	66	9,350	15,668	25,086	1,472	2,124	-	-	22	3,618
2006	9,928	-	-	-	93	10,021	109	-	1	13,831	18,980	32,921	1,999	1,972	-	-	-	3,971
2007	4,189	-	-	-	14	4,203	187	-	21	11,107	19,261	30,576	2,307	1,625	-	2	54	3,988
2008	4,392	14	15	-	63	4,484	49	-	1,050	9,218	16,505	26,822	3,624	2,251	-	-	8	5,883
2009	3,428	24	-	-	161	3,613	50	2	C	12,072	19,090	31,214	4,256	1,020	-	2	-	5,278
2010	7,746	-	-	3	89	7,838	25	-	C	14,256	19,363	33,644	3,425	1,079	-	8	184	4,696
2011	2,829	4	-	1	244	3,078	10	-	C	16,191	16,074	32,275	2,317	719	-	6	-	3,042
2012	6,705	-	-	1	405	7,111	-	-	C	24,198	18,100	42,298	4,504	440	-	5	7	4,956
2013	3,154	-	-	1	819	3,974	-	-	C	25,396	18,513	43,909	3,580	805	-	10	24	4,419
2014	5,263	66	-	-	427	5,756	-	-	C	29,231	19,463	48,694	4,153	486	-	11	81	4,731
2015	3,168	-	-	15	405	3,588	-	-	C	28,939	17,142	46,081	3,763	356	-	1	111	4,231
2016	3,025	-	-	31	697	3,753	2	-	-	26,777	14,567	41,346	6,606	792	-	-	178	7,576
2017	4,109	-	-	22	482	4,613	-	-	-	26,592	9,517	36,109	5,079	306	C	-	54	5,439
2018	2,852	-	-	31	551	3,434	8	-	-	25,477	11,138	36,623	3,002	732	C	-	120	3,854
2019	2,475	-	-	36	490	3,001	-	-	-	19,891	11,897	31,788	5,199	499	C	-	132	5,830
2020	3,383	19	-	88	744	4,234	-	-	-	19,077	10,327	29,404	4,573	684	-	-	359	5,616
2021	3,069	-	-	116	1,219	4,404	-	-	-	31,432	6,945	38,377	4,701	472	-	-	3	5,285
2022	3,392	7	-	*	*	3,399	2	-	-	*	*	2	6,467	592	-	-	*	7,059

[§] Class-6 (carrying capacity >363 t) purse-seine vessels only—Buques cerqueros de Clase 6 (capacidad de acarreo >363 t) solamente

TABLE A-2a. (continued)
 TABLA A-2a. (continuación)

	Bonitos						Unidentified tunas— Atunes no identificados						Total					
	PS		LP	LL	OTR + UNK	Total	PS		LP	LL	OTR + UNK	Total	PS		LP	LL	OTR + UNK	Total
	Ret.	Dis. [§]					Ret.	Dis. [§]					Ret.	Dis. [§]				
1993	599	12	1	-	436	1,048	9	1,975	-	10	4,082	6,076	314,271	21,793	8,725	107,814	14,570	467,173
1994	8,331	147	362	-	185	9,025	9	498	-	1	464	972	322,930	18,781	7,311	111,901	13,943	474,867
1995	7,929	55	81	-	54	8,119	11	626	-	-	1,004	1,641	396,603	27,028	7,066	85,152	14,096	529,945
1996	647	1	7	-	16	671	37	1,028	-	-	1,038	2,103	413,623	39,827	6,395	71,283	13,183	544,311
1997	1,097	4	8	-	34	1,143	71	3,383	-	7	1,437	4,898	466,483	48,157	7,747	84,588	9,962	616,936
1998	1,330	4	7	-	588	1,929	13	1,233	-	24	18,158	19,428	442,365	33,276	6,897	74,758	34,815	592,111
1999	1,719	-	-	24	369	2,112	27	3,092	-	2,113	4,279	9,511	599,160	44,076	4,059	62,254	24,310	733,859
2000	636	-	-	75	56	767	190	1,410	-	1,992	1,468	5,060	559,095	39,494	2,809	83,305	16,756	701,459
2001	17	-	-	34	19	70	191	679	-	2,448	55	3,373	591,243	22,799	4,523	121,616	14,755	754,935
2002	-	-	-	-	1	1	576	1,863	-	482	1,422	4,343	627,077	21,741	1,958	116,057	17,158	783,992
2003	-	-	1	-	25	26	80	1,238	-	215	750	2,283	714,079	33,416	1,177	110,799	25,600	885,071
2004	15	35	1	8	3	62	256	973	-	349	258	1,836	545,992	23,066	2,539	81,818	25,120	678,536
2005	313	18	-	-	11	342	190	1,922	-	363	427	2,902	605,945	25,664	3,187	62,585	19,865	717,246
2006	3,507	80	12	-	3	3,602	50	1,910	-	29	193	2,182	562,330	18,353	1,134	56,066	21,754	659,636
2007	15,906	628	107	2	-	16,643	598	1,221	-	2,197	301	4,317	464,948	12,540	1,298	51,488	22,179	552,452
2008	7,874	37	9	6	26	7,952	136	1,380	1	727	883	3,127	572,763	14,712	2,388	47,164	19,617	656,644
2009	9,720	15	-	8	77	9,820	162	469	-	1,933	74	2,638	561,695	9,875	860	57,466	21,743	651,640
2010	2,820	19	4	2	70	2,915	136	709	-	1,770	36	2,651	470,105	6,170	511	63,279	22,045	562,111
2011	7,969	45	18	10	11	8,053	108	784	-	3,178	-	4,070	552,631	7,813	318	61,136	18,311	640,208
2012	8,191	156	-	1	64	8,412	41	354	-	196	221	812	549,693	5,385	704	75,900	21,419	653,101
2013	2,067	9	-	13	27	2,116	53	461	-	-	529	1,043	555,088	4,009	923	74,397	22,286	656,703
2014	2,821	38	-	-	154	3,013	113	328	-	269	392	1,102	568,330	4,113	-	73,695	25,482	671,620
2015	789	28	-	1	-	818	90	242	-	-	1,232	1,564	645,357	4,836	-	81,306	23,733	755,232
2016	3,806	15	-	-	1	3,822	129	212	-	-	294	635	649,978	6,050	-	72,485	22,157	750,655
2017	3,438	54	-	-	-	3,492	234	303	-	-	366	903	615,572	3,041	-	73,091	14,094	705,798
2018	2,409	58	-	-	-	2,467	75	448	-	3	213	739	600,671	2,479	-	69,101	13,965	686,216
2019	7,255	27	-	-	-	7,282	83	276	-	4	65	428	659,953	4,348	-	60,398	14,505	739,204
2020	3,169	6	-	-	506	3,681	211	480	-	3	-	694	604,828	3,229	-	57,504	13,144	678,705
2021	6,899	75	-	-	-	6,974	1,253	441	-	1	-	1,695	654,031	3,127	-	62,963	8,265	728,386
2022	3,242	9	-	-	-	3,251	2,293	699	-	*	-	2,992	650,365	2,747	-	16,921	*	670,033

[§] Class-6 (carrying capacity >363 t) purse-seine vessels only-Buques cerqueros de Clase 6 (capacidad de acarreo >363 t) solamente

TABLE A-2b. Estimated catches, in metric tons, of billfishes in the EPO, by fishing gear, 1993-2022. Purse-seine (PS) vessel data are for Class-6 vessels only. The data for 2021-2022 are preliminary.

TABLA A-2b. Capturas estimadas, en toneladas métricas, de peces picudos en el OPO, por arte de pesca, 1993-2022. En el caso de los buques de cerco (PS), los datos son de buques de Clase 6 únicamente. Los datos de 2021-2022 son preliminares.

	Swordfish—Pez espada					Blue marlin—Marlín azul					Black marlin—Marlín negro					Striped marlin—Marlín rayado				
	PS [§]		LL	OTR	Total	PS [§]		LL	OTR	Total	PS [§]		LL	OTR	Total	PS [§]		LL	OTR	Total
	Ret.	Dis.				Ret.	Dis.				Ret.	Dis.				Ret.	Dis.			
1993	3	1	6,187	4,414	10,605	84	20	6,571	-6,675	57	31	218	-	306	47	20	3,575	259	3,901	
1994	1	-	4,990	3,822	8,813	69	15	9,027	-9,111	39	23	256	-	318	20	9	3,396	257	3,682	
1995	3	-	4,495	2,974	7,472	70	16	7,288	-7,374	43	23	158	-	224	18	8	3,249	296	3,571	
1996	1	-	7,071	2,486	9,558	62	15	3,596	-3,673	46	24	100	-	170	20	9	3,218	430	3,677	
1997	2	1	10,580	1,781	12,364	126	15	5,915	-6,056	71	22	154	-	247	28	3	4,473	329	4,833	
1998	3	-	9,800	3,246	13,049	130	20	4,856	-5,006	72	28	168	-	268	20	3	3,558	509	4,090	
1999	2	-	7,569	1,965	9,536	181	38	3,691	-3,910	83	42	94	-	219	26	11	2,621	376	3,034	
2000	3	-	8,930	2,383	11,316	120	23	3,634	-3,777	67	21	105	-	193	17	3	1,889	404	2,313	
2001	3	1	16,007	1,964	17,975	119	40	4,196	-4,355	67	48	123	-	238	13	8	1,961	342	2,324	
2002	1	-	17,598	2,119	19,718	188	33	3,480	-3,701	86	30	78	-	194	69	5	2,158	412	2,644	
2003	3	1	18,161	354	18,519	185	21	4,015	-4,221	121	26	73	-	220	31	4	1,904	417	2,356	
2004	2	-	15,372	309	15,683	140	21	3,783	-3,944	62	5	41	-	108	23	1	1,547	390	1,961	
2005	2	-	8,935	4,304	13,241	209	14	3,350	-3,573	95	9	39	-	143	37	4	1,531	553	2,125	
2006	7	-	9,890	3,800	13,697	164	21	2,934	105	3,224	124	21	77	-	222	54	3	1,735	490	2,282
2007	4	-	9,639	4,390	14,033	124	13	2,393	106	2,636	74	8	47	-	129	32	4	1,656	1,024	2,716
2008	6	-	12,248	3,071	15,325	125	8	1,705	114	1,952	76	9	100	-	185	33	2	1,291	1,045	2,371
2009	4	-	15,539	3,905	19,448	159	15	2,102	131	2,407	76	8	94	-	178	23	2	1,333	7	1,365
2010	4	-	18,396	4,480	22,880	176	12	2,920	126	3,234	62	9	160	-	231	21	2	2,129	9	2,161
2011	3	-	20,400	5,101	25,504	150	6	2,025	144	2,325	59	7	187	-	253	28	1	2,640	16	2,685
2012	5	-	23,587	7,148	30,740	178	15	3,723	177	4,093	71	4	444	-	519	28	-	2,703	20	2,751
2013	2	-	22,342	5,560	27,904	172	15	4,202	168	4,557	99	4	138	-	241	21	1	2,439	19	2,480
2014	4	-	21,331	6,332	27,667	209	12	4,069	186	4,476	70	4	151	-	225	22	1	1,929	3	1,955
2015	5	1	25,803	6,080	31,889	306	11	4,120	182	4,619	117	14	240	-	371	26	-	1,268	474	1,768
2016	4	-	24,371	7,512	31,887	247	6	3,678	175	4,106	62	3	80	-	145	19	-	1,562	4	1,585
2017	1	2	22,442	8,073	30,518	151	4	3,903	191	4,249	39	1	211	-	251	10	-	1,752	7	1,769
2018	2	-	24,569	7,039	31,610	167	1	4,094	174	4,436	23	-	297	-	320	10	1	1,820	5	1,836
2019	3	-	21,858	9,247	31,108	201	4	2,503	186	2,894	45	-	161	-	206	16	-	1,752	11	1,779
2020	2	-	22,486	5,684	28,172	131	1	2,789	194	3,115	45	-	611	-	656	10	-	1,857	9	1,876
2021	2	-	17,607	4,852	22,461	117	1	1,614	*	1,732	38	-	281	-	319	12	-	1,336	2	1,350
2022	3	-	*	*	3	169	3	*	*	172	38	1	*	-	39	16	1	*	*	17

[§] Class-6 (carrying capacity >363 t) purse-seine vessels only—Buques cerqueros de Clase 6 (capacidad de acarreo >363 t) solamente

TABLE A-2b. (continued)

TABLA A-2b. (continuación)

	Shortbill spearfish— Marlín trompa corta					Sailfish— Pez vela					Unidentified istiophorid billfishes—Picudos istio-fó- ridos no identificados					Total billfishes— Total de peces picudos				
	PS [§]		LL	OTR	Total	PS [§]		LL	OTR	Total	PS [§]		LL	OTR	Total	PS [§]		LL	OTR	Total
	Ret.	Dis.				Ret.	Dis.				Ret.	Dis.				Ret.	Dis.			
1993	-	-	1	-	1	26	32	2,266	-	2,324	29	68	1,650	-	1,747	246	172	20,468	4,673	25,559
1994	-	-	144	-	144	19	21	1,682	-	1,722	7	16	1,028	-	1,051	155	84	20,523	4,079	24,841
1995	1	-	155	-	156	12	15	1,351	-	1,378	4	9	232	-	245	151	71	16,928	3,270	20,420
1996	1	-	126	-	127	10	12	738	-	760	6	13	308	-	327	146	73	15,157	2,916	18,292
1997	1	-	141	-	142	12	11	1,891	-	1,914	3	5	1,324	-	1,332	243	57	24,478	2,110	26,888
1998	-	-	200	-	200	28	31	1,382	-	1,441	5	7	575	55	642	258	89	20,539	3,810	24,696
1999	1	-	278	-	279	33	8	1,216	-	1,257	6	12	1,136	-	1,154	332	111	16,605	2,341	19,389
2000	1	-	285	-	286	33	17	1,380	-	1,430	3	6	880	136	1,025	244	70	17,103	2,923	20,340
2001	-	-	304	-	304	18	45	1,539	325	1,927	2	5	1,741	204	1,952	222	147	25,871	2,835	29,075
2002	1	-	273	-	274	19	15	1,792	17	1,843	4	5	1,862	14	1,885	368	88	27,241	2,562	30,259
2003	1	4	290	-	295	38	49	1,174	-	1,261	6	5	1,389	-	1,400	385	110	27,006	771	28,272
2004	1	-	207	-	208	19	13	1,400	17	1,449	4	4	1,385	-	1,393	251	44	23,735	716	24,746
2005	1	-	229	-	230	32	11	805	15	863	5	3	901	-	909	381	41	15,790	4,872	21,084
2006	1	-	231	-	232	30	13	1,007	35	1,085	23	4	490	1	518	403	62	16,364	4,431	21,260
2007	1	-	239	-	240	41	8	1,032	64	1,145	13	4	1,171	15	1,203	289	37	16,177	5,599	22,102
2008	1	-	266	-	267	28	7	524	72	631	16	5	1,587	8	1,616	285	31	17,721	4,310	22,347
2009	1	-	446	-	447	17	6	327	8	358	11	1	1,799	12	1,823	291	32	21,640	4,063	26,026
2010	1	-	519	-	520	27	20	655	3	705	8	2	2,604	-	2,614	299	45	27,383	4,618	32,345
2011	-	-	462	-	462	18	5	658	28	709	15	1	2,377	3	2,396	273	20	28,749	5,292	34,334
2012	1	-	551	-	552	14	2	685	15	716	10	1	2,178	-	2,189	307	22	33,871	7,360	41,560
2013	1	-	913	-	914	16	2	614	9	641	15	3	2,743	1	2,762	326	25	33,391	5,757	39,499
2014	-	-	721	-	721	16	1	481	8	506	8	2	220	3	233	329	20	28,902	6,532	35,783
2015	1	-	497	-	498	18	8	1,402	22	1,450	19	1	705	4	729	492	35	34,036	6,762	41,325
2016	1	-	416	-	417	49	9	457	19	534	112	9	732	1	854	494	27	31,296	7,710	39,527
2017	-	-	245	-	245	22	2	527	15	566	164	12	258	16	450	387	21	29,338	8,302	38,050
2018	-	-	235	-	235	13	2	467	17	499	123	6	203	12	344	338	10	31,684	7,247	39,280
2019	-	-	809	-	809	17	1	858	5	881	121	5	416	51	593	403	11	28,358	9,499	38,270
2020	1	-	647	-	648	18	1	493	3	515	77	3	564	7	651	284	5	29,448	5,897	35,633
2021	-	-	130	-	130	10	1	595	*	606	70	6	77	9	162	249	8	21,641	4,863	26,760
2022	1	-	*	-	1	8	2	*	*	10	62	4	*	*	66	297	11	*	*	308

[§] Class-6 (carrying capacity >363 t) purse-seine vessels only-Buques cerqueros de Clase 6 (capacidad de acarreo >363 t) solamente

TABLE A-3a. Catches (t) of yellowfin tuna by purse-seine vessels in the EPO, by vessel flag. ‘C’ indicates that the catch has been combined with the total in the ‘OTR’ column. The data have been adjusted to the species composition estimate and are preliminary.

TABLA A-3a. Capturas (t) de atún aleta amarilla por buques de cerco en el OPO, por bandera del buque. ‘C’ indica que la captura se ha combinado con el total en la columna ‘OTR’. Los datos están ajustados a la estimación de composición por especie, y son preliminares.

	COL	CRI	ECU	EU (ESP)	MEX	NIC	PAN	PER	SLV	USA	VEN	VUT	C + OTR ¹	Total
1993	3,863	-	18,094	C	101,792	-	5,671	-	-	14,055	43,522	24,936	7,559	219,492
1994	7,533	-	18,365	C	99,618	-	3,259	-	-	8,080	41,500	25,729	4,324	208,408
1995	8,829	C	17,044	C	108,749	-	1,714	-	-	5,069	47,804	22,220	4,005	215,434
1996	9,855	C	17,125	C	119,878	-	3,084	-	-	6,948	62,846	10,549	8,322	238,607
1997	9,402	-	18,697	C	120,761	-	4,807	-	-	5,826	57,881	20,701	6,803	244,878
1998	15,592	-	36,201	5,449	106,840	-	3,330	-	C	2,776	61,425	17,342	5,004	253,959
1999	13,267	-	53,683	8,322	114,545	C	5,782	-	C	3,400	55,443	16,476	11,002	281,920
2000	6,138	-	35,492	10,318	101,662	C	5,796	-	-	4,374	67,672	8,247	13,563	253,262
2001	12,950	-	55,347	18,448	130,087	C	9,552	-	C	5,670	108,974	10,729	32,180	383,937
2002	17,574	-	32,512	16,990	152,864	C	15,719	C	7,412	7,382	123,264	7,502	31,068	412,287
2003	9,770	-	34,271	12,281	172,807	-	16,591	C	C	3,601	96,914	9,334	27,710	383,279
2004	C	-	40,886	13,622	91,442	C	33,563	-	C	C	39,094	7,371	46,577	272,555
2005	C	-	40,596	11,947	110,898	4,838	33,393	-	6,470	C	28,684	C	31,276	268,102
2006	C	-	26,049	8,409	69,449	4,236	22,521	-	C	C	13,286	C	22,679	166,629
2007	C	-	19,749	2,631	65,091	3,917	26,024	-	C	C	20,097	C	32,507	170,016
2008	C	-	18,463	3,023	84,462	4,374	26,993	C	C	C	17,692	C	30,050	185,057
2009	C	-	18,167	7,864	99,785	6,686	35,228	C	C	C	25,298	C	43,729	236,757
2010	20,493	-	34,764	2,820	104,969	9,422	34,538	C	C	-	21,244	C	22,758	251,008
2011	18,643	-	32,946	1,072	99,812	7,781	18,607	-	C	C	18,712	C	9,278	206,851
2012	20,924	-	29,485	1,065	93,323	7,541	15,932	-	C	C	23,408	C	6,339	198,017
2013	16,476	-	27,655	511	114,706	8,261	18,301	C	C	-	24,896	C	7,381	218,187
2014	17,185	-	37,546	760	120,980	8,100	19,349	C	C	1,105	23,025	-	6,016	234,066
2015	17,270	-	50,153	C	106,171	6,876	26,558	783	C	3,212	30,428	-	4,276	245,727
2016	19,280	-	59,280	C	93,928	11,047	23,249	1,647	C	4,578	23,812	-	5,298	242,118
2017	15,106	-	55,705	C	80,870	9,347	19,921	3,349	C	6,500	16,809	-	3,373	210,980
2018	21,855	-	57,164	C	101,651	7,552	22,625	1,458	C	3,808	19,527	-	3,341	238,981
2019	17,177	-	46,102	C	105,426	7,114	17,826	1,782	C	6,515	22,558	-	3,814	228,313
2020	16,641	-	39,897	C	102,137	5,423	22,585	561	C	3,728	24,475	-	3,300	218,747
2021	14,613	-	50,420	C	107,945	7,429	30,095	C	C	4,595	33,293	-	5,025	253,415
2022	15,874	-	59,669	C	119,478	8,945	39,148	*	C	4,412	38,081	-	6,219	291,826

¹ Includes—Incluye: BLZ, BOL, CHN, EU(CYP), GTM, HND, LBR, NZL, RUS, UNK, VCT

TABLE A-3b. Annual catches (t) of yellowfin tuna by longline vessels, and totals for all gears, in the EPO, by vessel flag. 'C' indicates that the catch has been combined with the total in the 'OTR' column. The data for 2020-2021 are preliminary.

TABLA A-3b. Capturas anuales (t) de atún aleta amarilla por buques de palangre en el OPO, y totales de todas las artes, por bandera del buque. 'C' indica que la captura se ha combinado con el total en la columna 'OTR'. Los datos de 2020-2021 son preliminares.

	CHN	CRI	FRA (PYF)	JPN	KOR	MEX	PAN	TWN	USA	VUT	C + OTR ¹	Total LL	Total PS+LL	OTR ²
1993	-	200	39	20,339	3,257	C	-	155	17	-	2	24,009	243,501	7,985
1994	-	481	214	25,983	3,069	41	-	236	2	-	*	30,026	238,434	5,112
1995	-	542	198	17,042	2,748	7	-	28	31	-	*	20,596	236,030	3,334
1996	-	183	253	12,631	3,491	0	-	37	13	-	*	16,608	255,215	5,401
1997	-	715	307	16,218	4,753	-	-	131	11	-	28	22,163	267,041	5,018
1998	-	1,124	388	10,048	3,624	16	-	113	15	-	8	15,336	269,295	6,614
1999	-	1,031	206	7,186	3,030	10	-	186	7	-	26	11,682	293,602	4,489
2000	-	1,084	1,052	15,265	5,134	153	359	742	10	5	51	23,855	277,118	3,540
2001	942	1,133	846	14,808	5,230	29	732	3,928	29	13	1,918	29,608	413,544	4,436
2002	1,457	1,563	278	8,513	3,626	4	907	7,360	5	290	1,528	25,531	437,817	1,501
2003	2,739	1,418	462	9,125	4,911	365	C	3,477	5	699	1,973	25,174	408,453	1,615
2004	798	1,701	767	7,338	2,997	32	2,802	1,824	6	171	343	18,779	291,336	2,511
2005	682	1,791	530	3,966	532	0	1,782	2,422	7	51	183	11,946	280,047	3,674
2006	246	1,402	537	2,968	928	0	2,164	1,671	21	164	109	10,210	176,841	2,144
2007	224	1,204	408	4,582	353	8	-	745	11	154	378	8,067	178,083	2,333
2008	469	1,248	335	5,383	83	5	-	247	33	175	1,842	9,820	194,877	1,755
2009	629	1,003	590	4,268	780	10	-	636	84	244	2,200	10,444	247,201	1,950
2010	459	3	301	3,639	737	6	-	872	54	269	1,999	8,339	259,348	1,492
2011	1,807	-	349	2,373	754	6	-	647	55	150	1,907	8,048	214,899	1,406
2012	2,591	1,482	538	3,600	631	7	519	749	39	155	2,643	12,954	210,971	1,888
2013	1,874	1,424	410	3,117	928	8	325	572	43	101	1,981	10,783	228,970	1,993
2014	2,120	1,072	567	2,633	704	4	249	896	61	323	20	8,649	242,715	3,557
2015	2,642	1,415	929	2,177	957	20	419	1,287	121	530	139	10,637	256,364	3,567
2016	2,398	1,010	825	1,839	1,124	29	688	1,222	253	166	253	9,807	251,925	3,118
2017	2,907	837	1,252	1,463	1,176	10	612	1,263	536	406	182	10,643	221,623	2,742
2018	5,386	1,190	1,101	1,412	1,189	*	231	1,212	427	293	137	12,578	251,559	1,490
2019	3,372	1,490	1,015	1,809	1,725	*	314	1,556	260	344	195	12,081	240,394	1,430
2020	3,392	1,719	853	1,466	2,110	*	94	1,185	411	242	277	11,749	230,496	773
2021	2,299	*	1,933	1,092	1,641	*	1,037	895	216	215	131	9,459	262,874	82
2022	*	*	*	*	*	*	*	*	*	*	*	*	291,826	*

¹ Includes—Incluye: BLZ, CHL, ECU, EU(ESP), EU(PRT), GTM, HND, NIC, SLV

² Includes gillnets, pole-and-line, recreational, troll and unknown gears—Incluye red agallera, caña, artes deportivas, y desconocidas

TABLE A-3c. Catches (t) of skipjack tuna by purse-seine and longline vessels in the EPO, by vessel flag, adjusted to the species composition estimate. ‘C’ indicates that the catch has been combined with the total in the ‘OTR’ column. The 2021-2022 data are preliminary.

TABLA A-3c. Capturas (t) de atún barrilete por buques de cerco y de palangre en el OPO, por bandera del buque, ajustadas a la estimación de composición por especie. ‘C’ indica que la captura se ha combinado con el total en la columna ‘OTR’. Los datos de 2021-2022 son preliminares.

	PS														LL+ OTR ²
	COL	CRI	ECU	EU(ESP)	MEX	NIC	PAN	PER	SLV	USA	VEN	VUT	C+OTR ¹	Total	
1993	3,292	-	21,227	C	13,037	-	1,062	-	-	17,853	7,270	10,908	9,181	83,830	6,089
1994	7,348	-	15,083	C	11,783	-	2,197	-	-	8,947	6,356	9,541	8,871	70,126	4,044
1995	13,081	C	31,934	C	29,406	-	4,084	-	-	14,032	5,508	13,910	15,092	127,047	7,241
1996	13,230	C	32,433	C	14,501	-	3,619	-	-	12,012	4,104	10,873	13,201	103,973	3,868
1997	12,332	-	51,826	C	23,416	-	4,277	-	-	13,687	8,617	14,246	25,055	153,456	3,491
1998	4,698	-	67,074	20,012	15,969	-	1,136	-	C	6,898	6,795	11,284	6,765	140,631	2,215
1999	11,210	-	124,393	34,923	16,767	C	5,286	-	C	13,491	16,344	21,287	17,864	261,565	3,638
2000	10,138	-	104,849	17,041	14,080	C	9,573	-	-	7,224	6,720	13,620	22,399	205,644	365
2001	9,445	-	66,144	13,454	8,169	C	6,967	-	C	4,135	3,215	7,824	23,813	143,166	1,696
2002	10,908	-	80,378	10,546	6,612	C	9,757	C	4,601	4,582	2,222	4,657	19,283	153,546	996
2003	14,771	-	139,804	18,567	8,147	-	25,084	C	C	5,445	6,143	14,112	41,895	273,968	4,049
2004	C	-	89,621	8,138	24,429	C	20,051	-	C	C	23,356	4,404	27,825	197,824	2,347
2005	C	-	140,927	9,224	32,271	3,735	25,782	-	4,995	C	22,146	C	24,149	263,229	3,309
2006	C	-	138,490	16,668	16,790	8,396	44,639	-	C	C	26,334	C	44,952	296,269	1,645
2007	C	-	93,553	2,879	21,542	4,286	28,475	-	C	C	21,990	C	35,571	208,296	1,579
2008	C	-	143,431	4,841	21,638	7,005	43,230	C	C	C	28,333	C	48,125	296,603	2,847
2009	C	-	132,712	6,021	6,847	5,119	26,973	C	C	C	19,370	C	33,481	230,523	2,821
2010	11,400	-	82,280	1,569	3,010	5,242	19,213	C	C	-	11,818	C	12,660	147,192	3,132
2011	23,269	-	149,637	5,238	11,899	3,889	29,837	-	C	C	27,026	C	25,240	276,035	2,259
2012	15,760	-	151,280	15,773	18,058	3,931	25,786	-	C	C	20,829	C	14,798	266,215	3,793
2013	22,168	-	172,002	2,900	17,350	4,345	31,022	C	C	-	17,522	C	11,251	278,560	3,229
2014	22,732	-	172,239	5,581	8,783	6,300	21,776	C	C	521	13,767	-	9,770	261,469	1,425
2015	16,431	-	208,765	C	23,515	1,261	31,427	5,225	C	16,826	4,792	-	20,665	328,907	1,444
2016	20,665	-	190,577	C	13,286	1,971	32,844	6,449	C	40,036	9,067	-	22,666	337,561	3,495
2017	19,284	-	190,139	C	21,238	6,959	37,419	6,257	C	24,989	7,288	-	11,186	324,759	1,086
2018	15,365	-	177,456	C	17,014	7,759	36,504	4,119	C	11,869	6,679	-	12,056	288,821	1,652
2019	23,395	-	211,827	C	19,656	8,089	33,662	8,944	C	19,706	5,719	-	16,407	347,405	736
2020	15,569	-	189,750	C	7,322	9,049	39,058	2,618	C	14,119	4,578	-	13,898	295,961	658
2021	26,107	-	193,168	C	7,944	7,574	44,375	C	C	24,116	7,306	-	15,934	326,524	235
2022	20,349	-	169,788	C	11,526	7,741	48,031	*	C	17,616	6,466	-	14,936	296,453	*

¹ Includes—Incluye: BLZ, BOL, CHN, EU(CYP), GTM, HND, LBR, NZL, RUS, VCT, UNK

² Includes gillnets, pole-and-line, recreational, and unknown gears—Incluye red agallera, caña, artes deportivas y desconocidas

TABLE A-3d. Catches (t) of bigeye tuna by purse-seine vessels in the EPO, by vessel flag. ‘C’ indicates that the catch has been combined with the total in the ‘OTR’ column. The data have been adjusted to the species composition estimate and are preliminary for 2021 and 2022.

TABLA A-3d. Capturas (t) de atún patudo por buques de cerco en el OPO, por bandera del buque. ‘C’ indica que la captura se ha combinado con el total en la columna ‘OTR’. Los datos están ajustados a la estimación de composición por especie, y los de 2021 y 2022 son preliminares.

	COL	CRI	ECU	EU(ESP)	MEX	NIC	PAN	PER	SLV	USA	VEN	VUT	C + OTR ¹	Total
1993	686	-	2,166	C	120	-	10	*	-	3,324	253	1,848	1,250	9,657
1994	5,636	-	5,112	C	171	-	-	*	-	7,042	637	8,829	7,472	34,899
1995	5,815	C	8,304	C	91	-	839	*	-	11,042	706	12,072	6,452	45,321
1996	7,692	C	20,279	C	82	-	1,445	*	-	8,380	619	12,374	10,440	61,311
1997	3,506	-	30,092	C	38	-	1,811	*	-	8,312	348	6,818	13,347	64,272
1998	596	-	25,113	5,747	12	-	12	*	C	5,309	348	4,746	2,246	44,129
1999	1,511	-	24,355	11,703	33	C	1,220	*	C	2,997	10	5,318	4,011	51,158
2000	7,443	-	36,094	12,511	0	C	7,028	*	-	5,304	457	10,000	16,446	95,283
2001	5,230	-	24,424	7,450	0	C	3,858	*	C	2,290	0	4,333	12,933	60,518
2002	5,283	-	26,262	5,108	0	C	4,726	C	2,228	2,219	0	2,256	9,340	57,422
2003	3,664	-	22,896	4,605	0	-	6,222	C	C	1,350	424	3,500	10,390	53,051
2004	C	-	30,817	3,366	0	C	8,294	*	C	C	9,661	1,822	11,511	65,471
2005	C	-	30,507	3,831	0	1,551	10,707	*	2,074	C	9,197	C	10,028	67,895
2006	C	-	39,302	5,264	6	2,652	14,099	*	C	C	8,317	C	14,197	83,837
2007	C	-	40,445	711	0	1,058	7,029	*	C	C	5,428	C	8,780	63,451
2008	C	-	41,177	1,234	327	1,785	11,018	C	C	C	7,221	C	12,266	75,028
2009	C	-	35,646	2,636	1,334	2,241	11,807	C	C	C	8,479	C	14,657	76,800
2010	4,206	-	34,902	579	11	1,934	7,089	C	C	-	4,360	C	4,672	57,753
2011	3,210	-	31,282	4,111	133	2,256	7,953	*	C	C	301	C	7,266	56,512
2012	1,873	-	45,633	3,866	225	1,250	7,238	*	C	C	848	C	5,087	66,020
2013	1,405	-	32,444	1,672	124	2,749	6,118	-	C	-	963	C	4,012	49,487
2014	2,479	-	39,094	2,812	40	3,068	8,168	-	C	129	1,183	-	3,472	60,445
2015	2,470	-	44,063	C	156	774	10,113	-	C	2,384	100	-	2,853	62,913
2016	2,743	-	33,139	C	255	667	8,440	312	C	2,801	345	-	8,029	56,731
2017	3,656	-	38,299	C	358	1,610	10,544	0	C	6,210	1,256	-	5,040	66,973
2018	1,449	-	40,427	C	766	1,519	11,753	104	C	3,354	1,157	-	3,994	64,523
2019	4,171	-	38,757	C	962	2,630	10,868	-	C	3,304	996	-	7,536	69,223
2020	4,548	-	47,957	C	726	1,885	10,519	65	C	4,066	688	-	8,330	78,784
2021	3,742	-	31,084	C	1,107	1,700	6,473	-	C	5,078	275	-	8,711	58,170
2022	2,129	-	24,209	C	577	2,048	7,297	-	C	3,800	880	-	5,750	46,690

¹ Includes—Incluye: BLZ, BOL, CHN, EU(CYP), GTM, HND, LBR, NZL, UNK, VCT

TABLE A-3e. Annual catches (t) of bigeye tuna by longline vessels, and totals for all gears, in the EPO, by vessel flag. 'C' indicates that the catch has been combined with the total in the 'OTR' column. The data for 2021-2022 are preliminary.

TABLA A-3e. Capturas anuales (t) de atún patudo por buques de palangre en el OPO, y totales de todas las artes, por bandera del buque. 'C' indica que la captura se ha combinado con el total en la columna 'OTR'. Los datos de 2021-2022 son preliminares.

	CHN	CRI	FRA (PYF)	JPN	KOR	MEX	PAN	TWN	USA	VUT	C + OTR ¹	Total LL	Total PS + LL	OTR ²
1993	-	25	7	63,190	8,924	*	-	297	55	-	*	72,498	82,155	35
1994	-	1	102	61,471	9,522	-	-	255	9	-	*	71,360	106,259	806
1995	-	13	97	49,016	8,992	-	-	77	74	-	*	58,269	103,590	1,369
1996	-	1	113	36,685	9,983	-	-	95	81	-	*	46,958	108,269	748
1997	-	9	250	40,571	11,376	-	-	256	118	-	*	52,580	116,852	20
1998	-	28	359	35,752	9,731	-	-	314	191	-	*	46,375	90,504	628
1999	-	25	3,652	22,224	9,431	-	-	890	228	-	*	36,450	87,608	538
2000	-	27	653	28,746	13,280	42	14	1,916	162	2,754	11	47,605	142,887	253
2001	2,639	28	684	38,048	12,576	1	80	9,285	147	3,277	1,990	68,755	129,273	19
2002	7,614	19	388	34,193	10,358	-	6	17,253	132	2,995	1,466	74,424	131,845	12
2003	10,066	18	346	24,888	10,272	-	C	12,016	232	1,258	680	59,776	112,828	21
2004	2,645	21	405	21,236	10,729	-	48	7,384	149	407	459	43,483	108,954	194
2005	2,104	23	398	19,113	11,580	-	30	6,441	536	318	151	40,694	108,589	25
2006	709	18	388	16,235	6,732	-	37	6,412	85	960	195	31,771	115,608	40
2007	2,324	15	361	13,977	5,611	-	-	6,057	417	1,013	101	29,876	93,326	44
2008	2,379	16	367	14,908	4,150	-	-	1,852	1,277	790	468	26,207	101,236	28
2009	2,481	13	484	15,490	6,758	-	-	3,396	730	1,032	1,038	31,422	108,221	15
2010	2,490	4	314	15,847	9,244	-	-	5,276	1,356	1,496	1,063	37,090	94,842	2
2011	5,450	-	445	13,399	6,617	-	-	3,957	1,050	694	706	32,318	88,829	-
2012	4,386	3	464	16,323	7,450	-	-	4,999	875	1,063	604	36,167	102,187	27
2013	5,199	-	527	14,258	8,822	-	-	4,162	2,054	604	544	36,170	85,657	99
2014	5,253	9	526	13,634	8,203	-	114	4,511	2,073	897	120	35,340	95,785	177
2015	8,401	8	692	13,079	8,635	-	364	5,181	2,948	1,888	328	41,524	104,437	21
2016	7,052	3	477	10,467	7,692	-	313	6,006	2,090	762	679	35,541	92,272	22
2017	7,093	16	700	8,054	8,749	-	357	6,186	2,700	1,463	331	35,649	102,622	33
2018	6,060	14	897	6,125	6,675	-	415	5,125	2,410	1,841	227	29,789	94,312	23
2019	5,372	23	800	5,988	6,137	-	325	5,868	1,725	1,571	315	28,124	97,347	18
2020	4,048	35	745	5,440	7,633	-	164	5,414	1,466	1,077	299	26,321	105,105	44
2021	3,481	*	906	4,055	7,028	-	41	3,526	1,485	947	154	21,623	79,793	5
2022	2,922	*	*	3,325	5,402	-	*	4,971	*	157	144	16,921	63,611	*

¹ Includes—Incluye: BLZ, CHL, ECU, EU(ESP), EU(PRT), HND, SLV

² Includes gillnets, pole-and-line, recreational, and unknown gears—Incluye red agallera, caña, artes deportivas, y desconocidas

TABLE A-4a. Preliminary estimates of the retained catches, in metric tons, of tunas and bonitos caught by purse-seine vessels in the EPO in 2021 and 2022, by species and vessel flag. The data for yellowfin, skipjack, and bigeye tunas have been adjusted to the species composition estimates and are preliminary.

TABLA A-4a. Estimaciones preliminares de las capturas retenidas, en toneladas métricas, de atunes y bonitos por buques cerqueros en el OPO en 2021 y 2022, por especie y bandera del buque. Los datos de los atunes aleta amarilla, barrilete, y patudo fueron ajustados a las estimaciones de composición por especie, y son preliminares.

	YFT	SKJ	BET	PBF	ALB	BKJ	BZX	TUN	Total	%
2021	Retained catches–Capturas retenidas									
COL	14,613	26,107	3,742	-	-	22	-	-	44,484	6.8
ECU	50,420	193,168	31,084	-	-	1,614	42	673	277,001	42.3
MEX	107,945	7,944	1,107	3,026	-	3,030	6,812	63	129,927	19.9
NIC	7,428	7,574	1,700	-	-	-	-	-	16,702	2.6
PAN	30,095	44,375	6,473	-	-	20	-	486	81,449	12.4
USA	4,596	24,116	5,078	43	-	1	25	-	33,859	5.2
VEN	33,293	7,306	275	-	-	13	-	19	40,906	6.3
OTR ¹	5,025	15,934	8,711	-	-	1	20	12	29,703	4.5
Total	253,415	326,524	58,170	3,069	-	4,701	6,899	1,253	654,031	
2022	Retained catches–Capturas retenidas									
COL	15,874	20,349	2,129	-	-	51	-	31	38,434	5.9
ECU	59,669	169,787	24,209	-	2	1,975	55	2,034	257,731	39.6
MEX	119,479	11,526	576	3,194	-	4,263	3,187	21	142,246	21.9
NIC	8,945	7,741	2,048	-	-	32	-	31	18,797	2.9
PAN	39,148	48,031	7,297	-	-	130	-	107	94,713	14.6
USA	4,412	17,616	3,800	198	-	3	-	51	26,080	4.0
VEN	38,081	6,467	880	-	-	13	-	8	45,449	7.0
OTR ²	6,218	14,936	5,751	-	-	-	-	10	26,915	4.1
Total	291,826	296,453	46,690	3,392	2	6,467	3,242	2,293	650,365	

¹ Includes El Salvador, European Union (Spain) and Peru - This category is used to avoid revealing the operations of individual vessels or companies.

¹ Incluye El Salvador, Perú y Unión Europea (España) - Se usa esta categoría para no revelar información sobre las actividades de buques o empresas individuales.

² Includes El Salvador and European Union (Spain) - This category is used to avoid revealing the operations of individual vessels or companies.

² Incluye El Salvador y Unión Europea (España) - Se usa esta categoría para no revelar información sobre las actividades de buques o empresas individuales.

TABLE A-4b. Preliminary estimates of the landings, in metric tons, of tunas and bonitos caught by purse-seine vessels in the EPO in 2021 and 2022, by year, species and country of landing. The data for yellowfin, skipjack, and bigeye tunas have not been adjusted to the species composition estimates and are preliminary.

TABLA A-4b. Estimaciones preliminares de las descargas, en toneladas métricas, de atunes y bonitos por buques cerqueros en el OPO en 2021 y 2022, por año, especie y país de descarga. Los datos de los atunes aleta amarilla, barrilete, y patudo no fueron ajustados a las estimaciones de composición por especie, y son preliminares.

	YFT	SKJ	BET	PBF	ALB	BKJ	BZX	TUN	Total	%
2021	Landings-Descargas									
COL	8,469	15,202	1,755	-	-	4	-	-	25,430	3.9
ECU	99,813	281,675	28,289	-	-	1,665	67	1,128	412,636	63.8
MEX	109,597	12,643	1,405	3,026	-	3,030	6,812	63	136,576	21.1
PER	1,460	6,724	441	-	-	5	20	4	8,654	1.3
USA	904	7,026	1,419	43	-	-	-	-	9,392	1.5
OTR ¹	35,786	13,653	4,690	-	-	1	-	51	54,181	8.4
Total	256,028	336,923	37,998	3,069	-	4,705	6,899	1,246	646,869	
2022	Landings-Descargas									
COL	13,457	14,381	1,255	-	-	27	-	-	29,120	4.6
ECU	111,877	264,782	26,310	-	2	2,187	55	2,208	407,421	63.8
MEX	119,555	15,609	587	3,194	-	4,266	3,187	34	146,432	22.9
PER	1,219	2,058	600	-	-	-	-	-	3,877	0.6
USA	841	2,154	797	198	-	-	-	-	3,990	0.6
OTR ²	32,415	12,492	2,762	-	-	5	-	13	47,687	7.5
Total	279,364	311,476	32,311	3,392	2	6,485	3,242	2,255	638,527	

¹ Includes Costa Rica, El Salvador, European Union (Portugal), European Union (Spain), Guatemala, Kiribati, Marshall Islands, Panama, and Venezuela - This category is used to avoid revealing the operations of individual vessels or companies.

¹ Incluye Costa Rica, El Salvador, Guatemala, Islas Marshall, Kiribati, Panamá, Unión Europea (Portugal), Unión Europea (España) and Venezuela - Se usa esta categoría para no revelar información sobre las actividades de buques o empresas individuales.

² Includes Costa Rica, El Salvador, European Union (Spain), Guatemala, Marshall Islands, Panama and Unknown - This category is used to avoid revealing the operations of individual vessels or companies.

² Incluye Costa Rica, Desconocida, El Salvador, Guatemala, Islas Marshall, Panamá y Unión Europea (España) - Se usa esta categoría para no revelar información sobre las actividades de buques o empresas individuales.

TABLE A-5a. Annual retained catches of Pacific bluefin tuna, by gear type and flag, in metric tons, 1993-2021. The data for 2020 and 2021 are preliminary; 2022 data are not available.

TABLA A-5a. Capturas retenidas anuales de atún aleta azul del Pacífico, por arte de pesca y bandera, en toneladas, 1993-2021. Los datos de 2020 y 2021 son preliminares; no se dispone de datos de 2022.

PBF	Western Pacific flags—Banderas del Pacífico occidental ¹										EPO flags—Banderas del EPO					Total
	JPN				KOR		TWN			Sub-total	MEX		USA		Sub-total	
	PS	LP	LL	OTR	PS	OTR	PS	LL	OTR		PS	OTR	PS	OTR		
1993	6,600	129	812	1,759	40	-	1	471	3	9,815	-	-	580	386	966	10,781
1994	8,131	162	1,206	5,667	50	-	-	559	-	15,775	63	2	906	145	1,116	16,891
1995	18,909	270	678	7,223	821	-	-	335	2	28,238	11	-	657	294	962	29,200
1996	7,644	94	901	5,359	102	-	-	956	-	15,056	3,700	-	4,639	110	8,449	23,505
1997	13,152	34	1,300	4,354	1,054	-	-	1,814	-	21,708	367	-	2,240	264	2,871	24,579
1998	5,391	85	1,255	4,450	188	-	-	1,910	-	13,279	1	0	1,771	703	2,475	15,754
1999	16,173	35	1,157	5,246	256	-	-	3,089	-	25,956	2,369	35	184	592	3,180	29,136
2000	16,486	102	953	7,031	2,401	-	-	2,780	2	29,755	3,019	99	693	380	4,191	33,946
2001	7,620	180	791	5,614	1,176	10	-	1,839	4	17,234	863	-	292	392	1,547	18,781
2002	8,903	99	841	4,338	932	1	-	1,523	4	16,641	1,708	2	50	625	2,385	19,026
2003	5,768	44	1,237	3,345	2,601	-	-	1,863	21	14,879	3,211	43	22	373	3,649	18,528
2004	8,257	132	1,847	3,855	773	-	-	1,714	3	16,581	8,880	14	-	61	8,955	25,536
2005	12,817	549	1,925	6,363	1,318	9	-	1,368	2	24,351	4,542	-	201	80	4,823	29,174
2006	8,880	108	1,121	4,058	1,012	3	-	1,149	1	16,332	9,806	-	-	96	9,902	26,234
2007	6,840	236	1,762	4,983	1,281	4	-	1,401	10	16,517	4,147	-	42	14	4,203	20,720
2008	10,221	64	1,390	5,505	1,866	10	-	979	2	20,037	4,407	15	-	64	4,486	24,523
2009	8,077	50	1,080	4,814	936	4	-	877	11	15,849	3,019	-	410	162	3,591	19,440
2010	3,742	83	890	3,681	1,196	16	-	373	36	10,017	7,746	-	-	89	7,835	17,852
2011	8,340	63	837	3,754	670	14	-	292	24	13,994	2,731	1	-	343	3,075	17,069
2012	2,462	113	673	2,846	1,421	2	-	210	4	7,731	6,668	1	-	442	7,111	14,842
2013	2,771	8	784	2,848	604	1	-	331	3	7,350	3,154	-	-	820	3,974	11,324
2014	5,456	5	683	3,429	1,305	6	-	483	42	11,409	4,862	-	401	427	5,690	17,099
2015	3,645	8	648	2,086	676	1	-	552	26	7,642	3,082	-	86	411	3,579	11,221
2016	5,095	54	691	2,514	1,024	5	-	454	0	9,837	2,709	-	316	413	3,438	13,275
2017	4,540	49	913	3,491	734	9	-	415	0	10,151	3,643	-	466	483	4,592	14,743
2018	4,050	9	700	1,447	523	12	-	381	3	7,125	2,482	-	12	582	3,076	10,201
2019	4,464	0	1,002	2,033	542	39	-	486	6	8,572	2,249	-	226	529	3,004	11,576
2020	3,960	1	1,416	2,496	567	38	-	1,149	1	9,628	3,266	-	116	834	4,216	13,844
2021	4,198	0	1,436	2,740	422	87	-	1,478	1	10,362	3,026	-	43	1,335	4,404	14,766

¹ Source: International Scientific Committee, 22nd Plenary Meeting, PBFWG workshop report on Pacific Bluefin Tuna, July 2022—Fuente: Comité Científico Internacional, 22^a Reunión Plenaria, Taller PBFWG sobre Atún Aleta Azul del Pacífico, julio de 2022

TABLE A-5b. Reported catches of Pacific bluefin tuna in the EPO by recreational gear, in number of fish, 1993-2022.

TABLA A-5b. Capturas reportadas de atún aleta azul del Pacífico en el OPO por artes deportivas, en número de peces, 1993-2022.

1993	10,535	2008	10,187
1994	2,243	2009	12,138
1995	16,025	2010	8,453
1996	2,739	2011	31,494
1997	8,338	2012	40,012
1998	20,466	2013	63,158
1999	36,797	2014	27,889
2000	20,669	2015	28,661
2001	21,913	2016	12,312
2002	33,399	2017	16,493
2003	22,291	2018	14,072
2004	3,391	2019	18,702
2005	5,757	2020	37,825
2006	7,473	2021	57,198
2007	1,028	2022	52,269

TABLE A-6. Annual retained catches of albacore in the EPO, by gear and area (north and south of the equator), in metric tons, 1993-2021. The data for 2020 and 2021 are preliminary; 2022 data are not available.

TABLA A-6. Capturas retenidas anuales de atún albacora en el OPO, por arte y zona (al norte y al sur de la línea ecuatorial), en toneladas, 1993-2021. Los datos de 2020 y 2021 son preliminares; no se dispone de datos de 2022.

ALB	North—Norte				South—Sur				Total
	LL	LTL ¹	OTR	Subtotal	LL	LTL	OTR	Subtotal	
1993	1,772	4,332	25	6,129	9,422	35	19	9,476	15,605
1994	2,356	9,666	106	12,128	8,034	446	21	8,501	20,629
1995	1,380	7,773	102	9,255	4,805	2	15	4,822	14,077
1996	1,675	8,267	99	10,041	5,956	94	21	6,071	16,112
1997	1,365	6,115	1,019	8,499	8,313	466	0	8,779	17,278
1998	1,730	12,019	1,250	14,999	10,905	12	0	10,917	25,916
1999	2,701	11,028	3,668	17,397	8,932	81	7	9,020	26,417
2000	1,880	10,960	1,869	14,709	7,783	778	3	8,564	23,273
2001	1,822	11,727	1,638	15,187	17,588	516	6	18,110	33,297
2002	1,227	12,286	2,388	15,901	14,062	131	40	14,233	30,134
2003	1,129	17,808	2,260	21,197	23,772	419	3	24,194	45,391
2004	854	20,288	1,623	22,765	17,590	331	0	17,921	40,686
2005	405	13,807	1,741	15,953	8,945	181	7	9,133	25,086
2006	3,671	18,515	408	22,594	10,161	48	119	10,328	32,922
2007	2,708	17,948	1,415	22,071	8,399	19	87	8,505	30,576
2008	1,160	17,137	308	18,605	8,058	0	159	8,217	26,822
2009	91	17,933	996	19,020	11,981	0	213	12,194	31,214
2010	1,134	18,246	892	20,272	13,122	3	247	13,372	33,644
2011	1,833	15,437	426	17,696	14,357	0	222	14,579	32,275
2012	4,583	16,633	1,222	22,438	19,613	35	210	19,858	42,296
2013	6,193	17,398	844	24,435	19,204	0	271	19,475	43,910
2014	3,546	18,178	1,042	22,766	25,685	0	243	25,928	48,694
2015	2,067	15,986	934	18,987	26,873	0	221	27,094	46,081
2016	1,627	13,600	679	15,906	25,151	0	289	25,440	41,346
2017	2,580	8,927	402	11,909	24,012	2	186	24,200	36,109
2018	1,090	10,433	538	12,061	24,387	0	175	24,562	36,623
2019	1,427	10,167	1,517	13,111	18,464	1	212	18,677	31,788
2020	1,538	9,873	326	11,737	17,658	0	9	17,667	29,404
2021	1,382	6,608	317	8,307	30,049	2	19	30,070	38,377

¹ Includes pole-and-line—Incluye caña

TABLE A-7. Estimated numbers of sets, by set type and vessel capacity category, and estimated retained catches, in metric tons, of yellowfin, skipjack, and bigeye tuna by purse-seine vessels in the EPO. The data for 2021 and 2022 are preliminary. The data for yellowfin, skipjack, and bigeye tunas have been adjusted to the species composition estimate and are preliminary.

TABLA A-7. Números estimados de lances, por tipo de lance y categoría de capacidad de buque, y capturas retenidas estimadas, en toneladas métricas, de atunes aleta amarilla, barrilete, y patudo por buques cerqueros en el OPO. Los datos de 2021 y 2022 son preliminares. Los datos de los atunes aleta amarilla, barrilete, y patudo fueron ajustados a la estimación de composición por especie, y son preliminares.

	Number of sets—Número de lances			Retained catch—Captura retenida		
	Vessel capacity— Capacidad del buque		Total	YFT	SKJ	BET
	≤363 t	>363 t				
DEL	Sets associated with dolphins Lances asociados a delfines					
2007	0	8,871	8,871	97,075	3,272	7
2008	0	9,246	9,246	122,107	8,388	4
2009	0	10,910	10,910	178,291	2,683	1
2010	0	11,646	11,646	170,028	1,365	0
2011	0	9,604	9,604	134,926	4,387	2
2012	0	9,220	9,220	133,825	2,122	0
2013	0	10,736	10,736	157,432	4,272	0
2014	0	11,382	11,382	167,780	4,413	3
2015	0	11,020	11,020	160,595	5,608	2
2016	0	11,219	11,219	146,526	3,179	4
2017	0	8,863	8,863	112,533	1,656	1
2018	0	9,774	9,774	147,859	2,456	1
2019	0	9,680	9,680	153,649	3,696	28
2020	0	9,773	9,773	150,263	1,705	63
2021	0	9,887	9,887	158,256	2,585	0
2022	0	10,614	10,614	178,366	2,887	0
OBJ	Sets associated with floating objects Lances asociados a objetos flotantes					
2007	1,605	5,857	7,462	29,412	122,119	62,187
2008	1,958	6,655	8,613	34,763	157,324	73,851
2009	2,142	7,077	9,219	36,147	157,023	75,889
2010	2,432	6,399	8,831	37,850	114,659	57,059
2011	2,538	6,921	9,459	42,176	171,193	55,587
2012	3,067	7,610	10,677	37,487	177,055	65,035
2013	3,081	8,038	11,119	35,112	194,372	48,337
2014	3,860	8,777	12,637	46,049	199,696	59,797
2015	3,457	9,385	12,842	43,603	206,515	60,975
2016	4,214	10,377	14,591	58,673	248,190	55,269
2017	4,544	11,148	15,692	67,167	224,422	65,443
2018	4,954	11,871	16,825	66,122	213,626	63,815
2019	4,885	10,591	15,476	52,862	226,375	68,553
2020	3,363	8,788	12,151	44,461	191,399	78,208
2021	4,002	11,167	15,169	66,542	227,028	57,391
2022	4,293	13,406	17,699	90,128	241,420	46,487

TABLE A-7. (continued)

TABLA A-7. (continuación)

	Number of sets—Número de lances			Retained catch—Captura retenida		
	Vessel capacity— Capacidad del buque		Total	YFT	SKJ	BET
	≤363 t	>363 t				
NOA	Sets on unassociated schools Lances sobre cardúmenes no asociados					
2007	5,480	7,211	12,691	43,529	82,904	1,256
2008	5,204	6,210	11,414	28,187	130,891	1,173
2009	3,822	4,109	7,931	22,319	70,817	909
2010	2,744	3,885	6,629	43,131	31,168	693
2011	2,840	5,182	8,022	29,749	100,455	923
2012	2,996	5,369	8,365	26,705	87,038	985
2013	3,064	4,156	7,220	25,643	79,916	1,150
2014	2,428	3,369	5,797	20,237	57,360	645
2015	3,116	6,201	9,317	41,529	116,784	1,936
2016	2,300	5,101	7,401	36,919	86,192	1,458
2017	2,016	4,960	6,976	31,280	98,681	1,529
2018	1,925	4,163	6,088	25,000	72,739	707
2019	2,064	5,948	8,012	21,802	117,334	642
2020	1,883	4,575	6,458	24,023	102,857	513
2021	1,678	4,803	6,481	28,617	96,911	779
2022	1,226	3,459	4,685	23,332	52,146	203
ALL	Sets on all types of schools Lances sobre todos tipos de cardumen					
2007	7,085	21,939	29,024	170,016	208,295	63,450
2008	7,162	22,111	29,273	185,057	296,603	75,028
2009	5,964	22,096	28,060	236,757	230,523	76,799
2010	5,176	21,930	27,106	251,009	147,192	57,752
2011	5,378	21,707	27,085	206,851	276,035	56,512
2012	6,063	22,199	28,262	198,017	266,215	66,020
2013	6,145	22,930	29,075	218,187	278,560	49,487
2014	6,288	23,528	29,816	234,066	261,469	60,445
2015	6,573	26,606	33,179	245,727	328,907	62,913
2016	6,514	26,697	33,211	242,118	337,561	56,731
2017	6,560	24,971	31,531	210,980	324,759	66,973
2018	6,879	25,808	32,687	238,981	288,821	64,523
2019	6,949	26,219	33,168	228,313	347,405	69,223
2020	5,246	23,136	28,382	218,747	295,961	78,784
2021	5,680	25,857	31,537	253,415	326,524	58,170
2022	5,519	27,479	32,998	291,826	296,453	46,690

TABLE A-8. Types of floating objects involved in sets by vessels of >363 t carrying capacity, 2007-2022. The 2022 data are preliminary.

TABLA A-8. Tipos de objetos flotantes sobre los que realizaron lances buques de >363 t de capacidad de acarreo, 2007-2022. Los datos de 2022 son preliminares.

OBJ	Flotsam Naturales		FADs Plantados		Unknown Desconocido		Total
	No.	%	No.	%	No.	%	
2007	597	10.2	5,188	88.6	72	1.2	5,857
2008	560	8.4	6,070	91.2	25	0.4	6,655
2009	322	4.5	6,728	95.1	27	0.4	7,077
2010	337	5.3	6,038	94.3	24	0.4	6,399
2011	563	8.1	6,342	91.6	16	0.2	6,921
2012	286	3.8	7,321	96.2	3	< 0.1	7,610
2013	274	3.4	7,759	96.5	5	0.1	8,038
2014	283	3.2	8,490	96.7	4	< 0.1	8,777
2015	273	2.9	9,093	96.9	19	0.2	9,385
2016	278	2.7	10,070	97.0	29	0.3	10,377
2017	271	2.4	10,877	97.6	0	0	11,148
2018	322	2.7	11,549	97.3	0	0	11,871
2019	216	2.0	10,373	97.9	2	< 0.1	10,591
2020	166	1.9	8,622	98.1	0	0	8,788
2021	260	2.3	10,907	97.7	0	0	11,167
2022	414	3.1	12,987	96.9	5	< 0.1	13,406

TABLE A-9. Reported nominal longline fishing effort (E; 1000 hooks) and catch (C; metric tons) of yellowfin, skipjack, bigeye, Pacific bluefin, and albacore tunas only, by flag, in the EPO. 2022 data are not available.
TABLA A-9. Esfuerzo de pesca palangrero nominal reportado (E; 1000 anzuelos), y captura (C; toneladas métricas) de atunes aleta amarilla, barrilete, patudo, aleta azul del Pacífico, y albacora solamente, por bandera, en el OPO. No se dispone de datos de 2022.

LL	CHN		JPN		KOR		FRA(PYF)		TWN		USA		OTR ¹
	E	C	E	C	E	C	E	C	E	C	E	C	C
1993	-	-	159,955	87,977	46,375	12,843	153	79	18,064	6,566	415	81	227
1994	-	-	163,968	92,606	44,788	13,250	1,373	574	12,588	4,883	303	25	523
1995	-	-	129,598	69,435	54,979	12,778	1,776	559	2,910	1,639	828	180	562
1996	-	-	103,654	52,298	40,290	14,121	2,087	931	5,830	3,553	510	182	185
1997	-	-	96,383	59,325	30,493	16,663	3,464	1,941	8,720	5,673	464	215	752
1998	-	-	106,568	50,167	51,817	15,089	4,724	2,858	10,586	5,039	1,008	406	1,176
1999	-	-	80,958	32,886	54,269	13,294	5,512	4,446	23,247	7,865	1,756	469	1,157
2000	-	-	79,311	45,216	33,585	18,759	8,090	4,382	18,152	7,809	737	204	4,868
2001	13,056	5,162	102,219	54,775	72,261	18,201	7,445	5,086	41,920	20,060	1,438	238	15,612
2002	34,889	10,398	103,920	45,401	96,273	14,370	943	3,238	78,018	31,773	613	138	10,258
2003	43,289	14,548	101,227	36,187	71,006	15,551	11,098	4,101	74,460	28,328	1,314	262	11,595
2004	15,889	4,033	76,824	30,936	55,861	14,540	13,757	3,030	49,979	19,535	1,049	166	9,193
2005	16,896	3,681	65,081	25,712	15,798	12,284	13,356	2,515	38,536	12,229	2,397	557	5,244
2006	588	969	56,525	21,432	27,472	7,892	11,786	3,220	38,134	12,375	234	121	10,027
2007	12,226	2,624	45,972	20,514	10,548	6,037	9,672	3,753	22,244	9,498	2,689	436	6,424
2008	11,518	2,984	44,547	21,375	3,442	4,256	10,255	3,017	12,544	4,198	6,322	1,369	9,231
2009	10,536	3,435	41,517	21,492	18,364	7,615	10,686	4,032	13,904	6,366	5,141	852	11,731
2010	11,905	3,590	47,807	21,017	25,816	10,477	8,976	3,139	24,976	10,396	8,879	1,480	11,400
2011	37,384	9,983	52,194	18,682	25,323	7,814	9,514	3,192	21,065	9,422	7,359	1,233	7,616
2012	55,508	14,462	55,587	22,214	20,338	8,286	8,806	3,589	20,587	11,924	5,822	986	14,237
2013	70,411	18,128	48,825	19,097	31,702	10,248	9,847	3,303	19,198	11,722	10,765	2,127	9,754
2014	78,851	24,282	40,735	17,235	22,695	9,132	10,572	3,291	17,047	10,435	11,276	2,168	6,874
2015	99,131	25,559	35,290	16,046	22,394	9,879	13,661	4,509	15,334	11,274	13,868	3,089	10,924
2016	66,405	25,756	30,910	13,242	23,235	9,457	13,677	3,954	20,941	11,432	11,313	2,408	6,236
2017	82,461	27,341	27,961	10,617	27,540	10,525	11,641	3,425	24,164	11,811	15,266	3,288	6,085
2018	83,023	27,024	24,608	8,686	19,443	8,474	13,258	4,300	31,735	9,985	13,607	2,916	7,713
2019	65,298	18,652	18,472	8,831	17,655	8,556	12,620	4,209	34,930	12,170	11,117	2,060	5,917
2020	56,607	15,620	17,987	7,780	23,284	10,427	14,253	3,906	43,643	11,778	9,384	2,098	5,892
2021	84,812	27,299	16,207	6,030	19,704	9,699	15,748	5,092	28,693	8,032	8,123	1,925	4,775

¹ Includes the catches of—Incluye las capturas de: BLZ, CHL, COK, CRI, ECU, EU(ESP), GTM, HND, MEX, NIC, PAN, EU(PRT), SLV, VUT

TABLE A-10. Numbers and well volumes, in cubic meters, of purse-seine and pole-and line vessels of the EPO tuna fleet. The data for 2021 and 2022 are preliminary.

TABLA A-10. Número y volumen de bodega, en metros cúbicos, de buques cerqueros y cañeros de la flota atunera del OPO. Los datos de 2021 y 2022 son preliminares.

	PS		LP		Total	
	No.	Vol. (m ³)	No.	Vol. (m ³)	No.	Vol. (m ³)
1993	151	117,593	15	1,550	166	119,143
1994	166	120,726	20	1,726	186	122,452
1995	175	123,798	20	1,784	195	125,582
1996	180	130,774	17	1,646	197	132,420
1997	194	147,926	23	2,127	217	150,053
1998	202	164,956	22	2,216	224	167,172
1999	208	178,724	14	1,642	222	180,366
2000	205	180,679	12	1,220	217	181,899
2001	204	189,088	10	1,259	214	190,347
2002	218	199,870	6	921	224	200,791
2003	214	202,381	3	338	217	202,719
2004	218	206,473	3	338	221	206,811
2005	220	212,419	4	498	224	212,917
2006	225	225,166	4	498	229	225,664
2007	227	225,359	4	380	231	225,739
2008	219	223,804	4	380	223	224,184
2009	221	224,632	4	380	225	225,012
2010	202	210,025	3	255	205	210,280
2011	208	213,237	3	339	211	213,576
2012	209	217,687	4	464	213	218,151
2013	203	212,087	3	268	206	212,355
2014	226	230,379	2	226	228	230,605
2015	244	248,428	1	125	245	248,553
2016	250	261,474	0	0	250	261,474
2017	254	263,018	0	0	254	263,018
2018	261	263,666	0	0	261	263,666
2019	261	265,085	0	0	261	265,085
2020	242	241,331	0	0	242	241,331
2021	236	253,323	0	0	236	253,323
2022	239	253,071	0	0	239	253,071

TABLE A-11a. Estimates of the numbers and well volume (cubic meters) of purse-seine (PS) and pole-and-line (LP) vessels that fished in the EPO in 2021, by flag and gear. Each vessel is included in the total for each flag under which it fished during the year but is included only once in the “Grand total”; therefore, the grand total may not equal the sums of the individual flags.

TABLA A-11a. Estimaciones del número y volumen de bodega (metros cúbicos) de buques cerqueros (PS) y cañeros (LP) que pescaron en el OPO en 2021 por bandera y arte de pesca. Se incluye cada buque en los totales de cada bandera bajo la cual pescó durante el año, pero solamente una vez en el “Total general”; por consiguiente, los totales generales no equivalen necesariamente a las sumas de las banderas individuales.

Flag Bandera	Gear Arte	Well volume —Volumen de bodega (m ³)					Total	
		<401	401-800	801-1300	1301-1800	>1800	No.	Vol. (m ³)
		Number—Número						
COL	PS	2	2	7	3	-	14	14,860
ECU	PS	34	34	24	4	10	106	82,234
EU(ESP)	PS	-	-	-	-	3	3	7,281
MEX	PS	5	3	20	23	-	51	61,072
NIC	PS	-	-	2	1	1	4	6,099
PAN	PS	-	2	5	7	5	19	27,390
PER	PS	-	4	-	-	-	4	2,475
SLV	PS	-	-	-	1	2	3	6,202
USA	PS	3	-	2	7	5	17	24,152
VEN	PS	-	-	6	8	1	15	21,558
Grand total— Total general	PS	44	45	66	54	27	236	
Well volume—Volumen de bodega (m³)								
Grand total— Total general	PS	12,243	26,689	74,744	82,277	57,370		253,323

- : none—ninguno

TABLE A-11b. Estimates of the numbers and well volumes (cubic meters) of purse-seine (PS) vessels that fished in the EPO in 2022, by flag and gear. Each vessel is included in the total for each flag under which it fished during the year but is included only once in the “Grand total”; therefore, the grand total may not equal the sums of the individual flags.

TABLA A-11b. Estimaciones del número y volumen de bodega (metros cúbicos) de buques cerqueros (PS) que pescaron en el OPO en 2022, por bandera y arte de pesca. Se incluye cada buque en los totales de cada bandera bajo la cual pescó durante el año, pero solamente una vez en el “Total general”; por consiguiente, los totales generales no equivalen necesariamente a las sumas de las banderas individuales.

Flag Bandera	Gear Arte	Well volume —Volumen de bodega (m ³)					Total	
		<401	401-800	801-1300	1301-1800	>1800	No.	Vol. (m ³)
		Number—Número						
COL	PS	1	2	7	3	-	13	14,590
ECU	PS	34	34	21	4	10	103	78,820
EU(ESP)	PS	-	-	-	-	3	3	7,281
MEX	PS	5	3	21	23	-	52	61,880
NIC	PS	-	-	3	1	1	5	7,316
PAN	PS	-	2	5	8	5	20	28,865
SLV	PS	-	-	-	1	2	3	6,202
USA	PS	10	-	2	8	5	25	26,559
VEN	PS	-	-	6	8	1	15	21,558
Grand total— Total general	PS	50	41	65	56	27	239	
Well volume—Volumen de bodega (m³)								
Grand total— Total general	PS	12,831	23,970	73,729	85,367	57,174		253,071

- : none—ninguno

TABLE A-12. Minimum, maximum, and average capacity, in thousands of cubic meters, of purse-seine and pole-and-line vessels at sea in the EPO during 2012-2021 and in 2022, by month.

TABLA A-12. Capacidad mínima, máxima, y media, en miles de metros cúbicos, de los buques cerqueros y cañeros en el mar en el OPO durante 2012-2021 y en 2022, por mes.

Month Mes	2012-2021			2022
	Min	Max	Ave.-Prom.	
1	86.9	129.6	103.8	130.4
2	150.7	192.3	174.3	185.7
3	147.9	189.7	166.8	178.8
4	151.2	200.8	168.5	178.1
5	146.5	196.9	169.7	186.9
6	155.0	198.6	174.0	187.4
7	156.7	200.4	171.8	176.9
8	107.6	148.7	121.2	115.9
9	102.2	142.2	120.1	116.7
10	141.7	188.9	170.7	173.0
11	93.9	140.8	122.6	104.7
12	45.9	90.4	62.9	70.4
Ave.-Prom.	123.8	168.3	143.9	150.4

B. ATÚN ALETA AMARILLA

Para la versión completa de los análisis aquí presentados, consulte los documentos [SAC-11-05](#), [SAC-11-07](#), [SAC-11-INF-J](#), [SAC-11-08](#), SAC-14-06 y [SAC-14-04](#).

El aleta amarilla está distribuido en todo el Océano Pacífico, pero la mayor parte de la captura se realiza en las regiones oriental y occidental. Las capturas cerqueras cerca del límite occidental del Océano Pacífico oriental (OPO) en 150°O son relativamente bajas, pero han ido en aumento, principalmente en lances sobre objetos flotantes ([Figura A-1a](#) y [A-1b](#), [Tablas A-1](#), [A-2](#)). La mayor parte de la captura en el Océano Pacífico oriental (OPO) se realiza en lances cerqueros asociados a delfines y objetos flotantes ([Figura B-1](#)). Estudios de marcado de aleta amarilla en todo el Pacífico indican que suelen permanecer a 1,800 km de sus lugares de liberación. Esta fidelidad regional, junto con la variación geográfica de las características fenotípicas y genotípicas del aleta amarilla demostrada en algunos estudios, sugiere que podría haber múltiples poblaciones de aleta amarilla en el OPO y en todo el Océano Pacífico. Sin embargo, las tasas de desplazamiento entre estas poblaciones supuestas, así como a través del meridiano de 150°O, no se pueden estimar con los datos de marcado disponibles actualmente. Una revisión reciente de toda la información disponible indicó que es posible que las pesquerías del OPO exploten al menos dos poblaciones, asociadas aproximadamente con las provincias biogeoquímicas epi y mesopelágicas (SAC-14-06). Los límites entre las poblaciones varían dinámicamente.

En 2023, los indicadores de condición de población (SSI, de *stock status indicators*; [SAC-14-04](#)) mostraron que la tendencia al aumento continuo del número de lances sobre objetos flotantes, brevemente interrumpida durante la pandemia de COVID-19 en 2020-2021, se ha reanudado y se encuentra ahora en los niveles más altos desde 2000, un 10.6% por encima del *statu quo*⁶. Por el contrario, el número de lances en la pesquería no asociada en 2022 disminuyó hasta el nivel más bajo desde 2000, y el número de lances en la pesquería asociada a delfines tuvo un ligero aumento en 2022, por encima del *statu quo*. La capacidad ajustada a la veda es estable y está por debajo del *statu quo*. Los SSI de captura ponen de relieve la creciente importancia de la pesquería de cerco sobre objetos flotantes para el atún aleta amarilla. De 2021 a 2022, las capturas aumentaron un 38.9% en peso y un 67.5% en número con respecto a las capturas ajustadas al sesgo de 2021. Las capturas se sitúan en torno al *statu quo* tanto para los lances no asociados como para los lances sobre delfines, con un ligero aumento de las capturas en peso en los lances sobre delfines en 2022. El muestreo en puerto para la composición por especie se vio también muy afectado, lo que provocó un sesgo en la estimación de las capturas ([SAC-13-05](#)). Es posible que las capturas estimadas de atún aleta amarilla en 2020 sean un 18% mayores que las mostradas en la [Figura B-1](#), mientras que las de 2021 pueden ser un 10% menores, ya que algunas capturas de atún aleta amarilla se atribuyeron probablemente a patudo, y viceversa en 2020 y 2021 ([Figura B-3](#)), respectivamente, debido a la falta de muestreo en puertos clave como resultado del impacto de la pandemia de COVID-19. El esfuerzo de palangre fue aproximadamente el mismo de 2019 a 2021 ([Figura B-2](#)), pero la CPUE relativa y la talla promedio aumentaron en 2020 y disminuyeron en 2021 ([Figura B-3](#)). La talla promedio estandarizada obtenida de los datos de la pesquería de cerco asociada a delfines disminuyó drásticamente en 2022, al segundo nivel más bajo de la serie, mientras que la talla promedio de la captura permaneció por encima de la mediana de la serie. La CPUE estandarizada relativa fue similar al nivel de 2021, ligeramente inferior a la mediana de toda la serie.

A largo plazo, la mayoría de los SSI de la pesquería sobre objetos flotantes sugiere que la población de aleta amarilla ha estado potencialmente sujeta a una mortalidad por pesca mayor, debido principalmente al aumento del número de lances en la pesquería sobre objetos flotantes desde 2005 ([Figura B-2](#)) y el correspondiente aumento de la captura de aleta amarilla ([Figura B-3](#)), asociado a una disminución de la captura por lance ([Figura B-3](#)) y de la talla promedio de los peces en la captura ([Figura B-3](#)) en la pesquería

⁶ Promedio de 2017-2019

sobre objetos flotantes, y en la población en 2022 ([Figura B-4](#)). Esto coincidió con una tendencia descendente del índice de CPUE palangrera del aleta amarilla basado en modelado espaciotemporal desde 2005, que estuvo en los niveles históricos más bajos en 2017-2018 ([Figura B-4](#)). Las tendencias a largo plazo de algunos de los otros SSI no apoyan la interpretación de que el incremento de la mortalidad por pesca esté ocurriendo debido a un aumento del número de lances sobre objetos flotantes, tales como las tendencias de la captura por lance para otros tipos de lance ([Figura B-3](#)), la talla promedio del aleta amarilla en los otros tipos de lance ([Figura B-3](#)), y los SSI de palangre ([Figura B-3](#)). El indicador basado en el modelado espaciotemporal de la CPDP para la pesquería cerquera asociada a delfines muestra un periodo de CPUE baja, comenzando en 2015 ([Figura B-4](#)), que coincide con un periodo de capturas elevadas de aleta amarilla en lances sobre objetos flotantes ([Figura B-3](#)), pero ha ido aumentando ligeramente en los últimos años. El indicador basado en el modelado espaciotemporal de la CPUE para la pesquería palangrera no coincide con el de la pesquería cerquera ([Figura B-4](#)), aunque ambos índices se refieren a peces grandes, siendo los de palangre los más grandes. Las inconsistencias entre los SSI de aleta amarilla podrían deberse a una interacción entre la estructura potencial de la población y diferencias en la distribución espacial del esfuerzo en los distintos tipos de lance/arte.

La última evaluación de referencia del atún aleta amarilla se llevó a cabo en 2020 y siguió un marco de evaluación de riesgos, que incluye el desarrollo de hipótesis, la implementación y ponderación de los modelos, y la construcción de tablas de riesgo basadas en el resultado combinado ([SAC-11-08](#), [SAC-11-INF-F](#), [SAC-11-INF-J](#)). Para el atún aleta amarilla, se consideraron tres hipótesis dominantes centradas en el grado de mezcla espacial de la población de atún aleta amarilla en el OPO ([SAC-11-INF-J](#)). De ellas, se supuso la hipótesis de mezcla alta para la evaluación de referencia, por razones prácticas, suponiendo que el índice de cerco era el más representativo del núcleo de la población explotada ([SAC-11-07](#)). Un total de 48 modelos compusieron la evaluación de referencia para el atún aleta amarilla ([SAC-11-07](#)), que abordó la incertidumbre en los cambios de selectividad y capturabilidad, el crecimiento, la selectividad asintótica y la dependencia de la densidad en el índice de capturabilidad. Todas las capturas del OPO fueron añadidas a los modelos, que se ajustaron a un índice de abundancia de cerco estandarizado para el OPO al norte de 5°N y a los datos de composición por talla de las pesquerías de cerco que operan al norte de 5°N, para evitar mezclar la señal de una posible población del sur.

Los 48 modelos de la evaluación de referencia estiman tendencias de reclutamiento relativo similares, independientemente de la inclinación supuesta ([Figura B-5](#)). Todas las trayectorias de la biomasa tienen tendencias decrecientes, pero la magnitud de las disminuciones varía ([Figura B-6](#)). Todos los modelos indican la F más alta para peces de 21+ trimestres (5.25+ años), seguidos por peces de 11-20 trimestres (2.75-5 años) ([Figura B-7](#)). Todos los modelos estiman impactos similares de los diferentes tipos de pesquerías ([Figura B-8](#)). Las pesquerías de palangre y de descartes por clasificación tienen el menor impacto, mientras que las pesquerías cerqueras asociadas a delfines tienen el mayor impacto a lo largo de la mayor parte del periodo (1984-2019). En los años 1990 el impacto de las pesquerías sobre objetos flotantes comenzó a ser importante, y superó al de las pesquerías no asociadas alrededor de 2008 y al de las pesquerías cerqueras asociadas a delfines en 2018. Al principio de 2020, la biomasa reproductora (S) del aleta amarilla varió del 49% al 219% del nivel en RMS dinámico ($S_{RMS,d}$); 12 modelos sugirieron que estuvo por debajo de dicho nivel ([Figura B-9](#), [Tabla B-2](#)). Al principio de 2020, la biomasa reproductora (S) varió del 145% al 345% del nivel de referencia límite ($S_{LÍMITE}$); ningún modelo sugirió que estuvo por debajo de dicho límite. Durante 2017-2019 la mortalidad por pesca (F) del aleta amarilla varió del 40% al 168% del nivel en RMS (F_{RMS}); 14 modelos sugirieron que estuvo por encima de dicho nivel. Durante 2017-2019, la mortalidad por pesca del aleta amarilla varió del 22% al 65% del nivel de referencia límite ($F_{LÍMITE}$); ningún modelo sugirió que estuvo por debajo de dicho límite. Todos los modelos sugieren que los valores de inclinación más bajos corresponden a estimaciones más pesimistas de la condición de la población: S más baja y F más alta con respecto a los puntos de referencia.

Los resultados de los modelos de referencia se combinan en un análisis de riesgos para proporcionar ase-

soramiento de ordenación (SAC-11-08). Las probabilidades de rebasar los puntos de referencia se calcularon usando el resultado de cada modelo y su peso asociado; las estimaciones finales se encuentran en la Tabla B-3 y en las Figuras B-9 y B-10. Todas las distribuciones de probabilidad son unimodales (Figura B-10). Existe una baja probabilidad de que F_{act} esté por encima de F_{RMS} (9%). La probabilidad de que F_{act} esté por encima de $F_{LÍMITE}$ es cero. La probabilidad de que la biomasa reproductora esté por debajo de S_{RMS_d} es baja (12%). La probabilidad de que la biomasa reproductora rebase $S_{LÍMITE}$ es cero. El riesgo esperado combinado de que F rebase F_{RMS} es inferior a 50% para seis duraciones de veda (Tabla B-3; Figura B-11), variando entre 26% (sin veda) y 5% (100 días), con riesgo bajo (9%) para la veda actual (72 días). Un modelo (Base-A) produjo un resultado pesimista (un riesgo superior al 50% de rebasar F_{RMS} para todos los escenarios (Tabla B-3), pero este modelo tiene una ponderación relativa muy baja (0.01).

Una incertidumbre clave que no se abordó en la evaluación es la estructura espacial de la población de atún aleta amarilla en el OPO, y se está investigando (por ejemplo, SAC-14-06) para poder incorporar aspectos de la estructura de la población en la próxima evaluación de referencia de 2024.

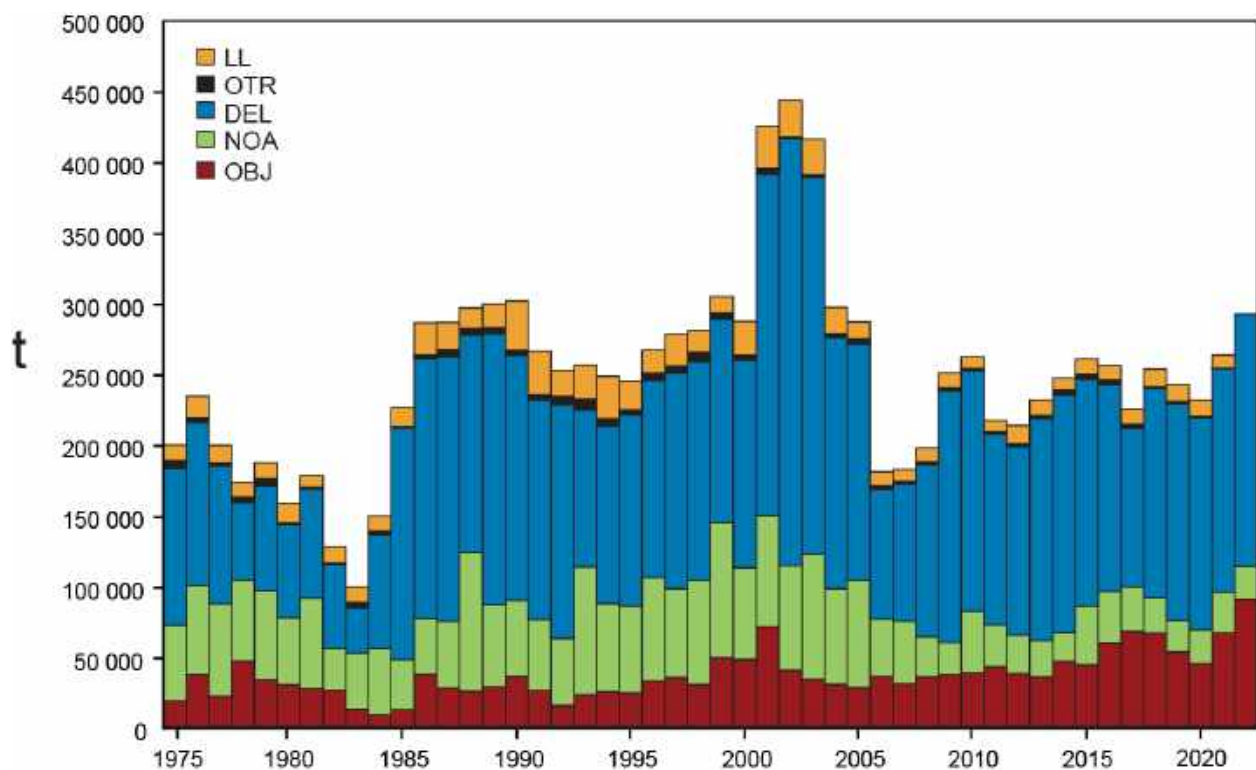


FIGURE B-1. Total catches (retained catches plus discards) for the purse-seine fisheries, by set type (DEL, NOA, OBJ), and retained catches for the longline (LL) and other (OTR) fisheries, of yellowfin tuna in the eastern Pacific Ocean, 1975-2021. The purse-seine catches are adjusted to the species composition estimate obtained from sampling the catches. The 2020 and 2021 data are preliminary.

FIGURA B-1. Capturas totales (capturas retenidas más descartes) en las pesquerías de cerco, por tipo de lance (DEL, NOA, OBJ), y capturas retenidas de las pesquerías de palangre (LL) y otras (OTR), de atún aleta amarilla en el Océano Pacífico oriental, 1975-2021. Se ajustan las capturas de cerco a la estimación de la composición por especie obtenida del muestreo de las capturas. Los datos de 2020 y 2021 son preliminares.

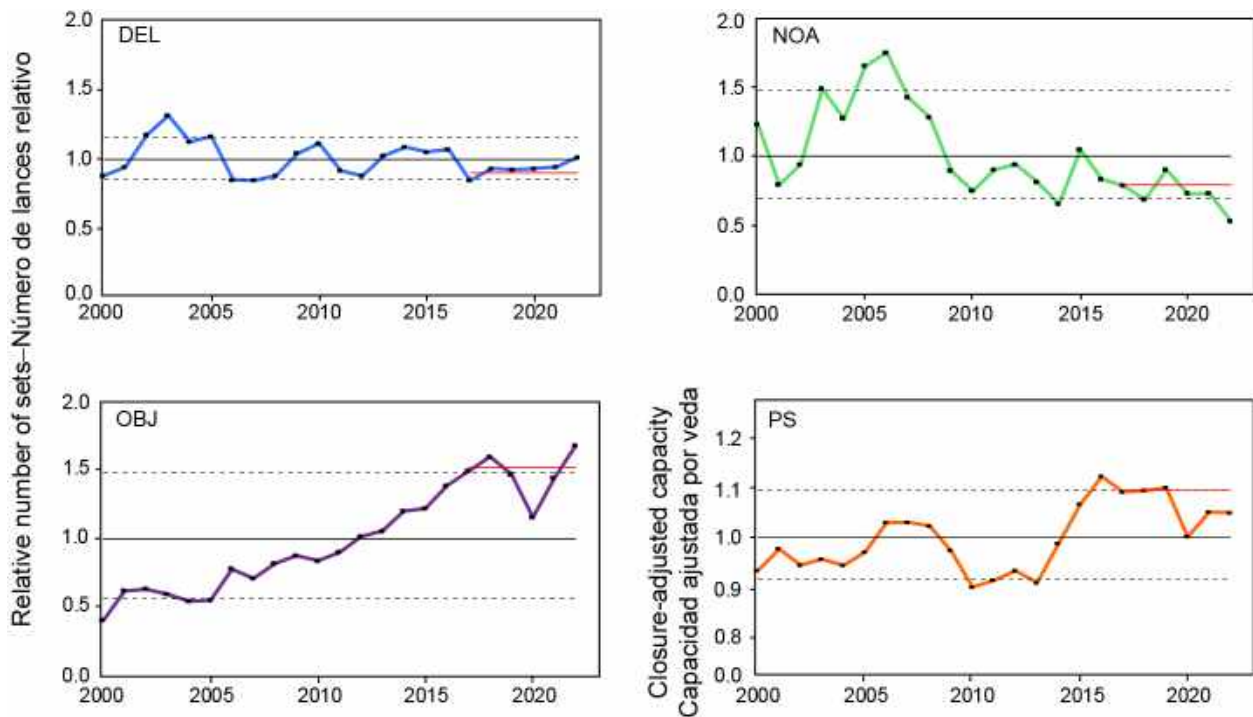


FIGURE B-2. Indicators of total effort in the EPO, based on purse-seine data closure-adjusted capacity, 2000-2021; annual total number of sets, by type, 1987-2021) and based on longline data for 2000-2020 (effort reported by all fleets, in total numbers of hooks; proportion of the effort corresponding to Japan). The dashed horizontal lines are the 10th and 90th percentiles, the solid horizontal line is the mean. The red dashed lines mark the *status quo* levels (average conditions in 2017-2019).

FIGURA B-2. Indicadores del esfuerzo total en el OPO, basados en datos de cerco (capacidad ajustada por veda, 2000-2021; número total anual de lances, por tipo, 1987-2021) y en datos de palangre de 2000-2020 (esfuerzo notificado por todas las flotas, en número total de anzuelos; proporción del esfuerzo correspondiente a Japón). Las líneas horizontales de trazos representan los percentiles de 10 y 90%, y la línea horizontal sólida el promedio. Las líneas discontinuas rojas marcan los niveles de *status quo* (condiciones promedio en 2017-2019).

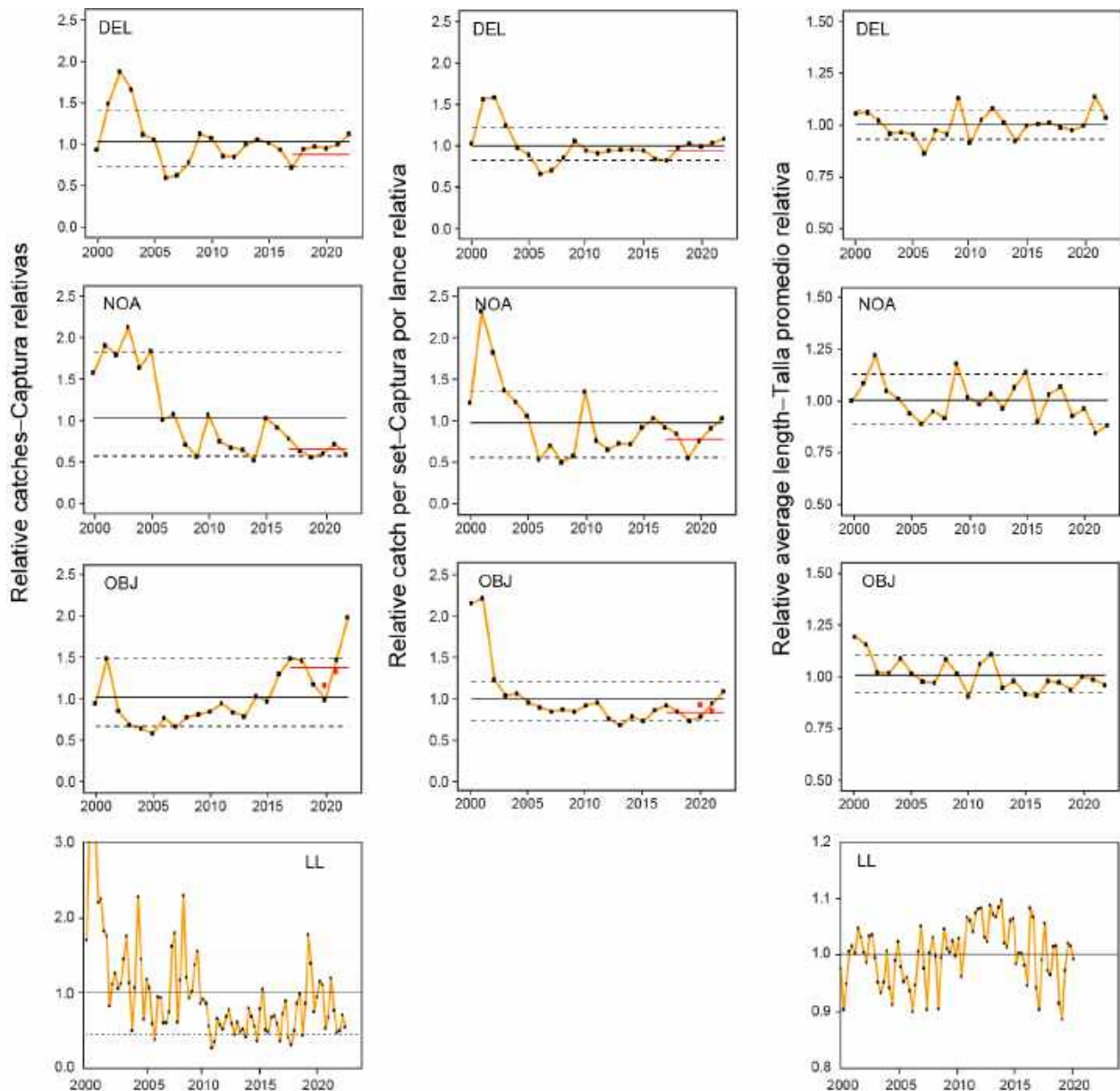


FIGURE B-3. Indicators (catch (t and numbers); CPUE (t/day fished); average length (cm)) for the yellowfin tuna stock in the eastern Pacific Ocean, from purse-seine fisheries; relative catch and relative average length, obtained from standardized length composition using spatiotemporal model, from longline fisheries. The lines represent the 10% and 90% percentiles (dashed lines) and the mean (solid line). The red dots are the bias-adjusted estimates for floating-object catches in the two COVID-19 years (see [SAC-13-05](#)). The red dashed lines mark the *status quo* reference levels (average conditions in 2017-2019).

FIGURA B-3. Indicadores (captura (t); esfuerzo (días de pesca); CPUE (t/día de pesca); talla promedio (cm)) para la población de atún aleta amarilla en el Océano Pacífico oriental, de las pesquerías de cerco, Captura relativa y talla promedio relativa de las pesquerías de palangre, obtenidas de la composición por talla estandarizada usando el modelo espaciotemporal, de las pesquerías de palangre. Las líneas representan los percentiles de 10% y 90% (líneas de trazos) y el promedio (línea sólida). Los puntos rojos son las estimaciones ajustadas al sesgo de las capturas de objetos flotantes en los dos años de COVID-19 (ver [SAC-13-05](#)). Las líneas discontinuas rojas marcan los niveles de *status quo* (condiciones promedio en 2017-2019).

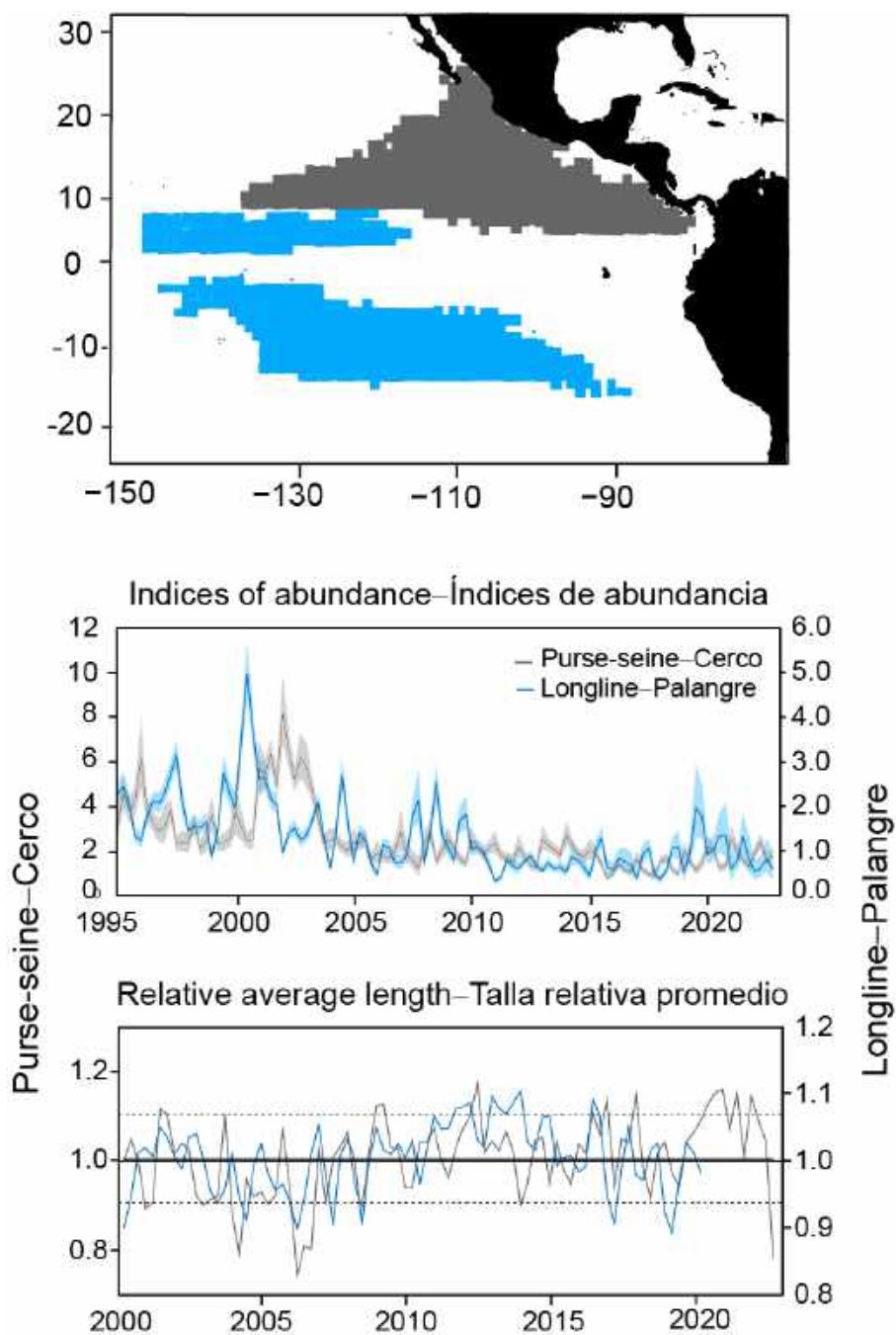


FIGURE B-4. Top: Spatial domain of the purse-seine and longline derived indices. Middle: Relative abundance indices derived from catch per unit of effort of purse-seine (1995-2022) and longline (1995-2020 3rd quarter⁷) fisheries standardized using spatiotemporal models. Bottom: Relative average size.

FIGURA B-4. Arriba: Dominio espacial de los índices derivados de cerco y palangre. Medio: Índices de abundancia relativa derivados de la captura por unidad de esfuerzo de las pesquerías de cerco (1995-2022) y de palangre (1995-2020 3^{er} trimestre) estandarizados mediante modelos espaciotemporales. Abajo: Talla promedio relativa.

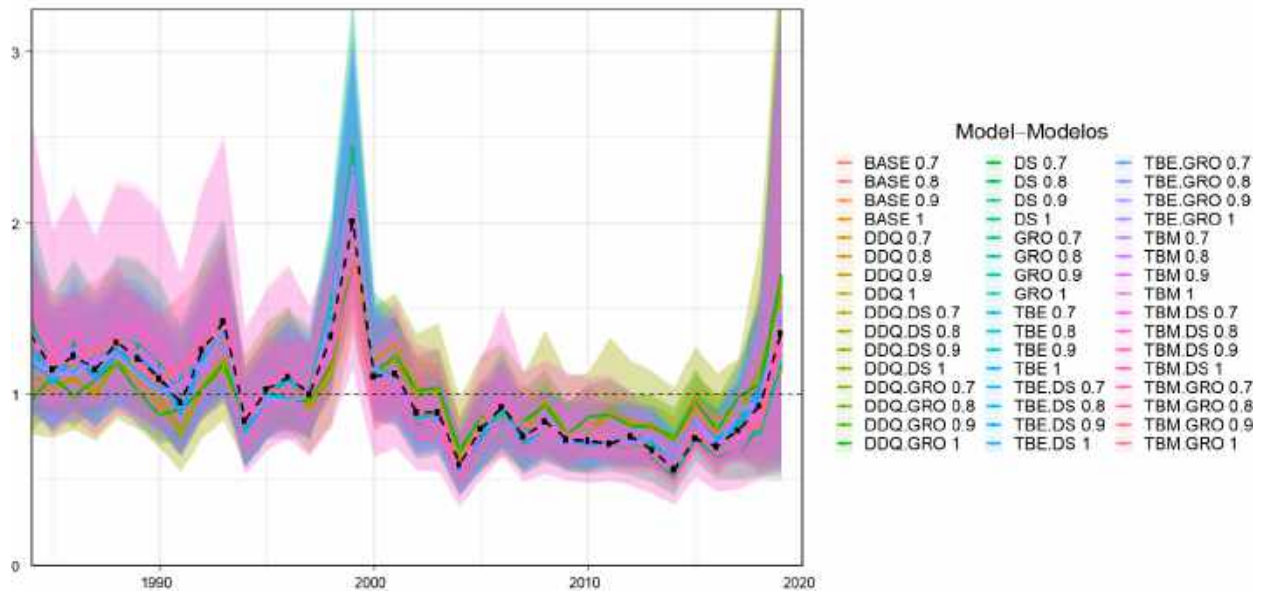


FIGURE B-5. Annual relative recruitment of yellowfin tuna to the fisheries of the EPO estimated by the 48 models and weighted average (black dashed line). The lines and dots indicate the maximum likelihood estimates of recruitment, and the shaded areas the approximate 95% confidence intervals around the estimates. The estimates are scaled so that the average recruitment is equal to 1.0 (dashed horizontal line). See model descriptions in Table B-1. The weighted average is computed using the weights assigned to each model in [SAC-11-INF-J](#).

FIGURA B-5. Reclutamiento anual relativo del aleta amarilla en las pesquerías del OPO estimado por los 48 modelos y media ponderada (línea negra de trazos). Las líneas y puntos indican las estimaciones de máxima verosimilitud (EMV) del reclutamiento, y las áreas sombreadas los intervalos de confianza de 95% aproximados alrededor de las estimaciones. Se ajusta la escala de las estimaciones para que el reclutamiento promedio sea igual a 1.0 (línea de trazos horizontal). Ver descripciones de los modelos en la Tabla B-1. La media ponderada fue calculada usando los pesos asignados a cada modelo en [SAC-11-INF-J](#).

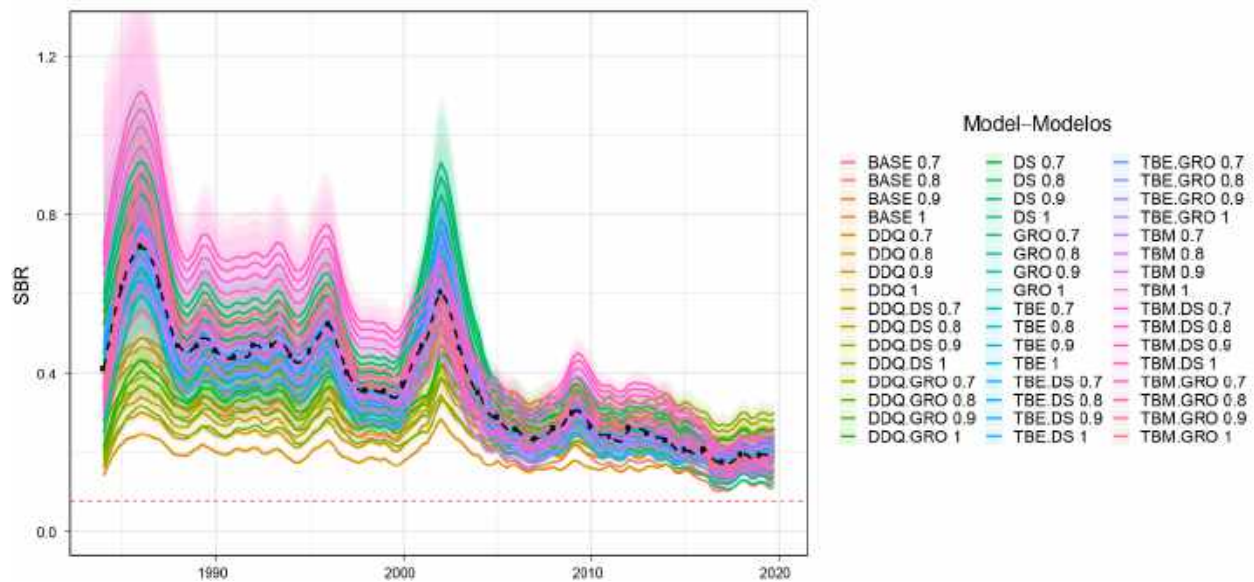


FIGURE B-6. Spawning biomass ratios (SBRs) for yellowfin tuna in the EPO, 1985-2019. The solid lines represent the maximum likelihood estimates and the shaded areas the approximate 95% confidence intervals around those estimates estimated by the 48 models and weighted average (black dashed line). The red dashed horizontal line (at 0.077) identifies the SBR at S_{LIMIT} . See model descriptions in Table B-1 The weighted average was computed using the weights assigned to each model in [SAC-11-INF-J](#).

FIGURA B-6. Cocientes de biomasa reproductora (SBR) del aleta amarilla en el OPO, 1985-2019. Las líneas sólidas representan las estimaciones de máxima verosimilitud, las áreas sombreadas son los intervalos de confianza de 95% aproximados alrededor de esas estimaciones para los 48 modelos y media ponderada (línea negra de trazos). La línea de trazos horizontal roja (en 0.077) identifica el SBR en $S_{LÍMITE}$. Ver descripciones de los modelos en la Tabla B-1. La media ponderada fue calculada usando los pesos asignados a cada modelo en [SAC-11-INF-J](#).

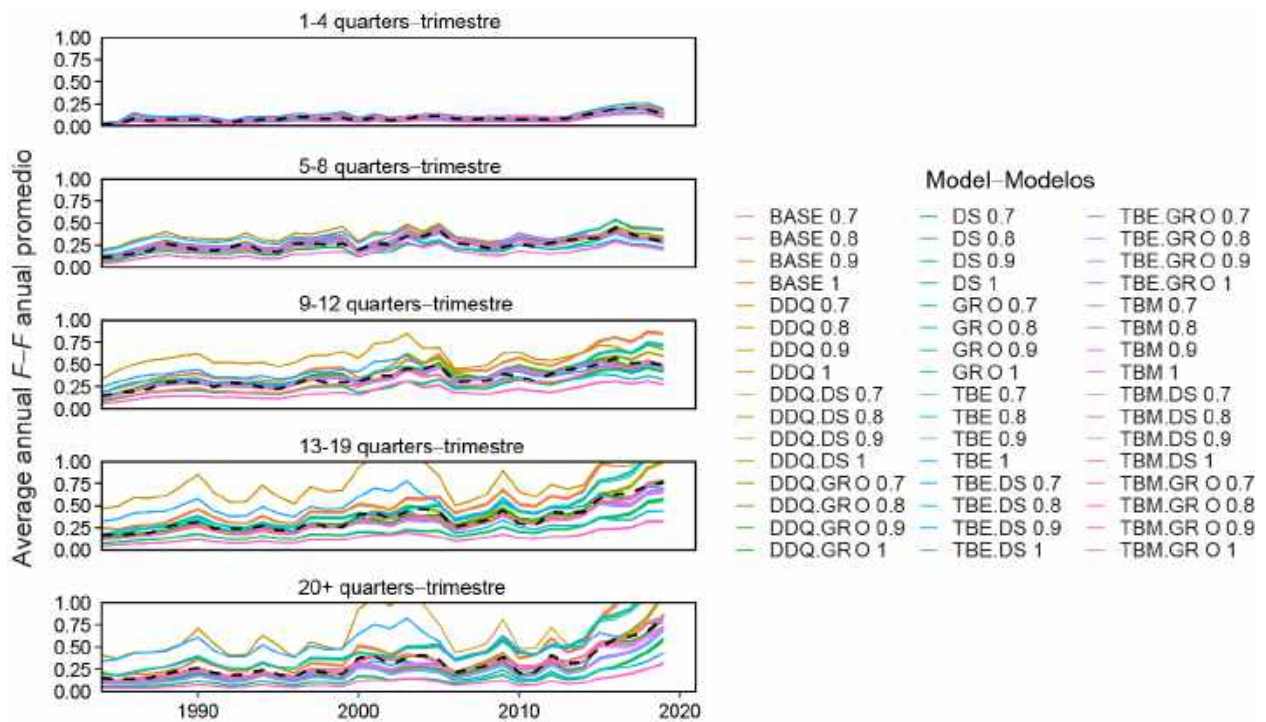


FIGURE B-7. Average annual fishing mortality (F) of yellowfin tuna in the EPO, by age group (in quarters), for all gears, estimated by the 48 models and weighted average. See model descriptions in Table B-1. The weighted average was computed using the weights assigned to each model in [SAC-11-INF-J](#).

FIGURA B-7. Mortalidad por pesca (F) anual promedio del atún aleta amarilla en el OPO, por grupo de edad (en trimestres), por todas las artes, estimada por los 48 modelos y media ponderada. Ver descripciones de los modelos en la Tabla B-1. La media ponderada fue calculada usando los pesos asignados a cada modelo en [SAC-11-INF-J](#).

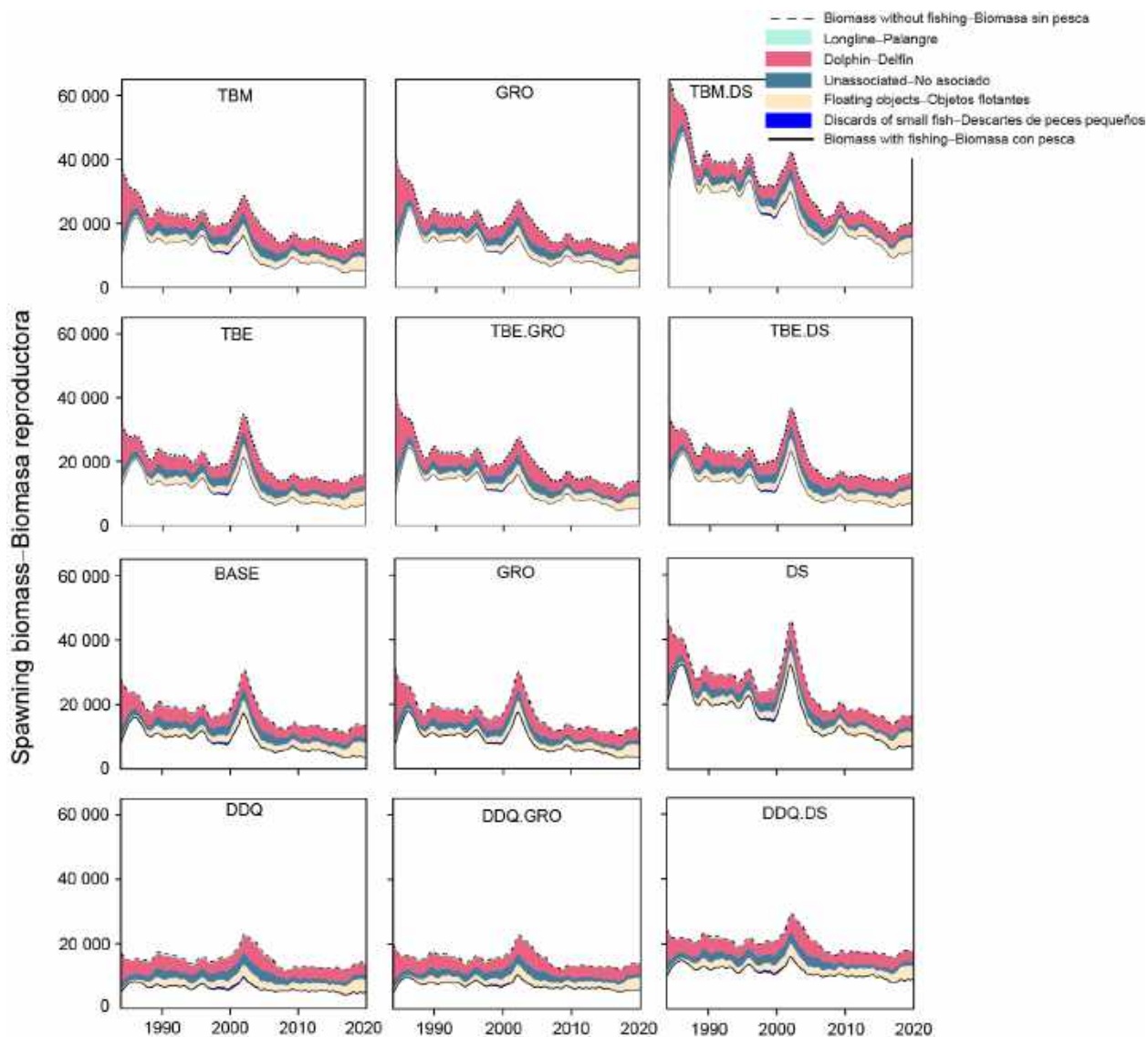


FIGURE B-8. Impact of fishing, 1985-2019: trajectory of the spawning biomass (a fecundity index, see text for details) of a simulated population of yellowfin tuna that was never exploited (dashed line) and that predicted by each model, with a steepness of 1.0 (solid line). The shaded areas between the two lines show the portions of the impact attributed to each fishing method. See model descriptions in [Table B-1](#).

FIGURA B-8. Impacto de la pesca, 1985-2019: trayectoria de la biomasa reproductora (un índice de fecundidad, ver detalles en el texto) de una población simulada de aleta amarilla que nunca fue explotada (línea de trazos) y la trayectoria predicha por cada modelo, con una inclinación de 1.0 (línea sólida). Las áreas sombreadas entre las dos líneas muestran las porciones del impacto atribuido a cada método de pesca. Ver descripciones de los modelos en la [Tabla B-1](#).

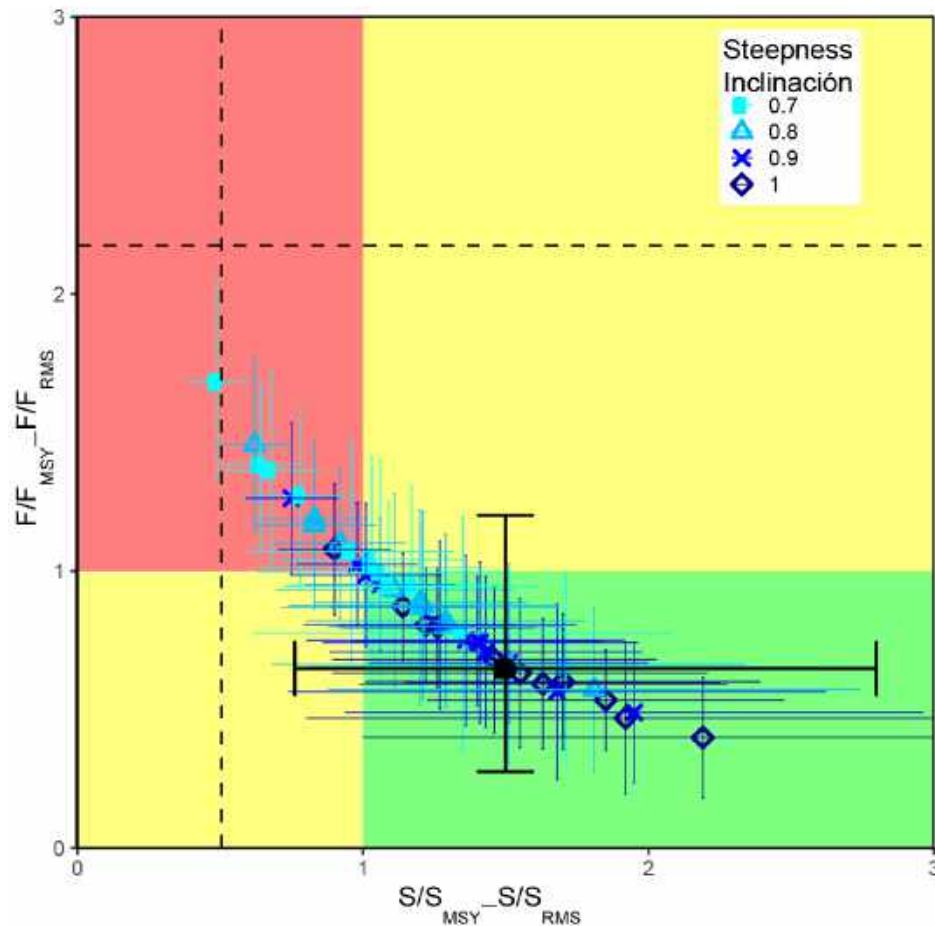


FIGURE B-9. Kobe (phase) plot of the time series of estimates of spawning stock size (S) and fishing mortality (F) of yellowfin tuna relative to their MSY reference points. The colored panels are separated by the target reference points (S_{MSY} and F_{MSY}). Limit reference points (dashed lines), which correspond to a 50% reduction in recruitment from its average unexploited level, based on a conservative steepness (h) of 0.75 for the Beverton-Holt stock-recruitment relationship, are merely indicative, since they vary by model and are based on all models combined. The center point for each model indicates the current stock status, based on the average fishing mortality (F) over the last three years; The solid black circle represents all models combined; to be consistent with the probabilistic nature of the risk analysis and the HCR, it is based on $P(S_{cur}/S_{LIMIT} < x) = 0.5$ and $P(F_{cur}/F_{MSY} > x) = 0.5$. The lines around each estimate represent its approximate 95% confidence interval.

FIGURA B-9. Diagrama de Kobe (fase) de la serie de tiempo de las estimaciones del tamaño de la población reproductora (S) y de la mortalidad por pesca (F) del atún aleta amarilla relativas a sus puntos de referencia de RMS. Los paneles de colores están separados por los puntos de referencia objetivo (S_{RMS} y F_{RMS}). Los puntos de referencia límite (líneas de trazos), que corresponden a una reducción del 50% del reclutamiento de su nivel promedio sin explotación, basados en una inclinación (h) cautelosa de 0.75 para la relación población-reclutamiento de Beverton-Holt, son meramente indicativos, ya que varían por modelo y se basan en todos los modelos combinados. El punto central para cada modelo indica la condición actual de la población, con base en la mortalidad por pesca media durante los tres últimos años. El círculo negro sólido representa todos los modelos combinados; para ser consistente con la naturaleza probabilista del análisis de riesgos y la RCE, se basa en $P(S_{act}/S_{LÍMITE} < x) = 0.5$ y $P(F_{act}/F_{RMS} > x) = 0.5$. Las líneas alrededor de cada estimación representan su intervalo de confianza aproximado de 95%.

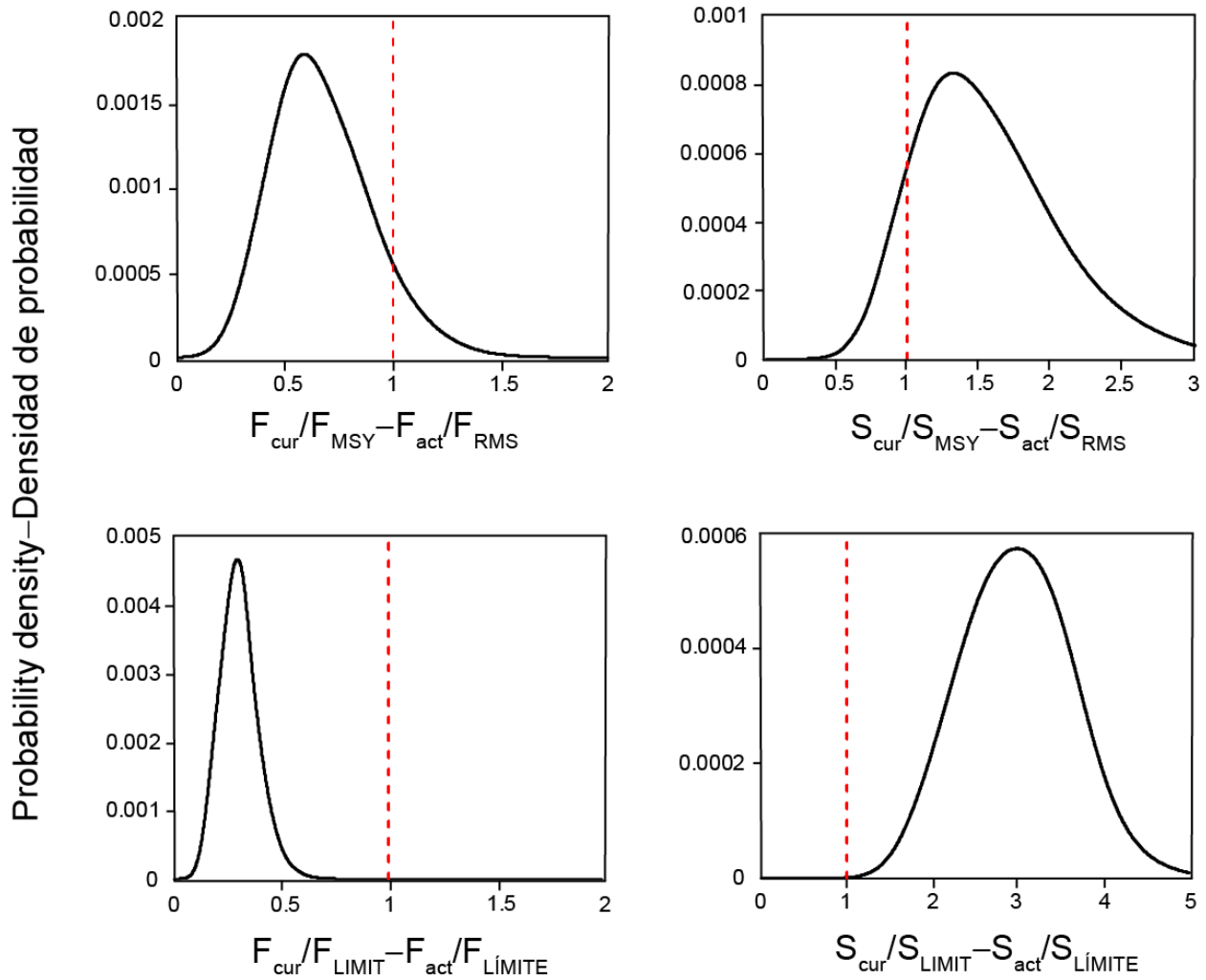


FIGURE B-10. Yellowfin probability density functions for F_{cur}/F_{MSY} , F_{cur}/F_{LIMIT} and S_{cur}/S_{LIMIT} broken down into different components for models developed to address: a) combined; b) issues with the index of abundance; c) misfit to the composition data for the fishery with asymptotic selectivity; and d) different assumptions on steepness (h).

FIGURA B-10. Funciones de densidad de probabilidad para F_{act}/F_{RMS} , $F_{act}/F_{LÍMITE}$ y $S_{act}/S_{LÍMITE}$ de aleta amarilla divididas en diferentes componentes para modelos implementados para resolver: a) combinada; b) problemas con el índice de abundancia; c) problemas en los ajustes a los datos de composiciones de talla de la pesquería con selectividad asintótica; y d) distintos supuestos sobre la inclinación (h).

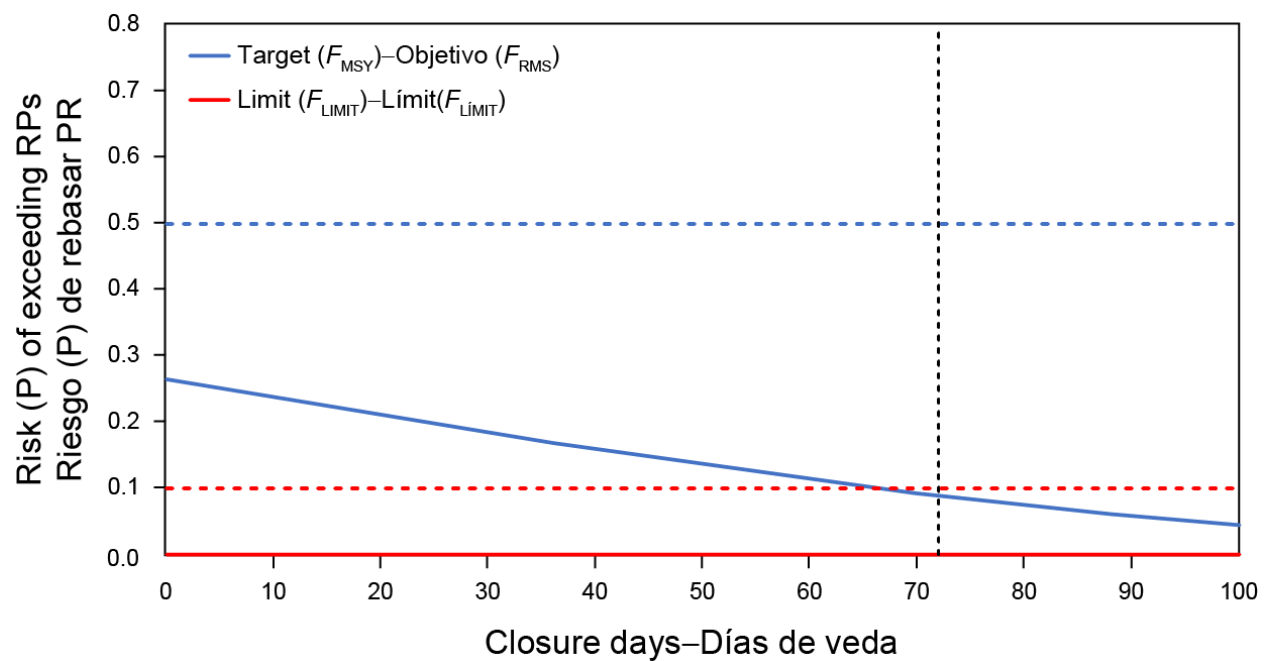


FIGURE B-11. Risk curves showing the probability of exceeding the target and limit reference points (RPs) for different durations of the temporal closure for yellowfin in the EPO.

FIGURA B-11. Curvas de riesgo que señalan la probabilidad de rebasar los puntos de referencia (PR) objetivo y límite con diferentes duraciones de la veda temporal para aleta amarilla en el OPO.

TABLE B-1. Model configurations (hypotheses) used for yellowfin tuna in the EPO (from [SAC-11-08](#) Table A).

TABLA B-1. Configuraciones de los modelos (hipótesis) usadas para el atún aleta amarilla en el OPO (de [SAC-11-08](#) Tabla A).

TABLA A. Configuraciones de modelo (hipótesis) usadas para el atún aleta amarilla en el OPO	
Modelo	Descripción
A. Prop: Proporcional	
Base-A	Índice de abundancia proporcional a la abundancia. Crecimiento fijo; selectividad de todas las flotas y estudio invariable con el tiempo; selectividad F19 asintótica; índice de capturabilidad (q , constante de proporcionalidad entre índice y biomasa) invariable con el tiempo.
EstGro-A	Como Base-A, pero ajustado a datos de otolitos, crecimiento estimado.
EstSel-A	Como Base-A, pero supone selectividad F19 en forma de domo, con parámetros estimados.
B. DDQ: Densodependencia	
Base-B	Como Base-A, pero supone relación no lineal entre índice de abundancia y biomasa, con parámetros estimados.
EstGro-B	Como Base-B, pero crecimiento estimado.
EstSel-B	Como Base-B, pero supone selectividad F19 en forma de domo, con parámetros estimados.
C. TBM: Bloque de tiempo centro	
Base-C	Como Base-A, pero supone bloque de tiempo durante 2001-2003 para el índice de capturabilidad (q) (para acomodar un aumento grande en el índice) y un bloque de tiempo de selectividad durante 2002-2007 para el índice, y pesquerías F18 y F19. Selectividad F19 su-puesta en forma de domo durante 2002-2007, asintótica en otros periodos.
EstGro-C	Como Base-C, pero crecimiento estimado.
EstSel-C	Como Base-C, pero supone selectividad F19 en forma de domo, con parámetros estimados.
D. TBE: Bloque de tiempo fin	
Base-D	Como Base-A, pero supone bloque de tiempo comenzando en 2015 para el índice (capturabilidad y selectividad) y para selectividad F19 (para acomodar un aumento de tamaño en el índice y pesquería con selectividad asintótica).
EstGro-D	Como Base-D, pero crecimiento estimado.
EstSel-D	Como Base-D, pero supone selectividad F19 en forma de domo, con parámetros estimados.

TABLE B-2. Management quantities for yellowfin tuna in the EPO for each reference model summarized over the four steepness values. See explanation of code in Table B-1 (from [SAC-11-08](#) Table 1).

TABLA B-2. Cantidades de ordenación para el atún aleta amarilla en el OPO para cada modelo de referencia resumidas sobre los cuatro valores de inclinación. Ver explicación de los códigos en la Tabla B-1 (de [SAC-11-08](#) Tabla 1).

TABLA 1. Cantidades de ordenación para el atún aleta amarilla en el OPO. Ver explicaciones de códigos en Tabla A. $E(x)$ es el valor esperado. $P=0.5$: mediana de las distribuciones de $P(S_{act}/S_{RMS})$ y $P(F_{act}/F_{RMS})$

	A. Prop			B. DDQ			C. TBM			D. TBE			Comb.	
	Base-A	EstGro-A	EstSel-A	Base-B	EstGro-B	EstSel-B	Base-C	EstGro-C	EstSel-C	Base-D	EstGro-D	EstSel-D	$E(x)$	$P=0.5$
P (Modelo)	0.01	0.05	0.06	0.03	0.13	0.09	0.05	0.10	0.24	0.03	0.06	0.14	1.00	
Mortalidad por pesca (F)														
F_{act}/F_{RMS}	1.24	0.95	0.69	1.01	0.65	0.55	0.93	0.72	0.47	0.79	0.72	0.73	0.67	0.65
$P(F_{act}>F_{RMS})$	0.88	0.37	0.05	0.46	0.03	0.01	0.32	0.07	0.00	0.13	0.08	0.09	0.09	
$F_{act}/F_{LÍMITE}$	0.46	0.45	0.31	0.38	0.32	0.25	0.38	0.35	0.22	0.33	0.33	0.31	0.30	
$P(F_{act}>F_{LÍMITE})$	0.00	0.00	0.00	0.00	0.00	0.00	0.00	0.00	0.00	0.00	0.00	0.00	0.00	
Biomasa reproductora (S)														
S_{act}/S_{RMS_d}	0.78	1.07	1.48	1.01	1.60	1.74	1.09	1.48	2.02	1.31	1.48	1.40	1.57	1.58
$P(S_{act}<S_{RMS})$	0.93	0.41	0.07	0.48	0.04	0.08	0.34	0.06	0.03	0.15	0.09	0.11	0.12	
$S_{act}/S_{LÍMITE}$	1.87	1.96	2.60	2.62	3.24	3.70	2.33	2.53	3.25	2.99	2.94	3.08	2.98	
$P(S_{act}<S_{LÍMITE})$	0.00	0.00	0.00	0.00	0.00	0.00	0.00	0.00	0.00	0.00	0.00	0.00	0.00	

TABLE B-3. Decision table for yellowfin tuna in the EPO for each reference model summarized over the four steepness values. See explanation of code in Table B-1 (FROM [SAC-11-08](#) Table 3).

TABLA B-3. Tabla de decisión para el atún aleta amarilla en el OPO para cada modelo de referencia resumidas sobre los cuatro valores de inclinación. Ver explicación de los códigos en la Tabla B-1 (de [SAC-11-08](#) Tabla 3).

TABLA 3. Tabla de decisión para el atún aleta amarilla en el OPO. Ver explicación de códigos en Tabla A.														
Días de veda	A. Prop			B. DDQ			C. TBM			D. TBE			Comb	
	Base-A	EstGro-A	EstSel-A	Base-B	EstGro-B	EstSel-B	Base-C	EstGro-C	EstSel-C	Base-D	EstGro-D	EstSel-D		
$P(F > F_{RMS})$												Probabilidad	≤50%	>50%
0	0.99	0.74	0.23	0.88	0.17	0.09	0.74	0.29	0.02	0.43	0.30	0.32	0.26	
36	0.97	0.56	0.12	0.70	0.08	0.04	0.53	0.17	0.01	0.27	0.17	0.19	0.17	
70	0.88	0.37	0.05	0.46	0.03	0.01	0.32	0.07	0.00	0.13	0.08	0.09	0.09	
72	0.87	0.36	0.05	0.44	0.03	0.01	0.31	0.07	0.00	0.13	0.08	0.08	0.09	
88	0.77	0.28	0.03	0.33	0.01	0.01	0.22	0.04	0.00	0.08	0.05	0.05	0.06	
100	0.68	0.22	0.01	0.26	0.01	0.00	0.16	0.02	0.00	0.06	0.03	0.03	0.05	
$P(F > F_{LÍMITE})$												Probabilidad	≤10%	>10%
0	0.00	0.00	0.00	0.00	0.00	0.00	0.00	0.00	0.00	0.00	0.00	0.00	0.00	
36	0.00	0.00	0.00	0.00	0.00	0.00	0.00	0.00	0.00	0.00	0.00	0.00	0.00	
70	0.00	0.00	0.00	0.00	0.00	0.00	0.00	0.00	0.00	0.00	0.00	0.00	0.00	
72	0.00	0.00	0.00	0.00	0.00	0.00	0.00	0.00	0.00	0.00	0.00	0.00	0.00	
88	0.00	0.00	0.00	0.00	0.00	0.00	0.00	0.00	0.00	0.00	0.00	0.00	0.00	
100	0.00	0.00	0.00	0.00	0.00	0.00	0.00	0.00	0.00	0.00	0.00	0.00	0.00	

C. ATÚN BARRILETE

El atún barrilete se distribuye en aguas tropicales a lo largo del Océano Pacífico. En el Océano Pacífico oriental (OPO), la mayoría de las capturas proceden de la pesquería de cerco. Desde 1990, la pesquería de cerco asociada a objetos flotantes se ha convertido en el tipo de pesquería dominante ([Figura C-1](#)).

Se desarrolló una evaluación estadística integrada de captura por talla estructurada por edad para el atún barrilete en el Océano Pacífico oriental utilizando Stock Synthesis. La evaluación es similar a las realizadas para el atún patudo y el atún aleta amarilla y se ajusta a índices de abundancia relativa y datos de composición por talla. Aunque el personal califica la evaluación como *provisional*, la considera fiable para el asesoramiento de ordenación. El término “provisional” se debe a que se espera que haya mejoras adicionales en la evaluación del barrilete conforme al plan de trabajo en curso para desarrollar una evaluación de la población de barrilete en el OPO que incluya datos de marcado.

Existe incertidumbre sustancial sobre varios supuestos del modelo y se realizan análisis de sensibilidad para determinar si el asesoramiento de ordenación es robusto a dicha incertidumbre. En particular, existe incertidumbre sobre por qué no se observan barriletes grandes en la pesquería cerquera. Esto podría deberse a una selectividad en forma de domo, una alta mortalidad por pesca, una alta mortalidad natural de los peces viejos o a un descenso rápido de las tasas de crecimiento de los peces más viejos. Se dispone de varias fuentes de datos para ajustar el modelo, pero su fiabilidad es incierta. Se llevan a cabo análisis de sensibilidad para determinar si el asesoramiento de ordenación es robusto al uso de las diferentes fuentes de datos. Los índices de abundancia relativa incluyen: a) un índice de palangre, para el que el tamaño de muestra es bajo; b) índices de captura por lance para lances cerqueros, por tipo de lance (objetos flotantes, cardúmenes libres), para los que la relación entre la captura por lance y la abundancia es incierta; y, c) un índice basado en datos de boyas con ecosonda, que se desarrolló recientemente. Se desarrolla un modelo de referencia basado en los supuestos más plausibles y se realizan análisis de sensibilidad cambiando los supuestos del modelo de referencia. Los diagnósticos indican que existe un conflicto de datos, y que éste se redujo en cierta medida cuando se evaluó por separado la población al este de 120°O. Sin embargo, los resultados de ordenación fueron robustos a la inclusión o exclusión de los conjuntos de datos de composición por talla e índices de abundancia. En 2022 se llevó a cabo una [revisión independiente de la evaluación del barrilete](#), cuyas recomendaciones se utilizarán para mejorarla.

Las cantidades basadas en el RMS no pueden estimarse porque el balance entre el crecimiento y la mortalidad natural, en combinación con el supuesto de que el reclutamiento es independiente del tamaño de la población, implican que deberían capturarse a las edades más tempranas para maximizar el rendimiento, lo que implica que la mortalidad por pesca óptima debería ser infinita. Por lo tanto, se proponen un sustituto conservador para la biomasa objetivo de $SBR = 0.3$ con base en los valores del patudo y el aleta amarilla, y la mortalidad por pesca correspondiente a esa biomasa, como puntos de referencia objetivo ([SAC-14-09](#); [SAC-14 INF-O](#)). El modelo de referencia estimó que la tasa de explotación de 2021 fue ligeramente superior al *statu quo* (nivel promedio de 2017-2019; [Figura C-2](#)), al igual que más de la mitad de los modelos de sensibilidad, que abarcaron estar entre ligeramente y 0.1 por encima (excepto un modelo que estimó tasas de explotación elevadas; [Tabla C-1](#)). El modelo de referencia y la mayoría de los análisis de sensibilidad estiman que la biomasa actual está por encima del punto de referencia objetivo y que la mortalidad por pesca está por debajo de la mortalidad por pesca objetivo ([Figura C-3](#), [Tabla C-1](#)).

Se seguirá mejorando el modelo hacia la evaluación de referencia de 2024, incluyendo la incorporación de los resultados del análisis de los datos de marcado recolectados recientemente y las recomendaciones de la revisión independiente.

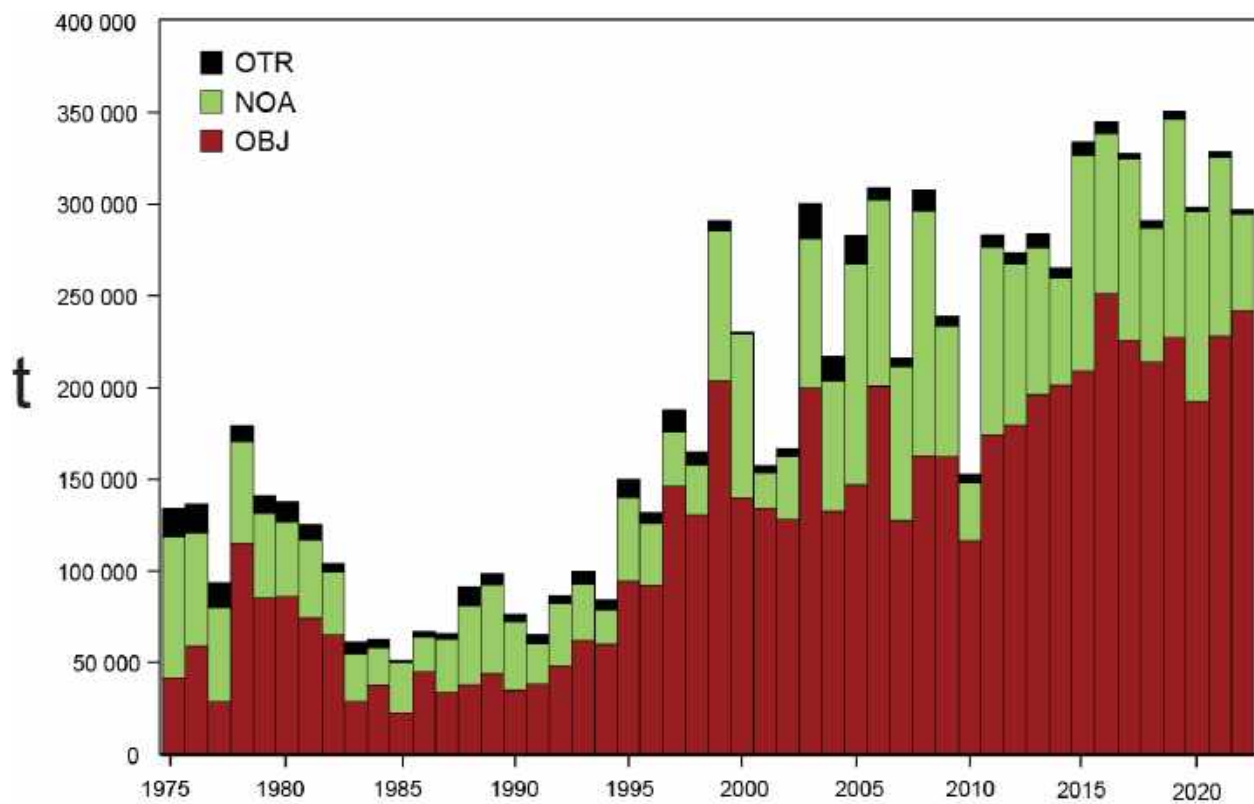


FIGURE C-1. Total catches (retained catches plus discards) for the purse-seine fisheries, by set type (NOA, OBJ) and retained catches for the other (OTR) fisheries, of skipjack tuna in the eastern Pacific Ocean, 1975-2021. The purse-seine catches are adjusted to the species composition estimate obtained from sampling the catches. The 2020 catch data are preliminary.

FIGURA C-1. Capturas totales (capturas retenidas más descartes) en las pesquerías de cerco, por tipo de lance (NOA, OBJ), y capturas retenidas de las otras pesquerías (OTR), de atún barrilete en el Océano Pacífico oriental, 1975-2021. Se ajustan las capturas de cerco a la estimación de la composición por especie obtenida del muestreo de las capturas. Los datos de captura de 2020 son preliminares.

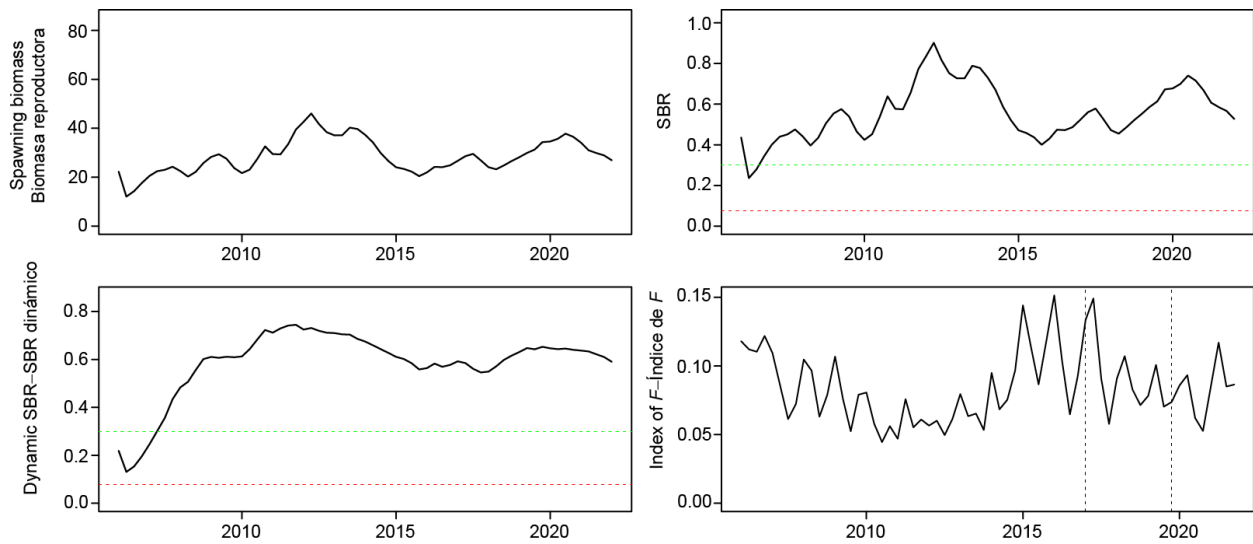


FIGURE C-2. Spawning biomass, spawning biomass ratio, dynamic spawning biomass ratio, and an index of quarterly exploitation rate for the reference model. The green dashed horizontal line is the target biomass reference point (SBR = 0.3) and the red horizontal dashed line is the limit biomass reference point (SBR = 0.077). The two vertical lines represent the *status quo* period (2017-2019).

FIGURA C-2. Biomasa reproductora, cociente de biomasa reproductora, cociente de biomasa reproductora dinámica y un índice de la tasa de explotación trimestral para el análisis de sensibilidad que supone que la edad de un pez de 37 cm es 3 trimestres. La línea horizontal verde discontinua es el punto de referencia objetivo de la biomasa (SBR = 0.3) y la línea horizontal roja discontinua es el punto de referencia límite de la biomasa (SBR = 0.077). Las dos líneas verticales representan el periodo de *status quo* (2017-2019).

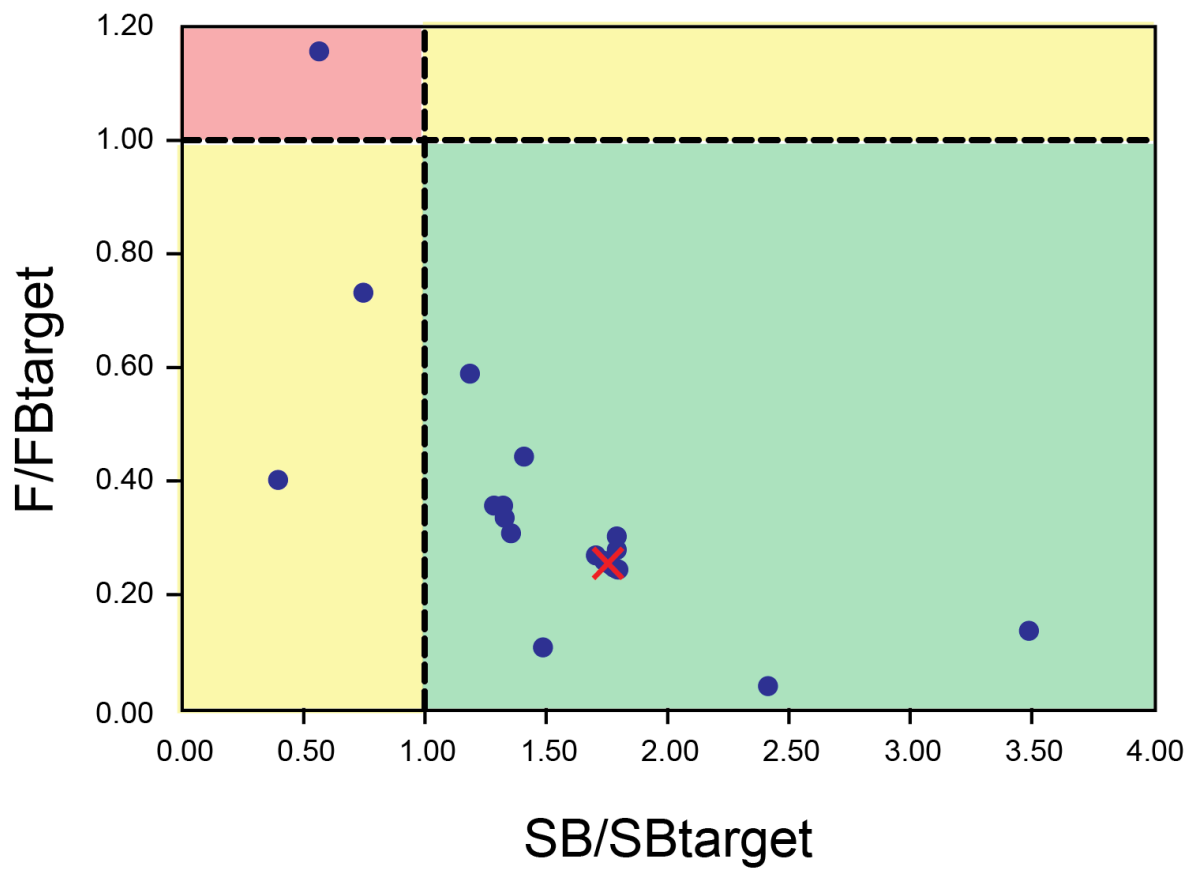


FIGURE C-3. Kobe plot showing the stock status estimates from all the models.

FIGURA C-3. Gráfica de Kobe que muestra las estimaciones de la condición de la población de todos los modelos.

TABLE C-1. Estimates of spawning biomass, spawning biomass ratio (SBR), dynamic spawning biomass ration (dSBR), average recruitment over the model time period (except the 4th quarter of 2021) as a ratio of the estimated virgin recruitment for all of the models, average exploitation rate in 2020 as a ratio of the *status quo*, average exploitation rate in 2021 as a ratio of the *status quo*, and current fishing mortality as a ratio of the fishing mortality corresponding to $B_{target} = 0.3B_0$. R_{ave}/R_0 is a check to make sure the SBR based on B_0 is not biased due to the bias correction for recruitment residuals (this will affect the plots of SBR that are plotted with confidence intervals). The dSBR is adjusted by the ratio R_{ave}/R_0 . The red highlighting and text indicate where SBR or dSBR are below the proxy target reference point (0.3) and when the *status quo* fishing mortality (average of 2017-2019) has been exceeded.

TABLA C-1. Estimaciones de biomasa reproductora, cociente de biomasa reproductora (SBR), cociente de biomasa reproductora dinámica (dSBR), reclutamiento promedio a lo largo del periodo del modelo (excepto el cuarto trimestre de 2021) como razón del reclutamiento virgen estimado para todos los modelos, tasa promedio de explotación en 2020 como razón del *statu quo*, tasa promedio de explotación en 2021 como razón del *statu quo*, y mortalidad por pesca actual como razón de la mortalidad por pesca correspondiente a $B_{obj} = 0.3B_0$. R_{prom}/R_0 es una comprobación para asegurarse de que el SBR basado en B_0 no esté sesgado debido a la corrección del sesgo por los residuales de reclutamiento (esto afectará a las gráficas de SBR que se trazan con intervalos de confianza). El dSBR se ajusta por la razón R_{prom}/R_0 . Las celdas y el texto en rojo indican los casos en que el SBR o dSBR están por debajo del punto de referencia objetivo sustituto (0.3) y cuando se ha rebasado la mortalidad por pesca del *statu quo* (promedio de 2017-2019).

Código modelo	Modelo	SB	SBR	dSBR	R_{prom}/R_0	F_{2020}/F_{sq}	F_{2021}/F_{sq}	F_{act}/F_{obj}
	Modelo de referencia	26871	0.53	0.59	0.98	0.80	1.01	0.25
a	$L_{inf} = 73$ cm	28475	0.54	0.60	0.99	0.81	1.02	0.24
b	$L_{inf} = 83$ cm	24899	0.51	0.57	0.98	0.79	1.00	0.27
c	$L_{cv} = 0.05$	27560	0.53	0.60	0.97	0.80	1.02	0.25
d	$L_{cv} = 0.07$	26086	0.52	0.58	0.99	0.79	1.01	0.26
e	Captura corregida por el sesgo para 2020-2021	27861	0.53	0.60	0.98	0.76	1.03	0.25
f	Sin índice de ecosonda	70976	1.05	0.79	1.04	0.59	0.55	0.14
g	Sin índice de palangre	23746	0.41	0.56	0.99	0.92	1.06	0.31
h	Índice de captura por lance OBJ	25339	0.54	0.58	0.98	0.81	0.95	0.28
i	Índice de captura por lance NOA	22421	0.54	0.55	0.98	0.76	0.90	0.30
j	Selectividad asintótica NOA	3688	0.17	0.18	0.98	0.93	1.00	1.16
k	Selectividad asintótica OBJ	14786	0.42	0.44	0.96	0.77	0.88	0.44
l	Este de -120	7960	0.36	0.36	1.01	0.93	0.97	0.59
m1	M más alta para adultos	55346	0.72	0.84	0.99	0.72	1.01	0.04
m2	No LL, M más alta para adultos	20029	0.45	0.64	1.00	0.88	1.09	0.11
m3 no M	No LL, no forma de domo	21993	0.40	0.54	0.99	0.92	1.07	0.36
m3 M	No LL, no forma de domo, M más alta para adultos	1772	0.12	0.14	0.97	1.05	1.59	0.40
n	Selectividad constante después de 78 cm	26674	0.53	0.59	0.98	0.80	1.01	0.26
o1	$L_{inf} = 70$ cm	28334	0.54	0.59	0.99	0.81	1.02	0.24
o2	Sin palangre, $L_{inf} = 70$ cm	21296	0.40	0.52	0.99	0.92	1.06	0.33
o3	Sin palangre, $L_{inf} = 70$ cm no domo	19489	0.39	0.50	0.99	0.92	1.07	0.36
o4	as h3 con F5 select const después de 70cm	6572	0.22	0.26	0.97	0.95	1.10	0.73

D. ATÚN PATUDO

Para la versión completa de este análisis, consulte los documentos [SAC-11-05](#), [SAC-11-06](#), [SAC-11-INF-F](#) y [SAC-11-08](#).

El patudo se distribuye en aguas tropicales y templadas a lo largo del Océano Pacífico. En el Océano Pacífico oriental (OPO), la mayor parte de la captura antes de 1993 fue tomada por pesquerías palangreras que dirigían su esfuerzo a patudo grande ([Figura D-1](#)). Debido a la expansión de las pesquerías cerqueras asociadas a objetos flotantes, las pesquerías cerqueras que capturan patudo pequeño han reemplazado a las pesquerías palangreras como principal tipo de pesquería de patudo del OPO desde 1996.

En 2023, se desarrollaron indicadores de condición de población (SSI, de *stock status indicators*) para el patudo usando los datos recolectados en el OPO entero ([SAC-14-04](#)). En el caso de la pesquería sobre objetos flotantes, la principal pesquería que captura patudo desde 1993, el esfuerzo de pesca ha aumentado continuamente ([Figura B-2](#)). Este aumento en el esfuerzo de pesca corresponde a una disminución de la captura por lance y una disminución de la talla promedio de la pesquería sobre objetos flotantes durante el mismo periodo ([Figura D-2](#)). En 2020 y 2021, el COVID-19 se convirtió en una pandemia mundial y tuvo impactos pronunciados en la pesquería sobre objetos flotantes en el OPO. Específicamente, el esfuerzo pesquero disminuyó drásticamente ([Figura B-2](#)) mientras que la captura y la captura por lance de patudo aumentaron notablemente en 2020 ([Figura D-2](#)). El personal descubrió recientemente que la estimación de las capturas de patudo en la pesquería sobre objetos flotantes está sobreestimada para 2020 y 2021 en 12% y 18.2%, respectivamente ([SAC-14 INF-D](#)). Esta sobreestimación fue causada por el impacto que tuvo la pandemia de COVID-19 en las operaciones del programa de muestreo en puerto para las composiciones por especie y talla. En 2020 y 2021, las capturas de patudo ajustadas al sesgo en la pesquería sobre objetos flotantes están ligeramente por encima y por debajo del nivel de *statu quo*, respectivamente. En 2022, el número de lances sobre objetos flotantes alcanzó un nivel históricamente alto, mientras que la captura estimada de patudo en la pesquería sobre objetos flotantes siguió siendo baja debido al valor históricamente bajo de la captura por lance en 2022.

En comparación, el esfuerzo de pesca asociado a la pesquería de palangre no muestra una tendencia notable a largo plazo y se ha mantenido alrededor del nivel de la mediana desde 2012 ([Figura B-2](#)). El índice de abundancia de palangre representa la tendencia de la población adulta y es uno de los insumos clave del modelo de evaluación para el patudo. Sugiere una tendencia descendente general en la abundancia de la población adulta desde 2000 ([Figura D-3](#)). No obstante, la talla promedio de la pesquería de palangre se ha mantenido relativamente estable desde 2000 ([Figura D-3](#)).

Se ejecutó un plan de trabajo para mejorar las evaluaciones de atunes tropicales y se completó una [revisión externa del patudo](#). Aunque el panel no identificó ningún sustituto particular para el modelo de caso base actual, sugirió una gama de alternativas para la consideración del personal. A fin de abarcar tantos escenarios como fuera posible, el personal desarrolló un marco pragmático de evaluación de riesgos para aplicar al patudo y al aleta amarilla, que incluyó el desarrollo de hipótesis, la implementación y ponderación de los modelos, y la construcción de tablas de riesgo basadas en el resultado combinado de todos los modelos de referencia ([SAC-11-08](#), [SAC-11-INF-F](#), [SAC-11-INF-J](#)).

Los modelos de referencia para la evaluación de referencia del patudo se construyeron sobre la base de abordar tres cuestiones de la evaluación ([SAC-11-INF-J](#)). La primera cuestión, que es una hipótesis dominante, es sobre la causa del cambio aparente de reclutamiento que coincide con la expansión de la pesquería sobre objetos flotantes, suponiendo que ese cambio es real o un artefacto de una especificación errónea del modelo. La segunda cuestión consiste de dos niveles. El primer nivel representa la causa del cambio aparente de reclutamiento al ser un artefacto de la especificación errónea del modelo. Se supone que el proceso especificado erróneamente es conocido (movimiento, mortalidad, selectividad o crecimiento) o desconocido (aparte de esos cuatro procesos). El segundo nivel representa la causa de la falta de ajuste a los datos de composición por talla de la pesquería palangrera con selectividad asintótica

supuesta. Se supone que la falta de ajuste se debe a un error de observación aleatorio o a un artefacto de una especificación errónea del modelo (en el crecimiento, la selectividad o la mortalidad natural). La tercera cuestión es sobre la inclinación de la relación población-reclutamiento de Beverton-Holt, que se supuso en los modelos de referencia que era de 0.7, 0.8, 0.9, o 1.0. En total, se mantuvieron 44 modelos de referencia en la evaluación de referencia del patudo ([SAC-11-06](#)). Estos modelos de referencia en los que se basa el asesoramiento de ordenación fueron combinados usando pesos relativos determinados por varios criterios, incluyendo el desempeño con respecto a los diagnósticos de los modelos ([SAC-11-INF-J](#)).

Los resultados de los 44 modelos de referencia para el patudo muestran que (1) el cambio de reclutamiento es aparente en algunos modelos, pero no en todos ([Figura D-4](#)); (2) todos los modelos muestran una tendencia decreciente en la biomasa reproductora, mientras que la escala de la biomasa reproductora varía dramáticamente entre los modelos ([Figura D-5](#)); (3) desde 2000, la mortalidad por pesca del patudo juvenil (edad 1-8 trimestres) ha aumentado, mientras que la del patudo adulto (edad 13-39 trimestres) ha disminuido ([Figura D-6](#)). La gráfica de impacto de la pesca muestra claramente que la pesquería sobre objetos flotantes tiene el impacto dominante sobre la biomasa reproductora actual del patudo, independientemente del modelo ([Figura D-7](#)).

En cuanto a las cantidades de ordenación ([Figura D-8](#)), los 44 modelos de referencia estiman que: 1) a principios de 2020, la biomasa reproductora del patudo oscilaba entre el 14% y el 212% del nivel de RMS dinámico; 26 modelos sugieren que estaba por debajo de ese nivel; 2) a principios de 2020, la biomasa reproductora del patudo oscilaba entre el 51% y el 532% del nivel de referencia límite; cinco modelos sugieren que estaba por debajo de ese límite; (3) durante 2017-2019, la mortalidad por pesca del patudo osciló entre el 51% y el 223% del nivel de RMS; 26 ejecuciones sugieren que estaba por encima de ese nivel; (4) durante 2017-2019, la mortalidad por pesca del patudo osciló entre el 32% y el 114% del nivel de referencia límite; tres modelos sugieren que estaba por encima de ese límite.

Los resultados de los 44 modelos de referencia se combinan en un análisis de riesgos para proporcionar asesoramiento de ordenación ([SAC-11-08](#)). Las curvas de riesgo combinado ([Figura D-9](#)) muestran que: (1) las probabilidades de que la mortalidad por pesca durante 2017-2019 (F_{act}) sea superior a los niveles de referencia objetivo y límite son del 50% y el 5%, respectivamente; (2) las probabilidades de que la biomasa reproductora a principios de 2020 (S_{act}) sea inferior a los niveles de referencia objetivo y límite son del 53% y el 6%, respectivamente. Aunque la distribución combinada sugiere que la probabilidad de que F_{act} sea superior al nivel de referencia límite es mucho más baja que el 10%, la distribución de probabilidades combinada es bimodal ([Figura D-10](#)). Este patrón bimodal se debe a las diferencias considerables en las estimaciones entre dos grupos de modelos, uno más pesimista y otro más optimista ([Figuras D-5 y D-11](#); [Tabla D-2](#)). Cabe señalar que la curva de riesgo combinado basada únicamente en los modelos pesimistas muestra que la probabilidad de que F_{act} sea más alta que el nivel de referencia límite alcanza el 10% ([Figura D-11 y Tabla D-3](#)), nivel a partir del cual se establecerán medidas de ordenación adicionales (Resolución [C-16-02](#)). La bimodalidad complica la evaluación de la condición de la población de patudo y de los resultados potenciales de las medidas de ordenación. Es necesario abordar esta cuestión en el futuro para mejorar el asesoramiento de ordenación.

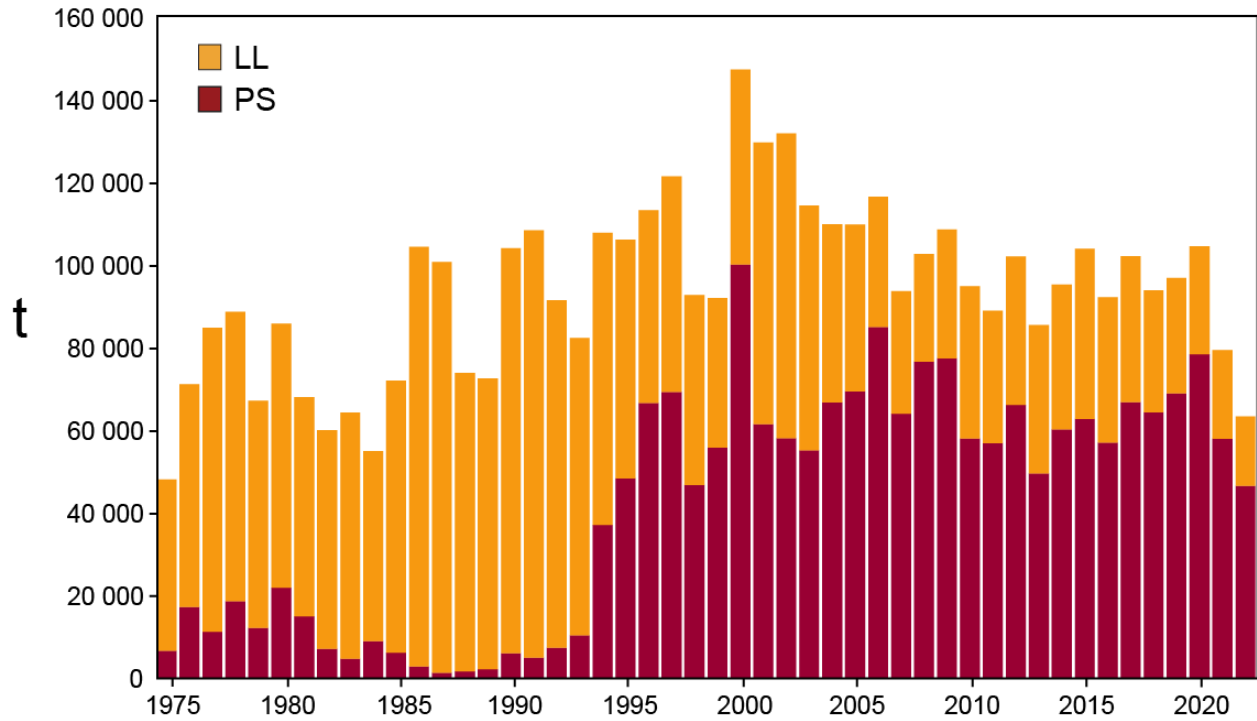


FIGURE D-1. Total catches (retained catches plus discards) by the purse-seine (PS) fisheries, and retained catches by the longline (LL) fisheries, of bigeye tuna in the eastern Pacific Ocean, 1975-2022. The purse-seine catches are adjusted to the species composition estimate obtained from sampling the catches. 2020 and 2021 data are preliminary.

FIGURA D-1. Capturas totales (capturas retenidas más descartes) de las pesquerías de cerco (PS), y capturas retenidas de las pesquerías de palangre (LL), de atún patudo en el Océano Pacífico oriental, 1975-2022. Se ajustan las capturas de cerco a la estimación de la composición por especie obtenida del muestreo de las capturas. Los datos de 2020 y 2021 son preliminares.

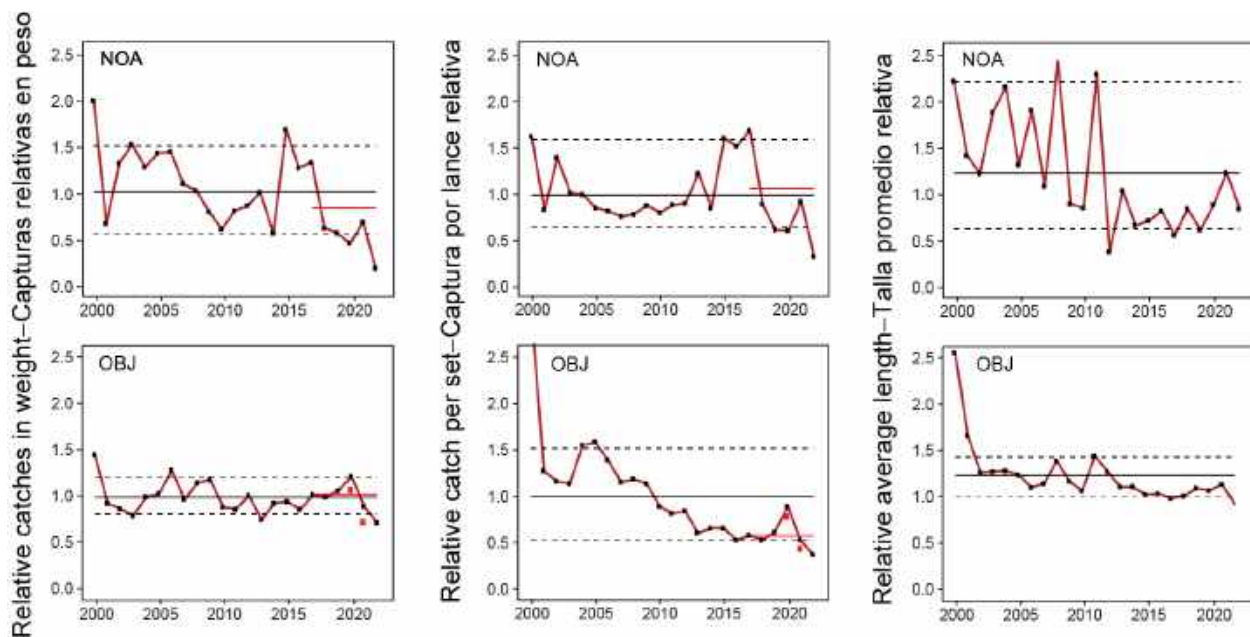


FIGURE D-2. Indicators of catch, catch per set, and average length for bigeye tuna in the EPO based on purse-seine data for 2000-2022. The dashed horizontal lines are the 10th and 90th percentiles, and the solid horizontal line is the median. The red dots are the bias-adjusted estimates for floating-object catches in the two COVID-19 years (see [SAC-13-05](#)). The red dashed lines mark the *status quo* reference levels (average conditions in 2017-2019).

FIGURA D-2. Indicadores de captura, captura por lance, y talla promedio para el atún patudo en el OPO basados en datos de cerco para 2000-2022. Las líneas horizontales discontinuas son los percentiles de 10% y 90%, y la línea horizontal sólida es la mediana. Los puntos rojos son las estimaciones ajustadas al sesgo de las capturas de objetos flotantes en los dos años de COVID-19 (ver [SAC-13-05](#)). Las líneas rojas discontinuas marcan los niveles de referencia de *statu quo* (condiciones promedio en 2017-2019).

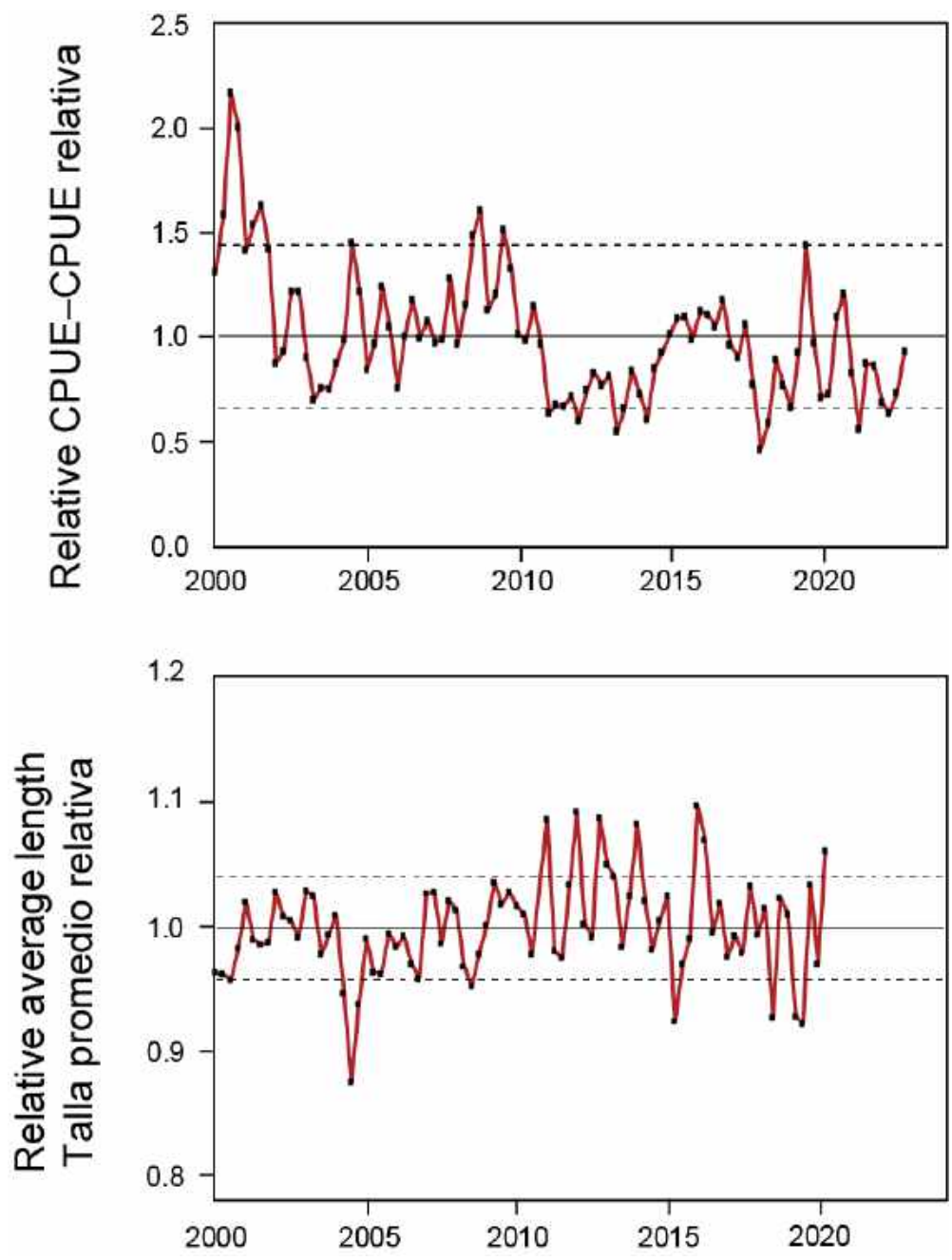


FIGURE D-3. Index of abundance and average length of bigeye in the EPO, based on Japanese longline data for 1975-2022. The dashed horizontal lines are the 10th and 90th percentiles, and the solid horizontal line is the median.

FIGURA D-3. Índice de abundancia y talla promedio del patudo en el OPO, basados en datos de palangre japoneses para 1975-2022. Las líneas horizontales de trazos representan los percentiles de 10 y 90%, y la línea horizontal sólida la mediana.

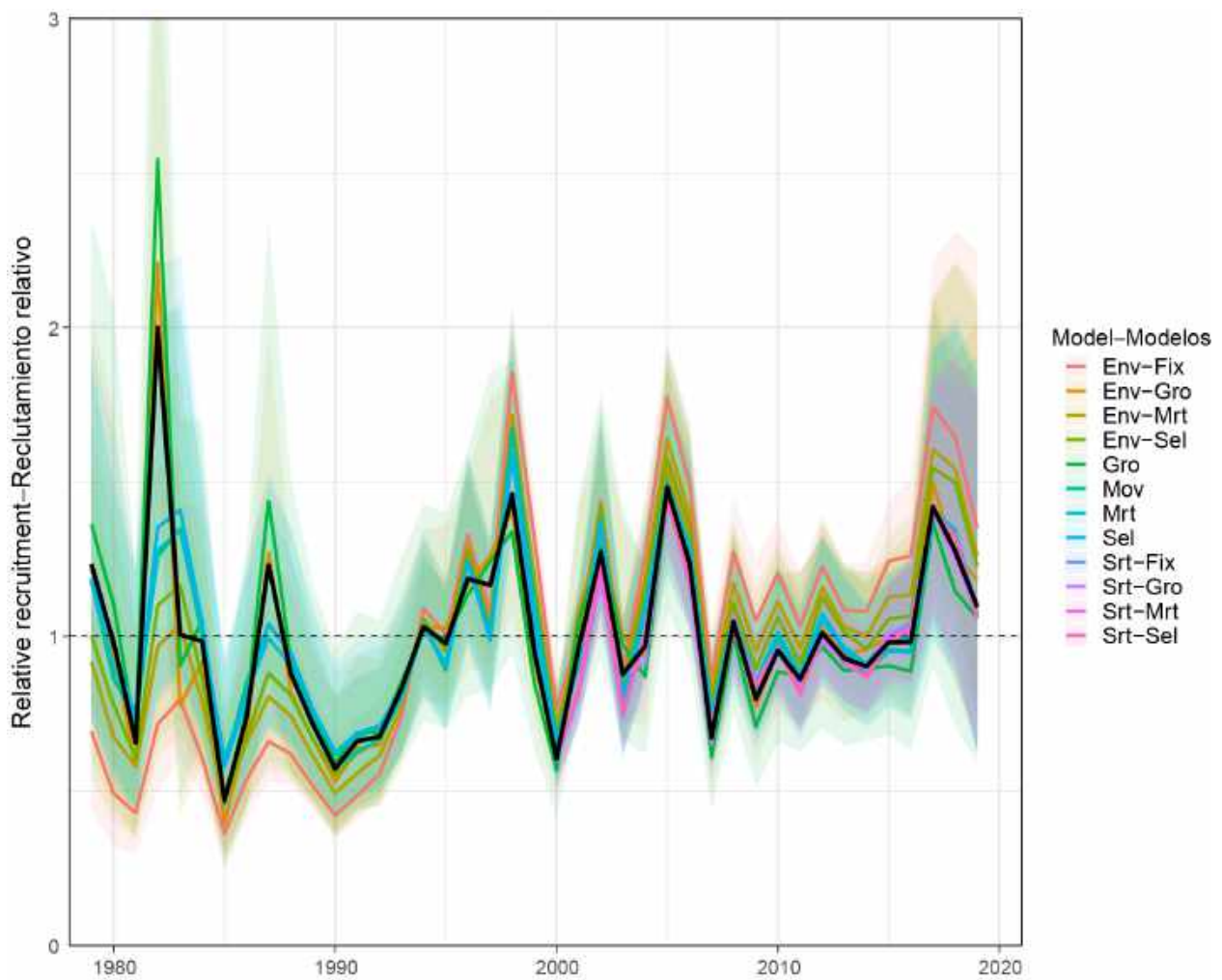


FIGURE D-4. Comparison of annual relative recruitment estimates for bigeye tuna in the eastern Pacific Ocean from the twelve reference models (only the estimates that correspond to steepness = 1.0 are shown). The shaded areas represent the 95% confidence intervals and the black line represents the combined estimates across the twelve models.

FIGURA D-4. Comparación de las estimaciones de reclutamiento relativo anual de atún patudo en el Océano Pacífico oriental de los doce modelos de referencia (se muestran solamente las estimaciones que corresponden a la inclinación = 1.0). Las áreas sombreadas representan los intervalos de confianza de 95% y la línea negra representa las estimaciones combinadas de los doce modelos.

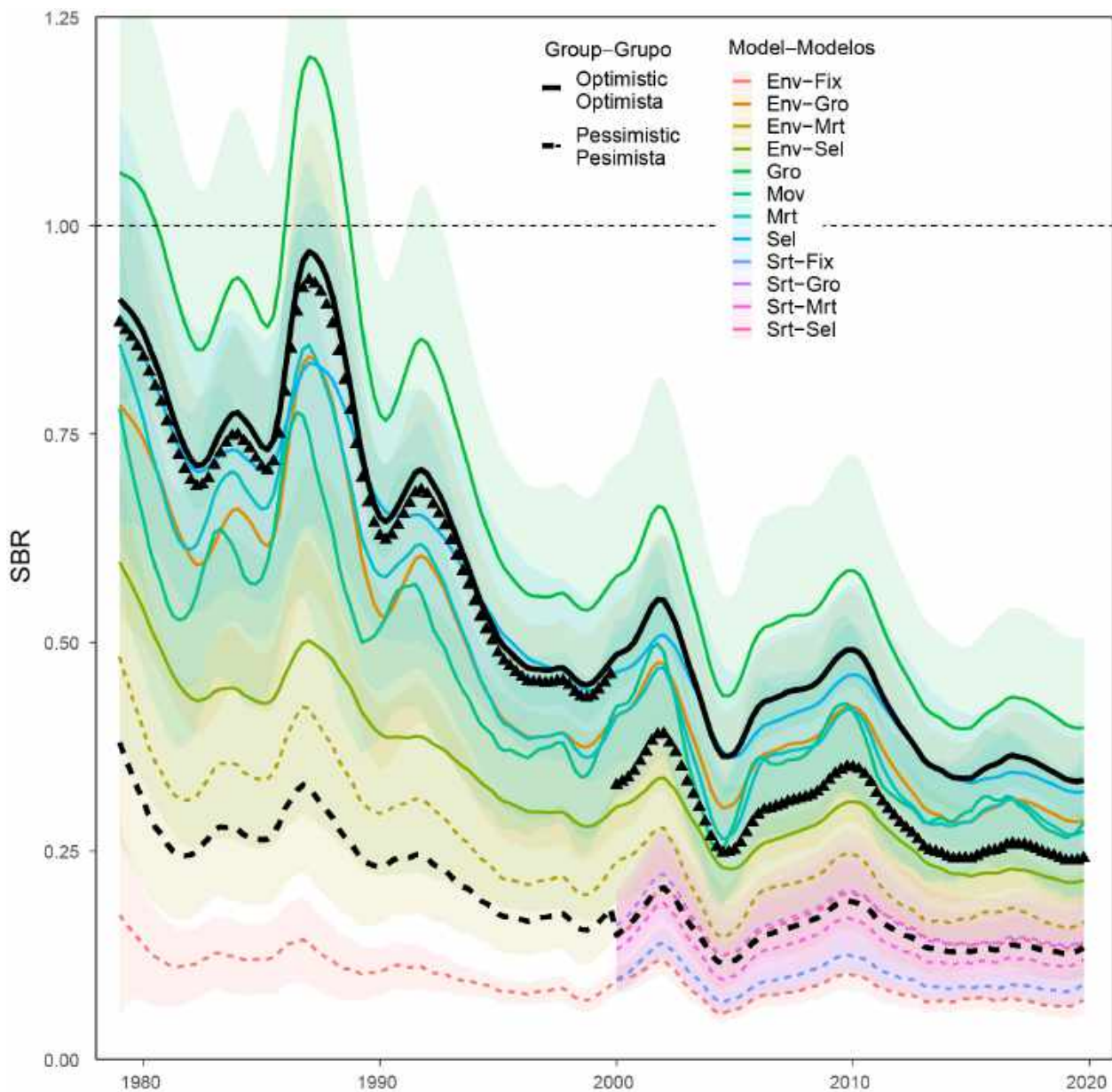


FIGURE D-5. Comparison of spawning biomass estimates for bigeye tuna in the eastern Pacific Ocean from the twelve reference models (only the estimates that correspond to steepness = 1.0 are shown). The shaded areas represent the 95% confidence intervals and the two black lines represent the combined estimates across the two groups of reference models. Black triangles mark the combined estimates across all reference models.

FIGURA D-5. Comparación de las estimaciones de biomasa reproductora del atún patudo en el Océano Pacífico oriental de los doce modelos de referencia (se muestran solamente las estimaciones que corresponden a la inclinación = 1.0). Las áreas sombreadas representan los intervalos de confianza de 95% y las dos líneas negras representan las estimaciones combinadas de los dos grupos de modelos de referencia. Los triángulos negros marcan las estimaciones combinadas de todos los modelos de referencia.

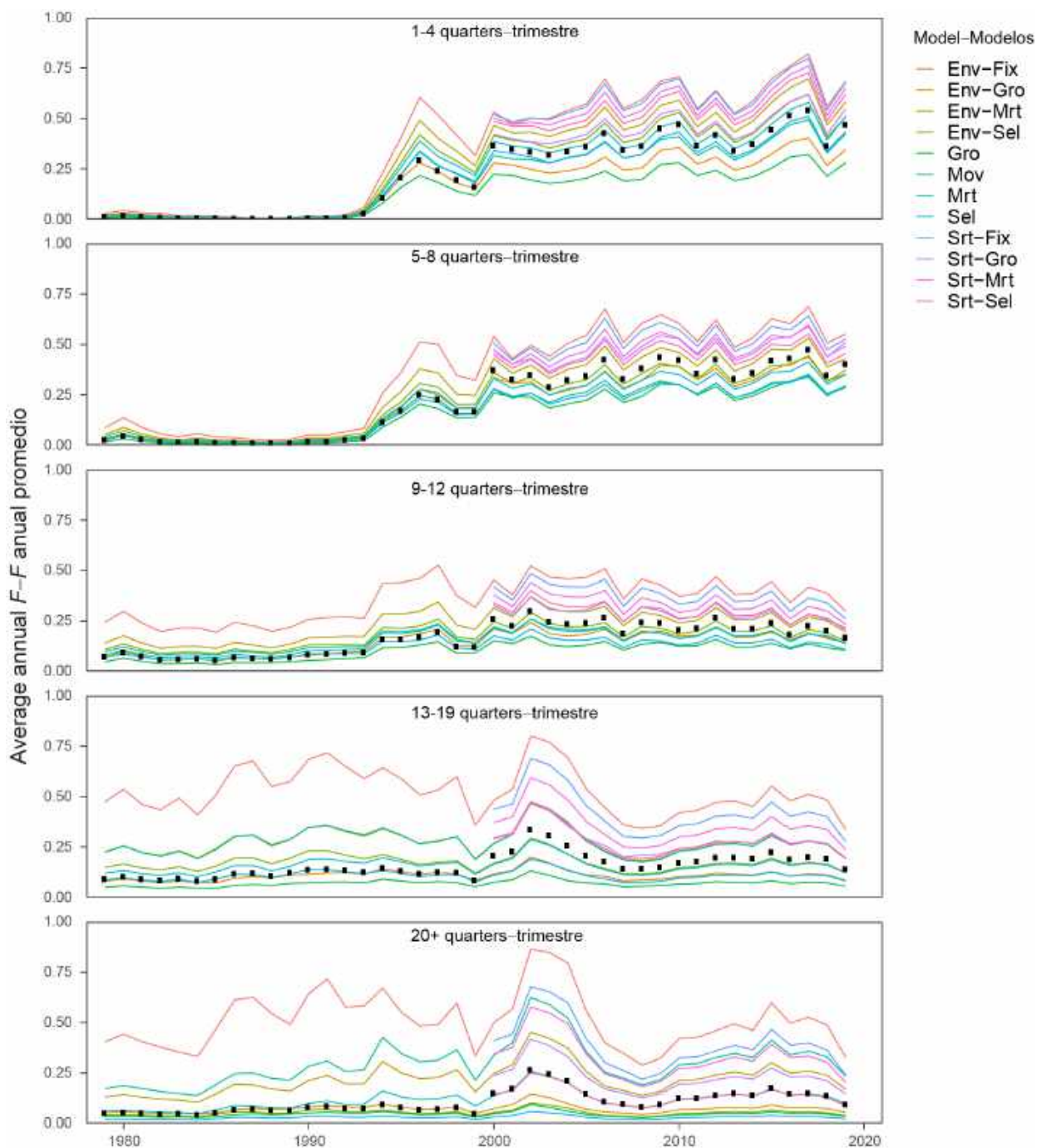


FIGURE D-6. Comparison of average annual fishing mortality, by age groups, of bigeye tuna in the eastern Pacific Ocean (only the estimates that correspond to steepness = 1.0 are shown). The black dots show the combined values across all models with a steepness of 1.0.

FIGURA D-6. Comparación de la mortalidad por pesca anual promedio, por grupos de edad, del atún pa-
tudo en el Océano Pacífico oriental (se muestran solamente las estimaciones que corresponden a la incli-
nación = 1.0). Los puntos negros muestran los valores combinados de todos los modelos con una incli-
nación de 1.0.

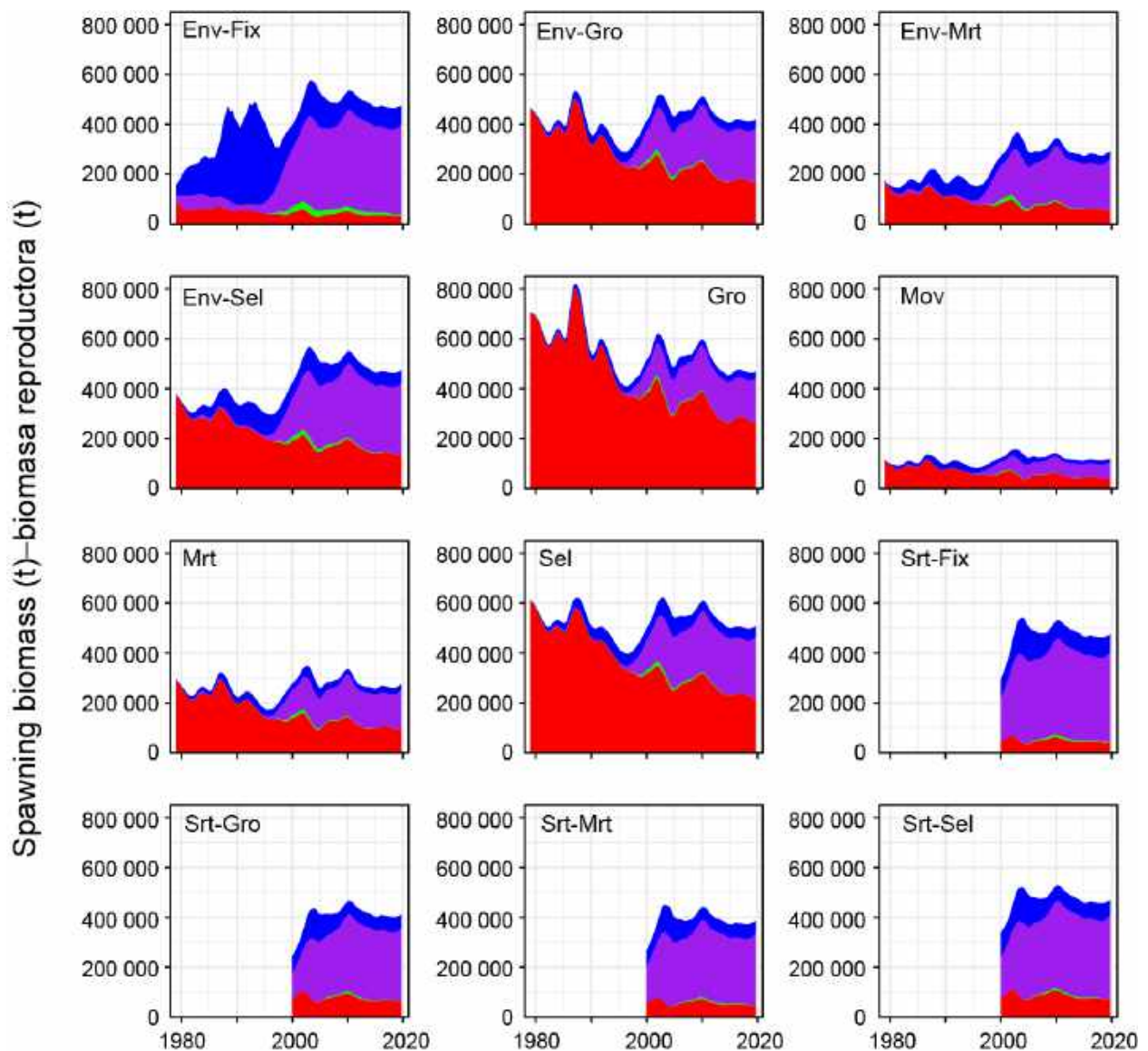


FIGURE D-7. Comparison of spawning biomass trajectory of a simulated population of bigeye tuna in the eastern Pacific Ocean that was never exploited (top line) and that predicted by the stock assessment model (bottom line). The shaded green, purple, and blue areas between the two lines show the portions of the impact attributed to the discard fishery, purse-seine fisheries, and longline fisheries, respectively. Only the simulation trajectories that correspond to steepness = 1.0 are shown.

FIGURA D-7. Comparación de la trayectoria de la biomasa reproductora de una población simulada de atún patudo en el Océano Pacífico oriental que nunca fue explotada (línea superior) y la trayectoria predicha por el modelo de evaluación (línea inferior). Las áreas sombreadas en verde, morado y azul entre las dos líneas muestran las porciones del impacto atribuido a la pesquería de descarte, las pesquerías cerqueras, y las pesquerías palangreras, respectivamente. Se muestran solamente las trayectorias de simulación que corresponden a la inclinación = 1.0.

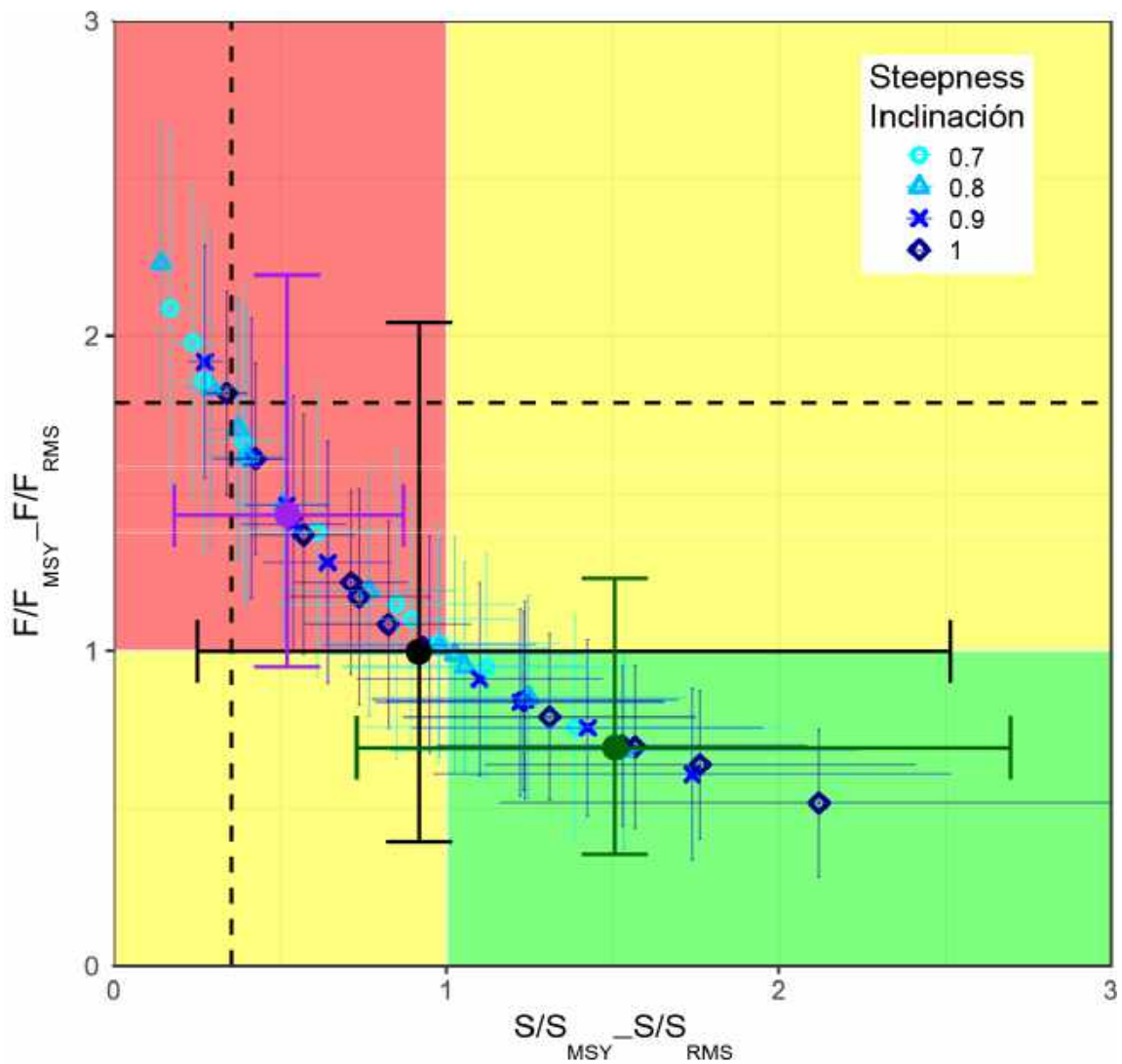


FIGURE D-8. Kobe plot of the most recent estimates of spawning biomass (S) and fishing mortality (F) relative to their MSY reference points ($S_{MSY,d}$ and F_{MSY}) estimated by the 44 converged reference model runs (see Table 4). Each dot is based on the average F over the most recent three years. The dashed lines represent the limit reference points averaged for the 44 converged reference model runs. The error bars represent the 95% confidence interval of the estimates. The black, purple, and green dots are the combined estimates across all models, all pessimistic models, and all optimistic models, respectively.

FIGURA D-8. Gráfica de Kobe de las estimaciones más recientes de biomasa reproductora (S) y mortalidad por pesca (F) con respecto a sus puntos de referencia de RMS ($S_{RMS,d}$ y F_{RMS}) estimados por las 44 ejecuciones convergentes de los modelos de referencia (ver Tabla 4). Cada punto se basa en la F promedio de los últimos tres años. Las barras de error representan el intervalo de confianza de 95% de las estimaciones. Los puntos negros, morados y verdes son las estimaciones combinadas de todos los modelos, todos los modelos pesimistas, y todos los modelos optimistas, respectivamente.

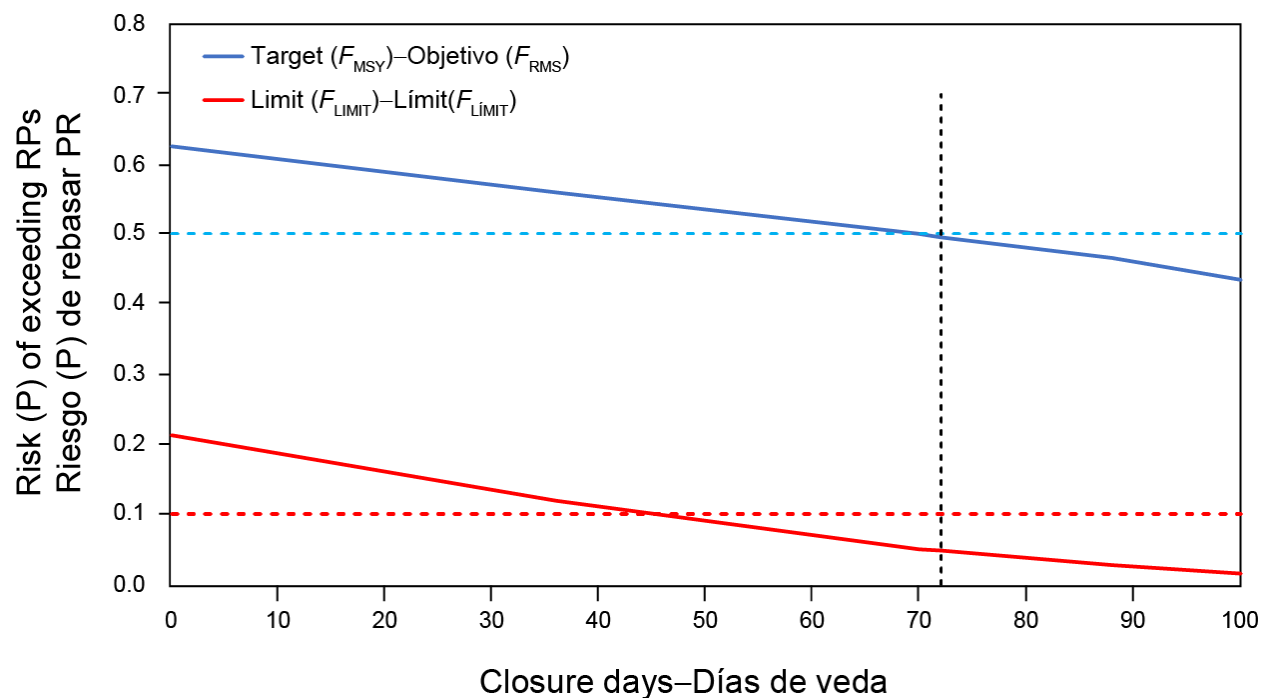


FIGURE D-9. Risk curves showing the probability of exceeding the target (blue) and limit (red) reference points for different durations of the temporal closure.
FIGURA D-9. Curvas de riesgo que señalan la probabilidad de rebasar los puntos de referencia objetivo (azul) y límite (rojo) para diferentes duraciones de la veda temporal.

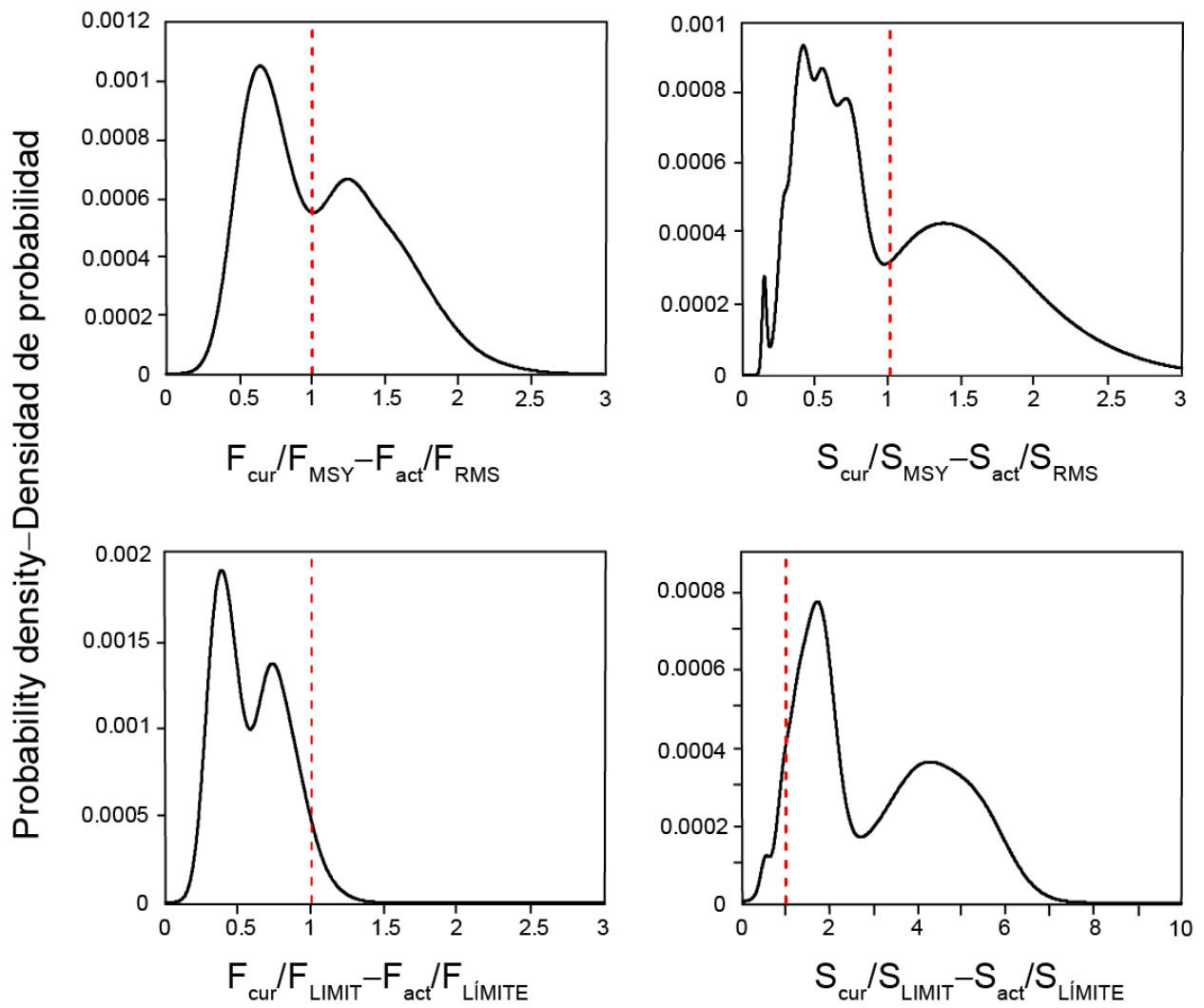


FIGURE D-10. Combined bigeye probability density function for F_{cur}/F_{MSY} , F_{cur}/F_{LIMIT} , S_{cur}/S_{MSY} , and S_{cur}/S_{LIMIT} .
FIGURA D-10. Función de densidad de probabilidad combinada para F_{act}/F_{RMS} , $F_{act}/F_{LÍMITE}$, S_{act}/S_{RMS} , y $S_{act}/S_{LÍMITE}$ de patudo.

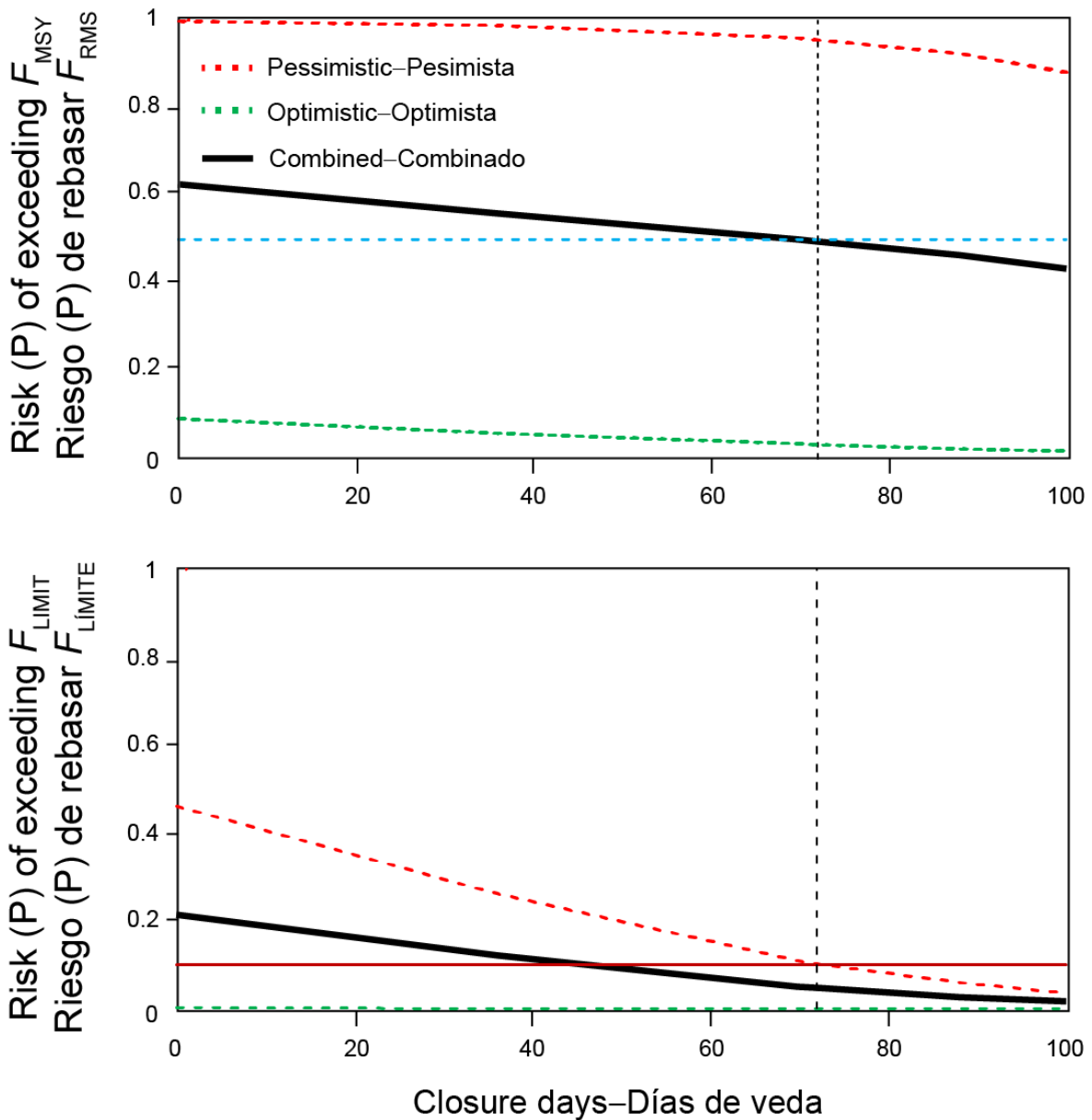


FIGURE D-11. Risk curves showing the probability of exceeding the target (top) and limit (bottom) reference points for bigeye with different durations of the temporal closure, combined by pessimistic and optimistic models resulting from the bimodal combined distribution.

FIGURA D-11. Curvas de riesgo que señalan la probabilidad de rebasar los puntos de referencia objetivo (arriba) y límite (abajo) con diferentes duraciones de la veda temporal, combinados por modelos pesimistas y optimistas que resultan de la distribución combinada bimodal.

TABLA D-1. Configuraciones de modelo (hipótesis) usadas para el atún patudo en el OPO.

Modelo	Descripción
BASE	No usado en el análisis de riesgos, pero forma la base de todos los otros modelos. Similar al modelo de caso base usado en evaluaciones previas excepto que usa el método de Francis para ponderar los datos de composición. Selectividad asintótica de una pesquería palangrera (F2). Crecimiento y mortalidad natural (M) fijos.
A. Medio ambiente	
Env	R shift es real, causado por un cambio en el medio ambiente. Selectividad asintótica de una pesquería palangrera (F2). Similar al modelo de caso base usado en evaluaciones previas excepto que (1) la ponderación de los datos de composición usa el método de Francis y (2) estima un parámetro que representa el cambio en el reclutamiento.
Env-Fix	Medio ambiente, fijo (crecimiento y M no estimados, selectividad asintótica)
Env-Gro	Medio ambiente, crecimiento estimado
Env-Sel	Medio ambiente, selectividad en forma de domo
Env-Mrt	Medio ambiente, M adulta estimada
B. Corto plazo	
Srt	Evaluada con datos de 2000-2019 solamente (1975-2019 en otros modelos). R shift se debe a un error desconocido en el modelo antes de 2000 imposible de identificar/resolver con datos disponibles; por tanto, no considerado por los otros modelos.
Srt-Fix	Corto plazo, fijo (crecimiento y M no estimados, selectividad asintótica)
Srt-Gro	Corto plazo, crecimiento estimado
Srt-Sel	Corto plazo, selectividad en forma de domo
Srt-Mrt	Corto plazo, M adulta estimada
C. Movimiento preadulto	
Mov	Aproxima movimientos de peces a y desde el Pacífico central, asignando una M que comienza entre las edades seleccionadas por la pesquería cerquera sobre objetos flotantes y la pesquería palangrera. M más alta/más baja indica peces saliendo del/entrando al OPO, respectivamente. Este cambio del cronograma de mortalidad podría capturar diferencias reales en M por edad impulsadas por una variedad de procesos.
D. Crecimiento estimado	
Gro	Estimar el crecimiento: (1) permite una biomasa mayor y reduce por lo tanto R shift (los datos de composición por talla de la pesquería con selectividad asintótica contienen pocos pescados alrededor de la talla asintótica, por lo que el modelo estima una F alta, y S baja correspondiente, para reducir el número de peces grandes y así ajustarse a esos datos); (2) produce una talla asintótica baja (reduce el número predicho de peces grandes, y se ajusta a los datos de composición por tallas sin incrementar F , permitiendo una S mayor). Todos los cuatro parámetros de la curva de crecimiento de Richards y los dos parámetros que representan la variación de la talla por edad son estimados. El modelo es ajustado a los datos de otolitos de edad condicionada en talla. Puede también tratar el malajuste a los datos de composición por talla.
E. Selectividad en forma de domo	
Sel	Una selectividad en forma de domo para la pesquería palangrera F2: (1) permite una biomasa mayor y reduce por lo tanto R shift (los datos de composición por talla de la pesquería con selectividad asintótica contienen pocos ejemplares alrededor de la talla asintótica, por lo que el modelo estima una F alta, y S baja correspondiente, para reducir el número de peces grandes y así ajustarse a esos datos); (2) reduce el número de pescados grandes capturados, permitiendo al modelo ajustarse a los datos de composición por talla observados, pero produce también una 'biomasa críptica' que aumenta la estimación de la biomasa. Se usa una curva de selectividad normal doble. Puede también tratar el malajuste a los datos de composición por talla.

TABLA D-1. Configuraciones de modelo (hipótesis) usadas para el atún patudo en el OPO.

Modelo	Descripción
F. Mortalidad adulta	
Mrt	Estimar la mortalidad natural (M) adulta permite una mayor biomasa y reduce por lo tanto R shift. Un valor incrementado de M reduce la F necesaria para el ajuste a los datos de composición por talla y aumenta por lo tanto la biomasa para un nivel dado de captura. Puede también tratar el malajuste a los datos de composición por talla.

TABLA D-2. Cantidades de ordenación para el atún patudo en el OPO. Ver descripción de códigos en Tabla D-1. $E(x)$ es el valor esperado. $P=0.5$: mediana de las distribuciones de $P(S_{act}/S_{RMS})$ y $P(F_{act}/F_{RMS})$.

	Env-Fix	Env-Gro	Env-Sel	Env-Mrt	Srt-Fix	Srt-Gro	Srt-Sel	Srt-Mrt	Mov	Gro	Sel	Mrt	Combi-nado	
$P(\text{Modelo})$	0.01	0.13	0.05	0.02	0.04	0.22	0.11	0.07	0.01	0.24	0.09	0.02	$E(x)$ $P=0.5$	
Mortalidad por pesca (F)														
F_{act}/F_{RMS}	1.82	0.82	0.99	1.25	1.84	1.42	1.36	1.57	0.81	0.59	0.73	0.89	1.07	1.00
$P(F_{act}>F_{RMS})$	1.00	0.18	0.44	0.84	1.00	0.97	0.92	0.99	0.15	0.01	0.07	0.25	0.50	
$F_{act}/F_{LÍMITE}$	0.96	0.47	0.58	0.69	0.97	0.78	0.77	0.84	0.47	0.34	0.43	0.50	0.60	
$P(F_{act}>F_{LÍMITE})$	0.33	0.00	0.00	0.01	0.38	0.07	0.06	0.14	0.00	0.00	0.00	0.00	0.05	
Biomasa reproductora (S)														
$S_{act}/S_{RMS,d}$	0.34	1.32	1.02	0.69	0.32	0.56	0.59	0.45	1.31	1.85	1.53	1.16	1.09	0.92
$P(S_{act}<S_{RMS})$	1.00	0.19	0.49	0.96	1.00	1.00	1.00	1.00	0.16	0.03	0.07	0.27	0.53	
$S_{act}/S_{LÍMITE}$	0.97	3.61	2.67	2.04	0.97	1.65	1.65	1.38	3.84	5.24	4.21	3.63	3.07	
$P(S_{act}<S_{LÍMITE})$	0.59	0.00	0.00	0.02	0.50	0.06	0.09	0.19	0.00	0.00	0.00	0.00	0.06	

TABLA D-3. Tabla de decisión para el atún patudo en el OPO. Ver explicación de códigos en Tabla D-1.

Días de veda	Env-Fix	Env-Gro	Env-Sel	Env-Mrt	Srt-Fix	Srt-Gro	Srt-Sel	Srt-Mrt	Mov	Gro	Sel	Mrt	Comb	
$P(F>F_{RMS})$	Probabilidad												≤50%	>50%
0	1.00	0.48	0.78	0.98	1.00	1.00	0.99	1.00	0.47	0.09	0.31	0.65	0.62	
36	1.00	0.32	0.63	0.93	1.00	0.99	0.97	1.00	0.30	0.03	0.17	0.45	0.56	
70	1.00	0.19	0.44	0.84	1.00	0.97	0.92	0.99	0.15	0.01	0.07	0.25	0.50	
72	1.00	0.18	0.43	0.83	1.00	0.96	0.91	0.98	0.14	0.01	0.06	0.24	0.49	
88	1.00	0.13	0.35	0.75	1.00	0.93	0.87	0.97	0.09	0.00	0.04	0.17	0.46	
100	1.00	0.09	0.28	0.67	1.00	0.88	0.81	0.95	0.06	0.00	0.02	0.11	0.43	
	Probabilidad												≤10%	>10%
0	0.97	0.00	0.04	0.17	0.89	0.39	0.37	0.57	0.00	0.00	0.00	0.00	0.21	
36	0.79	0.00	0.01	0.06	0.67	0.19	0.18	0.33	0.00	0.00	0.00	0.00	0.12	
70	0.33	0.00	0.00	0.01	0.38	0.07	0.06	0.14	0.00	0.00	0.00	0.00	0.05	
72	0.30	0.00	0.00	0.01	0.36	0.06	0.06	0.13	0.00	0.00	0.00	0.00	0.05	
88	0.11	0.00	0.00	0.00	0.25	0.03	0.03	0.08	0.00	0.00	0.00	0.00	0.03	
100	0.04	0.00	0.00	0.00	0.17	0.02	0.02	0.04	0.00	0.00	0.00	0.00	0.02	

E. ATÚN ALETA AZUL DEL PACÍFICO

Los estudios de marcado han demostrado que ocurre intercambio de aleta azul del Pacífico entre el Océano Pacífico oriental (OPO) y occidental. Se han capturado aletas azules larvales, poslarvales, y juveniles tempranos en el Pacífico occidental, pero no en el OPO, por lo que es probable que exista una sola población de aleta azul en el Océano Pacífico (o posiblemente dos poblaciones, una que desova cerca de Taiwán y Filipinas y otra que desova en el Mar de Japón).

La mayor parte de las capturas comerciales de aleta azul en el OPO es realizada por buques cerqueros. Casi todas las capturas cerqueras son realizadas al oeste de Baja California y California, a menos de unas 100 millas náuticas de la costa, entre aproximadamente 23°N y 35°N. Se estima que el 90% de la captura mide entre 60 y 100 cm de talla, lo cual representa principalmente peces de entre 1 y 3 años de edad. En 1999 se establecieron instalaciones de acuicultura del aleta azul en México, y algunos cerqueros mexicanos comenzaron a dirigir sus esfuerzos hacia el aleta azul durante ese año. En años recientes, la mayoría de la captura ha sido transportada a jaulas, donde se mantienen los peces para engordarlos y luego venderlos al mercado de sashimi. Se capturan cantidades menores de aleta azul con artes recreacionales, redes agalleras, y palangre. Se han capturado aletas azules en el OPO durante todos los meses del año, pero la mayor parte de la captura es lograda entre mayo y octubre.

El aleta azul es explotado con varias artes en el Pacífico occidental desde Taiwán hasta Hokkaido, Japón. La pesquería curricana japonesa captura peces de edad 0, de unos 15 a 30 cm de talla, durante julio-octubre al sur de la isla Shikoku y al sur de la Prefectura de Shizuoka. Durante noviembre-abril, se capturan peces de edad 0, de entre unos 35 y 60 cm de talla, en pesquerías curricanas al sur y oeste de la isla Kyushu. Peces de edad 1 y mayores son capturados con red de cerco, principalmente durante mayo-septiembre, entre aproximadamente 30°-42°N y 140°-152°E. Aletas azules de varios tamaños son también capturados con almadrabas, redes de trasmalle, y otras artes, especialmente en el Mar de Japón. Adicionalmente, son capturadas pequeñas cantidades de aleta azul cerca de la costa sudeste de Japón con palangre. La pesquería palangrera a pequeña escala de Taipéi Chino, que se ha expandido desde 1996, captura aleta azul de más de 180 cm de talla desde fines de abril hasta junio, cuando se concentran para desovar en aguas al este del norte de Filipinas y Taiwán.

Las pesquerías palangreras de alta mar están dirigidas principalmente hacia los atunes tropicales, albacora, y peces picudos, pero capturan pequeñas cantidades de aleta azul del Pacífico. Son capturadas también pequeñas cantidades de aleta azul por buques cañeros japoneses en alta mar.

Los estudios de marcado, usando marcas convencionales y archivadoras, han descubierto una gran cantidad de información acerca del ciclo vital del aleta azul. Algunos peces aparentemente permanecen su vida entera en el Pacífico occidental, mientras que otros migran al OPO. Las migraciones comienzan principalmente durante el primer y segundo año de vida. Los migrantes de primer o segundo año están expuestos a varias pesquerías antes de comenzar su viaje al OPO. Luego, después de cruzar el océano, están expuestos a las pesquerías comerciales y recreacionales frente a California y Baja California. A la larga, los supervivientes regresan al Pacífico occidental.

Se encuentran aletas azules de más de unos 50 cm de talla con mayor frecuencia en aguas con una temperatura superficial del mar (TSM) de entre 17° y 23°C. En el Pacífico occidental se encuentran peces de entre 15 y 31 cm de talla en aguas con TSM entre 24 y 29 °C. La supervivencia de los aletas azules larvales y juveniles tempranos es sin duda fuertemente afectada por el medio ambiente. Las condiciones en el Pacífico occidental probablemente afectan el reclutamiento, y por lo tanto las porciones de los peces juveniles en esa zona que migran al OPO, así como cuándo ocurren estas migraciones. Similarmente, las condiciones en el OPO afectan probablemente cuándo los peces juveniles regresan al Pacífico occidental.

Las capturas totales de aleta azul han fluctuado considerablemente durante los últimos 50 años ([Figura E-1](#)). Los años consecutivos de capturas superiores al promedio (mediados de los años 1950 a mediados de los 1960)

e inferiores al promedio (principios de los 1980 a principios de los 1990) podrían ser debidos a años consecutivos de reclutamientos superiores al promedio e inferiores al promedio. El impacto estimado de la pesca sobre la población de aleta azul durante el periodo entero del modelo (1952-2018) es sustancial ([Figura E-2](#)). Las pesquerías del Pacífico occidental han tenido un impacto mayor que las pesquerías del OPO, y su impacto creció a partir de los años 1980, estabilizándose solamente en los años 2000.

El Grupo de Trabajo sobre el aleta azul del Pacífico del Comité Científico Internacional para los Atunes y Especies Afines en el Océano Pacífico Norte (ISC) realizó una evaluación de referencia de la población en 2022. La evaluación fue realizada con *Stock Synthesis 3*, un modelo estadístico integrado de evaluación de poblaciones estructurado por edad. Los resultados del modelo de caso base indican que: (1) la biomasa de la población reproductora (*spawning stock biomass*; SSB) fluctuó durante todo el periodo de evaluación (años de pesca 1952-2020); (2) la SSB disminuyó constantemente desde 1996 hasta 2010; (3) la SSB ha aumentado desde 2011, lo que implica que la SSB de 2020 vuelva al nivel de 1996; (4) la biomasa total después de 2011 siguió aumentando con un incremento de peces jóvenes, creando el segundo pico de biomasa más alto de la historia evaluada en 2020; (5) la mortalidad por pesca ($F\%SPR$), que disminuyó a un nivel que producía alrededor del 1% de SPR en 2004-2009, volvió a un nivel que producía el 30.7% de SPR en 2018-2020; y (6) la SSB en 2020 fue de 10.2% de $SSB_{F=0}$, un aumento con respecto al 5.6% de $SSB_{F=0}$ estimado para 2018 en la evaluación de 2020 (2018 fue el último año de la evaluación de 2020). A partir de los diagnósticos del modelo, la tendencia de la biomasa estimada para los últimos 40 años se considera robusta, aunque la SSB antes de la década de 1980 es incierta debido a las limitaciones de los datos. La SSB en 2020 se estimó en unas 65,464 t, lo que supone un aumento de 30,000 t con respecto a 2018 según el modelo de caso base. Se observó un aumento de la biomasa de peces jóvenes (0-2 años) en 2016-2020, probablemente como resultado de la baja mortalidad por pesca de esos peces, y se espera que acelere aún más la recuperación de la SSB en el futuro. Las estimaciones del reclutamiento histórico han fluctuado desde 1952, sin una tendencia aparente. Se observa una disminución sustancial de la F estimada en los peces de edades 0-2 en 2018-2020 con respecto a los años anteriores. Cabe señalar que han estado en vigor medidas de ordenación más estrictas en la WCPFC y la CIAT desde 2015.

La estimación puntual de la SSB en 2020 fue 10.2% de la SSB en ausencia de pesca ($10.2\%SSB_{F=0}$), y la mortalidad por pesca (F) reciente (2018-2020) corresponde a $F30.7\%SPR$. Ya que la estrategia de extracción incluye límites de captura, se espera que la mortalidad por pesca disminuya; es decir, $Fx\%SPR$ aumentará a medida que aumenta la biomasa. No se han adoptado puntos de referencia límite u objetivo basados en biomasa para evaluar si el aleta azul del Pacífico está sobrepescado. No obstante, la población está sobrepescada con respecto a los puntos de referencia objetivo comunes, pero no rebasa el punto de referencia límite de la CIAT usado para los atunes tropicales. Además, no se han adoptado puntos de referencia límite u objetivo basados en intensidad de pesca para evaluar si está ocurriendo sobrepesca del atún aleta azul del Pacífico.

La resolución [C-18-02](#) establece que la Comisión reconoce que el objetivo de ordenación de la CIAT es mantener o restablecer las poblaciones de peces en niveles capaces de producir RMS, e implementará un plan provisional de recuperación mediante la adopción de 1) una (primera) meta inicial de recuperación de $SSB_{med,1952-2014}$ (la estimación puntual de la mediana de 1952-2014) por lograr antes de 2024 con una probabilidad de al menos 60% y 2) una segunda meta de recuperación de $20\%SSB_{F=0}$ por lograr en los 10 años siguientes al logro del objetivo de recuperación inicial o en 2034, lo que ocurra antes, con una probabilidad de al menos el 60%. La CIAT ha adoptado resoluciones para limitar la captura de atún aleta azul en el OPO (por ejemplo, [C-16-08](#), [C-18-01](#), [C-20-02](#) y [C-21-05](#)). La resolución [C-21-05](#) establece que, durante 2021-2022, en el Área de la Convención de la CIAT, las capturas comerciales totales combinadas de atún aleta azul del Pacífico por todos los CPC no superarán el límite de captura de 7,295 toneladas. Durante 2023-2024, en el Área de la Convención de la CIAT, las capturas comerciales totales combinadas de atún aleta azul del Pacífico por todos los CPC no superarán el límite de captura de 7,990 toneladas. La resolución C-18-02 también requiere que, a más tardar en la reunión de la CIAT en 2020, tomando en

cuenta los resultados del grupo de trabajo conjunto CN WCPFC-CIAT, la Comisión considerará y desarrollará candidatos de puntos de referencia y reglas de control de extracción. Estos candidatos de puntos de referencia y reglas de control de extracción se remitirán al del grupo de trabajo conjunto CN WCPFC-CIAT y al ISC para su consideración y posible inclusión en una evaluación de la estrategia de ordenación que completará el ISC. Esta tarea aún no se ha completado.

La SSB de 2020 estuvo por encima del objetivo inicial de restablecimiento, pero sigue estando por debajo del segundo objetivo de restablecimiento adoptado por la WCPFC y la CIAT. Sin embargo, la recuperación de la población se está produciendo a un ritmo más rápido de lo previsto por los gestores cuando se implementó la estrategia de extracción para fomentar la recuperación en 2014. Se realizaron proyecciones basadas en el modelo de caso base bajo varios escenarios de captura y calendarios según lo solicitado por las OROP, incluyendo la estrategia de extracción propuesta en reunión del grupo de trabajo conjunto CN WCPFC-CIAT (GTC). En todos los escenarios examinados se alcanza el segundo objetivo de restablecimiento y el riesgo de que la SSB caiga por debajo de la SSB histórica más baja al menos una vez en 10 años es insignificante. Algunos escenarios tenían los coeficientes de impacto futuro entre el WPO y el OPO especificados por las OROP y se ajustaron para alcanzar el segundo objetivo de restablecimiento con una probabilidad de 60%, y dan lugar a mayores incrementos de las capturas.

El Presidente del PBFWG del ISC solicitó que el GTC proporcionara orientación técnica sobre la EEO del PBF, de modo que el PBFWG pueda proporcionar los resultados finales al GTC en 2025 para la selección de un procedimiento de ordenación para el PBF. El ISC solicitó al GTC que (i) perfeccionara los objetivos operacionales de ordenación para que pudieran evaluarse en la EEO; (ii) redujera los procedimientos de ordenación candidatos a un nivel realista (preferiblemente menos de 10); y (iii) acordara un ciclo de ordenación de tres años para dar tiempo a mejorar la investigación científica para el PBF. En su 8ª reunión, celebrada en julio de 2023, el GTC revisó y perfeccionó una serie de objetivos de ordenación e indicadores de desempeño candidatos en las categorías de seguridad, condición, estabilidad y rendimiento, y también hizo lo mismo con una serie de puntos de referencia y reglas de control de extracción (RCE) candidatos para el atún aleta azul del Pacífico. El GTC también aprobó una estrategia provisional de extracción que se implementará una vez que se alcance el segundo objetivo de recuperación y hasta que se adopte una estrategia de extracción a largo plazo basada en el proceso de EEO. Por último, el GTC también actualizó su "Plan de trabajo para el desarrollo de una estrategia de extracción a largo plazo para el atún aleta azul del Pacífico (incluida la EEO)".

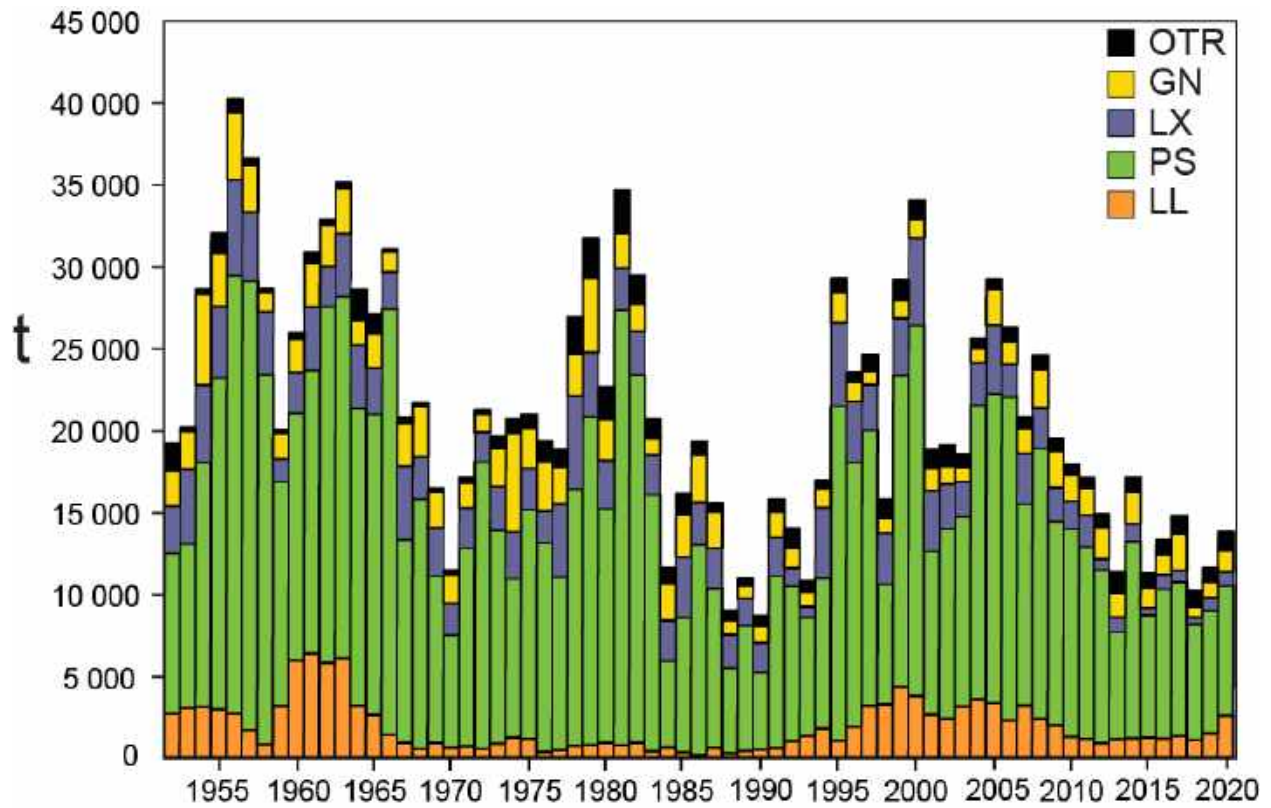


FIGURE E-1. Retained catches of Pacific bluefin tuna, by gear, 1952-2020. GN: gillnet; LL: longline; LX: hook and line; OTR: other; PS: purse seine.

FIGURA E-1. Capturas retenidas de atún aleta azul del Pacífico, por arte, 1952-2020. GN: red agallera; LL: palangre; LX: sedal y anzuelo; OTR: otras; PS: red de cerco.

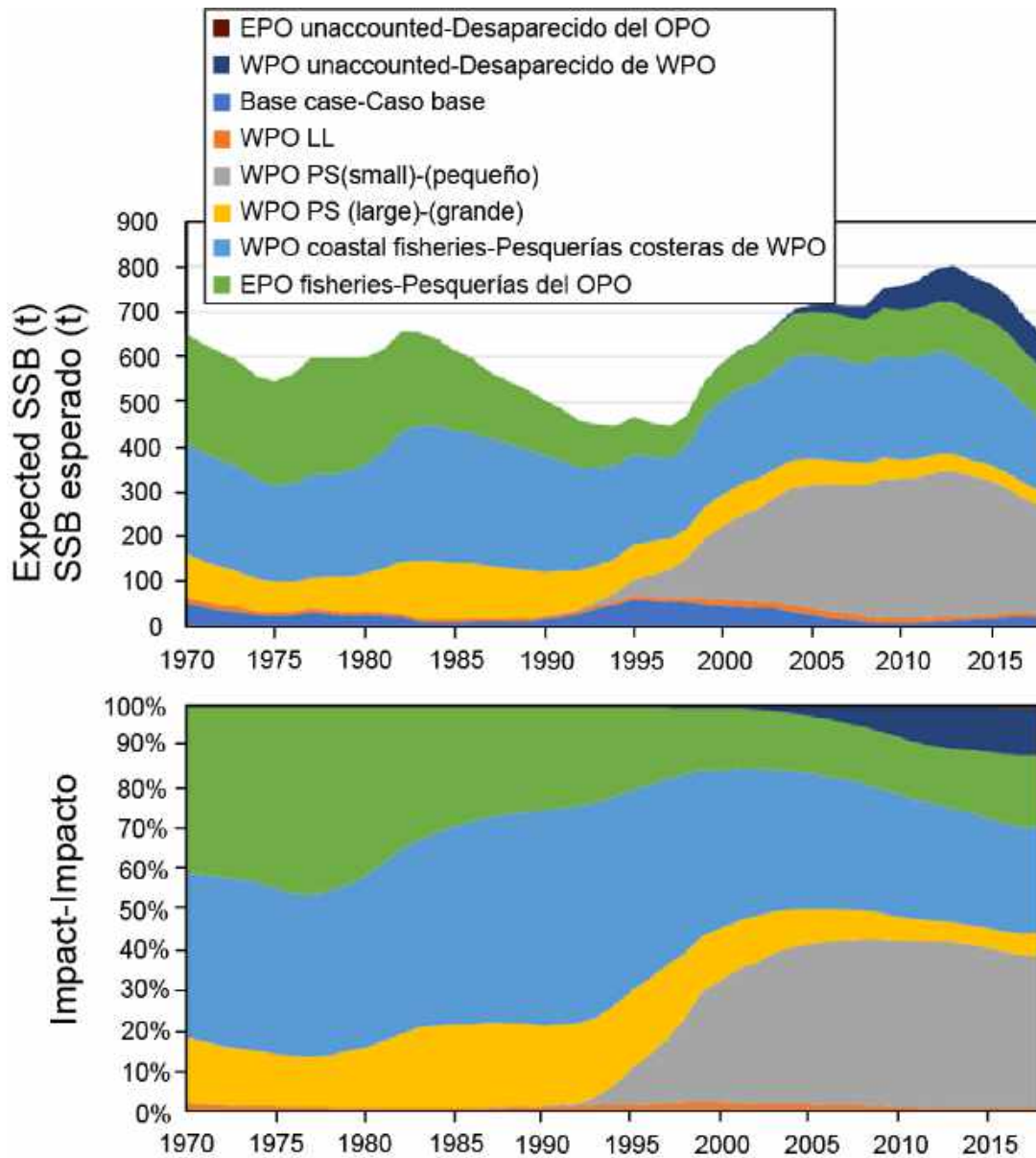


FIGURE E-2. Estimates of the impact on the Pacific bluefin tuna population of fisheries in the EPO and in the WPO (upper panel). The dashed line represents the estimated hypothetical unfished spawning biomass, and the solid line the estimated actual spawning biomass. The shaded areas indicate the impact attributed to each fishery. The lower panel presents the proportion of impact attributed to the EPO and WPO. (Figure from the draft Executive Summary of ISC 2022 stock assessment; subject to change and approval by the ISC Plenary.)

FIGURA E-2. Estimaciones del impacto sobre la población de atún aleta azul del Pacífico de las pesquerías en el OPO y en el WPO (panel superior). La línea de trazos representa la biomasa reproductora no pescada hipotética estimada, y la línea sólida la biomasa reproductora real estimada. Las áreas sombreadas indican el impacto atribuido a cada pesquería. El panel inferior ilustra la proporción del impacto atribuida al OPO y al WPO. (Figura del borrador de resumen ejecutivo de la evaluación de 2022 del ISC; sujeta a cambio y aprobación por la plenaria del ISC.)

F. ATÚN ALBACORA

Hay dos poblaciones de atún albacora en el Océano Pacífico, una en el hemisferio norte y la otra en el hemisferio sur. La especie es capturada con palangre en la mayor parte del Pacífico Norte y Sur, pero rara vez entre aproximadamente 10°N y 5°S, con curricán en el Pacífico Norte y Sur oriental y central, y con caña en el Pacífico Norte occidental. En el Pacífico Norte, un 40% del pescado es capturado en las pesquerías de caña y curricán que capturan albacora más joven y pequeño, y un 50% con palangre. En el Pacífico Sur, casi toda la captura de albacora es tomada con palangre. Las capturas anuales totales de albacora del Pacífico sur oscilaron entre unas 25,000 y 50,000 t durante los años 1980 y 1990, pero aumentaron posteriormente, y alcanzaron un máximo de unas 94,500 t en 2017, disminuyendo ligeramente después. Durante 2019-2021, la captura anual de albacora en el Pacífico sur fue en promedio unas 77,500 t ([Figura F-1a](#)), el 48.8% del cual provino del Océano Pacífico oriental (OPO). Las capturas totales anuales de albacora del Pacífico Norte aumentaron de unas 55,000 t en 1993 a unas 126,000 t en 1999 ([Figura F-1b](#)). Luego disminuyeron a principios de los años 2000 y se recuperaron a principios de la década de 2010. Desde 2012 las capturas han disminuido de unas 92,000 a unas 40,000 t en 2021. Las capturas tuvieron un promedio de aproximadamente 45,000 t durante 2019-2021, 24% de lo cual fue capturado en el OPO. Estas disminuciones de las capturas coinciden con la disminución del esfuerzo en el OPO norte ([Figura F-2](#)).

El atún albacora juvenil y adulto es capturado principalmente en la Corriente de Kuroshio, la Zona de Transición del Pacífico Norte, y la Corriente de California en el Pacífico norte y en la Zona de Convergencia Subtropical en el Pacífico sur, pero el desove ocurre en aguas tropicales y subtropicales, y se centra en los paralelos de 20°N y 20°S. Se cree que el albacora del Pacífico Norte desova entre marzo y julio en el Pacífico occidental y central.

Los desplazamientos del albacora del Pacífico Norte son fuertemente afectados por las condiciones oceánicas, y los migrantes suelen estar concentrados en frentes oceánicos en la Zona de Transición del Pacífico Norte. La mayoría de las capturas tienen lugar en aguas de entre aproximadamente 15° y 19.5°C. No quedan claros los detalles de la migración, pero se cree que peces juveniles (de entre 2 y 5 años de edad) se trasladan al Océano Pacífico oriental (OPO) en la primavera y a principios del verano, y vuelven al Pacífico occidental y central, tal vez anualmente, a fines de otoño y en el invierno, donde suelen permanecer cuando maduran. Este patrón podría ser complicado por desplazamientos por sexo de peces adultos grandes (talla furcal (TF) >125 cm), que son predominantemente machos, a zonas al sur de 20°N. La importancia de estos desplazamientos para la dinámica demográfica de esta población es incierta.

Se sabe menos acerca de los desplazamientos de albacora en el Pacífico sur. Los juveniles se desplazan de los trópicos hacia el sur cuando miden unos 35 cm, y luego hacia el este por la Zona de Convergencia Subtropical hasta aproximadamente 130°O. Poco antes de alcanzar la madurez vuelven a aguas tropicales, donde desovan. Marcas fijadas en peces liberados al este de 155°O fueron recuperadas generalmente en lugares al este y norte del punto de liberación, mientras que aquéllas fijadas al oeste de 155°O fueron recuperadas generalmente en lugares al oeste y norte del punto de liberación.

Las evaluaciones más recientes de las poblaciones de albacora del Pacífico sur y norte datan de 2021 y 2023, respectivamente. Las evaluaciones indican que no es probable que ninguna de las dos poblaciones esté sobrepescada o que esté ocurriendo sobrepesca.

Albacora del Pacífico sur

7. En colaboración con la CIAT, la Comunidad del Pacífico (SPC) realizó [una evaluación de referencia](#) del atún albacora del Pacífico sur en 2021. Dicha evaluación se basa en un modelo de evaluación espacialmente explícito en el que se considera el OPO sur como una sola área debido a la falta de datos de mercado. Se exploraron varios ejes de las incertidumbres estructurales en esta evaluación de referencia, incluyendo la inclinación, el desplazamiento, la ponderación de los datos de talla, la distribución del reclutamiento, y la combinación de crecimiento y mortalidad natural. La grilla de incertidumbre

estructural final para esta evaluación consistió en 72 modelos. Los resultados sugieren que el escenario de desplazamiento (marcado vs. tasas de desplazamiento informadas por SEAPODYM) es la principal fuente de incertidumbre entre esos ejes de incertidumbre. Sobre la base de la grilla ponderada de los 72 modelos, los puntos de referencia estimados para el atún albacora en el Pacífico sur son:

- El valor mediano de la reducción relativa de la biomasa de la población reproductora reciente (2016-2019) ($SSB_{2016-2019}/SSB_{F=0}$) fue de 0.52 con un intervalo de percentil 10º a 90º de 0.41 a 0.57.
 - Hubo una probabilidad de 0% (0 de 72 modelos) de que la biomasa reproductora reciente (2016-2019) hubiera traspasado el punto de referencia límite (0.2) adoptado por la WCPFC.
 - La mediana de la mortalidad por pesca relativa reciente como razón de la correspondiente al RMS ($F_{2015-2018}/F_{RMS}$) fue de 0.24 con un intervalo de percentil 10º a 90º de 0.15 a 0.37.
 - Hubo una probabilidad de 0% (0 de 72 modelos) de que la mortalidad por pesca reciente (2015-2018) fuera superior a F_{RMS} .
8. En resumen, la evaluación de referencia sugiere que la población de atún albacora del Pacífico sur está saludable y que la mortalidad por pesca reciente es mucho más baja que la mortalidad por pesca en RMS. Sin embargo, cabe señalar que se estimó que la biomasa reproductora del atún albacora del Pacífico sur ha disminuido considerablemente desde 2017 debido probablemente al continuo aumento de la cantidad de capturas palangreras en los últimos años (ver [SAC-13-03](#)). Para el atún albacora en el OPO sur, se estima que el cociente de biomasa reproductora (la biomasa reproductora dividida por la biomasa reproductora sin pesca) ha disminuido de más de 0.9 en 1960 a menos de 0.5 en 2019.
9. El personal continuará colaborando con la Comunidad del Pacífico (SPC) para monitorear la condición de la población de atún albacora del Pacífico sur utilizando indicadores de condición de población y realizando otra evaluación de referencia en 3-4 años.

Albacora del Pacífico norte

El Grupo de Trabajo sobre albacora (ALBWG) del Comité Científico Internacional sobre los Atunes y Especies Afines en el Océano Pacífico Norte (ISC) completó una nueva evaluación de la población de atún albacora del Pacífico norte en 2023 ([SAC-14 INF-R](#)). La población de atún albacora del Pacífico norte ha sido explotada durante mucho tiempo, las capturas fueron máximas en 1976 (unas 127,000 toneladas) y mínimas en 1991 (unas 37,000 toneladas). Durante el periodo de evaluación (1994-2018), las capturas más elevadas fueron las de 1999 (unas 119,000 t) y las más bajas las de 2019 y 2021 (unas 43,000 t). Alrededor de 2/3 de las capturas proceden de pesquerías de superficie (curricán y caña) que capturan principalmente juveniles, y el resto de pesquerías palangreras que captura principalmente adultos.

La evaluación se realizó utilizando el enfoque de "mejor modelo". El grupo de trabajo llegó a la conclusión de que la población no estaba experimentando sobrepesca y probablemente no estaba sobrepescada ([Figura F-2, Tabla F-1](#)). Se estimó que la SSB_{2021} era aproximadamente 54% (IC 95%: 40-68%) de la $SSB_{actual, F=0}$ y 1.8 (IC 95%: 1.3–2.3) veces mayor que el punto de referencia umbral estimado (Tabla ES1). La intensidad de pesca actual estimada ($F_{2018-2020}$) se estimó en $F59\%_{SPR}$ (IC 95%: $F72\%_{SPR}$ – $F46\%_{SPR}$) y fue menor que el punto de referencia objetivo $F45\%_{SPR}$ y que la intensidad de pesca promedio durante 2002-2004 (Tabla F1).

A partir de los resultados de la nueva evaluación de la población de atún albacora del Pacífico norte, el Grupo de Trabajo concluye que:

1. Es probable que la población no esté sobrepescada en relación con los puntos de referencia umbral ($30\%SSB_{actual, F=0}$) y límite ($14\%SSB_{actual, F=0}$) adoptados por la WCPFC y la CIAT, y
2. Es probable que la población no esté experimentando sobrepesca en relación con el punto de referencia objetivo ($F45\%_{SPR}$).

Las actuales medidas de conservación y ordenación de la CIAT para el atún albacora del Pacífico norte (resoluciones [C-05-02](#), [C-13-03](#) y [C-18-03](#)) se basan en mantener el esfuerzo de pesca por debajo de los niveles de 2002-2004. Los niveles de esfuerzo en el Océano Pacífico oriental para 2019-2021 fueron el 56% y el 59% de los de 2002-2004, para días de buque y número de buques, respectivamente, y muestran una tendencia decreciente en los últimos 10 años ([Figura F-2](#)).

En 2022, la Comisión adoptó los objetivos, los puntos de referencia objetivo, umbral y límite, el nivel aceptable de riesgo de traspasar el punto de referencia límite y el método de monitoreo para la población (resolución C-22-04 de la CIAT) tras la finalización de la evaluación de estrategias de ordenación (EEO) para la población por parte del ALBWG ([ISC/21/ANNEX/11](#)). Asimismo, en virtud de dicha resolución, se espera que la Comisión adopte una regla de control de extracción con dichos elementos en 2023. El objetivo general es garantizar la sostenibilidad de la población de atún albacora del Pacífico norte y de las pesquerías que dependen de esta población en el OPO. Para alcanzar el objetivo general, se establecieron los siguientes objetivos de ordenación (C-22-04):

1. Mantener la biomasa de la población reproductora (SSB) por encima del punto de referencia límite, con una probabilidad de al menos el 80% durante los próximos 10 años.
2. Mantener la reducción de la biomasa total alrededor de la reducción histórica (2006- 2015) promedio durante los próximos 10 años.
3. Mantener la intensidad de pesca (F) en o por debajo del punto de referencia objetivo con una probabilidad de al menos el 50% durante los próximos 10 años.
4. En la medida de lo posible, los cambios de ordenación (por ejemplo, captura y/o esfuerzo) deberían ser relativamente graduales entre años.

Los puntos de referencia adoptados son los siguientes:

1. Punto de referencia objetivo (PRO) = $F_{45\%}$, que es el nivel de intensidad de pesca (F) que da lugar a que la población produzca el 45% de la razón de potencial de desove (SPR).
2. Punto de referencia umbral (SSB_{umbral}) = $30\%SSB_{actual,F=0}$, que es el 30% de la biomasa de la población reproductora dinámica sin pesca.
3. Punto de referencia límite (PRL) = $14\%SSB_{actual,F=0}$, que es el 14% de la biomasa de la población reproductora dinámica sin pesca.

El riesgo de rebasar el punto de referencia límite basado en la estimación más actual de la SSB no será superior al 20%. La resolución establece además que, si se traspasa el PRL, debe adoptarse un plan de restablecimiento.

El siguiente paso en el proceso de EEO es la adopción de una RCE por parte de la Comisión, en coordinación con la Comisión de Pesca del Pacífico Occidental y Central (WCPFC), teniendo en cuenta el desempeño de las RCE probadas para cumplir los objetivos de ordenación. El ALBWG también discutió los criterios preliminares para la identificación de circunstancias excepcionales, que darían lugar a la suspensión o modificación de la aplicación de la estrategia de extracción adoptada, una vez adoptada, y podrían requerir la actualización del trabajo de simulación de evaluación de estrategias de ordenación (EEO). La finalización de los criterios de circunstancias excepcionales se llevaría a cabo una vez adoptada la estrategia de extracción.

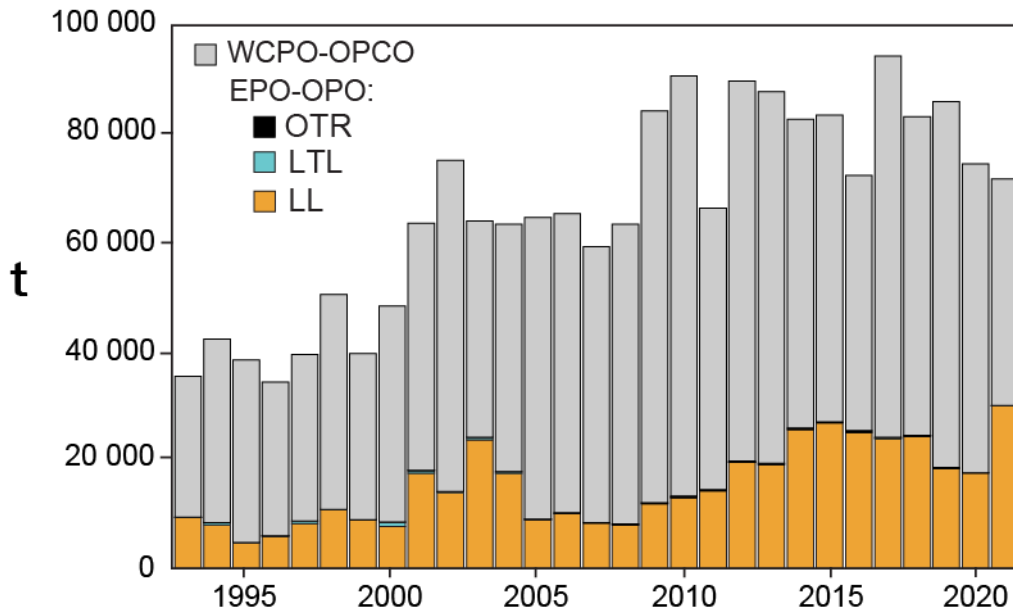


FIGURE F-1a. Retained catches of south Pacific albacore, by region. EPO catches broken down by gear: LL: longline; LTL: troll; OTR: other

FIGURA F-1a. Capturas retenidas de albacora del Pacífico sur, por región. Capturas del OPO desglosadas por arte: LL: palangre; LTL: curricán; OTR: otro.

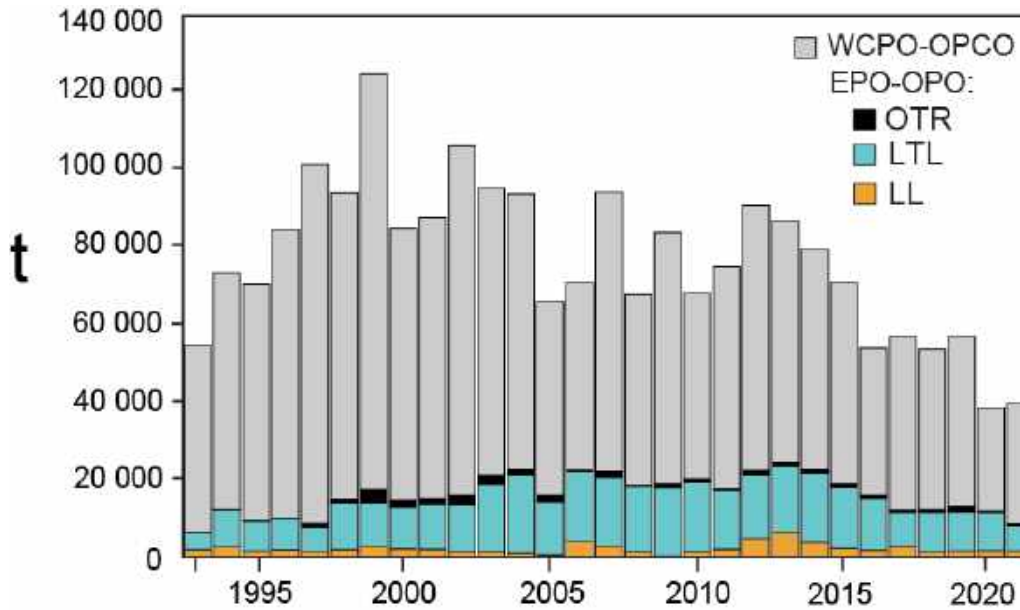


FIGURE F-1b. Retained catches of north Pacific albacore, by region. EPO catches broken down by gear: LL: longline; LTL: troll; OTR: other.

FIGURA F-1b. Capturas retenidas de albacora del Pacífico norte, por región. Capturas del OPO desglosadas por arte: LL: palangre; LTL: curricán; OTR: otro.

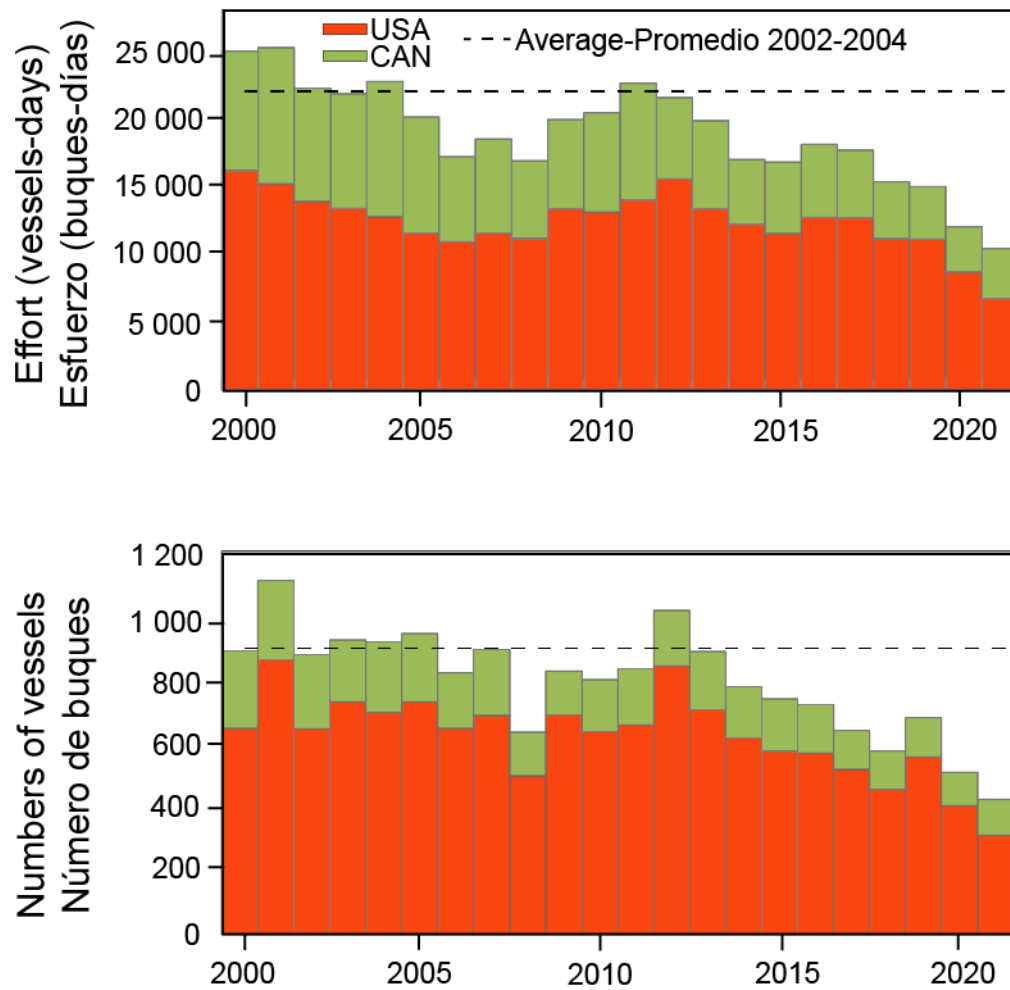


FIGURE F-2. Effort in vessel-days and number of vessels for the north Pacific albacore tuna in the eastern Pacific Ocean.

FIGURA F-2. Esfuerzo en días de buque y número de buques para el atún albacora del Pacífico norte en el Océano Pacífico oriental.

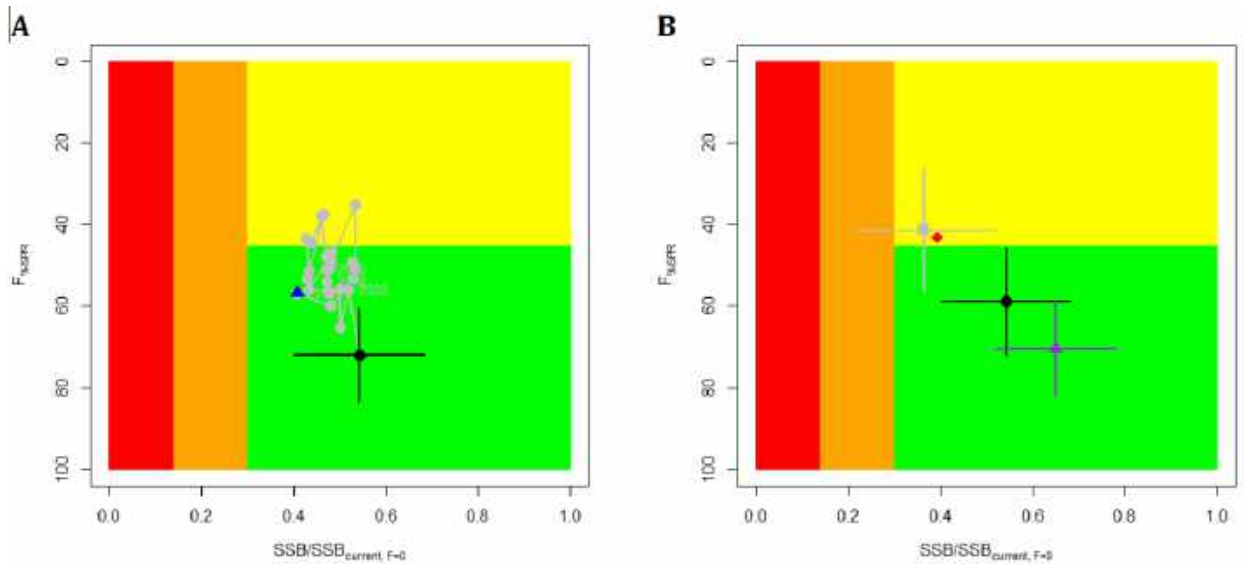


FIGURE F-3. Stock status phase plot showing the status of the north Pacific albacore stock relative to the biomass-based threshold ($30\%SSB_{current, F=0}$) and limit ($14\%SSB_{current, F=0}$) reference points, and fishing intensity-based target reference point ($F_{45\%SPR}$) over the modeling period (1994 – 2021). Blue triangle indicates the start year (1994) and black circle with 95% confidence intervals indicates the terminal year (2021). **(B)** Stock status plot showing current stock status and 95% confidence intervals of the base case model (black circle), an important sensitivity run of $CV = 0.06$ for L_{inf} in the growth model (gray square), an important sensitivity run with an estimated growth model (purple triangle), and a model representing an update of the 2020 base case model to 2023 data (red diamond). 95% confidence intervals are not shown for the update of the 2020 base case model (red diamond) because the model did not have a positive definite Hessian matrix and uncertainty estimates were unreliable. Red zones in both panels indicate female SSBs falling below the limit reference point while the orange zones indicate female SSBs between the threshold and limit reference points. Green zones indicate female SSBs above the threshold reference point and fishing intensity levels below the target reference point. Yellow areas indicate female SSBs above the threshold reference point and fishing intensity levels above the target reference point. The F_s in this figure are indicators of fishing intensity based on spawning potential ratio (SPR) and calculated as $\%SPR$.

FIGURA F-3. Gráfica de fase de la condición de la población que muestra la condición de la población de atún albacora del Pacífico norte en relación con los puntos de referencia umbral ($30\%SSB_{actual, F=0}$) y límite ($14\%SSB_{actual, F=0}$) basados en la biomasa, y el punto de referencia objetivo basado en la intensidad de pesca ($F_{45\%SPR}$) durante el periodo del modelo (1994-2021). El triángulo azul indica el año inicial (1994) y el círculo negro con intervalos de confianza del 95% indica el año final (2021). **(B)** Gráfica de la condición de la población que muestra la condición actual de la población y los intervalos de confianza del 95% del modelo de caso base (círculo negro), un análisis de sensibilidad importante de $CV = 0.06$ para L_{inf} en el modelo de crecimiento (cuadrado gris), un análisis de sensibilidad importante con un modelo de crecimiento estimado (triángulo morado) y un modelo que representa una actualización del modelo de caso base de 2020 a los datos de 2023 (diamante rojo). No se muestran los intervalos de confianza del 95% para la actualización del modelo de caso base de 2020 (diamante rojo) porque el modelo no tenía una matriz hessiana positiva definida y las estimaciones de incertidumbre no eran fiables. Las zonas rojas de ambos paneles indican las SSB de las hembras por debajo del punto de referencia límite, mientras que las zonas anaranjadas indican las SSB de las hembras entre los puntos de referencia umbral y límite. Las zonas verdes indican las SSB de las hembras por encima del punto de referencia umbral y los niveles de intensidad de pesca por debajo del punto de referencia objetivo. Las áreas amarillas indican las SSB de las hembras por encima del punto de referencia umbral y los niveles de intensidad de pesca por encima del punto de referencia objetivo. Las F de esta figura son indicadores de la intensidad de pesca basados en la razón de potencial de desove (SPR) y calculados como $\%SPR$.

TABLE F1. Estimates of maximum sustainable yield (MSY), female spawning stock biomass (SSB), fishing intensity (F), and reference point ratios for north Pacific albacore tuna for: 1) the base case model; 2) two important sensitivity models due to uncertainty in growth parameters; and 3) a model representing an update of the 2020 base case model to 2023 data. SSB_0 , $SSB_{current, F=0}$ and SSB_{MSY} are the expected female SSB of a population in the equilibrium, un-fished state; in the current, dynamic, un-fished state; and at MSY, respectively. The Fs in this table are indicators of fishing intensity based on spawning potential ratio (SPR) and calculated as %SPR. SPR is the ratio of the equilibrium SSB per recruit that would result from the estimated F-at-age relative to that of an un-fished population. Depletion is calculated as the proportion of the age-1+ biomass during the specified period relative to an un-fished age-1+ equilibrium biomass. The model representing an update of the 2020 base case model is similar to but not identical to the 2020 base case model due to changes in data preparation and model structure. *Model may not have converged, and uncertainty estimates were unreliable because of the lack of a positive, definite Hessian matrix. †A value of >1 for the depletion ratio indicates higher age-1+ biomass in 2021 relative to the 2006 – 2015 period. §Higher %SPR values indicate lower fishing intensity levels. ¶Values of >1 for ratios of $F_{\%SPR}$ to $F_{\%SPR}$ -based reference points indicate fishing intensity levels lower than the reference points.

TABLE F1. Estimaciones del rendimiento máximo sostenible (RMS), biomasa reproductora de las hembras (SSB), intensidad de pesca (F) y cocientes de puntos de referencia para el atún albacora del Pacífico norte para: 1) el modelo de caso base; 2) dos importantes modelos de sensibilidad debido a la incertidumbre en los parámetros de crecimiento; y 3) un modelo que representa una actualización del modelo de caso base de 2020 a los datos de 2023. SSB_0 , $SSB_{actual, F=0}$ y SSB_{RMS} son la SSB de las hembras esperada de una población en estado de equilibrio, sin pesca; en estado actual, dinámico, sin pesca; y en RMS, respectivamente. Las F de esta tabla son indicadores de la intensidad de pesca basados en la razón de potencial de desove (SPR) y calculados como %SPR. La SPR es la razón de la SSB en equilibrio por recluta que resultaría de la F por edad estimada en relación con la de una población en ausencia de pesca. La reducción se calcula como la proporción de la biomasa de edad 1+ durante el periodo especificado en relación con una biomasa de edad 1+ en equilibrio sin pesca. El modelo que representa una actualización del modelo de caso base de 2020 es similar pero no idéntico al modelo de caso base de 2020 debido a cambios en la preparación de los datos y en la estructura del modelo. *Es posible que el modelo no haya convergido y que las estimaciones de incertidumbre no sean fiables debido a la falta de una matriz hessiana positiva definida. †Un valor de >1 para la razón de reducción indica una mayor biomasa de edad 1+ en 2021 en relación con el periodo 2006-2015. §Valores de %SPR más altos indican niveles de intensidad de pesca más bajos. ¶Valores de >1 para los cocientes de $F_{\%SPR}$ con respecto a los puntos de referencia basados en $F_{\%SPR}$ indican niveles de intensidad de pesca inferiores a los puntos de referencia.

Cantidad	Caso base	Crecimiento	Crecimiento	Actualización mo- delo caso base de 2020 a datos de 2023 *
		CV = 0.06 para L_{inf}	Todos los paráme- tros estimados	
MSY (t)	121,880	93,167	144,792	97,777
SSB_{MSY} (t)	23,154	18,133	30,435	18,756
SSB_0 (t)	165,567	128,155	198,913	132,570
SSB_{2021} (t)	70,229	35,418	101,161	36,909
$SSB_{current, F=0}$ (2021 estimate)	129,581	97,368	155,542	93,808
$SSB_{2021}/SSB_{current, F=0}$	0.54	0.36	0.65	0.39
$SSB_{2021}/30\%SSB_{current, F=0}$	1.81	1.21	2.17	1.31
$SSB_{2021}/14\%SSB_{current, F=0}$	3.87	2.60	4.65	2.81
† Depletion ₂₀₂₁ /Depletion ₂₀₀₆₋₂₀₁₅	1.34	1.33	1.37	1.30
§ $F_{\%SPR, 2018-2020}$ (%SPR)	59.0	41.4	70.4	43.2
§ $F_{\%SPR, 2011-2020}$ (%SPR)	55.0	36.6	63.8	37.9
¶ $F_{\%SPR, 2018-2020}/F_{\%SPR, MSY}$	2.04	1.42	2.78	1.47
¶ $F_{\%SPR, 2011-2020}/F_{45\%SPR}$	1.22	0.81	1.42	0.84
¶ $F_{\%SPR, 2018-2020}/F_{45\%SPR}$	1.31	0.92	1.56	0.96
¶ $F_{\%SPR, 2018-2020}/F_{\%SPR, 2002-2004}$	1.48	1.63	1.40	1.25

Source: [SAC-14 INF-R](#)

G. PEZ ESPADA

El pez espada (*Xiphias gladius*) habita todo el Océano Pacífico (OP) entre aproximadamente 50°N y 50°S. En el Océano Pacífico oriental (OPO), es capturado principalmente por la pesquerías palangrera (alrededor de 80% de la captura en peso en promedio en los últimos años) por flotas de aguas lejanas de países del Lejano Oriente y del hemisferio occidental. Las redes agalleras a la deriva capturan cantidades menores (~20%), principalmente en Sudamérica, y cantidades mínimas por otras redes agalleras y arpones. Es rara vez capturado en la pesca recreacional en el OPO.

El pez espada crece en talla muy rápidamente, y tanto los machos como las hembras, que crecen más rápidamente, alcanzan tallas de mandíbula inferior a furca caudal de más de un metro durante su primer año. Comienza a alcanzar la madurez alrededor de los dos años de edad, cuando mide unos 150 a 170 cm de talla, y se considera que a los cuatro años de edad todos son maduros. Es probable que desove más de una vez por temporada. En el caso de peces de más de 170 cm, la proporción de hembras aumenta con el aumento en la talla.

El pez espada suele permanecer a mayor profundidad de día que de noche, y vivir en zonas frontales, de las que hay varias en el Océano Pacífico oriental (OPO), entre ellas zonas frente a California y Baja California, frente a Ecuador, Perú, y Chile, y en el Pacífico ecuatorial. Tolerancia de temperaturas de entre unos 5° y 27°C, pero su gama preferida es de 18° a 22°C, mientras que se han encontrado larvas únicamente a temperaturas de más de 24°C.

Existen pruebas sólidas de que el pez espada en el Pacífico comprende múltiples poblaciones. Se sabe de varias regiones específicas de desove, y los análisis de los datos de pesca, de marcado y genéticos sugieren que ocurre un intercambio de peces espada tan sólo limitado entre zonas geográficas, inclusive entre el Océano Pacífico oriental y occidental, y norte y sur. Es posible que existan hasta seis poblaciones en el Océano Pacífico, pero los límites exactos de esas poblaciones, así como sus tasas de cambio (para los fines de la evaluación), son actualmente inciertos. A principios de la década de 2000, la CIAT produjo [indicadores para el pez espada](#), en cinco áreas del OPO: dos áreas al norte de 10°N, separadas en 125°O, un área central entre 10°N y 5°S, y dos áreas al sur de 5°S, separadas en 90°O.

Actualmente, se supone que en el OPO habitan dos poblaciones: una en el sur y otra en el norte. Los límites de las poblaciones son inciertos, pero en las evaluaciones más recientes se supuso que la población del OPO sur podría distribuirse hasta 10°N. El área al norte de 5°S y al sur de 10°N fue incluida en la evaluación del OPO sur como una de las hipótesis de estructura de la población, ya que había pruebas de conectividad entre esa área y el área al sur de 5°S ([SAC-13 INF-N](#)), que definió el límite de la población en la evaluación anterior ([SAC-02-09](#)). La definición utilizada en la evaluación anterior también se incluyó como hipótesis alternativa de estructura de la población. La información de marcado reciente (presentada durante [SWO-01](#)) sobre el desplazamiento de peces espada a través del límite supuesto anteriormente para la población de pez espada del Pacífico norte —una línea diagonal desde los trópicos en el Pacífico central hasta la costa norte de México— motivó la revisión del límite de población supuesto para la población de pez espada del Pacífico norte ([ISC/21/BILLWG-01](#)) para incluir el OPO al norte de 10°N. Este nuevo supuesto de límite de población permitió la inclusión de áreas frente a México y Centroamérica en la evaluación del pez espada del Pacífico norte de 2023, que no fueron incluidas en la evaluación de 2018 ([ISC/18/ANNEX/16](#)).

En el hemisferio norte, el esfuerzo de pesca de palangre anual total para las principales flotas palangreras¹ que operan en el OPO aumentó de unos 25 millones de anzuelos en 2007 a unos 50 millones de anzuelos en 2015 y ha disminuido en los últimos cuatro años de 46 millones de anzuelos en 2016 a 17 millones en 2021 ([Figura G-1](#)). El promedio de los últimos cinco años (34 17 millones de anzuelos) continúa siendo significativamente inferior al promedio de 2001-2003 de 63 millones de anzuelos. El Grupo de Trabajo sobre Peces Picudos (BILLWG) del Comité Científico Internacional para los Atunes y Especies Afines en el Océano Pacífico Norte

¹ Japón, Corea, Taipéi Chino, China y Polinesia Francesa

realizó una evaluación en 2023 de la población de pez espada del Pacífico norte, que incluyó el OPO al norte de 10°N. Los resultados preliminares sugieren que la biomasa de la población se ha mantenido estable en los últimos 10 años, que la captura en general sigue disminuyendo, y que es probable que la población no esté sobrepescada ni sujeta a sobrepesca. En el OPO, al norte de 10°N, ha habido un largo periodo de capturas relativamente estables en las dos últimas décadas, con un fuerte descenso en los últimos tres años. ([Figura G-2](#)).

En el hemisferio sur, el esfuerzo de pesca de palangre anual total para las principales flotas palangreras¹ en el OPO en los últimos 30 años fue de 210 millones de anzuelos en 1991 y disminuyó constantemente hasta aproximadamente la mitad en 1999, y volvió a aumentar hasta un promedio de 177 millones de anzuelos en 2001-2004, disminuyendo a unos 69 millones de anzuelos en 2008. En los últimos cinco años, el esfuerzo total se ha mantenido relativamente estable, con un promedio de 140 millones de anzuelos (2017-2021) ([Figura G-3](#)). En la Figura G-4 se muestran los datos de captura notificados a la CIAT. Para la evaluación del pez espada del OPO sur, se hizo una compilación de datos de captura que resultó en valores más altos que los de la Figura G-4 debido a capturas, principalmente de las flotas artesanales, todavía no notificadas a la CIAT. Los datos de captura compilados para el OPO al sur de 10°N mostraron un aumento drástico desde mediados de la década de 2000 ([Figura 3 en SAC-14-15](#)). La captura promedio anual de 2000 a 2009 fue de unas 15,000 toneladas, mientras que la captura promedio anual de 2010 a 2019 casi se duplicó a unas 29,000 toneladas. En los últimos tres años de la compilación disponible para la evaluación (2017-2019), la captura promedio fue de alrededor de 34,000 toneladas al año. Para el área al sur de 5°S, la captura promedio anual en los últimos 5 años (2015-2019) fue de 25,718 t. Las flotas que actualmente realizan la mayor parte de las capturas son la flota palangrera española, que captura alrededor del 30% de las capturas totales en peso, seguida de la flota de red agallera chilena con 22%, y la flota palangrera ecuatoriana con 20%.

Para la población del OPO sur, se finalizó la evaluación de referencia con datos de hasta 2019 (SAC-14-15). Las principales incertidumbres que se tuvieron en cuenta fueron la estructura de la población y la relación de los índices de abundancia con la biomasa de la población. Asociado al aumento de las capturas, hubo un claro aumento de los índices de abundancia, que fue una continuación de las tendencias ya evidentes en la evaluación de 2011. Se propusieron cuatro hipótesis para explicar el aumento simultáneo de las capturas y de los índices de abundancia, que incluían tanto la posibilidad de que el aumento fuera real como la de que no lo fuera (aumento de la disponibilidad). Los puntos de referencia dinámicos, utilizados únicamente con fines ilustrativos ya que la Comisión aún no ha adoptado puntos de referencia para el pez espada, indicaron que la población se acerca al PRO de biomasa hipotético (del 40% de biomasa en ausencia de pesca) para una de las hipótesis y es mayor para las demás hipótesis ($SSB_{actual}/SSBF=0 > 0.4$). En cualquier caso, la población no se acerca al punto de referencia límite hipotético (20% de biomasa en ausencia de pesca) ([Figura G-5](#)). Todos los modelos estiman un fuerte aumento de la mortalidad por pesca desde el inicio de la pesquería en la década de 1950. La intensidad de pesca está ligeramente por encima del punto de referencia objetivo de intensidad de pesca para una de las hipótesis y por debajo para las demás hipótesis ([Figura G-6](#)). No hay suficiente información en los datos actuales para determinar la plausibilidad relativa de las diferentes hipótesis que podrían explicar los aumentos simultáneos de las capturas y de los índices de abundancia. Existen pruebas externas de que un aumento de la productividad de la población puede ser plausible debido al aumento de la presa principal del pez espada en el OPO sur, el calamar gigante. Si este es el caso, la ordenación de la población debería tener en cuenta posibles disminuciones de la productividad si la especie presa disminuye en abundancia. No obstante, las otras hipótesis también son plausibles y deben tenerse en cuenta.

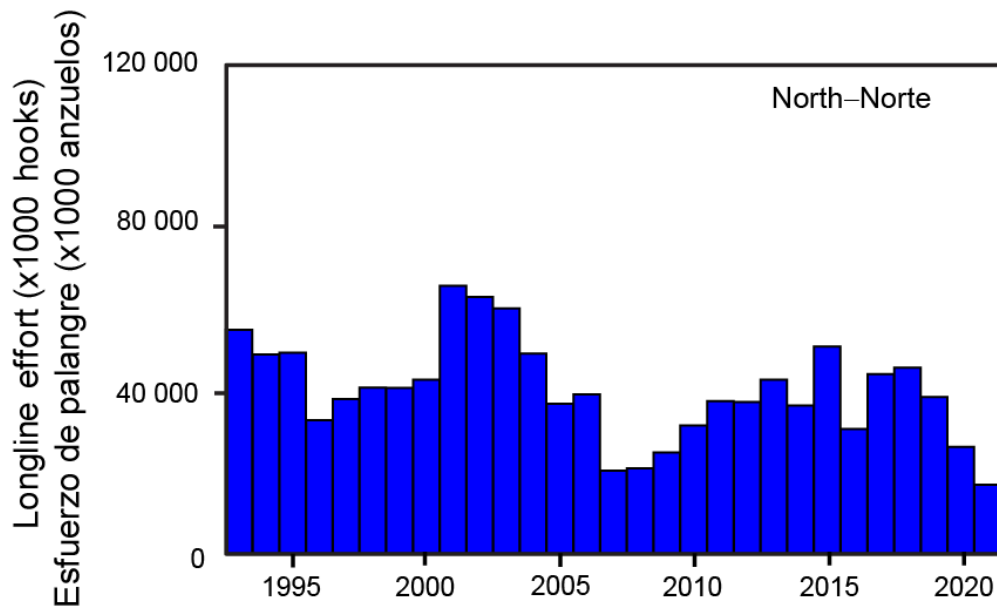


FIGURE G-1. Longline fishing effort (in millions of hooks) in the north EPO for the main longline fleets for 1993–2021 ([Table A-9](#)).

FIGURA G-1. Esfuerzo de pesca de palangre (en millones de anzuelos) en el OPO Norte para las principales flotas palangreras para 1993–2021 ([Tabla A-9](#)) (al norte 10°N)

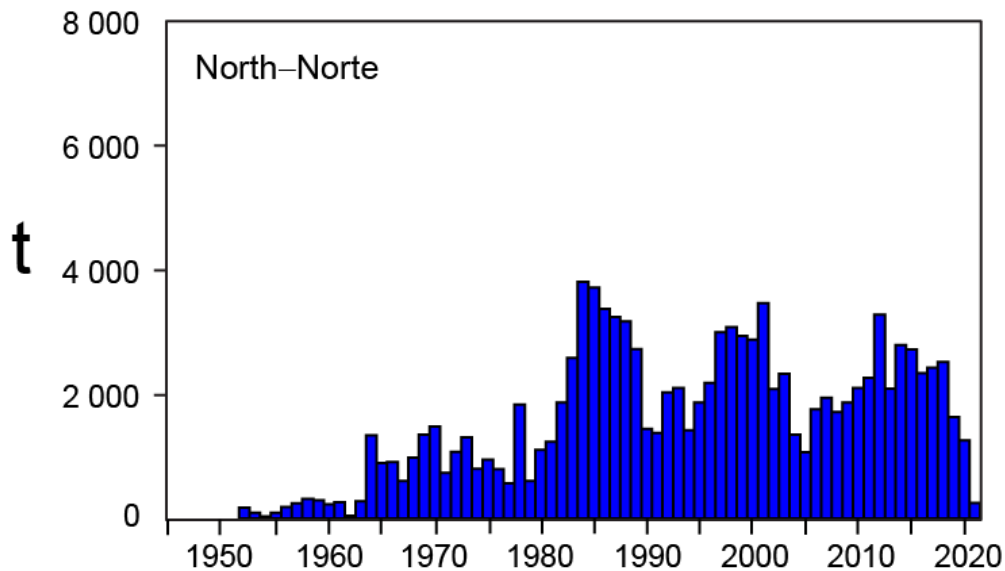


FIGURE G-2. Retained catches of swordfish in the north EPO stock for 1945–2021 (north of 10°N)

FIGURA G-2. Capturas retenidas de pez espada en la población del OPO Norte para 1945–2021 (al norte de 10°N).

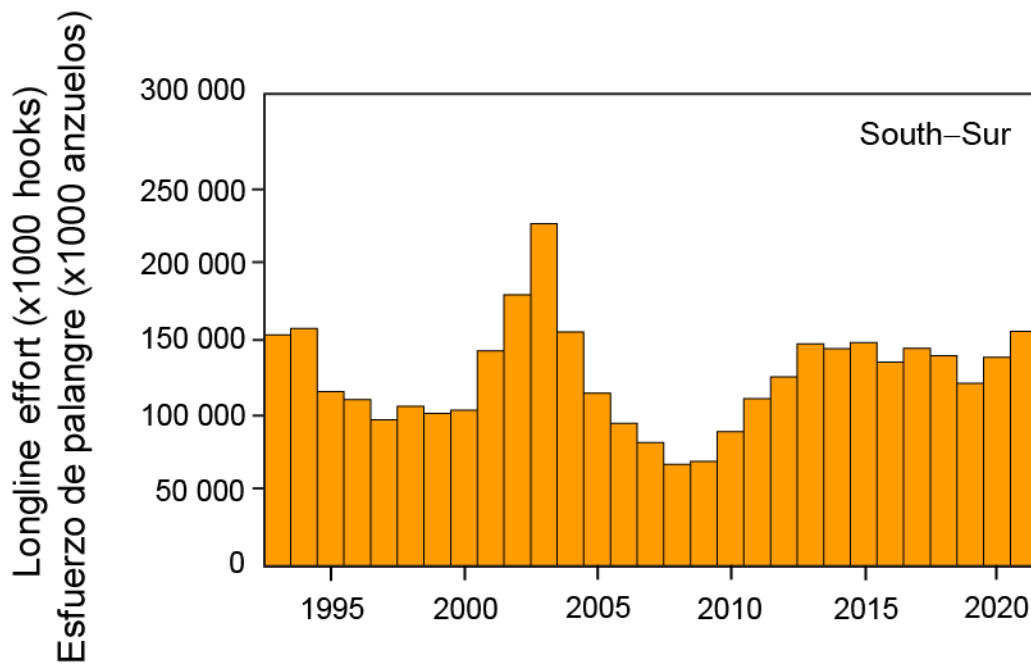


FIGURE G-3. Longline fishing effort (in millions of hooks) in the south EPO for the main longline fleets for 1993–2021 ([Table A-9](#)).

FIGURA G-3. Esfuerzo de pesca de palangre (en millones de anzuelos) en el OPO Sur para las principales flotas palangreras para 1993–2021 ([Tabla A-9](#)).

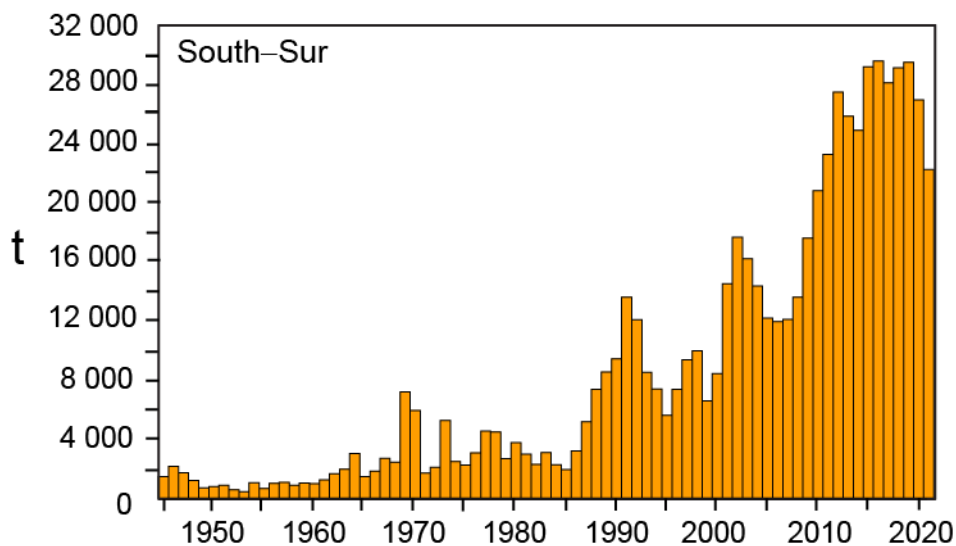


FIGURE G-4. Retained catches of swordfish in the south EPO stock for 1945–2021 (south of 10°N) reported to the IATTC.

FIGURA G-4. Capturas retenidas de pez espada en la población del OPO Sur para 1945–2021 (al sur de 10°N).

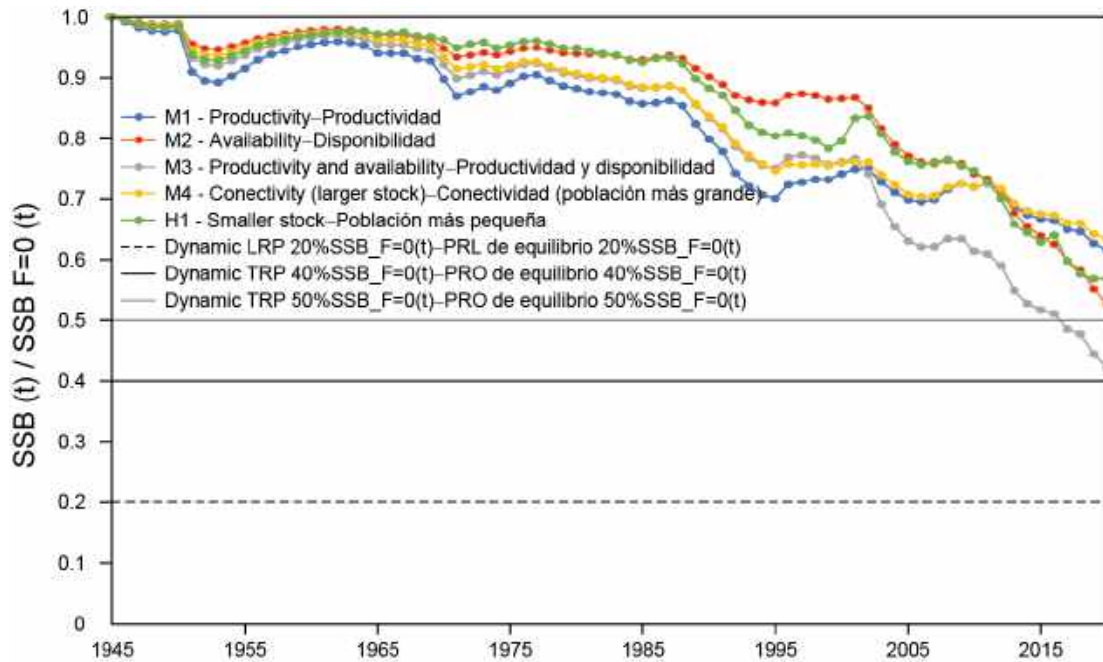


FIGURE G-5. Ratio of the estimated spawning stock biomass and spawning stock biomass with no fishing (dynamic) for the models corresponding to the four hypotheses that explain the simultaneous increase in indices of abundance and catches and the model corresponding to the stock structure hypothesis H1 (north boundary at 5°S). Note that M4 corresponds to the stock structure hypothesis H3 (western boundary at 170°W).

FIGURE G-5. Razón entre la biomasa de la población reproductora estimada y la biomasa de la población reproductora sin pesca (dinámica) para los modelos correspondientes a las cuatro hipótesis que explican el aumento simultáneo de los índices de abundancia y las capturas y el modelo correspondiente a la hipótesis de estructura de la población H1 (límite norte en 5°S). Nótese que el modelo M4 corresponde a la hipótesis de estructura de la población H3 (límite occidental en 170°O).

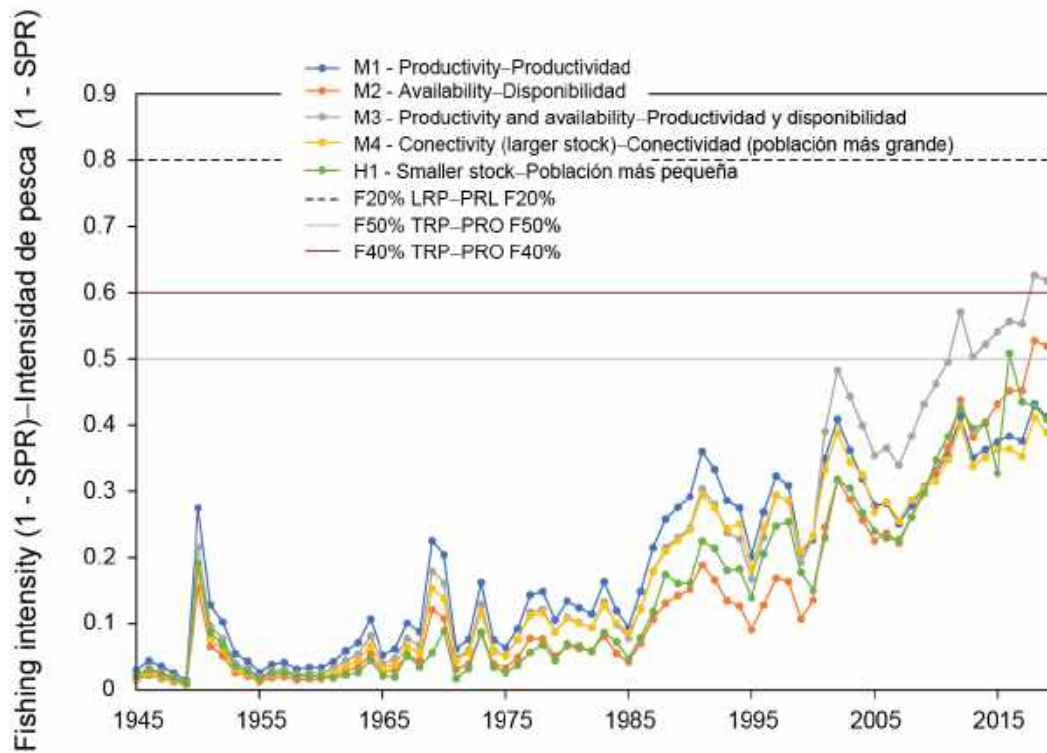


FIGURE G-6. Fishing intensity (1-SPR) for the models corresponding to the four hypotheses that explain the simultaneous increase in indices of abundance and catches and the model corresponding to the stock structure hypothesis H1 (north boundary at 5°S). Note that M4 corresponds to the stock structure hypothesis H3 (western boundary at 170°W). Fishing intensity is a proxy for fishing mortality, based on SPR (proportion of the spawning biomass produced by each recruit with fishing relative to biomass per recruit in the unfished condition, Goodyear 1993). Large SPR are indicative of low fishing mortality, thus a proxy for fishing mortality is 1-SPR.

FIGURE G-6. Intensidad de pesca (1-SPR) para los modelos correspondientes a las cuatro hipótesis que explican el aumento simultáneo de los índices de abundancia y las capturas y el modelo correspondiente a la hipótesis de estructura de la población H1 (límite norte en 5°S). Nótese que el modelo M4 corresponde a la hipótesis de estructura de la población H3 (límite occidental en 170°O). La intensidad de pesca es un sustituto de la mortalidad por pesca, con base en SPR (proporción de la biomasa reproductora producida por cada recluta con pesca en relación con la biomasa por recluta en ausencia de pesca, Goodyear 1993). Una SPR alta indica una mortalidad por pesca baja, por lo que 1-SPR es sustituto de la mortalidad por pesca.

H. MARLÍN AZUL

La mejor información actualmente disponible indica que el marlín azul constituye una sola especie a nivel mundial (*Makaira nigricans*) y una sola población en el Océano Pacífico. Por este motivo, se compilan estadísticas de capturas ([Figura H-1](#)), y se realizan análisis de la condición de la población, para el Océano Pacífico entero.

El marlín azul es capturado principalmente por las pesquerías de palangre de atunes y peces picudos entre aproximadamente 30°N y 30°S. Las pesquerías recreacionales y varias otras pesquerías comerciales, como la cerquera, capturan cantidades menores.

Pequeñas cantidades de marlines azules han sido marcados con marcas de dardo convencionales por investigadores. En contraste, más de 50,000 marlines azules han sido marcados por pescadores recreacionales en los cinco programas voluntarios de marcado de peces de pesca deportiva más grandes del mundo, con más de 600 peces que han sido recapturados. Aunque un pequeño número de peces marcados han sido recapturados a grandes distancias de sus puntos de liberación (4,000-15,000 km), la mayoría de los peces marcados han sido recapturados a menos de 1,000 km de su lugar de liberación, a pesar de que algunos han estado en libertad durante más de 3 años. Marlines azules han sido marcados con marcas electrónicas satelitales autodesprendibles que toman datos durante períodos de unos 30 a 180 días, principalmente en el Golfo de México y el Océano Atlántico, en estudios de la supervivencia y desplazamientos después de la liberación. Actualmente se están realizando varios estudios similares en el Océano Pacífico como parte del programa de marcado “Great Marlin Race” del International Gamefish Association.

El marlín azul vive generalmente en regiones con temperaturas superficiales del mar (TSM) de más de 24°C, y pasa un 90% del tiempo a profundidades donde la temperatura es de 1° a 2° menos que la TSM.

La evaluación completa más reciente de la condición y las tendencias de la especie fue realizada en 2021, que incluyó datos hasta 2019. Indicó que la población de marlín azul en el Océano Pacífico tiene actualmente una biomasa que está 13% por encima de SSB_{RMS} , mientras que la mortalidad por pesca es del 40% inferior a la F_{RMS} , y por lo tanto no está ni sobrepescada ni sujeta a sobrepesca. Desde 2016, las capturas anuales en el OPO han disminuido de 4,100 t a un promedio de 2,578 t en 2019-2021 ([Figura H-1](#)).

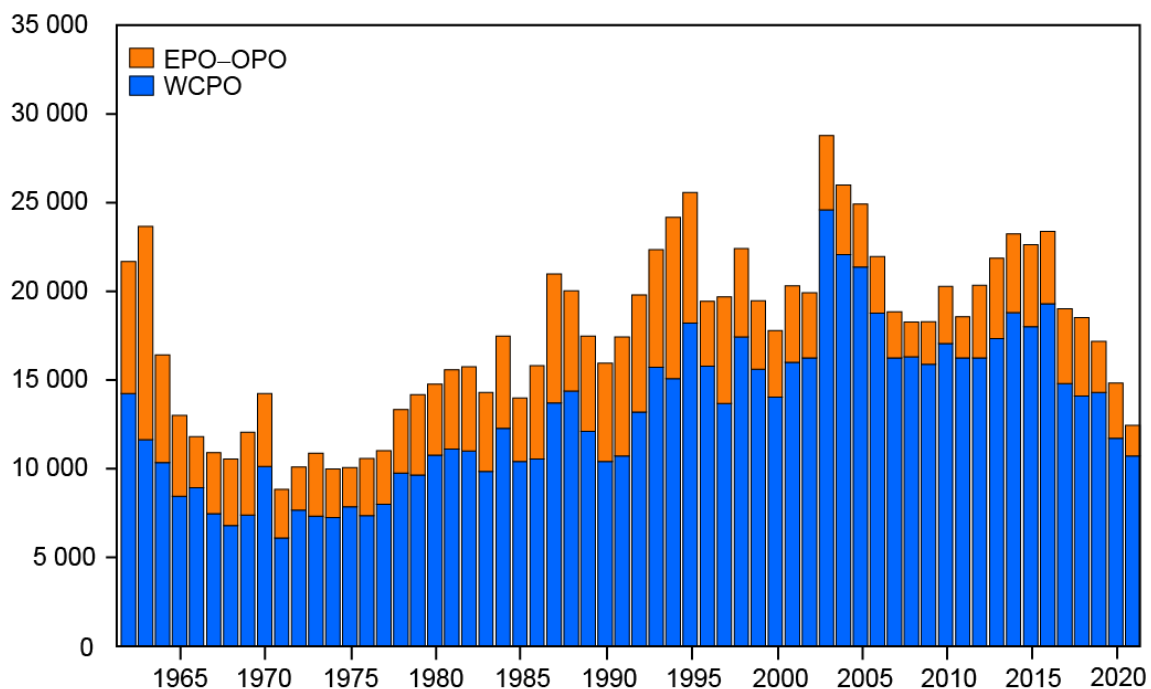


FIGURE H-1. Retained catches of blue marlin in the Pacific Ocean, by region.

FIGURA H-1. Capturas retenidas de marlín azul en el Océano Pacífico, por región.

I. MARLÍN RAYADO

El marlín rayado (*Kajikia audax*) está distribuido por todo el Océano Pacífico entre aproximadamente 45°N y 45°S. Se ha dedicado un esfuerzo importante a entender la estructura de la población de marlín rayado en el Océano Pacífico, que ahora es moderadamente bien conocida. Es muy probable que existan varias poblaciones de marlín rayado en el Océano Pacífico, pero los límites son inciertos. La información sobre los desplazamiento procedente de estudios de investigación que utilizan marcas de dardo convencionales es limitada, aunque se han marcado más de 40,000 marlines rayados por varios programas voluntarios de marcado de pescadores deportivos. Aunque las tasas de recaptura notificadas son inferiores al 1%, los datos de recaptura muestran que el marlín rayado es capaz de desplazarse a grandes distancias (5,000-6,000 km); sin embargo, la mayoría de las recapturas han ocurrido razonablemente cerca del lugar de liberación. En el OPO específicamente, los peces marcados frente a la punta de Baja California fueron generalmente recapturados cerca de donde fueron marcados, pero algunos fueron recapturados cerca de las islas Revillagigedo, unos pocos cerca de Hawái, y uno cerca de la isla Norfolk (Australia). Estudios de marcado en el Pacífico con marcas satelitales desprendibles indicaron que esencialmente no ocurre mezcla entre zonas de marcado, y que el marlín rayado mantiene fidelidad a su sitio. Análisis de datos de pesca y genéticos indican que el OPO norte alberga una sola población, aunque es posible que haya una presencia estacional a bajo nivel de juveniles de una población más al oeste de Hawái/Japón.

Históricamente, la mayor parte de la captura en el OPO fue tomada por las pesquerías de palangre, que comenzaron a expandirse hacia el OPO a mediados de los años 1950, y para fines de los años 1960 se extendían por toda la región. Con la excepción de unos años a fines de los 1960 y principios de los 1970 en el OPO norte, estas pesquerías no se dirigieron a los peces picudos. El esfuerzo de pesca de los buques palangreros grandes en el OPO norte ha disminuido un 50% desde 2017 (Figura G-1) y se mantiene estable en el OPO sur (Figura G-3), pero la captura de marlín rayado se ha mantenido prácticamente sin cambios desde entonces. En los últimos 20 años, las capturas de la pesca recreacional se han vuelto más importantes, aunque la mayoría de los peces capturados son liberados (Figura I-1). Sin embargo, la tasa de supervivencia de los peces liberados es poco conocida.

La pesquería recreacional ha aumentado su contribución a las capturas anuales totales notificadas de marlín rayado en el OPO, particularmente en el OPO norte, pasando de alrededor del 10% en 1990 al 64% y el 84% en 2007 y 2008, respectivamente. Sin embargo, la escasez de datos notificados desde 2009 significa que probablemente las capturas de marlín rayado en el OPO han sido subestimadas de forma importante desde entonces. Además, parece que las capturas de peces picudos, incluido el marlín rayado, por las pesquerías palangreras artesanales de CPC costeros pueden ser incompletas. Por lo tanto, se ignora la captura total de marlín rayado en el OPO, y por ende el impacto total de la pesca sobre la población desde aproximadamente 2009.

La pesca por buques palangreros artesanales dirigida a los atunes y otras especies en aguas frente a Centroamérica, de la que se dispone de datos limitados, parece haber aumentado, al menos durante la última década. Los patrones variables de zonas de pesca y objetivos de la pesca incrementan las dificultades encontradas al usar datos de pesca en los análisis de la condición y tendencias de la población. Estas dificultades son exacerbadas al analizar especies que no son el blanco principal de la pesquería, y se complican aún más si se ignora la captura total de todas las pesquerías.

Se realizó la última evaluación completa del marlín rayado en el OPO en 2008, usando *Stock Synthesis*, y luego fue actualizada con datos de hasta octubre de 2010 (SAC-01-10). El dominio espacial de la evaluación fue al norte de 10°S, al este de aproximadamente 145°O al norte de la línea ecuatorial, y al este de aproximadamente 165°O al sur de la línea ecuatorial. Los resultados clave son que (1) la población no se encontraba sobrepescada; (2) no estaba ocurriendo sobrepesca; y (3) la biomasa de la población reproductora se encontraba por encima del nivel que produciría el RMS. Más recientemente, la captura anual

media durante 2016-2021 (1,722 t) estuvo alrededor de la mitad del nivel estimado de RMS en 2010. Si el esfuerzo de pesca y las capturas continúan en el nivel de 2010 (2,129 t), se espera que la biomasa de la población siga aumentando en el futuro cercano.

En 2022-2023, el Grupo de Trabajo sobre Peces Picudos (BILLWG) del Comité Científico Internacional para los Atunes y Especies Afines en el Océano Pacífico Norte completó una evaluación completa de la población del Pacífico occidental y central norte (OPOCN) de la especie. Se elaboró un modelo de Stock Synthesis con los mejores parámetros disponibles de ciclo vital y datos de captura, índice de abundancia y composición por talla para el periodo 1977-2020. Los resultados preliminares indicaron que, según el modelo de caso base, era muy probable que la población de marlín rayado del OPOCN estuviera sobrepescada y probablemente sometida a sobrepesca en relación con el punto de referencia dinámico basado en 20%SSBF=0 de 20 años.

Continúan los esfuerzos para obtener datos de capturas fiables de todas las pesquerías. Hasta que los datos estén disponibles y actualizados, y se lleve a cabo una revisión de la condición del marlín rayado en el OPO, se recomienda, como medida precautoria, que no se permita incrementar el esfuerzo de pesca de las pesquerías que capturan la mayor parte de la captura de marlín rayado en el OPO.

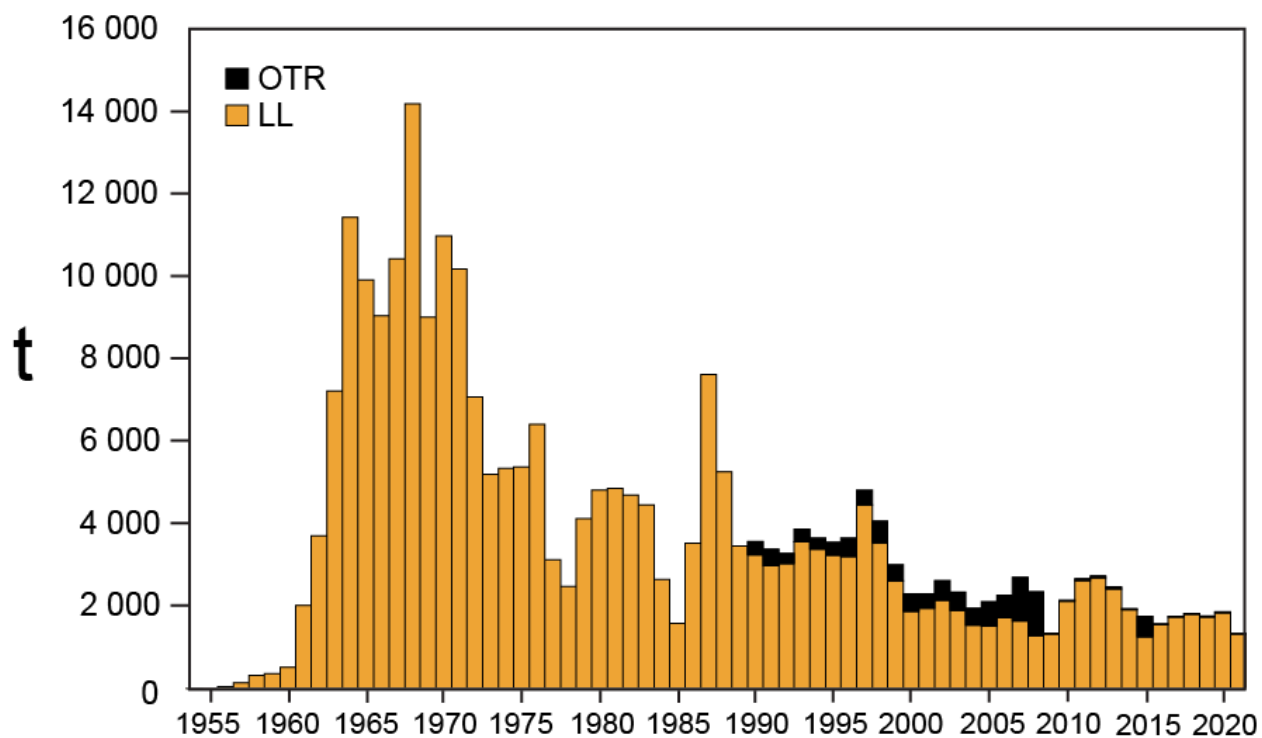


FIGURE I-1. Total reported catches of striped marlin in the North EPO by longline (LL) and other (OTR) fisheries (primarily recreational, 1954–2021). Due to unreported catches by recreational fisheries, estimates for 2009–2021 are minimums.

FIGURA I-1. Capturas totales reportadas de marlín rayado en el OPO Norte por las pesquerías palangreras (LL) y otras (OTR, principalmente recreativas), 1954–2021. Debido a capturas no reportadas por pesquerías recreativas, las estimaciones de 2009–2021 son mínimas.

J. PEZ VELA

La estructura de la población del pez vela (*Istiophorus platypterus*) en el Océano Pacífico es bien conocida. La abundancia de la especie es máxima en aguas relativamente cercanas a los continentes y las masas terrestres indopacíficas que lindan con el Océano Pacífico, y menos frecuente en las aguas de alta mar que los separan. Las poblaciones en el OPO y en el Pacífico occidental son genéticamente distintas.

Los centros de la distribución del pez vela a lo largo del litoral del continente americano cambian en reacción a cambios estacionales de la temperatura del agua en la superficie y en la capa de mezcla. Se encuentra la especie con mayor frecuencia en aguas de más de unos 28°C, y están presentes en aguas tropicales más cercanas a la línea ecuatorial en todos los meses del año. El pez vela es uno de los peces picudos con mayor número de marcas convencionales, lo que se atribuye principalmente a su gran importancia para la pesca deportiva en todo el mundo. Al menos 126,000 peces vela han sido marcados en los cinco programas voluntarios de marcado de peces de pesca deportiva más grandes del mundo, aunque se han recapturado menos de 2,000 peces (1.5%). Los datos complementan la información genética de que parece haber una subestructura de población elevada con peces que a menudo se desplazan a menos de 500 kilómetros de sus lugares de liberación. No obstante, hay varios casos en que los peces vela se han desplazado distancias razonablemente grandes (2,000-3,500 km) en menos de un año, pero estas distancias pueden considerarse pequeñas en comparación con los desplazamientos de otras especies de peces picudos en el OPO.

El desove tiene lugar frente al litoral mexicano durante el verano y otoño, y frente a Costa Rica durante el invierno, y tal vez durante todo el año en áreas con condiciones adecuadas. La proporción de sexos es altamente asimétrica hacia los machos durante el desove. Los cambios conocidos en la proporción de sexos entre las áreas de desove, y las distribuciones espaciotemporales de los índices de gónadas y las distribuciones de frecuencia de talla, que señalan peces más pequeños en alta mar, sugieren que podrían existir patrones dependientes de la madurez en la distribución de la especie en el OPO. El pez vela puede alcanzar una edad de unos 11 años en el OPO.

Las pesquerías principales que capturan pez vela en el OPO incluyen las pesquerías palangreras atuneras a gran escala de China, Corea, Japón, y Taipéi Chino; las pesquerías palangreras de buques más pequeños dirigidas hacia los atunes y otras especies, particularmente aquellas que operan frente o Centroamérica, y las pesquerías artesanales y recreacionales de América Central y del Sur. Son también a veces capturados en las pesquerías de cerco dirigidas a los atunes tropicales, particularmente en regiones más costeras.

La primera evaluación del pez vela en el OPO fue realizada en 2013 ([SAC-04-07c](#)). Los análisis iniciales indicaron que esta población cuenta con la productividad anormalmente baja y una alta biomasa constante, o –más probable– que faltaba una gran cantidad de la captura en los datos compilados para la evaluación. No fue posible estimar satisfactoriamente la captura faltante, por lo que las estimaciones de la condición y las tendencias de la población usando *Stock Synthesis*, el modelo preferido para las evaluaciones, no eran fiables. Por consiguiente, se realizó una evaluación con un modelo de producción excesiva, el cual produjo resultados consistentes con aquellos obtenidos con *Stock Synthesis* y simplificó la ilustración de los problemas en la evaluación.

Resultados clave:

1. No es posible determinar la condición de la población del pez vela en el OPO con respecto a parámetros de ordenación específicos, tal como el rendimiento máximo sostenible (RMS), porque las estimaciones de los parámetros usados para hacer estas determinaciones no pueden ser derivadas de los resultados del modelo.
2. La captura media anual reportada durante 2016-2021 fue 612 t ([Figura J-1](#)), significativamente menos

que el promedio de 1993-2007 de 2,057 t.

3. La abundancia del pez vela mostró una tendencia descendente durante 1994-2009; desde entonces ha sido relativamente constante o ligeramente ascendente ([Figura J-2](#)).
4. Los resultados del modelo de evaluación sugieren que existen cantidades importantes de captura no reportada, y la captura en los años tempranos fue probablemente mayor que aquellas reportadas para 1993-2007. Suponiendo que este nivel de capturas existe desde hace muchos años, no es probable que la condición de la población deteriore si no se incrementa la captura más allá del nivel actual.
5. Se recomienda un enfoque precautorio que no aumente el esfuerzo de pesca dirigido el pez vela, y que dé un seguimiento estrecho a las capturas hasta que se disponga de suficientes datos para realizar una nueva evaluación.
6. No es posible obtener una evaluación fiable del recurso de pez vela en el OPO sin estimaciones fiables de la captura. Se recomienda por lo tanto que:
 - a. se obtengan en todo caso posible datos históricos de captura de pez vela.
 - b. en el caso de las pesquerías que actualmente reportan sus capturas de pez vela mezcladas con otras especies, notifiquen sus capturas por especie.
 - c. se compilen datos existentes de pesquerías a pequeña escala, tales como flotas palangreras locales y pesquerías artesanales y recreativas, y que, en caso necesario, se implementen programas de seguimiento de capturas para identificar las capturas por especie.

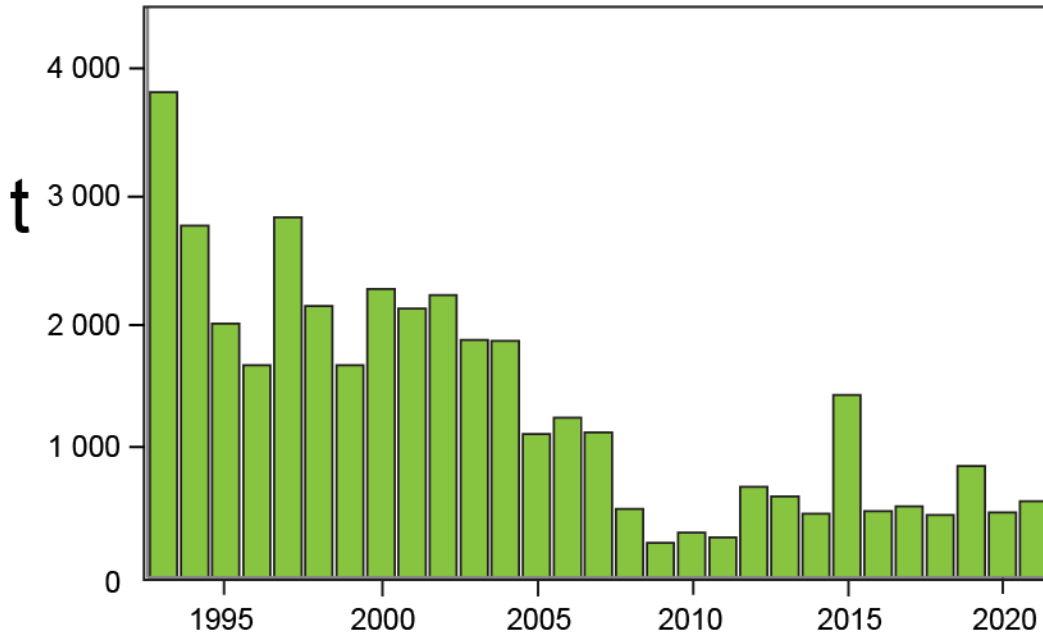


FIGURE J-1. Total reported catches of sailfish in the EPO, 1990–2021. (The actual catches were probably greater.)

FIGURA J-1. Capturas totales reportadas de pez vela en el OPO, 1990–2021. (Las capturas reales fueron probablemente mayores).

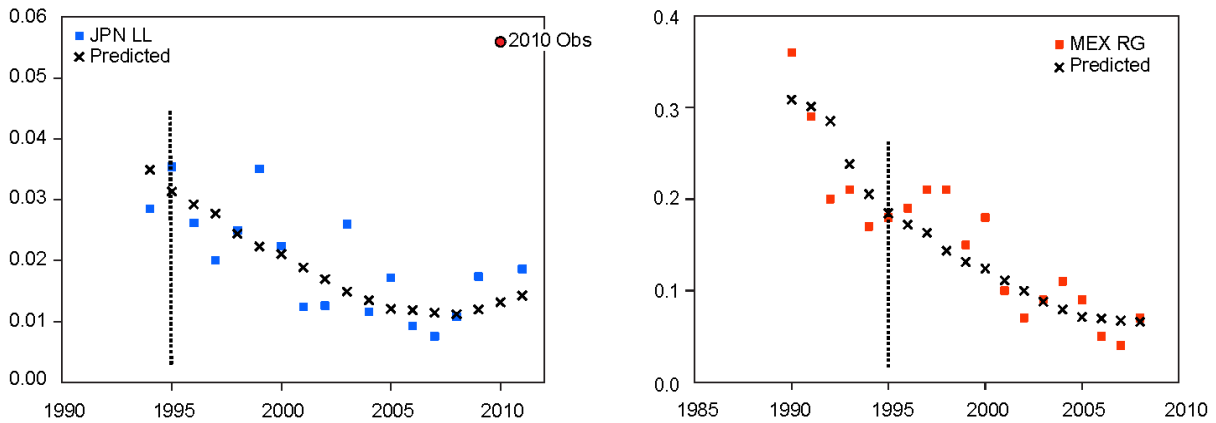


FIGURE J-2. Observed and predicted indices of relative abundance of sailfish in the EPO from Japanese longline (JPN LL) and Mexican recreational (MEX RG) fisheries. The 2010 observation in the JPN LL series was not included in the analyses.

FIGURA J-2. Índices observados y predichos de abundancia relativa del pez vela en el OPO, basados en las pesquerías palangrera japonesa (JPN LL) y recreacional mexicana (MEX RG). No se incluyó en los análisis la observación de 2010 en la serie JPN LL.

K. TIBURONES

Más de 300 especies de tiburones habitan en el Océano Pacífico, de las cuales se ha documentado la captura de al menos 49 especies, ya sea como objetivo o como captura incidental, en las pesquerías pelágicas industriales y costeras de pequeña escala (es decir, "artesanales") del Océano Pacífico oriental (OPO). En general, los tiburones son longevos (viven más de 20 años), de crecimiento lento, maduran tarde en la vida y producen un pequeño número de crías (<10 crías), a menudo cada pocos años, lo que da lugar a preocupaciones de conservación para muchas especies impactadas por la pesca. En reconocimiento de los potenciales impactos negativos de la pesca sobre los tiburones a nivel mundial, muchas especies que interactúan con las pesquerías pelágicas en el OPO están incluidas en la Lista Roja de Especies Amenazadas de la Unión Internacional para la Conservación de la Naturaleza (UICN) y/o en la Convención sobre el Comercio Internacional de Especies Amenazadas de Fauna y Flora Silvestres (CITES). Además, la CIAT ha implementado una serie de medidas de conservación y ordenación (MCO) para los tiburones desde al menos 2005 con el fin de limitar o prohibir su captura, o promover prácticas de manipulación para maximizar su supervivencia posliberación. Por ejemplo, se han aplicado medidas de prohibición de retención para el tiburón punta blanca oceánico en todas las pesquerías atuneras industriales del OPO desde 2011 (resolución [C-11-10](#)) y para el tiburón sedoso en todas las pesquerías de cerco desde 2016 (resolución [C-16-06](#)).

Los tiburones son a menudo capturados incidentalmente en las pesquerías del OPO que pescan atunes y peces picudos y, por lo tanto, la insuficiencia o la falta de fiabilidad de los datos biológicos y de captura disponibles para la mayoría de las especies de tiburones ha obstaculizado el desarrollo de evaluaciones de poblaciones, excepto para un pequeño número de especies económicamente importantes como el tiburón azul y el mako de aleta corta que son evaluados por el ISC como poblaciones contiguas del Pacífico norte. Dadas las deficiencias de datos, pero reconociendo al mismo tiempo la necesidad de demostrar los mandatos de sostenibilidad ecológica en virtud de la Convención de Antigua, la CIAT ha desarrollado un plan de investigación estratégico para utilizar la evaluación de riesgos ecológicos con el fin de identificar las especies vulnerables para su monitoreo, investigación y ordenación, y, cuando sea posible, realizar evaluaciones detalladas de los indicadores o la condición de las poblaciones.

Evaluación de la vulnerabilidad de los tiburones capturados en las pesquerías pelágicas del Pacífico oriental

En 2018, el personal de la CIAT desarrolló un enfoque flexible espacialmente explícito de evaluación de riesgos ecológicos —Evaluación Ecológica del Impacto Sostenible de las Pesquerías (EASI-Fish)— diseñado específicamente para cuantificar los impactos acumulativos de múltiples pesquerías para especies de captura incidental con datos limitados para identificar especies vulnerables y priorizarlas para la recolección de datos, investigación y ordenación. En 2022, la CIAT emprendió la primera evaluación exhaustiva de vulnerabilidad para los tiburones en el OPO usando EASI-Fish (SAC-13-11), que caracterizó su estado de vulnerabilidad para 2019, el año de pesca completo más reciente representativo de los regímenes de esfuerzo de pesca contemporáneos en el OPO antes de que el esfuerzo de pesca y la recolección y provisión de datos fueran impactados significativamente por la pandemia de COVID-19.

Se han registrado un total de 49 especies de tiburones que interactúan con las pesquerías pelágicas industriales (de cerco y de palangre) y artesanales (de palangre y de red agallera) en el OPO, de las cuales 32 fueron evaluadas formalmente usando EASI-Fish. Las estimaciones de un sustituto de la mortalidad por pesca (\bar{F}_{2019}) y la biomasa de la población reproductora por recluta (SBR_{2019}) en 2019 rebasaron los puntos de referencia biológicos ($F_{40\%}$ y $SBR_{40\%}$) para 20 especies, clasificándolas como "más vulnerables" ([Figura K-1](#); SAC-13-11), incluyendo las cornudas (también conocidas como tiburones martillo, 5 especies: *Sphyrna corona*, *S. media*, *S. mokarran*, *S. lewini*, y *S. zygaena*), cazones picudos, tintoreras, nep (10

especies: *Carcharhinus altimus*, *C. brachyurus*, *C. falciformis*, *C. leucas*, *C. limbatus*, *C. longimanus*, *C. plumbeus*, *C. porosus*, *Nasolamia velox*, y *Rhizoprionodon longurio*), zorros (2 especies: *Alopias superciliosus* y *A. pelagicus*), mesopelágicos (3 especies: *Dalatias licha*, *Pseudocarcharias kamoharai*, y *Zameus squamulosus*) y el tiburón azul (*Prionace glauca*) y el mako de aleta corta (*Isurus oxyrinchus*), ambos de importancia comercial. Las 12 especies restantes fueron clasificadas como “menos vulnerables” (9 especies) o “cada vez más vulnerables” (3 especies). Las principales lagunas de conocimiento identificadas fueron la ubicación del esfuerzo de pesca y la captura de tiburones en la pesquería artesanal e información biológica básica de varias especies. En general, las especies más vulnerables fueron *S. zygaena*, *C. falciformis* y *S. lewini*, que casualmente fueron identificadas por la CIAT como una prioridad para las evaluaciones de poblaciones (resolución [C-16-05](#)), mientras que los indicadores de población para el tiburón sedoso se han producido anualmente desde 2014 (ver más adelante). Sin embargo, dada la falta de datos de captura específicos para estas especies, en particular en las pesquerías artesanales, donde se cree que las capturas son más elevadas, está previsto utilizar EASI-Fish como herramienta exploratoria de forma provisional hasta que se mejoren los datos de captura y supervivencia posliberación para simular cambios en las medidas de ordenación existentes, o adicionales, ya sea de forma aislada o en conjunto, para determinar su eficacia para reducir la vulnerabilidad por especie. Este enfoque exploratorio se implementó en 2023, donde se simularon los efectos de 43 medidas de conservación y ordenación diferentes para el tiburón sedoso (*Carcharhinus falciformis*) y tres especies de tiburones martillo: cornuda común (*Sphyrna lewini*), cornuda gigante (*Sphyrna mokarran*) y cornuda cruz (*Sphyrna zygaena*) utilizando EASI-Fish ([SAC-14-12](#)). Esta evaluación mostró que ninguna medida de ordenación por sí sola podía reducir el estado de vulnerabilidad de ninguna especie de un estado "vulnerable" a uno "menos vulnerable". Aunque se predijo que escenarios como las vedas temporales en el OPO, la prohibición de los reinales de acero, la imposición de una longitud total mínima de retención de 100 cm para todos los tiburones, e incluso la prohibición de la descarga de todos los tiburones, reducirían en gran medida la mortalidad en los buques, este efecto positivo sobre la vulnerabilidad se anuló en gran parte debido a la alta mortalidad posliberación de estas especies. Estos resultados evidenciaron que la medida de mitigación más eficaz para estos tiburones es evitar la interacción con las pesquerías del OPO. La evaluación identificó varias deficiencias importantes de datos que necesitan ser abordadas mediante un enfoque estratégico de investigación colaborativa entre la CIAT y sus CPC, incluyendo datos biológicos básicos y datos mejorados de captura y composición por talla y por especie en las pesquerías artesanales y la pesquería palangrera industrial. Abordar estas necesidades de datos no solo ayudará a mejorar las evaluaciones rápidas a corto plazo como EASI-Fish, sino también a desarrollar series de tiempo a más largo plazo necesarias para emprender métodos nuevos y convencionales como el marcado y recaptura por parientes cercanos o evaluaciones de poblaciones convencionales a partir de las cuales se pueda determinar la condición de las poblaciones de estas especies vulnerables.

Indicadores actualizados de la condición de la población del tiburón sedoso en el Océano Pacífico oriental, 1994-2022

Los índices para los tiburones sedosos grandes (> 150 cm longitud total (LT)), basados en datos de la pesquería cerquera sobre objetos flotantes, han sido actualizados hasta 2022 para el OPO norte y sur ([Figura K-2](#); [SAC-14-14](#)). Análisis previos ([SAC-08-08a\(i\)](#), [Lennert-Cody et al., 2019](#)) identificaron una correlación entre los índices del OPO norte, particularmente para los tiburones sedosos pequeños (< 90 cm LT) y medianos (90-150 cm LT), y la variabilidad interanual en las condiciones oceanográficas, y por lo tanto los índices de aquellas categorías de tamaño, y para todos los tiburones sedosos, no fueron actualizados debido a preocupaciones sobre sesgos. Debido a aumentos recientes de las liberaciones de tiburones sedosos vivos, se calcularon dos conjuntos de índices para los tiburones sedosos grandes, uno que incluye los datos de liberación viva y el otro no. Tomados juntos, los dos conjuntos de índices probablemente rodean

la tendencia que hubiera resultado en el OPO norte y sur si hubieran continuado las prácticas de “aleteo”⁹, manipulación de tiburones, y registro de datos sin cambios desde 1994. Se considera que la tendencia real está más cercana al índice basado en liberaciones muertos + vivos porque los tiburones registrados como liberados vivos en los últimos años probablemente hubieran sido registrados como muertos previamente, y por lo tanto la liberación muertos + vivos es probablemente un indicador más consistente. El punto terminal de estos índices sugiere un nivel de abundancia relativamente estable durante más de una década, con los valores de 2022 similares (sur), o ligeramente superiores (norte), al valor de 2021, por lo que no se recomiendan cambios en las medidas de ordenación. Sin embargo, la condición de la población es incierta, y no ha sido posible realizar una evaluación debido a la escasez de datos, especialmente para las flotas palangreras de las naciones costeras, que se cree que tienen el mayor impacto sobre la población ([SAC-05-11a](#), [SAC-14 INF-L](#)). Por lo tanto, el personal de la CIAT reitera su recomendación previa ([SAC-07-06b\(i\)](#), [SAC-07-06b\(iii\)](#), [SAC-08-11](#)) que es crítico mejorar la recolección de datos de pesca de tiburones en el OPO. Esto facilitará el desarrollo de otros indicadores de condición de población y/o evaluaciones convencionales de poblaciones para informar mejor la ordenación del tiburón sedoso y otras especies de tiburones co-ocurrentes.

⁹ Cortar las aletas del tiburón y descartar el resto del animal

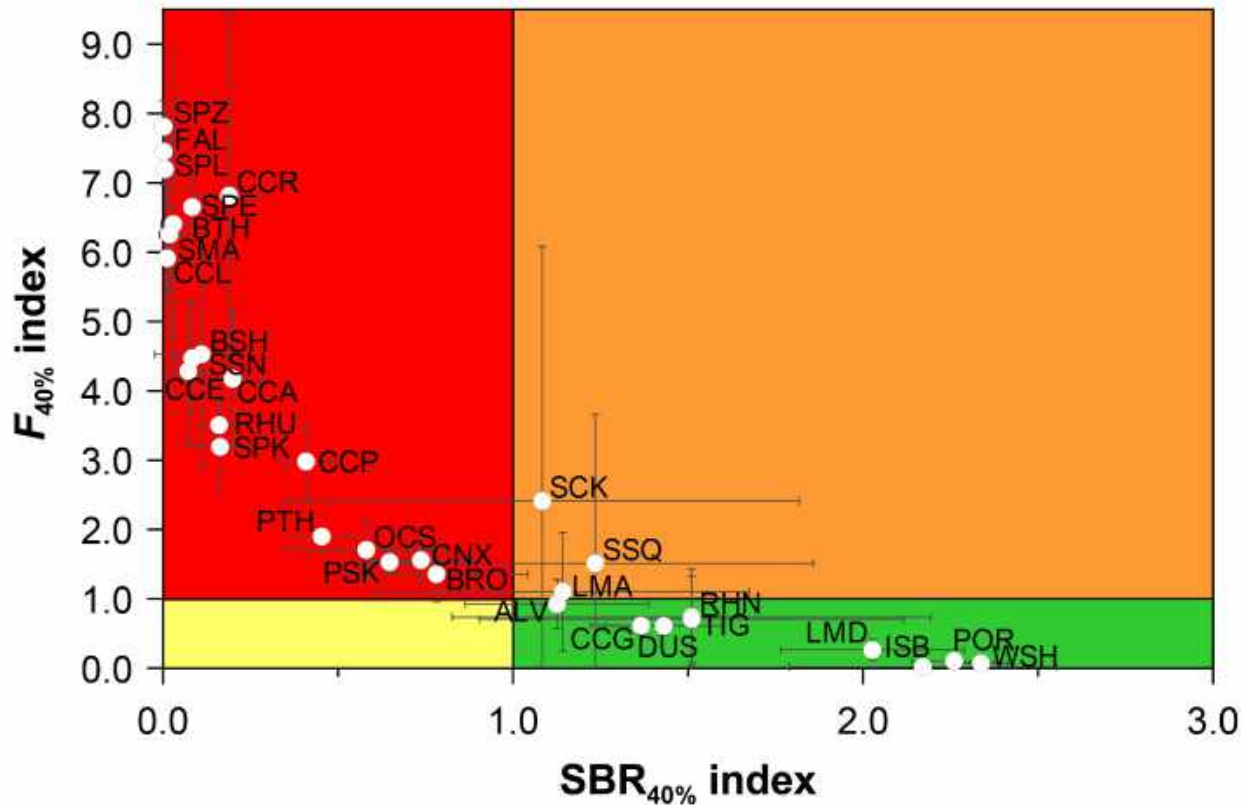


FIGURE K-1. Vulnerability phase plot showing the vulnerability status of 32 shark species caught in eastern Pacific Ocean pelagic fisheries assessed by EASI-Fish represented by mean (\pm standard deviation) estimates the biological reference points $F_{2019}/F_{40\%}$ and $SBR_{2019}/SBR_{40\%}$. Labels adjacent to symbols denote species codes shown Table 6. Vulnerability status values for each species are provided in Table 6.

FIGURA K-1. Gráfica de fase de vulnerabilidad que muestra el estado de vulnerabilidad de 32 especies de tiburones capturadas en las pesquerías pelágicas del Océano Pacífico oriental evaluadas por EASI-Fish, representadas por estimaciones promedio (\pm desviación estándar) de los puntos de referencia biológicos $F_{2019}/F_{40\%}$ y $SBR_{2019}/SBR_{40\%}$. Las etiquetas adyacentes a los símbolos indican los códigos de especie mostrados en la Tabla 6. Los valores del estado de vulnerabilidad de cada especie se presentan en la Tabla 6.

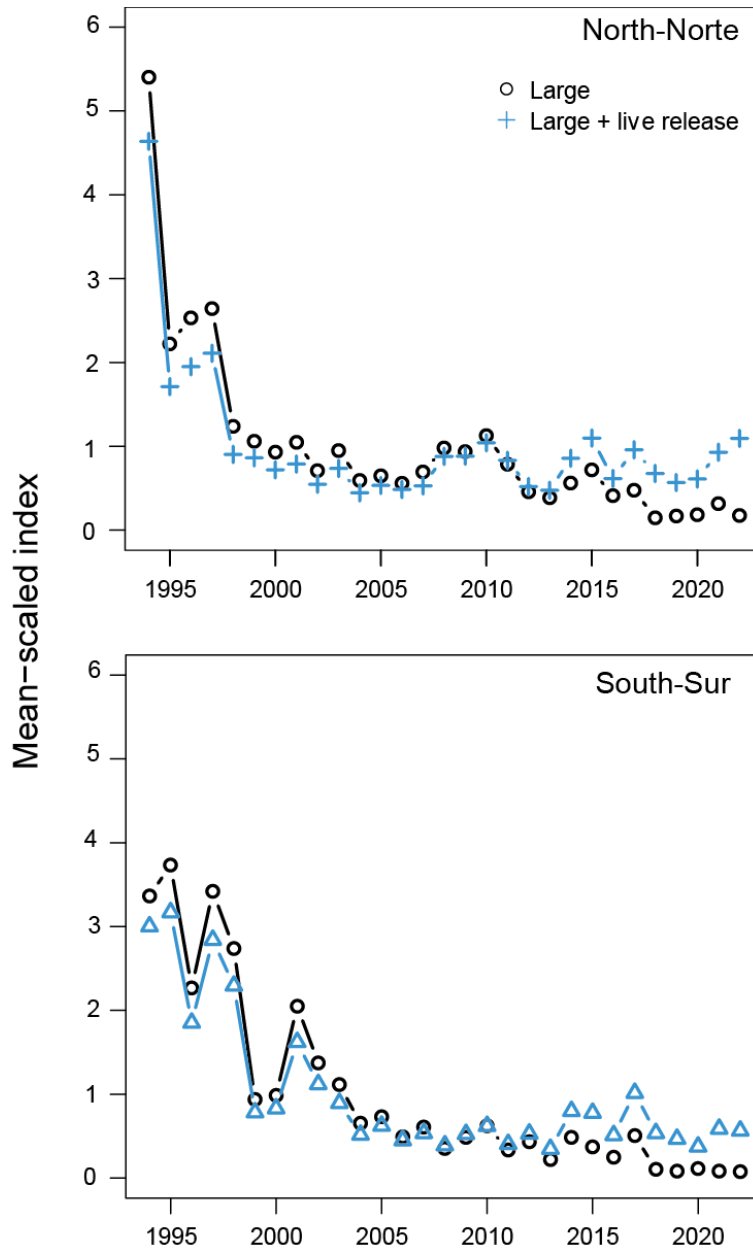


FIGURE K-2. Mean-scaled standardized bycatch-per-set (in numbers of sharks per set) of large silky sharks in sets on floating objects, with and without live release, in the north (top) and south (bottom) EPO. Vertical bars indicate pointwise approximate 95% confidence intervals.

FIGURA K-2. Captura incidental por lance (en número de tiburones por lance) estandarizada de tiburones sedosos grandes en lances sobre objetos flotantes, con y sin liberación en vivo, en el OPO norte (arriba) y sur (abajo). Las barras verticales indican los intervalos de confianza de 95% puntuales aproximados.

L. CONSIDERACIONES ECOSISTÉMICAS

ÍNDICE

1.	Introducción	115
2.	Fuentes de datos	116
2.1.	Cerco	117
2.2.	Palangre.....	118
3.	Interacciones de la pesquería con grupos de especies	120
3.1.	Atunes y peces picudos	120
3.2.	Mamíferos marinos	120
3.3.	Tortugas marinas.....	121
3.4.	Aves marinas	122
3.5.	Tiburones	123
3.6.	Rayas	126
3.7.	Otros peces grandes.....	127
3.8.	Especies de forraje	128
4.	Medio ambiente físico	129
4.1.	Indicadores ambientales	129
4.2.	Exploración espaciotemporal de las condiciones ambientales.....	130
4.3.	Condiciones ambientales y distribución de las capturas	130
5.	Identificación de especies en riesgo	131
6.	Dinámica del ecosistema.....	132
6.1.	Indicadores ecológicos	133
7.	Acontecimientos futuros.....	134
	Agradecimientos.....	136
	Literatura citada	136

1. INTRODUCCIÓN

Durante las dos últimas décadas, el alcance de la ordenación de muchas pesquerías en todo el mundo se ha ampliado para tener en cuenta los efectos de la pesca de especies no objetivo en particular, y del ecosistema en general. Este enfoque ecosistémico de la ordenación pesquera (EEOP) es importante para mantener la integridad y la productividad de los ecosistemas y, al mismo tiempo, aprovechar al máximo la utilización de los recursos pesqueros de importancia comercial, pero también los servicios del ecosistema que proporcionan beneficios sociales, culturales y económicos a la sociedad humana.

El EEOP se formalizó por primera vez en el *Código de Conducta para la Pesca Responsable* de la FAO (1995), que estipula que “los Estados y los usuarios de los recursos acuáticos vivos deberían conservar los ecosistemas acuáticos” y que las “medidas de ordenación deberían asegurar la conservación no sólo de las especies objetivo, sino también de aquellas especies pertenecientes al mismo ecosistema o dependientes de ellas o que están asociadas con ellas”. En 2001, la Declaración de Reikiavik sobre Pesca Responsable en el Ecosistema Marino elaboró esos principios con un compromiso de incorporar un enfoque ecosistémico en la ordenación de la pesca.

La Convención de Antigua de la CIAT, que entró en vigor en 2010, está en consonancia con esos instrumentos y principios. El Artículo VII (f) establece que una de las funciones de la CIAT es “adoptar, en caso necesario, medidas y recomendaciones para la conservación y administración de las especies que pertenecen al mismo ecosistema y que son afectadas por la pesca de especies de peces abarcadas por la presente Convención, o que son dependientes de estas especies o están asociadas con ellas, con miras a

mantener o restablecer las poblaciones de dichas especies por encima de los niveles en que su reproducción pueda verse gravemente amenazada". Anteriormente, el Acuerdo sobre el Programa Internacional para la Conservación de los Delfines (APICD) de 1999 introdujo consideraciones ecosistémicas a la ordenación de las pesquerías atuneras en el OPO. Por consiguiente, durante más de veinte años, la CIAT ha sido consciente de cuestiones ecosistémicas, y ha avanzado hacia un EEOP en muchas de sus decisiones de ordenación (por ejemplo, [SAC-10 INF-B](#); Juan-Jorda et al. 2018). En el marco del Plan Científico Estratégico (PCE), el personal de la CIAT está llevando a cabo investigaciones ecológicas novedosas e innovadoras encaminadas a obtener los datos y desarrollar las herramientas necesarias para aplicar un EEOP en las pesquerías atuneras del OPO. Las actividades actuales y futuras del personal relacionadas con el ecosistema se resumen en el PCE ([IATTC-93-06a](#)) y en el informe de Actividades e Investigación del Personal ([SAC-14-01](#)).

Determinar la sostenibilidad ecológica de las pesquerías atuneras del OPO es un reto importante, dada la amplia gama de especies con diferentes ciclos vitales con las que esas pesquerías interactúan. Si bien se dispone de información relativamente buena sobre las capturas de atunes y peces picudos en toda la pesquería, no ocurre lo mismo con la mayoría de las especies no objetivo (es decir, de captura incidental), especialmente aquellas que son descartadas en el mar o que tienen un bajo valor económico (ver Sección 2 y el [Informe Especial 25 de la CIAT](#)). Además, los procesos ambientales que operan en diversas escalas temporales y espaciales (por ejemplo, El Niño-Oscilación del Sur, la Oscilación Decadal del Pacífico, el calentamiento de los océanos, la anoxia y la acidificación) pueden influir en la abundancia y distribución horizontal y vertical de las especies en distintos grados, lo que a su vez afecta su potencial de interactuar con las pesquerías atuneras.

Se han utilizado puntos de referencia biológicos, basados en estimaciones de la mortalidad por pesca, la biomasa de la población reproductora, el reclutamiento y otros parámetros biológicos, para la ordenación tradicional de especies individuales de las especies objetivo, pero no se dispone de datos fiables de captura y/o biológicos necesarios para determinar esos puntos de referencia, o medidas alternativas de desempeño, para la mayoría de las especies de captura incidental. De manera similar, dada la complejidad de los ecosistemas marinos, no existe un único indicador que pueda representar holísticamente su estructura y dinámica interna y, por lo tanto, pueda usarse para monitorear y detectar los efectos de la pesca y el medio ambiente.

El personal ha presentado un informe de *Consideraciones Ecosistémicas* desde 2003, pero en los últimos años este informe ha ido evolucionando, en cuanto a su contenido, estructura y propósito. Su propósito principal es complementar el informe anual sobre la pesquería ([SAC-14-03](#)) con información sobre las especies no objetivo y sobre el efecto de la pesca en el ecosistema, y describir cómo la investigación del ecosistema puede contribuir al asesoramiento de ordenación y al proceso de toma de decisiones. También describe algunos avances importantes recientes en las investigaciones relacionadas con la evaluación de los impactos ecológicos de la pesca y el medio ambiente en el ecosistema del OPO y sus especies asociadas.

2. FUENTES DE DATOS

En el presente informe, las capturas totales estimadas de especies de captura incidental se obtuvieron de los datos de observadores para la pesquería cerquera de buques grandes¹⁰, las capturas nominales reportadas por la cobertura limitada de observadores a bordo de buques cerqueros pequeños¹¹, y las extracciones anuales brutas de la pesquería palangrera se obtuvieron de los informes sumarios anuales (datos de la TAREA I, ver [SAC-12-09](#), [WSDAT-01-01](#)) remitidos a la CIAT por los CPC. También se incluyen las

¹⁰ Buques cerqueros de clase 6 con una capacidad de acarreo > 363 t

¹¹ Buques con una capacidad de acarreo ≤363 t

capturas mínimas en 2021 reportadas por observadores en buques palangreros como medida provisional hasta que la cobertura por observadores aumente al menos al 20%, lo que podría permitir estimar de forma fiable las capturas anuales totales de algunas especies de captura incidental. Actualmente, la cobertura por observadores de algunos CPC es cercana o inferior al 5% exigido y el personal no la considera representativa de las actividades de sus flotas de palangre (ver la Sección 2.2. más adelante y el documento [BYC-10 INF-D](#)). Además, un error no detectado previamente en los datos de observadores en palangreros remitidos a la CIAT resultó en una notificación excesiva de tiburones y peces grandes publicada en el documento SAC-13-10. Estos valores fueron corregidos en abril de 2023 (ver [SAC-13-10 CORR](#)), y se modificaron los procedimientos de control de calidad de los datos para evitar una posible repetición de este problema. Se dispuso de datos de palangre hasta 2021, ya que la fecha límite para la presentación de datos del año anterior es posterior a la reunión del Comité Científico Asesor (ver resoluciones [C-03-05](#), [C-19-08](#)). Sin embargo, algunos CPC suspendieron sus programas de observadores en palangreros debido a la pandemia de COVID-19 y no se han reanudado hasta la fecha. Por lo tanto, no se dispone de datos para 2021 de estos programas. Se dispuso de datos de la pesquería de cerco hasta 2022, considerándose preliminares los datos de los dos últimos años hasta marzo de 2023. A continuación, se describen detalladamente cada una de las fuentes de datos y las deficiencias de datos asociadas. En los documentos [SAC-07-INF-C\(d\)](#) y [SAC-12-09](#) puede consultarse información adicional sobre los datos de capturas incidentales disponibles por pesquería.

2.1. Cerco

Los datos de la pesquería de cerco se compilan a partir de tres fuentes de datos: 1) datos de observadores de la CIAT y de los Programas Nacionales, 2) datos de las bitácoras de los buques extraídos por el personal de las oficinas regionales de la Comisión en los puertos atuneros de Latinoamérica, y 3) datos de las empresas enlatadoras. Los datos de los observadores de la pesquería de buques grandes (clase 6) son los más completos en cuanto a las especies de captura incidental, ya que el Acuerdo para la Conservación de Delfines de 1992 ([Acuerdo de La Jolla](#)) exige la presencia de un observador en todos los viajes de los buques de clase 6 desde 1993. Recientemente se publicó una perspectiva histórica de la recolección de datos de captura incidental de los programas de observadores, que se describe en el [Informe Especial 25 de la CIAT](#). Los observadores de la CIAT y los diversos Programas Nacionales proveen datos detallados de captura incidental por especie, captura, disposición y esfuerzo para la posición exacta de pesca (es decir, la latitud y longitud del lance cerquero). Tanto los conjuntos de datos de las bitácoras llenadas por los pescadores como los de las enlatadoras contienen datos muy limitados sobre las especies de captura incidental, ya que la notificación está enfocada principalmente en las especies de atún de importancia comercial. Los datos de bitácora, al igual que los datos de observadores, incluyen la posición exacta de pesca, pero se registran datos de esfuerzo limitados con una sola entrada por día, independientemente del número de lances realizados. Los datos de las enlatadoras (o de "descarga") no tienen una posición exacta de pesca sino una región geográfica amplia donde se capturó el pescado (por ejemplo, el Pacífico oriental o el Océano Pacífico occidental). Estos datos contienen especies de captura incidental solo si fueron retenidas en una bodega de un buque cerquero durante la operación de pesca.

Los buques cerqueros más pequeños (clases 1-5) no están obligados sistemáticamente a llevar observadores, excepto en determinadas circunstancias (por ejemplo, con fines de certificación, pesca durante periodos de veda). Las principales fuentes de datos no observados son los registros de las bitácoras, los registros de descarga de las enlatadoras, y el muestreo en puerto realizado por el personal de la oficina regional de la CIAT, que se enfocan todos en especies de atunes. El Formulario Plantados, una bitácora diseñada a finales de 2018 para ser utilizada por los capitanes de embarcaciones pequeñas que pescan sobre plantados, es también una fuente de datos no observados de atunes y grupos de especies sensibles, pero los datos de captura incidental son actualmente de poca utilidad para los fines

de este informe, ya que los datos se agregan en grupos taxonómicos amplios y la calidad de los datos es incierta. Por lo tanto, existe poca información registrada sobre las interacciones con especies de captura incidental por los buques más pequeños. En los últimos años ha aumentado el número de buques pequeños que llevan observadores a bordo. Esto se debe a los requisitos del APICD para la pesca durante los periodos de veda para los buques de cerco de clase 6, el deseo de obtener la certificación de pesquería segura para los delfines (*dolphin safe*), un proyecto piloto de la CIAT en el que se prueba la eficacia de las metodologías de monitoreo electrónico ([SAC-11-10](#)), y un programa voluntario de observadores para buques pequeños establecido en 2018 por el Tuna Conservation Group (TUNACONS), un consorcio de empresas atuneras ecuatorianas. La captura mínima derivada de los datos de observadores reportada por los observadores para las especies de captura incidental por viajes de buques pequeños se incluye en este informe ([Tabla L-8](#)) para proporcionar la información básica disponible actualmente para esta pesquería, con el fin de ampliar los informes sobre esta pesquería a medida que se espera que la provisión de datos mejore en el futuro. En 2022, la mayoría de los viajes (66%) realizados por buques pequeños no fueron observados, el 27% fueron del programa voluntario de observadores de TUNACONS de Ecuador, el 5% del programa nacional de observadores de Ecuador, 2% del programa de observadores de la CIAT y 1% del programa nacional de observadores de Colombia.

Por lo tanto, en el presente informe nos enfocamos principalmente en el conjunto completo de datos de observadores en buques cerqueros grandes para proporcionar estimaciones de captura de especies de captura incidental. Se usan los datos de captura incidental provistos por los observadores para estimar las capturas totales, por tipo de lance (es decir, objetos flotantes (OBJ), atunes no asociados (NOA), y delfines (DEL)). En la Tabla A-7 del documento [SAC-14-03](#) se muestra el número de lances de cada tipo realizados en el OPO durante 2007-2022.

A pesar del requerimiento de observadores en todos los viajes de buques de clase 6, se sabe que se han realizado algunos lances, con base en las bitácoras y otras fuentes, pero no fueron observados. Por ejemplo, al comienzo de la recolección de datos de captura incidental en 1993, se observó alrededor del 46% de los lances, aumentando a 70% en 1994. De 1994 a 2008, el porcentaje promedio de lances observados fue de alrededor 80%. A partir de 2009, se observó casi el 100% de los lances. Se extrapolan¹² los datos de captura por día tanto para las especies objetivo como para las no objetivo de captura incidental para tener en cuenta estos casos.

2.2. Palangre

La considerable variabilidad en los formatos de notificación de datos de palangre ha dificultado la capacidad del personal de estimar las capturas de especies de captura incidental en el OPO entero ([SAC-08-07b](#), [SAC-08-07d](#), [SAC-08-07e](#), [BYC-10 INF-D](#)). Los datos de captura incidental de las pesquerías de palangre aquí reportados fueron obtenidos usando datos de extracciones anuales brutas estimados por cada CPC y notificados a la CIAT en forma resumida anualmente (es decir, los datos denominados de “TAREA I”). Debido a que existe

¹² Los datos observados se agrupan por especie, año, bandera y tipo de lance. El número de lances no observados conocidos se obtiene de las bitácoras y otras fuentes. Además, hay viajes conocidos en el OPO de los cuales el personal no sabe el número y tipo de lances realizados. Por lo tanto, se calcula la captura incidental por día conocida a partir de los datos de observadores por especie, año, bandera y tipo de lance, y se aplica al número de días en el mar de cada viaje para estimar la captura incidental. En algunos casos, es posible que haya lances no observados o datos de días en el mar por una bandera que no tengan datos de observadores equivalentes para ese año para facilitar una estimación fiable de la captura. Para estos viajes se usan datos anuales de una bandera sustituta. La bandera sustituta se determina mediante los 5 viajes subsiguientes realizados por el buque en los que hubo un observador a bordo, y adoptando como bandera sustituta la bandera predominante usada en esos viajes. Luego se aplica la captura incidental por lance o día de la bandera sustituta conocida para el año en cuestión a los datos de la bandera no representada.

incertidumbre en cuanto a si la CIAT está recibiendo todos los datos de captura incidental de la pesquería palangrera de cada CPC y se ha observado una variabilidad considerable en los datos notificados por grupo taxonómico, estos datos son considerados incompletos, o "datos de muestra", y por lo tanto son considerados como estimaciones mínimas de captura anual reportada para 1993-2021. Se está llevando a cabo una colaboración por todo el personal para actualizar la resolución [C-03-05](#) sobre provisión de datos a fin de mejorar la calidad de la recolección, notificación y análisis de datos para alinearlos con las responsabilidades de la CIAT establecidas en la Convención de Antigua y el PCE ([SAC-12-09](#)). Un objetivo preliminar de este trabajo es iniciar una serie de talleres colaborativos entre el personal y los CPC para evaluar la viabilidad de recolectar los tipos de datos deseables y desarrollar plantillas de recolección de datos para cada tipo de arte, con estándares y procedimientos claros para la remisión de datos que incluyan explícitamente las interacciones con las especies de captura incidental. El primer taller de la serie, centrado en la pesquería de palangre industrial, se celebró por videoconferencia el 9 y 10 de enero de 2023 y contó con casi 100 participantes. El personal preparó un documento de antecedentes que detalla la necesidad de mejorar los datos de palangre, junto con ejemplos de casos y recomendaciones del personal ([WSDAT-01-01](#)); durante el taller, se discutieron una serie de presentaciones sobre este documento, así como una presentación de un orador invitado. Las recomendaciones del personal para actualizar la resolución C-03-05, relativas a los datos de palangre industrial, fueron revisadas más a fondo con base en las aportaciones de los participantes del taller y las consultas con los CPC individuales (ver [SAC-14-14](#) y [SAC-14 INF-Q](#)). El informe de la reunión está también disponible en el sitio web de la CIAT ([WSDAT-01-RPT](#)).

Como parte del proceso de revisión de datos para recopilar información sobre los datos notificados a la CIAT en virtud de la resolución C-03-05, el personal pudo determinar que las capturas de tiburones con palangre, notificadas por los CPC, eran varias veces superiores a las capturas anteriormente notificadas para la pesquería palangrera. Una revisión de los datos reveló que una alta proporción de las capturas de tiburones se asignaba a "otras artes" en los [informes anuales de la situación de la pesquería](#) desde 2006, pero que en realidad se capturaron con palangre por CPC costeros. Por lo tanto, la transferencia resultante de los datos de captura de "otras artes" a "palangre" incrementó significativamente las capturas palangreras de tiburones a partir de 2006 (ver Tabla A2c en [SAC-11-03](#)).

La notificación de datos de observadores en palangreros para los buques >20 m ha mejorado desde que la resolución [C-19-08](#) fue adoptada en 2019, que actualizó la medida anterior de observadores en palangreros, la resolución C-11-08. El personal ha recibido datos operacionales de observadores detallados por lance individual para varios CPC, aunque el nivel de cobertura por observadores alcanzado por algunos CPC ha sido inferior a la cobertura obligatoria del 5% del esfuerzo, medido ya sea como número total de anzuelos o "días efectivos de pesca" (ver [SAC-14 INF-B](#)). Esto se vio exacerbado por las dificultades que tuvieron muchos CPC para asignar observadores durante la pandemia de COVID-19, que siguió afectando al menos a un programa de observadores en palangreros en 2022. Y aunque persisten algunos desafíos para cumplir con el requisito del 5%, el personal de la CIAT, el Grupo de Trabajo sobre Ecosistema y Captura Incidental ([EB-01](#)), anteriormente conocido como el Grupo de Trabajo sobre Captura Incidental, y el Comité Científico Asesor han recomendado que el requisito de cobertura por observadores en palangreros se incremente al menos al 20%. El personal de la CIAT discute la insuficiencia de la cobertura del 5%, así como preocupaciones sobre si la cobertura por observadores existente es representativa de las actividades de las flotas palangreras en el OPO, en el documento [BYC-10 INF-D](#). Aunque los CPC han hecho un gran esfuerzo para mejorar su notificación de los datos de observadores en palangreros, los resultados del análisis demostraron que una cobertura por observadores del 5% es insuficiente para estimar la captura total de los atunes aleta amarilla y patudo, relativamente ricos en datos, por lo que es probable que las estimaciones de captura de las especies de captura incidental sean menos fiables, dado que se dispone de menos datos para dichas especies. Además, la pandemia de COVID-19 obstaculizó en algunos casos el progreso en la notificación de datos de observadores en palangreros. Los retos para la asignación

de observadores y la notificación de los datos de observadores implican necesariamente que los conjuntos de datos presentados en este informe se facilitan en aras de la transparencia y se muestran solo las estimaciones mínimas de interacciones y mortalidades indicadas por los datos proporcionados a la CIAT. El personal de la CIAT procurará proveer estimaciones a nivel de flota de las capturas de palangre en el OPO basadas en datos de observadores en el futuro, pero los resultados de los análisis mencionados destacan una clara necesidad de mejorar la notificación de datos de las especies de captura incidental (ver [SAC-12-09](#), [WSDAT-01-01](#)) antes de los intentos de expansión de datos.

3. INTERACCIONES DE LA PESQUERÍA CON GRUPOS DE ESPECIES

3.1. Atunes y peces picudos

En el documento [SAC-14-03](#) se presentan datos sobre las capturas de las principales especies de atunes y bonitos de los géneros *Thunnus*, *Katsuwonis*, *Euthynnus* y *Sarda*, y de los peces picudos de las familias Istiophoridae y Xiphiidae. En el documento [SAC-14 INF-D](#) se presenta una investigación sobre los efectos de la pandemia de COVID-19 en las capturas de atunes tropicales. El personal ha desarrollado [evaluaciones](#) y/o indicadores de condición de población (SSI, de *stock status indicators*) para los atunes tropicales ([SAC-14-04](#)), análisis exploratorios para el patudo ([SAC-14-05](#)) y el aleta amarilla ([SAC-14-06](#)), una evaluación del barrilete ([SAC-14-08](#)), puntos de referencia objetivo y límite propuestos para el barrilete ([SAC-14-09](#)), y un índice de abundancia independiente de la pesca para el barrilete usando datos de boyas con ecosonda para la pesquería OBJ ([FAD-06-03](#), [FAD-07-03](#)), que se incluyó en la evaluación provisional del barrilete ([SAC-13-07](#)). El personal también ha colaborado en las evaluaciones de los atunes [aleta azul del Pacífico](#) y [albacora](#) dirigidas por el Comité Científico Internacional para los Atunes y Especies Afines en el Océano Pacífico Norte (ISC), la evaluación del [atún albacora del Pacífico sur](#) dirigida por la Comisión de Pesca del Pacífico Occidental y Central (WCPFC), y colaboró en las evaluaciones del ISC para el [pez espada](#) del Pacífico norte (2018), [marlín azul](#) (2021), [marlín rayado](#) (2019) y marrajo dientuso (2022-2023). En el documento [SAC-14-15](#) se presenta una evaluación de referencia del pez espada del OPO sur.

3.2. Mamíferos marinos

Mamíferos marinos, especialmente los delfines manchado (*Stenella attenuata*), tornillo (*S. longirostris*) y común (*Delphinus delphis*) están a menudo asociados a atunes aleta amarilla en el OPO. Los pescadores de cerco comúnmente lanzan la red alrededor de manadas de delfines y los atunes aleta amarilla asociados, y después liberan los delfines mientras retienen los atunes. La mortalidad incidental de delfines fue alta durante los primeros años de la pesquería, pero disminuyó drásticamente a principios de la década de 1990, y se ha mantenido en niveles bajos desde entonces ([AIDCP-43-02](#); [Figura L-1](#)). El personal de la CIAT está colaborando en dos proyectos de investigación sobre delfines enfocados en mejorar los conocimientos actuales de los impactos potenciales de la pesquería atunera sobre las poblaciones de delfines ([SAC-14 INF-K](#)), incluyendo un estudio de separación madre-cría y un estudio de abundancia.

En la [Tabla L-1a](#) se presentan estimaciones de la mortalidad incidental de delfines en la pesquería cerquera de buques grandes durante 1993-2022. En 2022, la población de delfines con la mortalidad incidental más alta fue la de tornillo panza blanca ($n=300$), seguida por los delfines tornillo oriental ($n=271$), manchado occidental-sureño ($n=197$), y manchado nororiental ($n=147$). Los delfines comunes fueron los menos afectados por la pesquería, con mortalidades de 2 delfines comunes centrales, 20 sureños y 23 norteños. El personal tiene previsto analizar los datos disponibles sobre las interacciones con mamíferos marinos notificados y observados para las pesquerías de cerco en un futuro próximo.

En los últimos años se han realizado mejoras significativas a los estándares mínimos de datos de observadores de palangre remitidos a la CIAT, que ahora requieren la presentación de datos operacionales en virtud de la resolución [C-19-08](#). Sin embargo, tal y como se discute en la Sección 2.2, el bajo nivel de cobertura por observadores (al menos 5%) que se exige actualmente para estos buques no es

representativo de los distintos componentes de la flota y dificulta la extrapolación de los datos observados para generar los totales de la flota (ver [BYC-10 INF-D](#)). Por el momento, solo se presenta el número mínimo de interacciones y mortalidades observadas de mamíferos marinos reportadas para 2021 ([Tabla L-1b](#)). Las interacciones y mortalidades se definieron por la clasificación subjetiva del destino (herido, liberado o no reportado) y la condición de liberación (vivo y sano o no reportada) según lo registrado por los observadores. Las disposiciones no reportadas se asumieron, de manera precautoria, como mortalidades. Bajo estos supuestos, los 11 mamíferos marinos reportados por los observadores en 2021 fueron considerados muertos. El personal reitera que el nivel de cobertura por observadores debe aumentar al menos al 20% recomendado para facilitar la expansión del número de interacciones y mortalidades a la totalidad de las actividades de la flota para los mamíferos marinos y otras especies de captura incidental vulnerables.

3.3. Tortugas marinas

Las tortugas marinas son capturadas ocasionalmente en la pesquería cerquera en el OPO, generalmente cuando se asocian a objetos flotantes que se cercan, aunque a veces son capturadas por casualidad en lances sobre atunes no asociados o atunes asociados a delfines. También pueden enredarse en la malla de los dispositivos agregadores de peces (plantados) u otros objetos flotantes ([FAD-07-04](#)) y ahogarse, o resultar heridas o muertas a causa de las artes de pesca.

El número estimado de mortalidades e interacciones de tortugas marinas registradas por observadores en buques de cerco grandes, por tipo de lance, de 1993-2022, se muestra en la [Figura L-2 a y b](#), respectivamente. Las interacciones se definieron a partir de la información de los observadores registrada como destino en el formulario de tortugas como: enredadas, liberadas ilesas, heridas leves, escapadas de la red, observadas pero no involucradas en el lance y otras/desconocidas; las mortalidades se definieron como los destinos registrados como: heridas graves, muerta, o consumida. La tortuga golfina (*Lepidochelys olivacea*) es, por mucho, la especie de tortuga marina capturada más frecuentemente, con un total de 21,850 interacciones y 951 mortalidades (~4%) durante 1993-2022, pero solo 168 interacciones, y ninguna mortalidad, ocurrieron en 2022 ([Tabla L-2a](#)). En 2022, hubo 44 interacciones registradas con tortugas verdes del Pacífico oriental, 28 con caguamas, 11 con carey, 4 con laúd y 116 con tortugas no identificadas y no hubo mortalidades.

En la pesquería palangrera, las tortugas marinas son capturadas cuando se tragan un anzuelo cebado, se enganchan accidentalmente o se ahogan después de quedar enredadas en la línea principal, las líneas de flotación o las brazoladas y no pueden subir a la superficie para respirar. También son capturadas en pesquerías costeras pelágicas y de redes agalleras de fondo, donde quedan enredadas en la red o enmalladas en las líneas de flotación o en la relinga superior. Aunque se dispone de muy pocos datos sobre la mortalidad incidental de tortugas por la pesca con palangre y redes agalleras, es probable que las tasas de mortalidad en la pesquería palangrera industrial del OPO sean mínimas en los lances "profundos" (alrededor de 200-300 m) dirigidos al atún patudo y al albacora, y máximas en los lances "someros" (<150 m) dirigidos al pez espada. También existe una flota importante de flotas artesanales palangreras y de redes agalleras de naciones costeras que se sabe que capturan tortugas marinas, pero se dispone de datos limitados (ver [BYC-11-02](#)).

No se ha dispuesto de datos sobre las interacciones y mortalidades de las tortugas marinas en la pesquería de palangre ([SAC-08-07b](#)), aunque empiezan a mejorar con la remisión de datos operacionales de observadores desde 2019, de conformidad con la resolución [C-19-08](#). Teniendo en cuenta que la cobertura por observadores en la mayoría de los buques de palangre es de 5% o menos (ver [BYC-10 INF-D](#)), comparado con el 100% de los viajes observados en la pesquería cerquera de buques grandes, los datos de observadores provistos por los CPC para 2021 son considerados números mínimos de interacciones y mortalidades ([Tabla L-2b](#)) que han sido notificados a la CIAT (ver Sección 2.2). Aquí las

interacciones y mortalidades se definieron por destino (descartada, herida, heridas graves, liberada, liberada con anzuelo o no reportado) y/o la condición de liberación (viva y sana, viva y herida, muerta, desconocida o no reportada) según lo registrado por los observadores. En 2021 solo se registraron 8 interacciones con tortugas marinas (5 tortugas golfinas y 3 caguamas), y todas ellas resultaron en mortalidades. El personal espera usar las nuevas remisiones de datos operacionales de observadores requeridas en virtud de la resolución [C-19-08](#) para reportar la primera estimación de captura total de la flota palangrera de especies de tortugas marinas en el futuro, aunque en el documento [BYC-10 INF-D](#) se advierte que la actual cobertura por observadores del 5% es insuficiente para producir estimaciones fiables de la captura total.

Varias resoluciones de la CIAT, más recientemente la [C-19-04](#), han tenido como objetivo mitigar los impactos de la pesca en las tortugas marinas y establecer procedimientos seguros de manipulación y liberación de las tortugas marinas capturadas con redes de cerco y palangre. Además, antes de la 13ª reunión del CCA se celebró un taller sobre anzuelos circulares para discutir a) los efectos de diferentes tamaños de anzuelos circulares en la mitigación de la captura incidental de tortugas marinas y otras especies vulnerables en la pesquería de palangre y b) el tamaño mínimo de anzuelo para satisfacer los requisitos establecidos en la resolución [C-19-04](#). Los participantes del taller discutieron sobre el uso de diferentes anzuelos circulares en las pesquerías de palangre para satisfacer la resolución [C-19-04](#), con una anchura mínima del anzuelo definida en función de la pesquería y de la especie objetivo. Sin embargo, no se formularon conclusiones ni recomendaciones definitivas ([WSHKS-01](#)), aunque las discusiones sobre este tema se reanudaron durante la 11ª reunión del Grupo de Trabajo sobre Captura Incidental en mayo de 2022 y continuaron durante la 1ª reunión del Grupo de Trabajo sobre Ecosistema y Captura Incidental en mayo de 2023, con la recomendación de celebrar un taller de seguimiento ([EB-01](#)).

Se realizó una evaluación preliminar de la vulnerabilidad de la población de tortugas laúd del Pacífico oriental en 2018 en colaboración con la Convención Interamericana para la Protección y Conservación de las Tortugas Marinas (CIT), usando el enfoque de Evaluación Ecológica del Impacto Sostenible de las Pesquerías (EASI-Fish) (ver Sección 5) ([BYC-10 INF-B](#)). Se determinó que el estado de vulnerabilidad de la población era "más vulnerable" en 2018. El personal continuó colaborando con la CIT en 2020-2023 para mejorar el modelo de distribución de la especie ([BYC-11-01](#)) y la evaluación de su vulnerabilidad utilizando datos de pesca actualizados de CPC costeros ([BYC-11-02](#)). La evaluación final mostró que el estado de vulnerabilidad de la población se mantuvo en "más vulnerable" en 2019. El modelado de 70 escenarios de ordenación mostró que la implementación de mejores prácticas de manipulación y liberación por parte de las flotas industriales y artesanales, o el uso de anzuelos circulares, o el uso de cebo de pescado por las flotas palangreras podrían reducir la mortalidad posliberación y/o en el buque a tal grado que el estado de vulnerabilidad de la población podría mejorar a "menos vulnerable", siempre que no aumenten los niveles de esfuerzo de pesca de todas las pesquerías del OPO. Se predijo que el uso de estas tres medidas en conjunto reduciría aún más la vulnerabilidad. Los resultados detallados de este trabajo se presentaron en 2022 en la reunión del Grupo de Trabajo sobre Captura Incidental ([BYC-11-01](#), [BYC-11-02](#)) y en el Grupo de Trabajo sobre Ecosistema y Captura Incidental de la CICA en mayo de 2023 como ejemplo de colaboración exitosa entre organizaciones.

3.4. Aves marinas

Existen aproximadamente 100 especies de aves marinas en el OPO tropical. Algunas de ellas se asocian a depredadores epipelágicos, como peces (especialmente atunes) y mamíferos marinos, cerca de la superficie del océano; para algunas, las oportunidades de alimentación dependen de la presencia de cardúmenes de atunes que se alimentan cerca de la superficie. Algunas aves marinas, especialmente los albatros y petreles son capturados en anzuelos cebados en las pesquerías palangreras pelágicas.

La CIAT ha adoptado una resolución sobre aves marinas ([C-11-02](#)); además, el Acuerdo sobre la

Conservación de Albatros y Petreles (ACAP) y BirdLife International han actualizado sus mapas de las distribuciones de aves marinas en el OPO, y han recomendado directrices sobre la identificación, notificación, manipulación y medidas de mitigación para aves marinas ([SAC-05 INF-E](#), [SAC-07-INF-C\(d\)](#), [SAC-08-INF-D\(a\)](#), [SAC-08-INF-D\(b\)](#), [BYC-08 INF J\(b\)](#)). Adicionalmente, el ACAP ha informado sobre la condición de conservación de los albatros y los petreles grandes ([SAC-08-INF-D\(c\)](#); [BYC-08 INF J\(a\)](#)). El ACAP también ha informado sobre las [directrices](#) relativas a los sistemas de monitoreo electrónico de pesquerías. Los participantes del taller sobre anzuelos circulares, celebrado en marzo de 2022 ([WSHKS-01](#)), discutieron la influencia de los anzuelos circulares en la captura y mortalidad de las aves marinas. Los datos disponibles no parecen ser concluyentes para comentar sobre el valor de conservación de los anzuelos circulares en comparación con otras formas o tamaños de anzuelos para las aves marinas dada la falta de estudios empíricos. En mayo de 2023, el Grupo de Trabajo sobre Ecosistema y Captura Incidental recomendó el desarrollo de un plan de acción para la captura incidental de aves marinas, incluyendo una actualización de la resolución C-11-02 ([EB-01](#)).

Al igual que en el caso de las tortugas marinas, no se ha dispuesto de datos sobre las interacciones y mortalidades de las aves marinas en la pesquería de palangre ([SAC-08-07b](#)), pero con la remisión de datos operacionales de observadores en palangreros de >20 m en 2019 se dispone de algunas estimaciones mínimas de 2021 para la presentación de informes ([Tabla L-3](#)) (ver Sección 2.2. para obtener información sobre las incertidumbres y las deficiencias de los datos notificados)

Los datos de observadores remitidos por los CPC para 2021 contenían 340 interacciones con aves marinas, todas registradas como “descartadas” o presuntamente muertas de manera precautoria debido a datos incompletos de disposición. Con estos datos limitados, la pardela gorgiblanca, *Procellaria aequinoctialis*, fue el ave que más interactuó con las artes (n=63, 19% de todas las interacciones), seguida por el albatros errante, *Diomedea exulans* (n=58; 17%), y el albatros ceja negra, *Thalassarche melanophrys* (n=53; 16%). El personal espera reportar la primera estimación de captura total de la flota palangrera de especies de aves marinas en el futuro usando los datos operacionales de observadores a medida que continúe la mejora en la recolección de datos; ver el documento [BYC-10 INF-D](#) para consultar una discusión sobre las deficiencias actuales de los datos de observadores de palangre para ampliar los datos a las actividades de la flota palangrera a fin de proporcionar estimaciones de la captura total.

3.5. Tiburones

Se capturan tiburones como captura incidental en las pesquerías atuneras cerqueras del OPO y ya sea como captura incidental u objetivo en las pesquerías palangreras, multiespecíficas y de múltiples artes de las naciones costeras.

Se dispone de evaluaciones o indicadores de condición (SSI, de *stock status indicators*) de las poblaciones de solo cuatro especies de tiburones en el OPO: sedoso (*Carcharhinus falciformis*) (Lennert-Cody *et al.* 2018; [BYC-10 INF-A](#), [BYC-11 INF-B](#)), azul (*Prionace glauca*) ([Grupo de Trabajo sobre Tiburones del ISC](#)), marrajo dientuso (*Isurus oxyrinchus*) ([Grupo de Trabajo sobre Tiburones del ISC](#)) y zorro (*Alopias vulpinus*) (NMFS). Como parte del [Proyecto Océanos Comunes de la FAO](#), en 2017 se finalizaron evaluaciones a escala del Pacífico entero del tiburón marrajo sardinero (*Lamna nasus*) en el hemisferio sur (Clarke 2017), y del tiburón zorro ojón (*Alopias superciliosus*) (Fu *et al.* 2018), mientras que la del tiburón sedoso (Clarke 2018a) y una evaluación de riesgo para la población del tiburón ballena del Indo-Pacífico (Clarke 2018b) se completaron en 2018. Las interacciones del tiburón ballena con la pesquería atunera de cerco en el OPO se resumen en el Documento [BYC-08 INF-A](#). Se desconocen los impactos de las pesquerías atuneras sobre las poblaciones de otras especies de tiburones, no mencionadas anteriormente, en el OPO.

La primera evaluación cuantitativa de la vulnerabilidad de los tiburones en las pesquerías industriales y

artesanales del OPO, usando la metodología EASI-Fish (Sección 5), fue completada en 2022 y se presentó en la 13ª reunión del CCA ([SAC-13-11](#)). En resumen, se registraron un total de 49 especies de tiburones que interactúan con las pesquerías atuneras del OPO, de las cuales 32 especies fueron evaluadas formalmente usando EASI-Fish para 2019. En general, 20 especies se clasificaron como "más vulnerables", incluidos los tiburones martillo (4 especies), cazones (10 especies), zorros (*Alopias superciliosus* y *A. pelagicus*), mesopelágicos (3 especies) y el tiburón azul (*Prionace glauca*) y el marrajo dientuso (*Isurus oxyrinchus*), ambos de importancia comercial. Las 12 especies restantes se clasificaron como "menos vulnerables" (9 especies) o "cada vez más vulnerables" (3 especies). El informe recomendó más análisis para explorar una gama de posibles medidas de conservación y ordenación (MCO) hipotéticas que podrían implementarse, de forma aislada o combinada, en el OPO para reducir los impactos de la pesca sobre las especies de tiburones particularmente vulnerables identificadas, incluidos los tiburones sedoso, zorro y martillo. El enfoque EASI-Fish se aplicó al tiburón sedoso y los tiburones martillo durante 2022-2023 para determinar los beneficios relativos de escenarios alternativos de ordenación sobre la vulnerabilidad de las especies ([SAC-14-12](#)).

En la [Tabla L-4a](#) se muestran las capturas (t) de tiburones en las pesquerías cerqueras de buques grandes (1993-2022) y las estimaciones mínimas de captura reportada¹³ por las pesquerías palangreras (1993-2021), mientras que en la [Figura L-3a](#) se muestran las capturas de las especies capturadas con más frecuencia, que se discuten a continuación. La notificación de muchas especies de tiburones por palangreros comenzó en 2006 (ver Sección 2 para conocer las deficiencias de los datos, incluida la alta variabilidad de este conjunto de datos). La mayoría de las capturas de tiburones proceden de lances sobre objetos flotantes. El tiburón sedoso (familia Carcharhinidae) es la especie de tiburón más comúnmente capturada en la pesquería de cerco, con capturas anuales que promedian las 557 t (principalmente de lances sobre objetos flotantes ([Figura L-3a](#))) y que fueron 645 t en 2022. En cambio, la captura anual mínima reportada en los datos de muestra de palangre para 2006-2021 promedió 10,683 t, mientras que solo 12 t fueron reportadas en 2021. La captura anual de tiburón oceánico punta blanca (Carcharhinidae) en la pesquería de cerco promedió 56 t (también principalmente de lances sobre objetos flotantes) y fue de 12 t en 2022. La captura anual mínima reportada en la pesquería de palangre entre 2006 y 2018 alcanzó un promedio de 165 t y no se reportó ninguna en 2019-2021. Las capturas de tiburón oceánico punta blanca han disminuido en la pesquería de cerco desde principios de la década de 2000, mientras que las capturas mínimas reportadas han sido variables en la pesquería de palangre ([Figura L-3](#)). La captura mínima anual reportada de tiburón azul en la pesquería de palangre de 1993-2021 promedió 6,220 t y fue de 8,323 t en 2021. En cambio, la captura anual en la pesquería de cerco promedió solo 2 t, con 1 t capturada en 2022. Las anomalías en la notificación de datos de palangre están probablemente relacionadas con la pandemia de COVID-19, aunque es importante señalar que la notificación de datos de captura incidental no es obligatoria según la resolución de provisión de datos ([C-03-05](#)) y el correspondiente memorándum de directrices técnicas (ver [SAC-12-09](#), [WSDAT-01-01](#)), lo que contribuye a la variabilidad.

Otras especies importantes de tiburones capturadas en las pesquerías de cerco y palangre son los tiburones cornuda cruz (*Sphyrna zygaena*), zorro pelágico (*Alopias pelagicus*) y marrajos (*Isurus* spp.) ([Tabla L-4a](#), [Figura L-3a](#)). Las estimaciones de captura del tiburón cornuda cruz en la pesquería cerquera promediaron 26 t (principalmente capturados en lances sobre objetos flotantes) y fue de 12 t en 2022, mientras que en la pesquería palangrera la captura mínima anual reportada promedió 900 t (2006-2021), y fue de 37 t en 2021. En cambio, el zorro pelágico fue capturado principalmente en lances no asociados en

¹³ Los tiburones capturados por los buques palangreros se registran usando diferentes métricas de peso (por ejemplo, peso en vivo, del tronco o entero) y, por lo tanto, es posible que las estimaciones de la captura total anual reportada contengan una mezcla de estas métricas de peso. El personal está trabajando en la armonización de la recopilación de datos de tiburones para mejorar la fiabilidad de las estimaciones de captura total (por ejemplo, [SAC-11-13](#)).

la pesquería cerquera con la captura anual promedio de 4 t, y fue de 1 t en 2022. La captura mínima anual reportada de zorro pelágico en la pesquería palangrera promedió 1,928 t (2007-2021), y solo se reportó 1 t en 2021. Las estimaciones de captura de marrajos en la pesquería cerquera fueron más bajas que las de las especies antes mencionadas, promediando 3 t, y 2 t 2022. Sin embargo, en la pesquería de palangre la captura mínima anual reportada promedió 1,436 t (1993-2021) y en 2021 fue de 1,399 t.

De forma complementaria a las capturas de tiburones que se presentan en la [Figura L-3a](#) y de forma similar a los SSI basados en datos de cerco notificados por tipo de lance para los atunes tropicales ([SAC-14-04](#)), se ajustó la escala de la captura por tipo de lance de forma que su promedio fuera igual a 1 durante el periodo 1993-2022 (es decir, el inicio de la recolección de datos de captura incidental) para las tres especies de tiburones con las capturas nominales anuales más elevadas por buques de cerco grandes (es decir, tiburón sedoso, tiburón oceánico punta blanca y cornuda cruz). Esta captura relativa en peso (t), que ayuda a comprender mejor las anomalías en la captura de las especies, se presenta en la [Figura L-3b](#). En los primeros años (anteriores a 2000), la captura relativa de tiburón sedoso fue de 3 a 3.5 veces superior al promedio para los capturados en lances sobre delfines, y unas 4.5 veces superior al promedio (1993) para los capturados en lances no asociados, mientras que las capturas relativas fueron menos variables en la pesquería sobre objetos flotantes. En el caso del tiburón oceánico punta blanca, se observó una tendencia decreciente de las capturas relativas en todos los tipos de lance, y las mayores capturas relativas se produjeron antes de 2000. Las capturas relativas de cornuda cruz fueron variables en todos los tipos de lance, con capturas relativas unas 5 veces superiores al promedio en lances no asociados en 2004.

En la [Figura L-4b](#) se presenta la distribución espacial por celda de 5°x5° de la captura de las mismas tres especies de tiburones por tipo de lance para la pesquería de cerco de buques grandes para brindar una indicación de la dinámica espacial de la captura actual (es decir, 2022) y pasada (promedio de los últimos cinco años; 2017-2021). Las capturas de tiburón sedoso estuvieron ampliamente distribuidas en el OPO, ocurrieron principalmente en lances sobre objetos flotantes y fueron ligeramente mayores en 2022 en comparación con el promedio de los últimos cinco años entre la línea ecuatorial y 10°N. Las capturas de tiburón oceánico punta blanca y cornuda cruz fueron mínimas en ambos periodos (es decir, principalmente <1 t) y la distribución fue limitada en 2022 comparado con el promedio de cinco años (lances sobre objetos flotantes solamente). Se observaron capturas mínimas de tiburón oceánico punta blanca alrededor de la línea ecuatorial y al oeste de 140°O en 2022, sin capturas > 1 t en el promedio de 5 años. En el caso de la cornuda cruz, se observaron capturas mínimas al este de 100°O en 2022, mientras que solo en un lugar (10°S y 90°O) se registraron capturas ligeramente superiores a 1 t durante el promedio de 5 años.

Los datos limitados de observadores en buques de cerco pequeños mostraron que se capturaron 29 t de tiburón sedoso y 4 t de tiburón martillo en lances sobre objetos flotantes en 2022, mientras que las de otras especies o grupos de especies de tiburones fueron mínimas (≤ 2 t) ([Tabla L-8](#)).

Las capturas mínimas, derivadas únicamente de los datos de observadores, de tiburones capturados con palangre en 2021 se presentan en la [Tabla L-4b](#) (ver Sección 2.2 y [BYC-10 INF-D](#) para consultar las incertidumbres y deficiencias de los datos de palangre). El tiburón azul fue, por mucho, la especie de tiburón más frecuentemente capturada en este conjunto de datos, con reportes de más de 11,000 animales que interactuaron con el arte en 2021, seguido por el marrajo dientuso con casi 1,000 animales. Según los criterios de disposición descritos en la [Tabla L-4b](#), casi todas las interacciones resultaron en mortalidades para la mayoría de las especies y grupos de especies de tiburones reportados por los observadores.

Las pesquerías palangreras artesanales de los CPC costeros están dirigidas estacionalmente a tiburones, atunes, peces picudos y dorado (*Coryphaena hippurus*), y algunos de estos buques son similares a las

pesquerías palangreras industriales en el sentido de que operan en zonas más allá de jurisdicciones nacionales (Martínez-Ortiz *et al.* 2015). Sin embargo, suelen faltar datos esenciales de tiburones de las pesquerías palangreras, y por lo tanto no se pueden producir evaluaciones convencionales y/o indicadores de condición de población (ver síntesis de retos de datos en [SAC-07-06b\(iii\)](#)).

Desde 2014, el personal de la CIAT ha llevado a cabo una extensa investigación colaborativa con la Organización del Sector Pesquero y Acuícola del Istmo Centroamericano (OSPESCA) y los CPC centroamericanos de la CIAT para desarrollar una metodología de muestreo robusta para mejorar la recolección de datos para la pesquería tiburonera en los estados centroamericanos del OPO. Después de aproximadamente 7 años (2015-2021), este trabajo (financiado por la Organización para la Agricultura y el Alimento de las Naciones Unidas (FAO) y el Fondo para el Medio Ambiente Mundial (FMAM) en el marco del programa Océanos Comunes ABNJ, el fondo de fomento de capacidad de la CIAT, y la Unión Europea) finalizó en diciembre de 2021. Los resultados finales del proyecto fueron presentados en SAC-14 ([SAC-14 INF-L](#)), pero existe una gran necesidad de mantener la continuidad de la recolección de datos para generar datos de pesca clave para la evaluación y ordenación de las especies de tiburones en el OPO. Mientras tanto, está en marcha una segunda fase del proyecto FAO-FMAM ABNJ y la CIAT está recibiendo apoyo para expandir el trabajo previo realizado en Centroamérica a otros Estados costeros del OPO ([SAC-14 INF-M](#)). Es posible que los datos obtenidos en estos proyectos se incluyan en futuras versiones de este informe para brindar mejores estimaciones de captura, aunque sean estimaciones mínimas, de tiburones capturados por las distintas flotas de palangre, red agallera y de artes mixtas.

En mayo de 2023, el Grupo de Trabajo sobre Ecosistema y Captura Incidental recomendó la adopción de nuevas medidas de mejores prácticas de manipulación y liberación de elasmobranquios capturados por palangre, que el personal de la CIAT continúe desarrollando estándares mejorados de recolección y notificación de datos sobre elasmobranquios para buques cerqueros pequeños, y la adopción de una medida de conservación y ordenación que requiera que los tiburones tengan las aletas adheridas de forma natural al cuerpo ([EB-01](#)).

3.6. Rayas

A fin de representar mejor las capturas anuales estimadas de mantarrayas (Mobulidae) y rayas pelágicas (Dasyatidae), estos animales ahora se reportan en número de individuos por la pesquería de cerco de buques grandes (1993-2022) en la [Tabla L-5a](#), mientras que en la [Figura L-4a](#) se muestran las capturas de especies clave. En los informes sumarios anuales de la pesquería de palangre no suelen notificarse las rayas, aunque sí se dispone de datos de observadores obtenidos más recientemente (ver [Tabla L-5b](#)). Las mayores capturas promedio en la pesquería de cerco se observaron para rayas Mobulidae no identificadas (Mobulidae spp., promedio 1993-2022: 1,231 individuos; número de individuos en 2022: 246), seguidas de la raya pelágica (promedio: 885; 2022: 684), la manta diablo (promedio: 348; 2022: 103), la manta mobula (promedio: 249; 2022: 74), las rayas no identificadas (Dasyatidae spp., promedio: 214; 50) y la manta gigante (promedio: 119; 2022: 11). Aunque las capturas de estas rayas pueden variar por tipo de lance, han sido máximas en los lances no asociados, seguidos por los lances sobre delfines, y mínimas en los lances sobre objetos flotantes ([Figura L-4a](#)).

De forma similar a los tiburones, en la [Figura L-4b](#) se presentan las capturas relativas de rayas en número de individuos (es decir, captura a escala con el promedio igual a 1) por tipo de lance para buques cerqueros grandes. Al igual que con la captura observada reportada ([Figura L-4a](#)), las capturas relativas de rayas fueron muy variables sin tendencias aparentes, y los picos de capturas relativamente altas no fueron consistentes entre especies y tipos de lance. La distribución espacial de las capturas (celda de 5°x5°) fue mayor para la raya pelágica con la mayoría de las capturas ocurridas en lances sobre objetos flotantes al este de 120°O para 2022 y el promedio de 5 años (2017-2021) ([Figura L-4c](#)). Las capturas de lances no

asociados ocurrieron en las costas de Baja California y Sudamérica, mientras que las capturas de lances sobre delfines ocurrieron principalmente al norte de la línea ecuatorial. Se observaron capturas mínimas de manta mobula, manta diablo y manta gigante a través del espacio y el tiempo, con la mayoría de las capturas <5 individuos por área espacial.

En el caso de la pesquería cerquera de buques pequeños, los limitados datos de observadores disponibles para 2022 fueron mínimos; el mayor número de individuos capturados en lances sobre objetos flotantes correspondió a la raya pelágica (n=36), seguida de la manta mobula (n=18), la manta diablo (n=11) y las mantas Mobulidae no identificadas (Mobulidae spp., n=10), mientras que el número de otras rayas fue <10 ([Tabla L-8](#)).

Los datos mínimos disponibles del conjunto de datos de observadores de palangre para 2021 (ver Sección 2.2. y [BYC-10 INF-D](#)) mostraron que la mayoría de las interacciones fueron con la raya pelágica (*Pteroplatytrygon violacea*) y el 95% de estas interacciones (3,909 individuos) resultaron en mortalidades (3,703) ([Tabla L-5b](#)).

Se determinó el estado de vulnerabilidad y la eficacia de posibles medidas de conservación y ordenación (MCO) para la manta mobula (*Mobula mobular*) impactada por las pesquerías industriales de cerco y palangre en el OPO usando la metodología EASI-Fish (Sección 5) (Griffiths y Lezama-Ochoa 2021). En el año de evaluación de 2018, la mortalidad por pesca estimada rebasó el punto de referencia biológico $F/F_{40\%}$ y $SBR/SBR_{40\%}$, lo que llevó a una clasificación del estado de vulnerabilidad de "más vulnerable". Un análisis retrospectivo de la vulnerabilidad entre 1979 y 2018 mostró que la especie fue clasificada como "menos vulnerable" entre 1979 y 1993, pero pasó a ser "más vulnerable" a partir de 1994, lo que coincidió con la rápida expansión espacial de la pesquería industrial de cerco. La vulnerabilidad aumentó significativamente a partir de 2011 tras el rápido aumento del número de lances sobre objetos flotantes hasta 2018. La simulación de las MCO existentes en 2018 para las pesquerías atuneras del OPO (es decir, una veda en todo el OPO) y para las rayas Mobulidae específicamente (es decir, el uso de mejores prácticas de manipulación y liberación en el marco de la resolución [C-15-04](#)) resultó en que 31 de los 45 escenarios cambiaron la clasificación de la especie de "más vulnerable" a "menos vulnerable", lo que implicó principalmente una reducción de la mortalidad poscaptura de hasta un 20%. La aplicación de mejores prácticas de manipulación y liberación puede ser una medida de conservación razonablemente sencilla, rápida y rentable, pero una recomendación del trabajo fue ampliar el análisis EASI-Fish a todas las especies de rayas Mobulidae afectadas por las pesquerías atuneras del OPO, mejorar las estimaciones de la mortalidad posliberación de estas especies mediante estudios de marcado específicos y mejorar la notificación de la captura por especie, sobre todo en las pesquerías artesanales, para mejorar la fiabilidad de los resultados de las evaluaciones EASI-Fish.

3.7. Otros peces grandes

La composición por especie varía entre las pesquerías cerqueras y las palangreras. En la [Tabla L-6a](#) se muestran los peces pelágicos grandes capturados por la pesquería cerquera de buques grandes, principalmente en lances sobre objetos flotantes (1993-2022) y en la pesquería palangrera (1993-2021), y en la [Figura L-5](#) se presentan series de tiempo de las capturas de especies clave. Los peces pelágicos más comúnmente capturados en ambas pesquerías son el dorado (Coryphaenidae), con una captura anual promedio estimada de 1,356 t para la pesquería de cerco (2,334 t en 2022) y una captura anual mínima reportada para la pesquería de palangre de 5,812 t en promedio (1,413 t en 2021). El dorado es también una de las especies más importantes capturadas en las pesquerías artesanales de las naciones costeras del OPO ([SAC-07-06a\(i\)](#)). En el documento [SAC-10-11](#) se pueden encontrar recomendaciones sobre puntos de referencia y reglas de control de extracción potenciales para el dorado en el OPO.

Otras especies clave capturadas por la pesquería de cerco son el peto (Scombridae) y el macarela salmón

(Carangidae). El peto tuvo una captura promedio anual estimada de 362 t en la pesquería cerquera, aunque las capturas han disminuido de un pico de 1,025 t en 2001 a 164 t en 2022 ([Figura L-5](#)). La captura anual mínima reportada de peto por la pesquería de palangre ha promediado 170 t y fue de 211 t en 2021. No se han reportado capturas de macarela salmón en la pesquería de palangre. Sin embargo, en la pesquería de cerco, las capturas anuales promedio estimadas de macarela salmón fueron de 47 t, con un pico de captura en 2007 de 158 t y disminuyendo posteriormente a 36 t en 2022 ([Figura L-5](#)).

Entre los peces pelágicos comúnmente reportados por la pesquería palangrera se incluyen las opas (Lampridae), las sierras (Gempylidae) y las japutas (Bramidae). Las capturas mínimas anuales reportadas de estas especies alcanzaron un promedio de 369 t (1993-2021), 369 t (2006-2021) y 53 t (1993-2021), respectivamente. Las capturas de todos estos grupos taxonómicos han aumentado después de mediados de la década de 2000 ([Figura L-5](#)), pero deben tenerse en cuenta la incertidumbre y las deficiencias de datos en este conjunto de datos (Sección 2.2). En el año más reciente (2021), se registraron 449 t, 277 t y 50 t de opas, sierras y japutas, respectivamente ([Tabla L-5a](#)).

Los limitados datos de observadores disponibles para 2022 para la pesquería de cerco de buques pequeños incluyeron 289 t de dorado y 26 t de peto capturadas en lances sobre objetos flotantes, mientras que para el resto de especies o grupos de especies de peces grandes se reportaron ≤ 2 t ([Tabla L-8](#)).

Para 2021, los datos mínimos disponibles de observadores de palangre (ver Sección 2.2. y [BYC-10 INF-D](#)) se proporcionan en la [Tabla L-6b](#) y muestran que la especie más frecuentemente capturada en este conjunto de datos fue el lanzón picudo (*Alepisaurus ferox*) con unas 11,000 interacciones. La mayoría de las interacciones con peces grandes resultaron en mortalidades.

3.8. Especies de forraje

Un gran número de grupos taxonómicos que ocupan los niveles tróficos medios del ecosistema del OPO, denominados generalmente como “especies de forraje”, juegan un papel clave al proporcionar un vínculo trófico entre los productores primarios en la base de la red alimenticia y los depredadores de nivel trófico alto, como los atunes y peces picudos. Algunos peces de forraje pequeños son capturados incidentalmente en el OPO por buques cerqueros en alta mar, principalmente en lances sobre objetos flotantes, y en pesquerías artesanales costeras, pero son generalmente descartados en el mar. En la [Tabla L-7](#) se presentan las capturas de estas especies con las especies clave identificadas por los datos de captura presentados en la [Figura L-6](#) para la pesquería cerquera de buques grandes, con la mayoría de las capturas procedentes de lances sobre objetos flotantes.

Las melvas (Scombridae) son, por mucho, las especies de forraje más comunes, con capturas anuales promedio estimadas de 1,021 t entre 1993 y 2022. Sin embargo, sus capturas han disminuido de 1,921 en 2005 a 699 t en 2022 ([Figura L-6](#)). Los peces ballesta (Balistidae) y cachúas (Monacanthidae) son el segundo grupo de forraje más comúnmente reportado, con capturas anuales estimadas que promedian 262 t y suman 545 t en 2022. Las capturas de este grupo alcanzaron su pico en 2004 con 922 t, pero en general han sido variables. Las capturas anuales de chopas (Kyphosidae) han promediado 17 t y han permanecido mínimas con 22 t en 2022. Por último, las capturas anuales de las diversas especies de la categoría "peces epipelágicos de forraje" promediaron 7 t, y se estima que en 2022 se capturaron 15 t. Los observadores reportaron un total de 128 t de melvas y 84 t de peces ballesta y cachúas capturados en lances sobre objetos flotantes en el número limitado de viajes de buques cerqueros pequeños que llevaron observadores en 2022. Las capturas de todas las demás especies o grupos de especies de peces pequeños fueron mínimas (≤ 3 t) ([Tabla L-8](#)).

4. MEDIO AMBIENTE FÍSICO

Las condiciones ambientales afectan a los ecosistemas marinos, la dinámica y capturabilidad de las especies objetivo y de captura incidental, y las actividades de los pescadores. Los factores biofísicos pueden tener importantes efectos en la distribución y la abundancia de las especies marinas¹⁴ (por ejemplo, [SAC-10 INF-D](#)). El siguiente resumen del medio ambiente físico abarca: 1) indicadores ambientales a corto y largo plazo, y 2) condiciones ambientales y su efecto potencial sobre la pesquería durante el año anterior, en este caso, 2022. Además, el Grupo de Trabajo sobre Ecosistema y Captura Incidental recomendó recientemente que se incluya el cambio climático como punto permanente de la agenda ([EB-01](#)) y, por lo tanto, el personal de la CIAT procurará mejorar esta sección en el futuro.

4.1. Indicadores ambientales

El medio ambiente oceánico varía en una variedad de escalas temporales, de estacional a interanual, decadal, y más largas. Los cambios inducidos por el clima a más largo plazo, típicamente decadales (a intervalos de 10 a 30 años) y caracterizados por condiciones y patrones promedio relativamente estables en las variables físicas y biológicas se denominan "regímenes". Sin embargo, la fuente dominante de variabilidad en las capas superiores del OPO es El Niño-Oscilación del Sur (ENOS), una fluctuación irregular que afecta el Océano Pacífico tropical y la atmósfera global (Fiedler 2002). Los eventos de El Niño ocurren a intervalos de entre dos y siete años, y se caracterizan por vientos alisios más débiles, termoclinas más profundas, y temperaturas superficiales del mar (TSM) altas en el OPO ecuatorial. La fase contraria a El Niño, denominada comúnmente La Niña, se caracteriza por vientos alisios más fuertes, termoclinas menos profundas, y TSM más bajas. Los cambios en el medio ambiente biogeoquímico debidos a ENOS tienen un impacto sobre la productividad biológica, alimentación y reproducción de peces, aves y mamíferos marinos (Fiedler 2002).

Se cree que ENOS causa variabilidad considerable en la disponibilidad de atunes y peces picudos de importancia comercial en el OPO para su captura (Bayliff 1989). Por ejemplo, la termoclina poco profunda durante un evento de La Niña puede aumentar las tasas de captura de atunes con red de cerco, al comprimir el hábitat térmico preferido de los atunes pequeños cerca de la superficie del mar, mientras que es probable que la termoclina más profunda durante un evento de El Niño haga que los atunes sean menos vulnerables a la captura y, por lo tanto, se reduzcan las tasas de captura. Además, TSM superiores e inferiores al promedio pueden también causar que los peces se desplacen a hábitats más favorables, lo que también puede afectar las tasas de captura, ya que los pescadores dedican más esfuerzo a localizar los peces.

Es posible que el reclutamiento de los atunes tropicales en el OPO también se vea afectado por eventos de ENOS. Por ejemplo, los eventos fuertes de La Niña en 2007-2008 podrían ser parcialmente responsables del reclutamiento bajo de patudo en el OPO, mientras que el reclutamiento máximo ha correspondido a los eventos extremos de El Niño en 1982-1983 y 1998 ([SAC-09-05](#)). El reclutamiento del aleta amarilla también fue bajo en 2007, pero fue alto en 2015-2016, después del evento extremo de El Niño en 2014-2016 ([SAC-09-06](#)).

El [Boletín de Diagnóstico Climático](#) del Servicio Meteorológico Nacional de Estados Unidos informó que en 2022 las anomalías, definidas en el Boletín como una desviación del promedio mensual, de las características oceánicas y atmosféricas (por ejemplo, temperaturas superficiales y subsuperficiales, profundidad de la termoclina, viento, y convección) fueron consistentes con condiciones de La Niña durante todo el año.

Los índices de variabilidad en dichas condiciones se utilizan comúnmente para dar seguimiento a la

¹⁴ Ver [SAC-04-08](#), *Medio ambiente físico*, y [SAC-06 INF-C](#) para una descripción completa de los efectos de la oceanografía física y biológica sobre los atunes, las comunidades de presas y las pesquerías en el OPO.

dirección y magnitud de los eventos de ENOS en el Océano Pacífico. En el presente informe, se usa el Índice de El Niño Oceánico (ONI, por sus siglas en inglés), utilizado por la Administración Nacional Oceánica y Atmosférica de los Estados Unidos (NOAA) como indicador principal de condiciones cálidas de El Niño y frías de La Niña en la región Niño 3.4 en el Océano Pacífico tropical oriental-central (Dahlman 2016) ([Figura L-7a](#)), para caracterizar la variabilidad interanual de las anomalías en la TSM. El ONI es una medida de El Niño definida por la NOAA como “un fenómeno en el Océano Pacífico ecuatorial caracterizado por cinco medias consecutivas de 3 meses de anomalías de TSM en la región Niño 3.4 que está por encima (por debajo) del umbral de +0,5°C (-0,5°C)”. El ONI categoriza los eventos ENOS desde “extremo” hasta “débil” ([Figura L-7b](#)). Por ejemplo, el evento “extremo” de El Niño en 1997-1998 fue seguido de un evento “muy fuerte” de La Niña en 1998-2000. También se observaron eventos “fuertes” de La Niña en 2007-2008 y 2010-2011. Los valores de ONI más altos (>2.5) se registraron durante el evento “extremo” de El Niño en 2015-2016. A lo largo de 2022 persistieron condiciones moderadas de La Niña, con valores que oscilaron entre -1.1 y -0.8 ([Figura L-7b](#)).

El índice de Oscilación Decadal del Pacífico (PDO, por sus siglas en inglés; [Figura L-8](#)) se usa para describir fluctuaciones a mayor plazo en el Océano Pacífico, y también se ha utilizado para explicar, por ejemplo, la influencia de los impulsores ambientales sobre la vulnerabilidad de los tiburones sedosos a las pesquerías en el OPO (Lennert-Cody *et al.* 2018). La PDO, un patrón de variabilidad climática de larga vida en el Pacífico parecido a El Niño con eventos que persisten 20-30 años, sigue patrones interdecadales a gran escala de cambios ambientales y bióticos, principalmente en el Océano Pacífico norte (Mantua 1997), con patrones secundarios observados en el Pacífico tropical, lo opuesto a ENOS (Hare y Mantua 2000). Al igual que ENOS, las fases de la PDO se clasifican como “cálidas” o “frías”. Los valores de la PDO alcanzaron dos picos, 2.79 en agosto de 1997 y 2.62 en abril de 2016, ambos coincidiendo con los eventos extremos de El Niño indicados por el ONI. La PDO se encuentra en una fase “fría” desde principios de 2020. Durante 2022, persistieron las condiciones frías, con valores que oscilaron entre -2.22 y -1.35 (ver los [datos de la serie de tiempo ERSST V5 PDO](#)).

4.2. Exploración espaciotemporal de las condiciones ambientales

Se exploró una serie de tiempo de TSM y concentración de clorofila-a (CHL-a, un indicador de la biomasa de productividad primaria) ([Figura L-9](#)) en el Pacífico oriental tropical (POT) entre 5°N y 5°S, la misma banda latitudinal utilizada en el ONI, para mostrar la variabilidad de estas variables a lo largo del tiempo y el espacio usando diagramas de Hovmöller de tiempo-longitud. Las series de tiempo de la TSM muestran valores mensuales promedio de 1993-2022, mientras que las de las concentraciones de CHL-a cubren datos de 2003-2022 debido a limitaciones en la disponibilidad de datos. La gráfica de TSM ([Figura L-9](#), panel superior) muestra claramente la extensión de los eventos extremos de El Niño de 1997-1998 y 2015-2016, con aguas más cálidas, y los eventos fuertes de La Niña en 1999-2000, 2007-2008 y 2010-2011, con aguas más frías a través del POT. La gráfica de CHL-a ([Figura L-9](#), panel inferior), aunque el patrón es menos claro que el de la gráfica de TSM, muestra un aumento en las concentraciones de CHL-a después de los eventos fuertes de La Niña, particularmente en 2010-2011, posiblemente debido al aumento de la disponibilidad de nutrientes.

4.3. Condiciones ambientales y distribución de las capturas

La disponibilidad de peces y, por lo tanto, de capturas, está fuertemente relacionada con las condiciones y procesos ambientales, en particular en las aguas pelágicas (Fiedler y Lavín 2017; Chassot *et al.* 2011). Las condiciones de ENOS están influenciadas por muchos factores oceánicos y atmosféricos, pero se sabe que tanto la TSM como los niveles de CHL-a son buenas variables explicativas para describir y predecir el hábitat y la distribución de los animales oceánicos (Hobday y Hartog 2014).

Las [Figuras L-10](#) y [L-11](#) muestran las concentraciones promedio trimestrales de TSM y CHL-a,

respectivamente, para: 1) proporcionar una indicación general de la variabilidad ambiental estacional en 2022, y 2) superponer la distribución de las capturas de atunes tropicales, como primer paso, para ilustrar la potencial influencia de las condiciones ambientales en las capturas en el OPO durante 2022. En el futuro, el personal planea incorporar la distribución de la captura de especies clave de captura incidental y desarrollar modelos de distribución de especies (MDE) para describir mejor las relaciones potenciales entre el medio ambiente y las especies. En 2021-2022, se desarrollaron MDE para la tortuga laúd ([BYC-11-01](#)) y para 32 especies de tiburones ([SAC-13-11](#)) y se están desarrollando actualmente varios MDE de alta resolución para otras especies de captura incidental vulnerables, incluyendo los tiburones oceánico punta blanca, sedoso y martillo.

Las aguas más frías se produjeron en el norte de México y el suroeste de Estados Unidos al norte de 20°N y frente a Sudamérica, al sur de la línea ecuatorial y al este de 100°O ([Figura L-10](#)). Estas aguas frías se extendieron hacia el oeste durante los trimestres 1 (enero-marzo) y 2 (abril-junio), y 3 (julio-septiembre) y 4 (octubre-diciembre), respectivamente. Las aguas más cálidas se desarrollaron en Centroamérica y se extendieron hacia el oeste durante los trimestres 2 y 3, pero se retrajeron en el trimestre 4. Se observó un charco cálido secundario, menos intenso, en el OPO suroccidental (10-20°S, 140°-150°O) durante los trimestres 1 y 2.

En la [Figura L-11](#) se muestra que las concentraciones de CHL-a fueron máximas a lo largo de la línea ecuatorial y la costa del continente americano durante todo el año. El Giro oligotrófico¹⁵ del Pacífico Sur, ubicado entre 20°-40°S, y que se extiende desde los 150°-90°O, estuvo presente en el trimestre 1, se retrajo ligeramente en los trimestres 2 y 3, y regresó en el trimestre 4.

Durante los trimestres 1 y 2, el barrilete predominó en las capturas en aguas de ~25°C de la costa de Sudamérica ([Figura L-10](#)), donde la concentración de CHL-a era elevada ([Figura L-11](#)). El aleta amarilla fue la especie de atún predominante en las capturas, principalmente al norte de la línea ecuatorial durante estos mismos trimestres; en el trimestre 2 las capturas de aleta amarilla fueron relativamente mínimas en las aguas más cálidas (~28°-29°C) presentes frente a Centroamérica. Durante los trimestres 3 y 4, las capturas de atún a lo largo de la costa de Sudamérica disminuyeron a medida que las aguas más frías se extendían por la región. Las capturas de patudo se produjeron principalmente al sur de 10°N, con capturas mayores al oeste de ~110°O, particularmente en los trimestres 2 y 3. No hubo capturas de atún en el giro oligotrófico situado aproximadamente al sur de 20°S y en el límite occidental del OPO (150°O) hasta aproximadamente 100°O.

5. IDENTIFICACIÓN DE ESPECIES EN RIESGO

El objetivo principal del EEOP es asegurar la sostenibilidad a largo plazo de todas las especies afectadas, directa o indirectamente, por la pesca. Sin embargo, esto representa un reto importante para las pesquerías que interactúan con muchas especies no objetivo con distintos ciclos vitales, para las cuales se carece de datos de captura y biológicos fiables para evaluaciones de especies individuales. Una alternativa para estas situaciones de datos limitados, reflejada en la [Meta L](#) del PCE, es la Evaluación de Riesgos Ecológicos (ERE), evaluaciones de vulnerabilidad diseñadas para identificar y priorizar especies en riesgo para la recolección de datos, la investigación y la ordenación.

La "vulnerabilidad" se define como la posibilidad de que la productividad de una población disminuya por los impactos directos e indirectos de las actividades de pesca. El personal de la CIAT ha aplicado evaluaciones cualitativas, usando análisis de productividad-susceptibilidad (APS) para estimar la vulnerabilidad relativa de especies no objetivo de datos limitados capturadas en el OPO por buques cerqueros grandes (Duffy *et al.* 2019) y en la pesquería palangrera ([SAC-08-07d](#)).

¹⁵ Un área de baja productividad, nutrientes y clorofila superficial, a menudo denominada "desierto oceánico".

Debido a que el APS no puede estimar cuantitativamente los efectos acumulativos de múltiples pesquerías sobre especies de captura incidental de datos escasos, el personal de la CIAT desarrolló en 2018 un nuevo enfoque ([SAC-09-12](#)), la Evaluación Ecológica de los Impactos Sostenibles de las Pesquerías (EASI-Fish), para superar este problema. Este método flexible y espacialmente explícito emplea un conjunto de parámetros más pequeño que el APS para primero producir un sustituto de la tasa de mortalidad por pesca (\tilde{F}) de cada especie, con base en el "solapamiento volumétrico" de cada pesquería con la distribución geográfica de estas especies. La estimación de \tilde{F} se usa luego en modelos de rendimiento y biomasa reproductora por recluta estructurados por talla para evaluar la vulnerabilidad de cada especie, usando puntos de referencia biológicos convencionales (por ejemplo, F_{RMS} , $SPR_{40\%}$).

En 2018, EASI-Fish fue aplicado con éxito, como "prueba de concepto" a 24 especies que representan una gama de ciclos vitales, incluyendo atunes, peces picudos, especies afines a los atunes, elasmobranquios, tortugas marinas y cetáceos capturados en las pesquerías atuneras del OPO ([SAC-09-12](#)). Posteriormente se usó para evaluar la situación de vulnerabilidad de la manta mobula (*Mobula mobular*), capturada por todas las pesquerías atuneras industriales en el OPO ([BYC-09-01](#)), y la población de tortuga laúd (*Dermochelys coriacea*) del OPO, en peligro crítico de extinción ([BYC-10 INF-B](#), [BYC-11-02](#)). Por lo tanto, se decidió en el PCE que se usará EASI-Fish en el futuro para evaluar la vulnerabilidad de todos los grupos de especies (por ejemplo, elasmobranquios, tortugas marinas, teleósteos) impactadas por las pesquerías atuneras del OPO. En 2022, se utilizó EASI-Fish para evaluar la vulnerabilidad de la tortuga laúd del PO y de las especies de tiburones capturadas incidentalmente en las pesquerías atuneras del OPO y los resultados se presentaron en la reunión BYC-11 ([BYC-11-02](#)) y SAC-13, respectivamente ([SAC-13-11](#)). En 2023, se presentó una evaluación EASI-Fish para el tiburón sedoso y para tres especies de tiburones martillo: cornuda común (*Sphyrna lewini*), cornuda gigante (*Sphyrna mokarran*) y cornuda cruz (*Sphyrna zygaena*), en la que se simuló el efecto de 43 diferentes medidas de conservación y ordenación ([SAC-14-12](#)). Esta evaluación demostró que ninguna medida de ordenación fue capaz de reducir el estado de vulnerabilidad de ninguna especie de "vulnerable" a "menos vulnerable". Aunque se predijo que escenarios como las vedas temporales en el OPO, la prohibición de los reinales de acero, la imposición de una talla mínima de retención de 100 cm de longitud total para todos los tiburones e incluso la prohibición de la descarga de todos los tiburones reducirían en gran medida la mortalidad en los buques, este efecto positivo sobre la vulnerabilidad fue en su mayor parte nulo debido a la elevada mortalidad posliberación de estas especies. Estos resultados destacaron que la medida de mitigación más eficaz para estos tiburones es evitar la interacción con las pesquerías del OPO. La evaluación identificó varias deficiencias de datos importantes que necesitan ser abordadas mediante un enfoque de investigación colaborativa entre la CIAT y sus CPC, incluyendo sobre biología básica y datos mejorados de composición por talla y especie en las pesquerías artesanales y la pesquería palangrera industrial. Abordar estas necesidades de datos no solo ayudará a mejorar las evaluaciones rápidas a corto plazo como EASI-Fish, sino también a desarrollar series de tiempo de datos a más largo plazo necesarias para emprender métodos nuevos y convencionales como el marcado y recaptura por parientes cercanos o evaluaciones tradicionales de poblaciones a partir de las cuales se puede determinar la condición de la población de estas especies vulnerables.

6. DINÁMICA DEL ECOSISTEMA

Aunque las evaluaciones de vulnerabilidad (por ejemplo, EASI-Fish) pueden ser útiles para evaluar los impactos ecológicos de la pesca al evaluar las poblaciones de especies individuales, se necesitan modelos ecosistémicos para detectar cambios en la estructura o dinámica interna de un ecosistema. La elaboración de estos modelos suele requerir una gran cantidad de datos y de trabajo y, por consiguiente, pocas pesquerías del mundo tienen acceso a un modelo ecosistémico fiable que sirva de guía para las medidas de conservación y ordenación. Estos modelos requieren una buena comprensión de los componentes del ecosistema y la dirección y magnitud de los flujos tróficos entre ellos, lo que requiere estudios ecológicos

detallados sobre contenidos estomacales y/o estudios de isótopos estables. A propósito, el personal de la CIAT ha tenido una larga historia de emprender estos estudios tróficos, comenzando con la determinación experimental de las estimaciones de consumo del atún aleta amarilla en las instalaciones del NMFS en la Cuenca de Kewalo en Oahu, Hawái, en la década de 1980, hasta análisis más recientes del contenido estomacal y análisis de isótopos estables de una gama de depredadores ápice.

En 2003, el personal de la CIAT compiló los datos tróficos para completar el desarrollo de un modelo del ecosistema pelágico en el OPO tropical (Boletín de la CIAT, [Vol. 22, No. 3](#)), llamado “ETP7”, para explorar cómo la pesca y la variación climática podrían afectar las especies objetivo (por ejemplo, atunes), las especies secundarias (peto, dorado), los elasmobranchios (por ejemplo, tiburones), los grupos de forraje (por ejemplo, voladores, calamares) y especies de importancia para la conservación (por ejemplo, tortugas marinas, cetáceos). En la [Figura L-12](#) se muestra un diagrama simplificado de la red alimenticia del modelo, con los niveles tróficos (TL) aproximados.

El modelo fue calibrado a series de tiempo de datos de biomasa y captura de un número de especies objetivo durante 1961-1998. Los programas de recolección de datos en el OPO han mejorado significativamente desde 1998, lo cual ha permitido actualizar el modelo con estos nuevos datos hasta 2018 (“ETP8”). El modelo requirió una nueva actualización en 2021 debido a un cambio significativo en la forma en que el personal de la CIAT ha reclasificado los datos de captura presentados por los CPC para "otras artes" en palangre y otros tipos de artes tras una revisión interna de los datos. Esto resultó en un aumento dramático de las capturas palangreras reportadas de depredadores de nivel trófico alto (tiburones), lo cual puede tener una fuerte influencia en la dinámica del ecosistema. Por lo tanto, se asignaron las estimaciones anuales de captura por especie de 1993-2018 a los grupos funcionales pertinentes en el modelo ETP-21, que se reequilibró y recalibró a datos de series de tiempo para proporcionar una condición actualizada del ecosistema para 2021 y realizar simulaciones para evaluar los posibles impactos de la pesquería sobre plantados en la estructura del ecosistema ([SAC-12-13](#)).

6.1. Indicadores ecológicos

Desde 2017, el modelo Ecopath más reciente se utiliza en el informe de *Consideraciones Ecosistémicas* para proporcionar valores anuales de siete indicadores ecológicos que, en conjunto, pueden identificar cambios en la estructura y la dinámica interna del ecosistema del POT. Estos indicadores son: el nivel trófico medio de la captura (TL_c), el Índice Trófico Marino (MTI), el índice de Pesca en Equilibrio (FIB), el índice de Shannon, y el nivel trófico medio comunitario para los niveles tróficos 2.0-3.5 ($TL_{2.0}$), ≥ 3.25 -4.0 ($TL_{3.5}$), y > 4.0 ($TL_{4.0}$). En el documento [SAC-10-14](#) se ofrece una descripción completa de estos indicadores.

Dado que el modelo no se actualizó en 2022, el modelo ETP-21 se actualizó en 2023 (denominado ETP-23) utilizando las estimaciones anuales de captura por especie de 1993-2021 asignadas a los grupos funcionales pertinentes, que luego se reequilibró para proporcionar una condición actualizada del ecosistema para 2021.

Los indicadores ecológicos mostraron que los valores de TL_c y MTI disminuyeron desde su pico de 4.77 y 4.83 en 1991 a 4.62 y 4.65 en 2019 y 2018, respectivamente, a medida que el esfuerzo de pesca de cerco sobre objetos flotantes (OBJ) aumentó significativamente ([Figura L-13](#)), cuando hubo un aumento de las capturas de especies de alto nivel trófico que tienden a concentrarse alrededor de objetos flotantes (por ejemplo, tiburones, peces picudos, peto y dorado). Desde su pico en 1991, el TL_c disminuyó en 0.05 de un nivel trófico en los 30 años siguientes, es decir, 0.04 niveles tróficos por década. El número creciente de lances OBJ también se observa en el índice FIB que supera el cero después de 1990, así como el cambio continuo en la uniformidad de la biomasa de la comunidad indicada por el índice de Shannon.

Estos indicadores generalmente describen el cambio en los componentes explotados del ecosistema, mientras que los indicadores de biomasa comunitaria describen cambios en la estructura del ecosistema

una vez extraída la biomasa debido a la pesca. La biomasa de la comunidad $TL_{MC4.0}$ alcanzó uno de sus valores más altos (4.493) en 1986, pero ha seguido disminuyendo hasta 4.459 en 2021 ([Figura L-13](#)). Como resultado de cambios en la presión de depredación sobre los niveles tróficos más bajos, entre 1993 y 2021, la biomasa de la comunidad $TL_{MC3.0}$ aumentó de 3.801 a 3.816, mientras que la de la comunidad $TL_{MC2.0}$ también aumentó, de 3.092 a 3.114.

Conjuntamente, estos indicadores señalan que la estructura del sistema probablemente ha cambiado durante el periodo de 42 años del análisis. Los consistentes patrones de cambio en cada indicador ecológico, particularmente en el nivel trófico medio comunitario desde 1993, definitivamente justifican la continuación, e idealmente una expansión, de los programas de seguimiento de pesquerías en el OPO. La pandemia de COVID-19 en 2020 permitió al personal examinar los efectos directos de la reducción del esfuerzo de pesca en el ecosistema mediante el uso de indicadores ecológicos. El cambio más notable fue una disminución del 23% en el número de lances OBJ de cerco, de 14,987 lances en 2019 a 11,543 lances en 2020. Esta disminución en el esfuerzo resultó en cambios abruptos en la mayoría de los indicadores ecológicos para 2020 y en su mayoría regresaron a los niveles previos a la pandemia en 2021, cuando el número de lances OBJ aumentó a 14,865 ([Figura L-13](#)). Estos resultados sugieren que es probable que el aumento de los lances OBJ sea el principal responsable del cambio continuo en la estructura del ecosistema durante las últimas dos décadas.

7. ACONTECIMIENTOS FUTUROS

Es poco probable, al menos en el futuro cercano, que se realicen evaluaciones de las poblaciones de la mayoría de las especies de captura incidental. Por lo tanto, la CIAT debe seguir realizando evaluaciones e investigaciones ecológicas que puedan proporcionar a los gestores información fiable para orientar el desarrollo de medidas de conservación y ordenación basadas en la ciencia, cuando sea necesario, a fin de asegurar que la CIAT siga cumpliendo sus responsabilidades en virtud de la Convención de Antigua y los objetivos del [PCE](#). A continuación, se detallan las áreas de investigación prioritarias que han sido identificadas por el personal científico y que requieren un mayor desarrollo:

- Tras el desarrollo del enfoque EASI-Fish, se realizará por etapas un análisis del conjunto completo de más de 100 especies de captura incidental impactadas, por grupo taxonómico (por ejemplo, tiburones, rayas, teleósteos, tortugas y cetáceos). En 2022 se evaluaron todas las especies de tiburones pelágicos y la población de tortuga laúd del Pacífico oriental, que está en peligro crítico de extinción.
- Debido a que un elevado número de especies de tiburones fueron clasificadas como “más vulnerables” en la evaluación EASI-Fish de 2022, una de las principales prioridades es desarrollar una estrategia para la futura conservación y ordenación de estas especies vulnerables. Como primer paso, se utilizará EASI-Fish para explorar la eficacia potencial de medidas hipotéticas de conservación y ordenación para los tiburones sedoso y martillo en 2023 ([SAC-14-12](#)).
- Las lagunas de conocimiento significativas identificadas para los tiburones en la evaluación EASI-Fish son referentes a los valores de los parámetros fundamentales que se necesitan para caracterizar la dinámica de población fundamental de varias especies en el OPO, incluso aquéllas que han sido registradas comúnmente como captura incidental durante décadas. Por lo tanto, son necesarios esfuerzos importantes por parte de la CIAT y sus Miembros para establecer una estrategia para emprender estudios rentables para recolectar datos a fin de desarrollar relaciones morfométricas (por ejemplo, talla-peso y talla-talla), curvas de crecimiento y ojivas de madurez. Además del trabajo de recolección de datos de la pesquería tiburonera del proyecto FAO-FMAM ABNJ recientemente completado en Centroamérica y a punto de extenderse a otros Miembros de la CIAT en 2023, que podría ser visto como una oportunidad para lograr dicha estrategia ([SAC-13-](#)

[12](#), [SAC-14 INF-L](#), [SAC-14 INF-M](#)), el personal de la CIAT ha preparado un documento en el que se identifican deficiencias de datos y posibles oportunidades para un enfoque basado en fases para obtener mediciones morfométricas y muestras biológicas de atunes, peces picudos, y especies prioritarias de captura incidental en cerqueros y palangreros ([SAC-14 INF-J](#)).

- Una deficiencia del modelo ecosistémico ETP-23, del que se derivan los indicadores ecológicos, es que su estructura se basa en datos del contenido estomacal de peces recolectados en 1992-1994. Dados los cambios ambientales y pesqueros significativos que se han observado en el OPO en la última década, existe una necesidad crítica de recolectar información trófica actualizada. En 2018-2023 el personal ha propuesto establecer un programa de monitoreo ecológico para recolectar datos de contenido estomacal para actualizar el modelo ecosistémico. Dados los nuevos requisitos de datos biológicos de tiburones, un programa de monitoreo de este tipo podría incorporar todos los requisitos biológicos y ecológicos de la CIAT. Nuevamente, el proyecto FAO-FMAM ABNJ, que sigue expandiéndose entre los Miembros de la CIAT, ofrece algunas oportunidades para integrar un programa de muestreo de este tipo, especialmente si el proyecto piloto ABNJ continúa a perpetuidad, tal como recomienda el personal. Además, el estudio morfométrico y de muestreo biológico propuesto ([SAC-14 INF-J](#)) tiene por objeto recolectar de forma oportunista muestras biológicas, incluyendo estómagos, para obtener datos de dieta actualizados para su uso futuro en un modelo ecosistémico espacialmente explícito.
- Una segunda limitación del modelo ETP-23 es que describe solamente el componente tropical del ecosistema del OPO, y los resultados no pueden ser extrapolados de forma fiable a otras regiones del OPO. Por lo tanto, tras recolectar información actualizada sobre la dieta, el trabajo futuro apuntará a desarrollar un modelo espacialmente explícito que cubra el OPO entero y calibrar el modelo con las series de tiempo de capturas disponibles, idealmente para especies que representen diferentes niveles tróficos, y datos de esfuerzo para las pesquerías claves del OPO.
- Las variables ambientales pueden tener una profunda influencia en las capturas de especies objetivo y de captura incidental, como lo ha demostrado anteriormente el personal de la CIAT y ahora se hace anualmente en el presente informe. El trabajo futuro del personal de la CIAT abordará esta relación con mayor detalle, a diferentes escalas espaciotemporales, incluyendo implicaciones ambientales a largo plazo, tales como los regímenes ENOS o los efectos del cambio climático. Además, el Grupo de Trabajo sobre Ecosistema y Captura Incidental recomendó que se incluya el cambio climático como punto permanente de la agenda *“para garantizar que la CIAT esté preparada para abordar los posibles efectos de estos cambios en las poblaciones objetivo y no objetivo bajo su competencia”* ([EB-01](#)).
- No obstante, las investigaciones del personal para estudiar el impacto de las condiciones ambientales en la pesquería podrían mejorarse mucho con la disponibilidad de datos operacionales de alta resolución de la pesquería palangrera. Aunque ahora se exige a los miembros de la CIAT y los CPC que remitan a la CIAT datos operacionales de observadores que abarquen al menos el 5% de sus flotas, los análisis realizados por el personal ofrecen pruebas concluyentes de que estos datos no son representativos de la flota ([BYC-10 INF-D](#)) y por lo tanto pone en duda la validez de usar los datos de palangre remitidos para futuros análisis ambientales hasta que la cobertura por observadores alcance al menos el 20%.
- La tarea de desentrañar el traslape espacial y temporal de múltiples especies objetivo y no objetivo requiere una exploración a fondo de los riesgos, ventajas y desventajas de los distintos escenarios de ordenación y grupos de especies. Aunque la comunidad científica ha defendido la importancia de explorar la ordenación espacial dinámica en los últimos 20 años, actualmente hay

pocos ejemplos de medidas de ordenación espacial dinámica o adaptativa que se estén implementando en pesquerías atuneras para reducir la captura incidental. De hecho, hasta la fecha no se ha implementado ninguna medida de ordenación espacial para reducir específicamente las capturas de especies no objetivo en las OROP atuneras. La identificación de áreas de interés potenciales para la ordenación espacial en alta mar depende directamente de la relación cambiante entre las especies y el medio ambiente, que puede ser modelada para estimar y predecir la distribución de las especies y su abundancia relativa a través del espacio y el tiempo, e informar el diseño de medidas de ordenación adaptativa. Aunque el personal de la CIAT ha comenzado a investigar esta cuestión en el OPO para especies tanto objetivo como no objetivo (por ejemplo, [SAC-10 INF-D](#), Pons et al. 2022, [BYC-11-04](#), Druon et al. 2022), la implementación y operación potencial de medidas de ordenación adaptativa debería explorarse en los próximos años.

- La calidad de los análisis ecológicos y los informes anuales de las estimaciones de captura del OPO entero para las especies de captura incidental está actualmente obstaculizada por la resolución existente de la CIAT sobre provisión de datos ([C-03-05](#)), que ya no se alinea con las responsabilidades cambiantes de la CIAT en virtud de la Convención de Antigua (ver [SAC-12-09](#)). Dichas responsabilidades incluyen asegurar los impactos sostenibles de las pesquerías del OPO sobre las especies asociadas y dependientes, que es la razón principal para la creación, y las actualizaciones anuales, de este informe de *Consideraciones del Ecosistema*. En la actualidad, la única fuente fiable de datos de captura incidental proviene de los observadores a bordo de buques de cerco grandes de clase 6. Los datos de captura incidental de otras pesquerías pelágicas en el OPO son limitados o inexistentes. Se espera que las oportunidades de fomento de capacidad propuestas y una serie de talleres en los que participen el personal de la CIAT y los CPC para desarrollar estándares claros para la notificación de datos faciliten la mejora de la remisión de datos, la notificación y las estimaciones de captura, lo cual a su vez mejorará los análisis ecológicos que permiten a la CIAT cumplir con sus obligaciones en virtud de la Convención de Antigua. Durante el primer taller sobre la mejora de la recolección de datos para la pesquería palangrera industrial ([WSDAT-01-01](#), [WSDAT-01-RPT](#)) se iniciaron las discusiones y en la 14ª reunión del CCA se presentaron una serie de recomendaciones del personal, que son el resultado de las aportaciones de los participantes del taller y de las consultas individuales con los CPC (ver [SAC-14-14](#) y [SAC-14 INF-Q](#)).
- El personal de la CIAT está colaborando en dos proyectos de investigación sobre delfines enfocados en mejorar los conocimientos actuales de los impactos potenciales de la pesquería atunera sobre las poblaciones de delfines ([SAC-14 INF-K](#)), incluyendo un estudio de separación madre-cría y un estudio de abundancia.

10. AGRADECIMIENTOS

Quisiéramos agradecer a Nick Vogel, Joydelee Marrow y Joanne Boster su ayuda con la preparación de datos, a Alexandre Aires-da-Silva y Paulina Llano por sus revisiones de este documento, y a Christine Patnode por perfeccionar las figuras. Reconocemos con gratitud las primeras investigaciones sobre el ecosistema realizadas por Robert Olson que contribuyeron a la elaboración de este informe. Su informe inicial de Consideraciones Ecosistémicas fue presentado por primera vez en la 8ª reunión del Grupo de Trabajo sobre Evaluación de Poblaciones en 2007 ([SAR-8-17 J](#)) y ha sido actualizado anualmente.

11. LITERATURA CITADA

Bayliff, W.H. 1989. Inter-American Tropical Tuna Commission, Annual Report for 1988. IATTC, La Jolla, CA USA. 270 pp.

- Chassot, E., S. Bonhommeau, G. Reygondeau, K. Nieto, J.J. Polovina, M. Huret, N.K. Dulvy, and H. Demarcq. 2011. Satellite remote sensing for an ecosystem approach to fisheries management. *ICES Journal of Marine Science* 68(4): 651-666.
- Clarke, S. 2017. Southern Hemisphere porbeagle shark (*Lamna nasus*) stock status assessment. WCPFC-SC13-2017/SA-WP-12 (rev. 2). Pages 75. *Western and Central Pacific Fisheries Commission. Scientific Committee Thirteenth Regular Session*, Rarotonga, Cook Islands.
- Clarke, S. 2018a. Pacific-wide silky shark (*Carcharhinus falciformis*) Stock Status Assessment. WCPFC-SC14-2018/SA-WP-08. Pages 137. *Western and Central Pacific Fisheries Commission*, Busan, Korea.
- Clarke, S. 2018b. Risk to the Indo-Pacific Ocean whale shark population from interactions with Pacific Ocean purse-seine fisheries. WCPFC-SC14-2018/SA-WP-12 (rev. 2). Pages 55. *Western and Central Pacific Fisheries Commission, Scientific Committee Fourteenth Regular Session*, Busan, Korea.
- Dahlman, L. 2016. Climate Variability: Oceanic Niño Index. <https://www.climate.gov/news-features/understanding-climate/climate-variability-oceanic-ni%C3%B1o-index>. National Oceanic and Atmospheric Administration.
- Druon, J.-N., S. Campana, F. Vandeperre, F. Hazin, H. Bowlby, R. Coelho, N. Queiroz, F. Serena, F. Abascal, D. Damalas, M. Musyl, J. Lopez, B. Block, P. Afonso, H. Dewar, P.S. Sabarros, B. Finucci, A. Zanzi, P. Bach, I. Senina, F. Garibaldi, D. Sims, J. Navarro, P. Cermeño, A. Leone, G. Diez, M. Teresa, M. Deflorio, E. Romanov, A. Jung, M. Lapinski, M. Francis, H. Hazin, and P. Travassos. 2022. Global-scale environmental niche and habitat of blue shark (*Prionace glauca*) by size and sex: a pivotal step to improving stock management. *Frontiers in Marine Science* 9
- Duffy, L.M., and S.P. Griffiths. 2019. Assessing attribute redundancy in the application of productivity-susceptibility analysis to data-limited fisheries. *Aquatic Living Resources* 32(20): 1-11.
- Duffy, L.M., C.E. Lennert-Cody, R. Olson, C.V. Minte-Vera, and S.P. Griffiths. 2019. Assessing vulnerability of bycatch species in the tuna purse-seine fisheries of the eastern Pacific Ocean. *Fisheries Research* 219: 105316
- Fiedler, P., and M. Lavín. 2017. Oceanographic Conditions of the Eastern Tropical Pacific. In P. W. Glynn, D. P. Manzello, and I. C. Enochs (eds.), *Coral Reefs of the Eastern Tropical Pacific: Persistence and Loss in a Dynamic Environment*, p. 59-83. Springer, Netherlands.
- Fiedler, P.C. 2002. Environmental change in the eastern tropical Pacific Ocean: review of ENSO and decadal variability. Administrative Report LJ-02-16. Southwest Fisheries Science Center. Pages 38. National Marine Fisheries Service, NOAA, La Jolla, CA.
- Fu, D., M.-J. Roux, S. Clarke, M. Francis, A. Dunn, S. Hoyle, and C. Edwards. 2018. Pacific-wide sustainability risk assessment of bigeye thresher shark (*Alopias superciliosus*). WCPFC-SC13-2017/SA-WP-11. Rev 3 (11 April 2018). *Western and Central Pacific Fisheries Commission. Scientific Committee Thirteenth Regular Session*, Rarotonga, Cook Islands.
- Griffiths, S.P., and N. Lezama-Ochoa. 2021. A 40-year chronology of the vulnerability of spinetail devil ray (*Mobula mobular*) to eastern Pacific tuna fisheries and options for future conservation and management. *Aquatic Conservation: Marine and Freshwater Ecosystems* 31(10): 2910-2925.
- Hare, S.R., and N.J. Mantua. 2000. Empirical evidence for North Pacific regime shifts in 1977 and 1989. *Progress in Oceanography* 47: 103-145.
- Hobday, A.J., and J.R. Hartog. 2014. Derived Ocean Features for Dynamic Ocean Management. *Oceanography* 27(4): 134-145.

Lennert-Cody, C.E., S.C. Clarke, A. Aires-da-Silva, M.N. Maunder, P.J.S. Franks, M.H. Román, A.J. Miller, and M. Minami. 2018. The importance of environment and life stage on interpretation of silky shark relative abundance indices for the equatorial Pacific Ocean Fisheries Oceanography: 1-11

Mantua, N.J., S.R. Hare, Y. Zhang, J.M. Wallace, and R.C. Francis. 1997. A Pacific interdecadal climate oscillation with impacts on salmon production. *Bulletin of the American Meteorological Society* 78: 1069-1079.

Martínez-Ortiz, J., A. Aires-da-Silva, C.E. Lennert-Cody, and M.N. Maunder. 2015. The Ecuadorian artisanal fishery for large pelagics: species composition and spatio-temporal dynamics. *PLoS ONE* 10(8): e0135136.

Pons, M., J.T. Watson, D. Ovando, S. Andraka, S. Brodie, A. Domingo, M. Fitchett, R. Forselledo, M. Hall, E.L. Hazen, J.E. Jannot, M. Herrera, S. Jiménez, D.M. Kaplan, S. Kerwath, J. Lopez, J. McVeigh, L. Pacheco, L. Rendon, K. Richerson, R. Sant'Ana, R. Sharma, J.A. Smith, K. Somers, and R. Hilborn. 2022. Trade-offs between bycatch and target catches in static versus dynamic fishery closures. *Proceedings of the National Academy of Sciences* 119(4): e2114508119.

Pons, M., J.T. Watson, D. Ovando, S. Andraka, S. Brodie, A. Domingo, M. Fitchett, R. Forselledo, M. Hall, E.L. Hazen, J.E. Jannot, M. Herrera, S. Jiménez, D.M. Kaplan, S. Kerwath, J. Lopez, J. McVeigh, L. Pacheco, L. Rendon, K. Richerson, R. Sant'Ana, R. Sharma, J.A. Smith, K. Somers, and R. Hilborn. 2022. Trade-offs between bycatch and target catches in static versus dynamic fishery closures. *Proceedings of the National Academy of Sciences* 119(4): e2114508119.

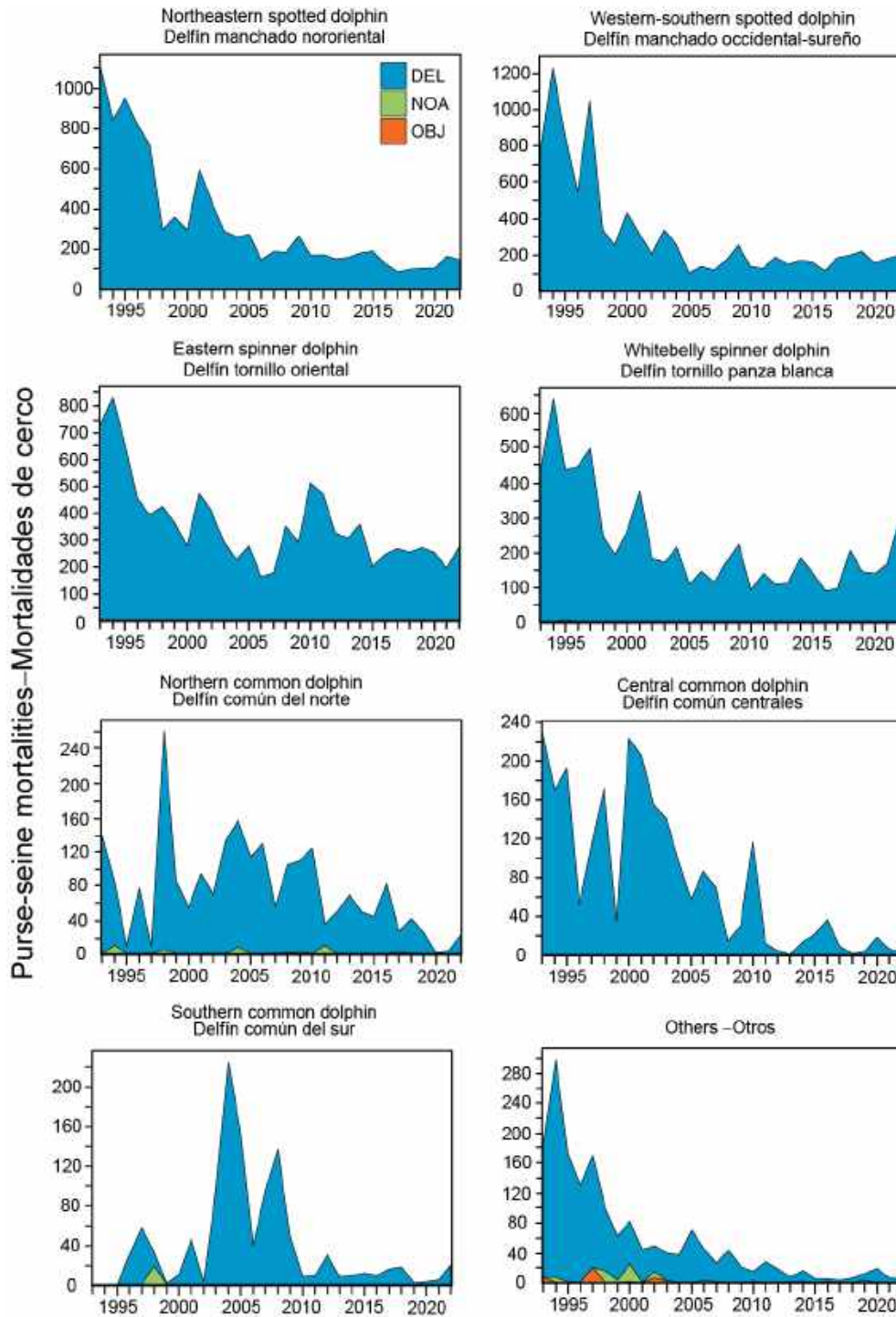


FIGURE L-1. Estimated number of incidental dolphin mortalities by observers onboard purse-seine vessels, 1993–2022.

FIGURA L-1. Número estimado de mortalidades incidentales de delfines por observadores a bordo de buques cerqueros grandes, 1993–2022.

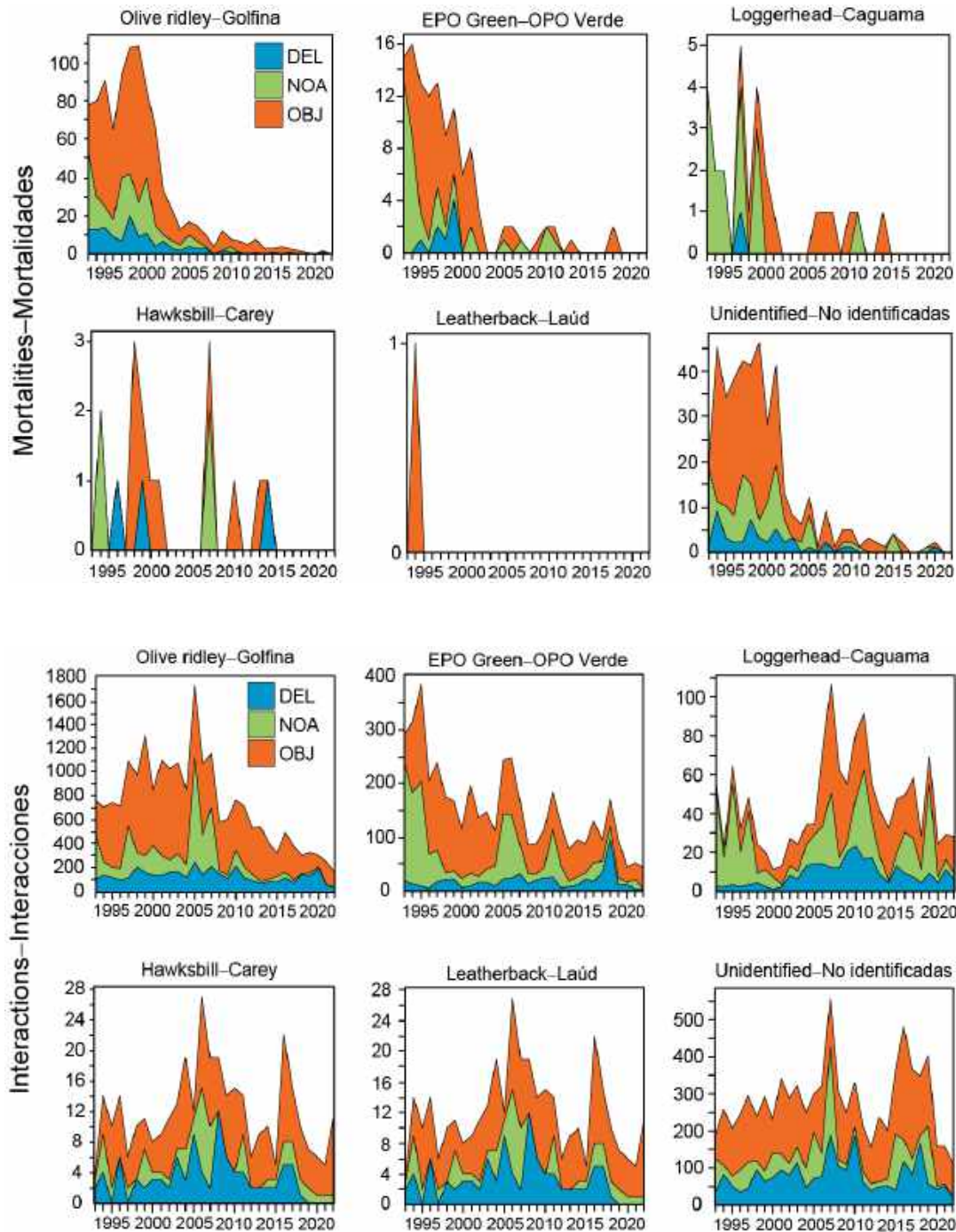


FIGURE L-2. Estimated number of sea turtle a) mortalities and b) interactions by observers onboard large purse-seine vessels, 1993–2022, by set type (dolphin (DEL), unassociated (NOA), floating object (OBJ)).
FIGURA L-2. Número estimado de a) mortalidades y b) interacciones de tortugas marinas por observadores a bordo de buques cerqueros grandes, 1993-2022, por tipo de lance (delfín (DEL), no asociado (NOA), objeto flotante (OBJ)).

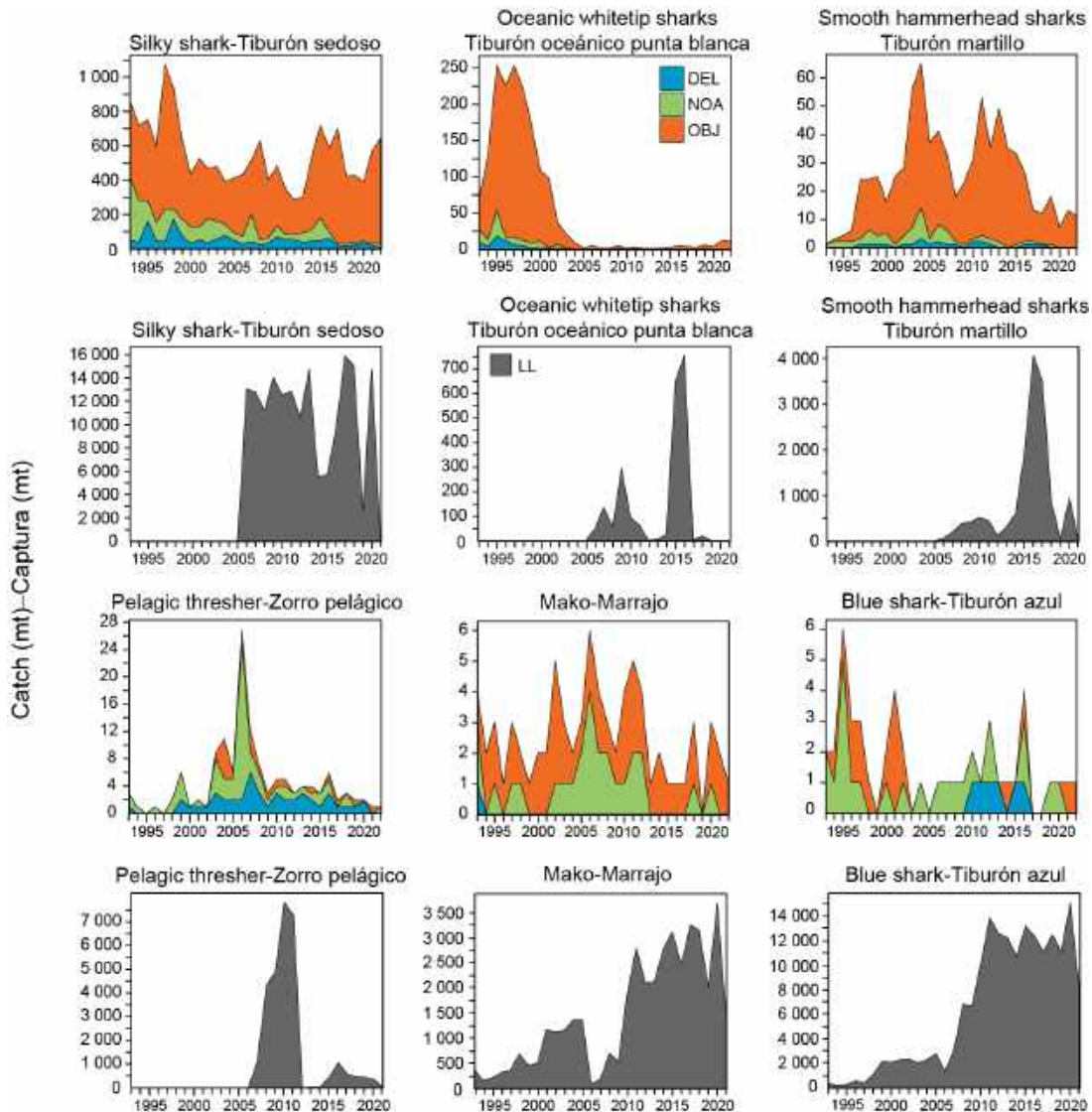


FIGURE L-3a. Estimated catches in metric tons (t) of key shark species in the eastern Pacific Ocean recorded by observers onboard large purse-seine vessels and minimum longline (LL) estimates of gross annual removals reported by CPCs (see section 2.2. for uncertainty and data gaps in reporting of bycatch species caught by longline). Purse-seine catches are provided for size-class 6 vessels with a carrying capacity >363 t (1993–2022) by set type: floating object (OBJ), unassociated tuna schools (NOA) and dolphins (DEL). Longline catches (1993–2021) are minimum reported gross-annual removals that may have been estimated using a mixture of different weight metrics (see footnote in section 3.5).

FIGURA L-3a. Capturas estimadas en toneladas (t) de especies clave de tiburones en el Océano Pacífico oriental registradas por observadores a bordo de buques cerqueros grandes y estimaciones mínimas de palangre (LL) de extracciones anuales brutas reportadas por los CPC (ver Sección 2.2. para consultar información sobre la incertidumbre y las deficiencias de los datos en la notificación de especies capturadas incidentalmente con palangre). Se presentan las capturas cerqueras para buques de clase 6 con una capacidad de acarreo >363 t (1993-2022) por tipo de lance: objeto flotante (OBJ), atunes no asociados (NOA) y delfines (DEL). Las capturas palangreras (1993–2021) son extracciones anuales brutas mínimas reportadas que pueden haber sido estimadas usando una mezcla de diferentes métricas de peso (ver nota al pie de página en la sección 3.5).

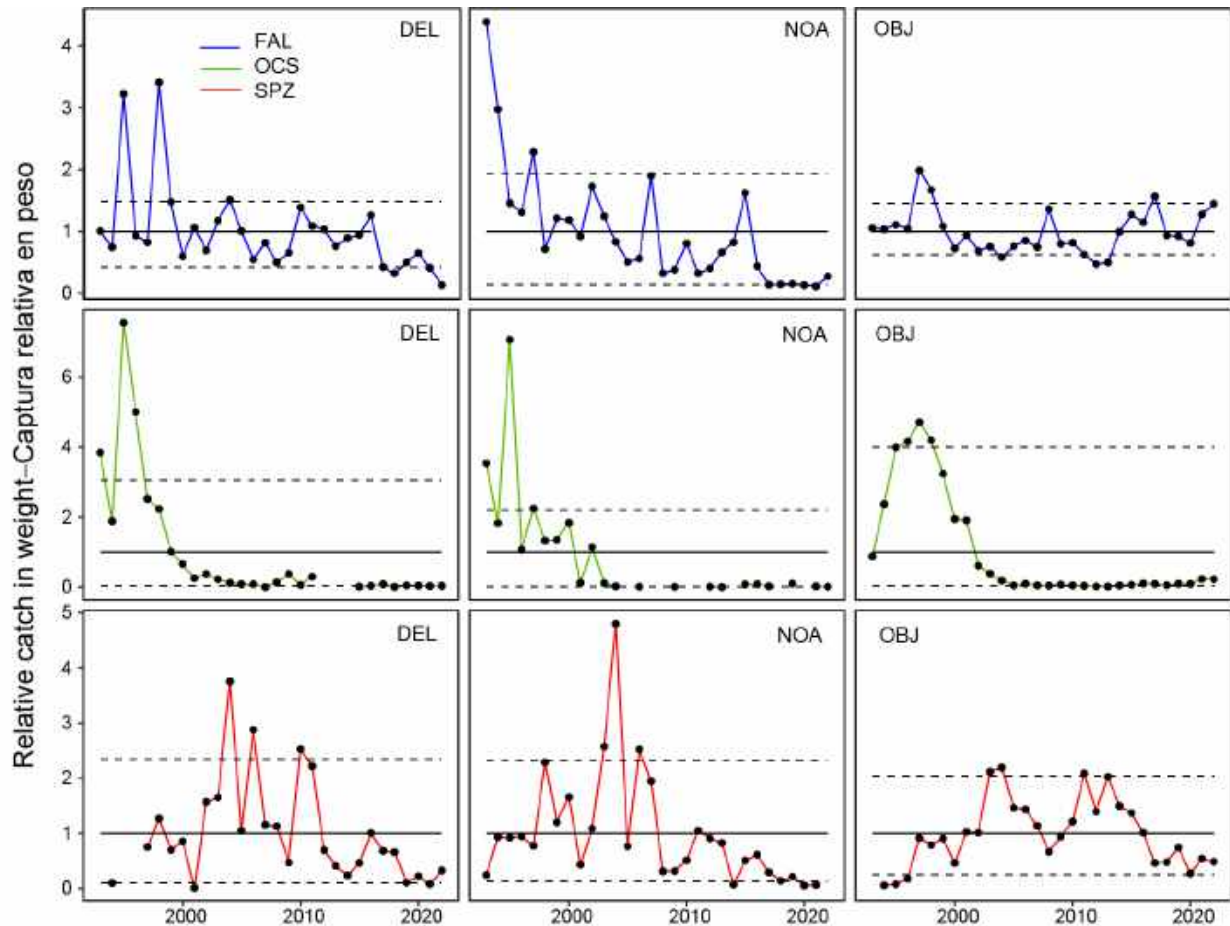


FIGURE L-3b. Indicators of relative catch of key shark species reported by observers onboard large purse-seine vessels (Class 6, carrying capacity > 363 t) by set type: dolphins (DEL), unassociated tuna schools (NOA) and floating object (OBJ). The solid line is the average equal to 1 and the dashed lines represent the 10th and 90th percentiles. FAL: silky shark (*Carcharhinus falciformis*), OCS: oceanic whitetip shark (*Carcharhinus longimanus*), SPZ: smooth hammerhead shark (*Sphyrna zygaena*).

FIGURA L-3b. Indicadores de captura relativa de especies clave de tiburones notificada por observadores a bordo de buques cerqueros grandes (clase 6, capacidad de acarreo > 363 t) por tipo de lance: sobre delfines (DEL), no asociados (NOA) y sobre objetos flotantes (OBJ). La línea continua es el promedio igual a 1 y las líneas punteadas representan los percentiles de 10 y 90%. FAL: tiburón sedoso (*Carcharhinus falciformis*), OCS: tiburón oceánico punta blanca (*Carcharhinus longimanus*), SPZ: cornuda cruz (*Sphyrna zygaena*).

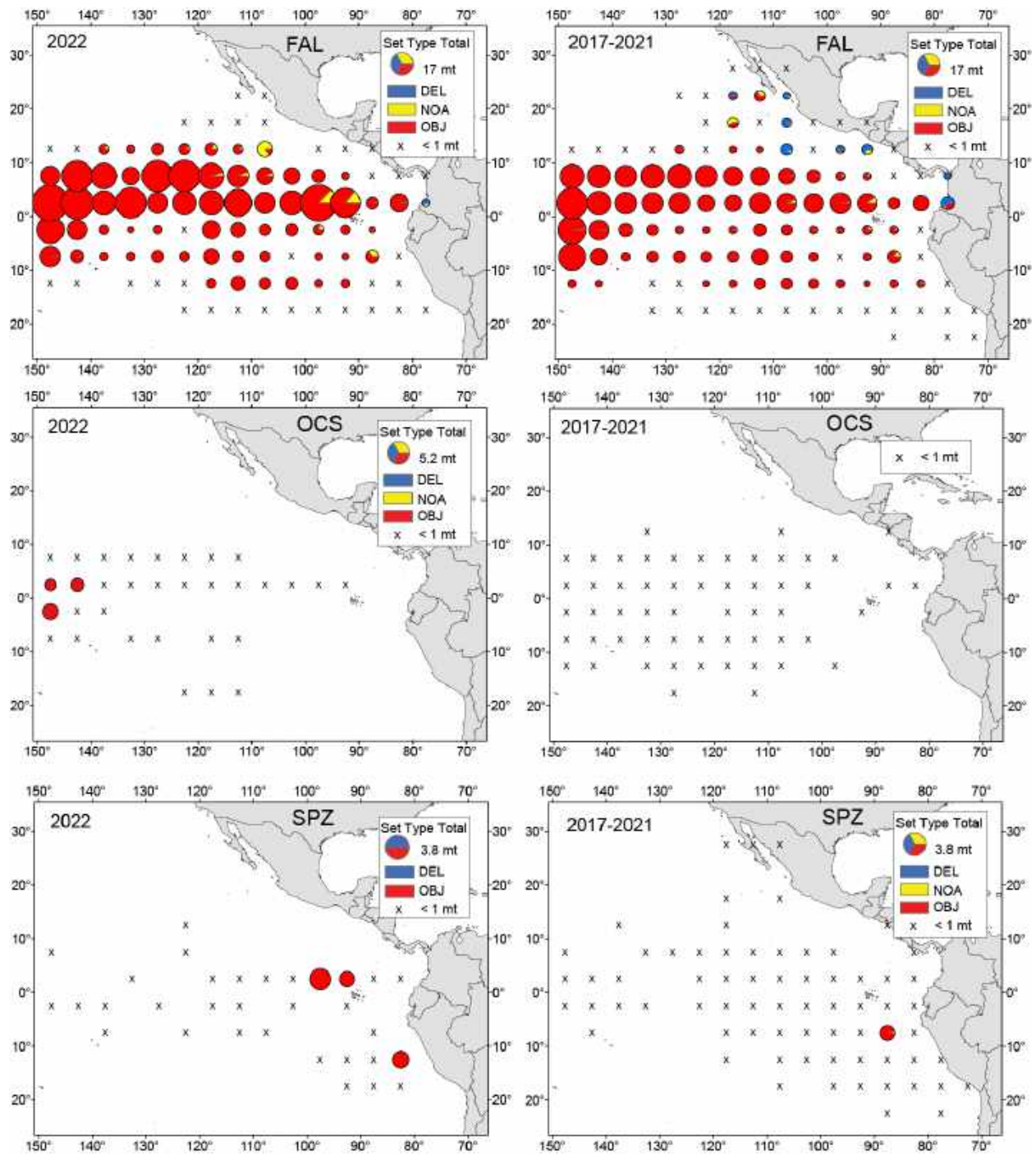


FIGURE L-3c. Purse-seine catches (Class 6, carrying capacity > 363 t) (at 5°x5° resolution) of key species of sharks by set type: floating object (OBJ) unassociated tuna schools (NOA) and dolphins (DEL), for 2022 (left panel) and the 2017-2021 averages (right panel). FAL: silky shark (*Carcharhinus falciformis*), OCS: oceanic whitetip shark (*Carcharhinus longimanus*), SPZ: smooth hammerhead shark (*Sphyrna zygaena*).

FIGURA L-3c. Capturas cerqueras (clase 6, capacidad de acarreo > 363 t) (resolución de 5°x5°) de especies clave de tiburones por tipo de lance: sobre objetos flotantes (OBJ), no asociados (NOA) y sobre delfines (DEL), para 2022 (panel izquierdo) y los promedios de 2017-2021 (panel derecho). FAL: tiburón sedoso (*Carcharhinus falciformis*), OCS: tiburón oceánico punta blanca (*Carcharhinus longimanus*), SPZ: cornuda cruz (*Sphyrna zygaena*).

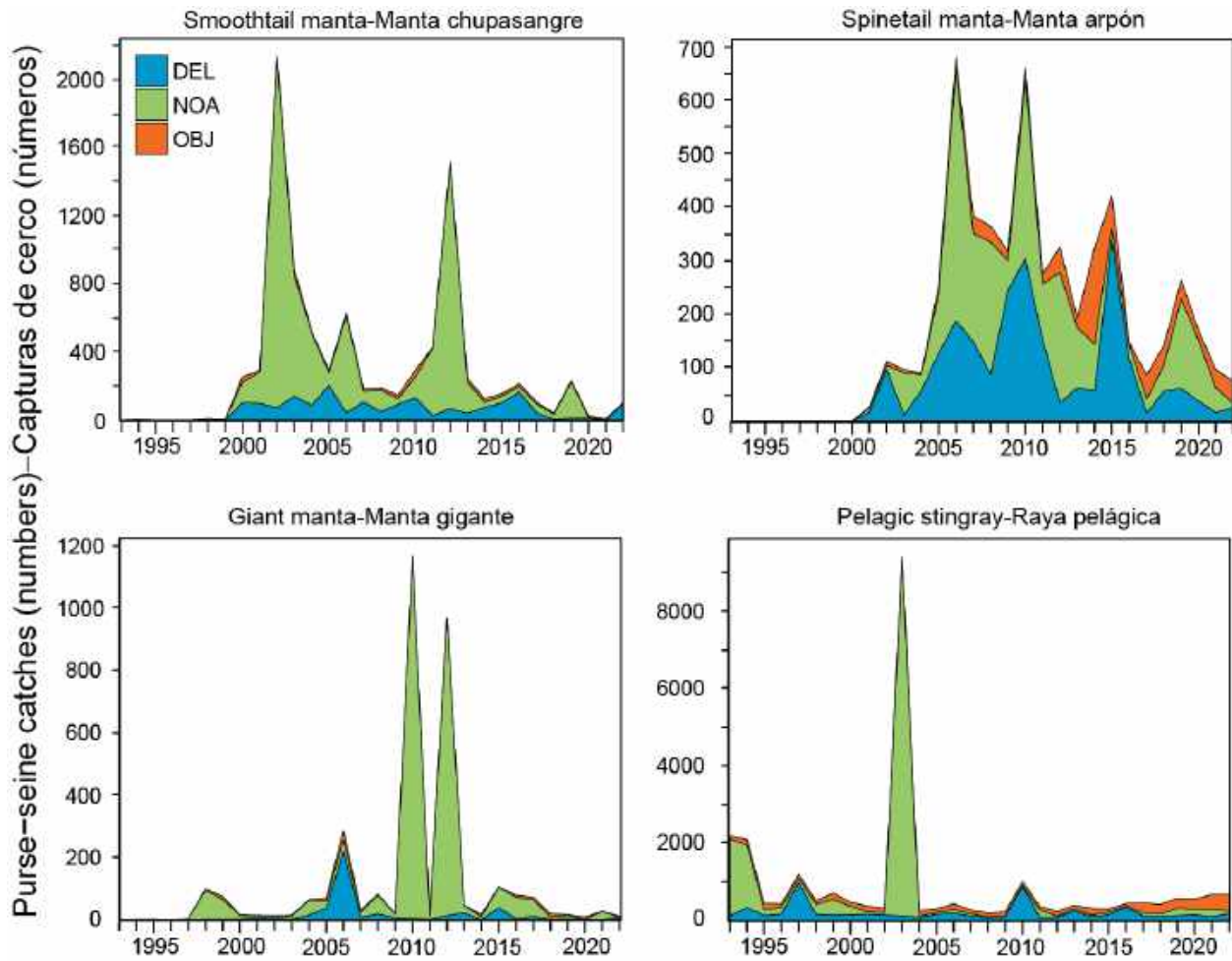


FIGURE L-4a. Estimated purse-seine catches in numbers of individuals of key species of rays in the eastern Pacific Ocean. Purse seine catches are provided for size-class 6 vessels with a carrying capacity >363 t (1993–2022) by set type: floating object (OBJ), unassociated tuna schools (NOA) and dolphins (DEL).

FIGURA L-4a. Capturas cerqueras estimadas en número de individuos de especies clave de rayas en el Océano Pacífico oriental. Se presentan las capturas cerqueras para buques de clase 6 con una capacidad de acarreo >363 t (1993-2022) por tipo de lance: objeto flotante (OBJ), atunes no asociados (NOA) y delfines (DEL).

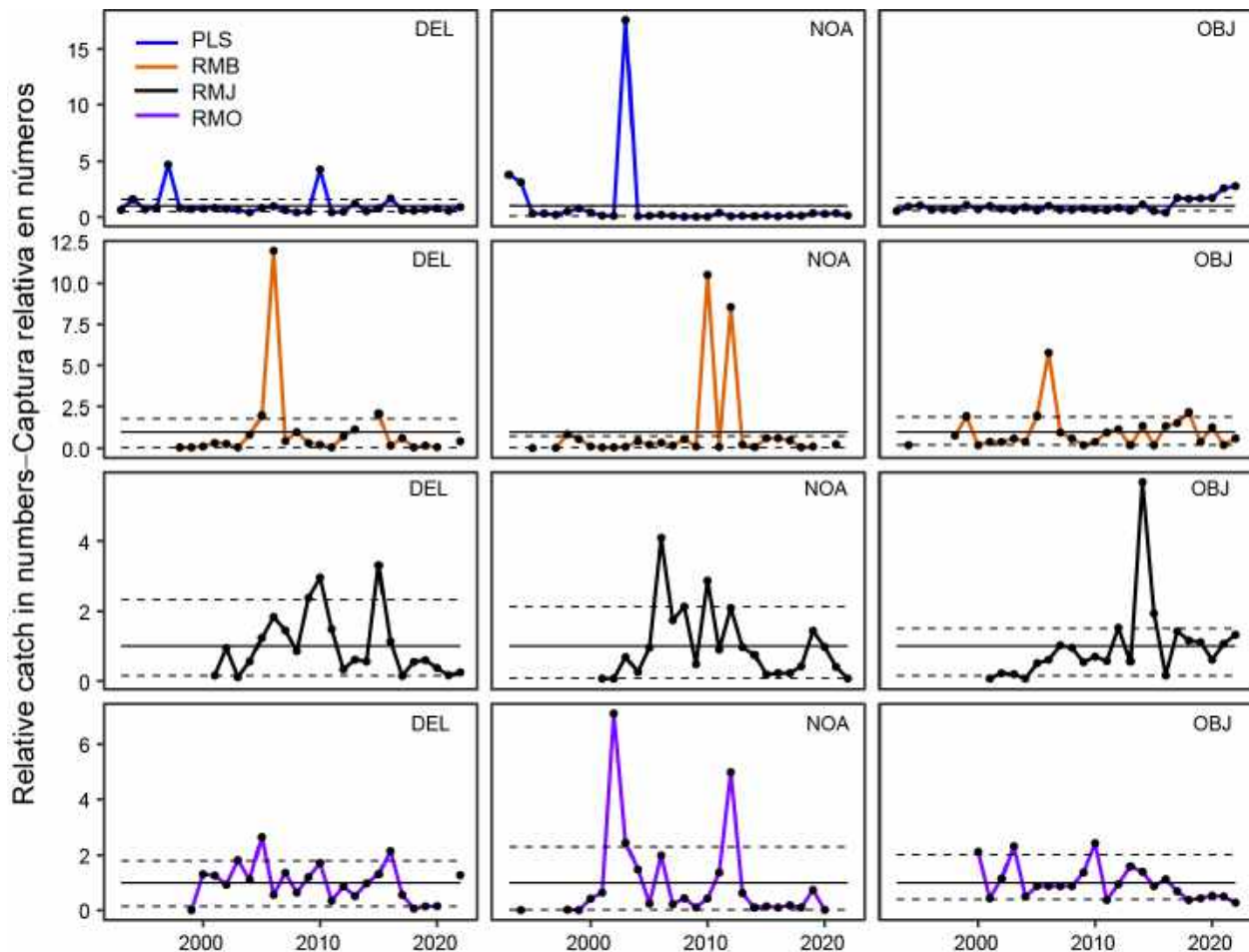


FIGURE L-4b. Indicators of relative number of individuals of rays reported by observers onboard large purse-seine vessels (Class 6, carrying capacity > 363 t) by set type: dolphins (DEL), unassociated tuna schools (NOA) and floating object (OBJ). The solid line is the average equal to 1 and the dashed lines represent the 10th and 90th percentiles. PLS: pelagic stingray (*Pteroplatytrygon violacea*), RMB: giant manta (*Mobula birostris*), RMJ: spinetail manta (*Mobula mobular*), RMO: smoothtail manta (*Mobula thurstoni*).

FIGURA L-4b. Indicadores del número relativo de individuos de rayas notificado por observadores a bordo de buques cerqueros grandes (clase 6, capacidad de acarreo > 363 t) por tipo de lance: sobre delfines (DEL), no asociados (NOA) y sobre objetos flotantes (OBJ). La línea continua es el promedio igual a 1 y las líneas punteadas representan los percentiles de 10 y 90%. PLS: raya pelágica (*Pteroplatytrygon violacea*), RMB: manta gigante (*Mobula birostris*), RMJ: manta mobula (*Mobula mobular*), RMO: manta diablo (*Mobula thurstoni*).

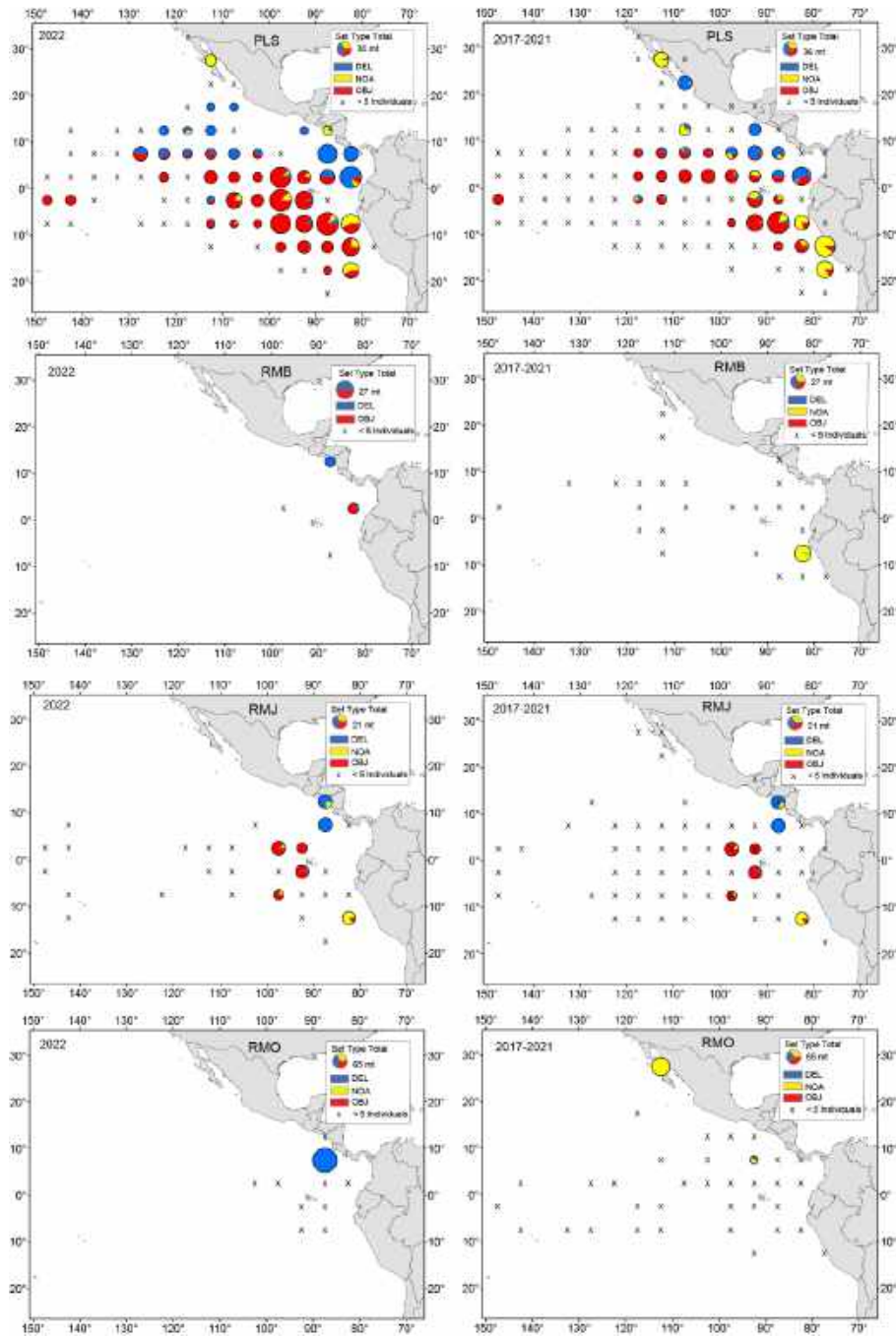


FIGURE L-4c. Purse-seine catches (Class 6, carrying capacity > 363 t) (at 5°x5° resolution) of key species of rays by set type: floating object (OBJ) unassociated tuna schools (NOA) and dolphins (DEL), for 2022 (left panel) and the 2017-2021 averages (right panel). PLS: pelagic stingray (*Pteroplatytrygon violacea*), RMB: giant manta (*Mobula birostris*), RMJ: spinetail manta (*Mobula mobular*), RMO: smoothtail manta (*Mobula thurstoni*).

FIGURA L-4c. Capturas cerqueras (clase 6, capacidad de acarreo > 363 t) (resolución de 5°x5°) de especies clave de rayas por tipo de lance: sobre objetos flotantes (OBJ), no asociados (NOA) y sobre delfines (DEL), para 2022 (panel izquierdo) y los promedios de 2017-2021 (panel derecho). PLS: raya pelágica (*Pteroplatytrygon violacea*), RMB: manta gigante (*Mobula birostris*), RMJ: manta mobula (*Mobula mobular*), RMO: manta diablo (*Mobula thurstoni*).

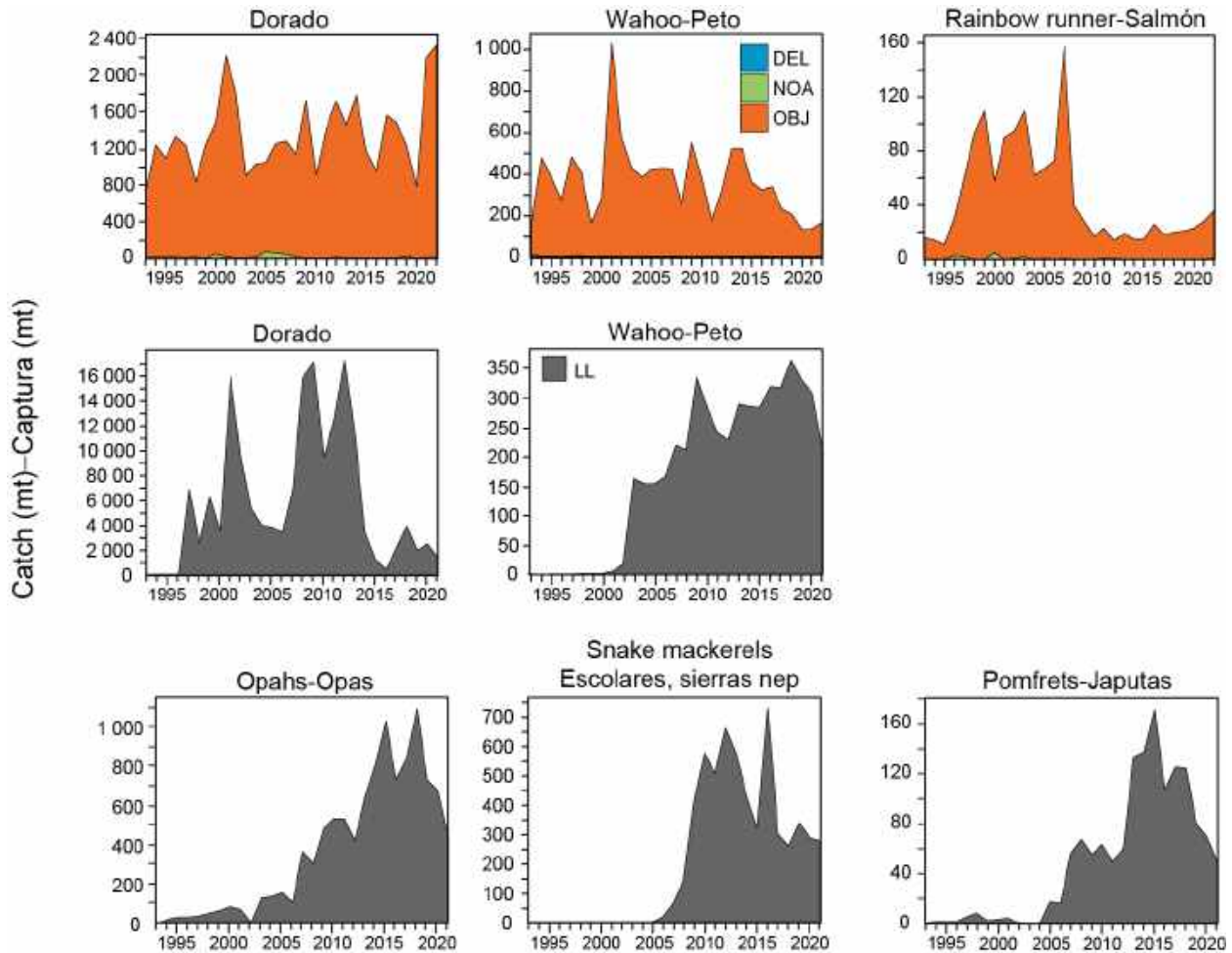


FIGURE L-5. Estimated purse-seine and longline catches in metric tons (t) of key species of large fishes in the eastern Pacific Ocean. Purse-seine catches are provided for size-class 6 vessels with a carrying capacity >363 t (1993–2022) by set type: floating object (OBJ), unassociated tuna schools (NOA) and dolphins (DEL). Longline (LL) catches (1993–2021) are minimum reported gross-annual removals (see section 2.2. for uncertainty and data gaps in reporting of bycatch species caught by longline).

FIGURA L-5. Capturas cerqueras y palangreras estimadas en toneladas (t) de especies clave de peces grandes en el Océano Pacífico oriental. Se presentan las capturas cerqueras para buques de clase 6 con una capacidad de acarreo >363 t (1993-2022) por tipo de lance: objeto flotante (OBJ), atunes no asociados (NOA) y delfines (DEL). Las capturas palangreras (LL) (1993–2021) son extracciones anuales brutas mínimas reportadas (ver la Sección 2.2 para consultar información sobre la incertidumbre y las deficiencias de los datos en la notificación de especies capturadas incidentalmente con palangre).

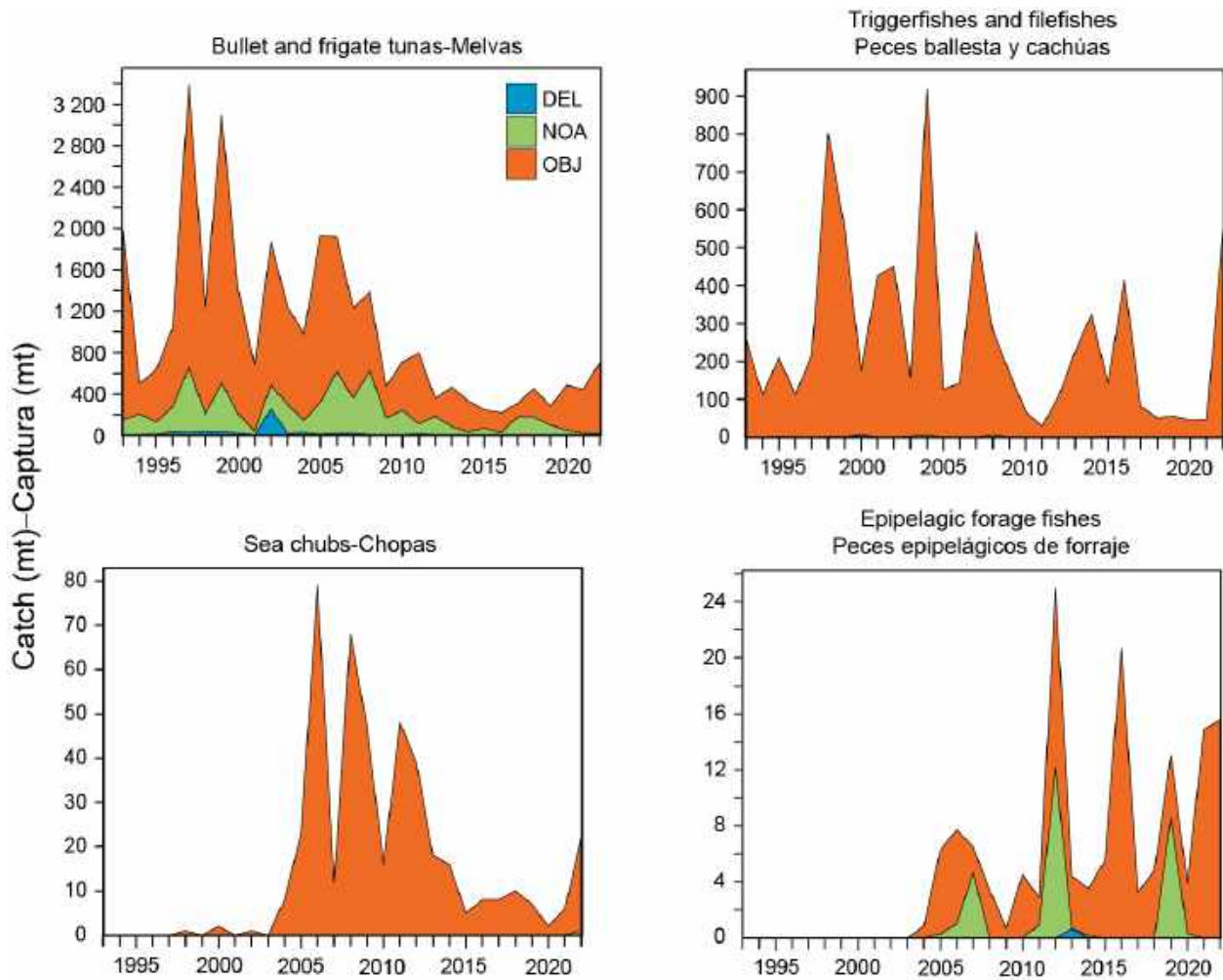


FIGURE L-6. Estimated purse-seine catches in metric tons (t) of key species of small fishes in the eastern Pacific Ocean. Purse seine catches are provided for size-class 6 vessels with a carrying capacity >363 t (1993–2022) by set type: floating object (OBJ), unassociated tuna schools (NOA) and dolphins (DEL).

FIGURA L-6. Capturas cerqueras estimadas en toneladas (t) de especies clave de peces pequeños en el Océano Pacífico oriental. Se presentan las capturas cerqueras para buques de clase 6 con una capacidad de acarreo >363 t (1993-2022) por tipo de lance: objeto flotante (OBJ), atunes no asociados (NOA) y delfines (DEL).

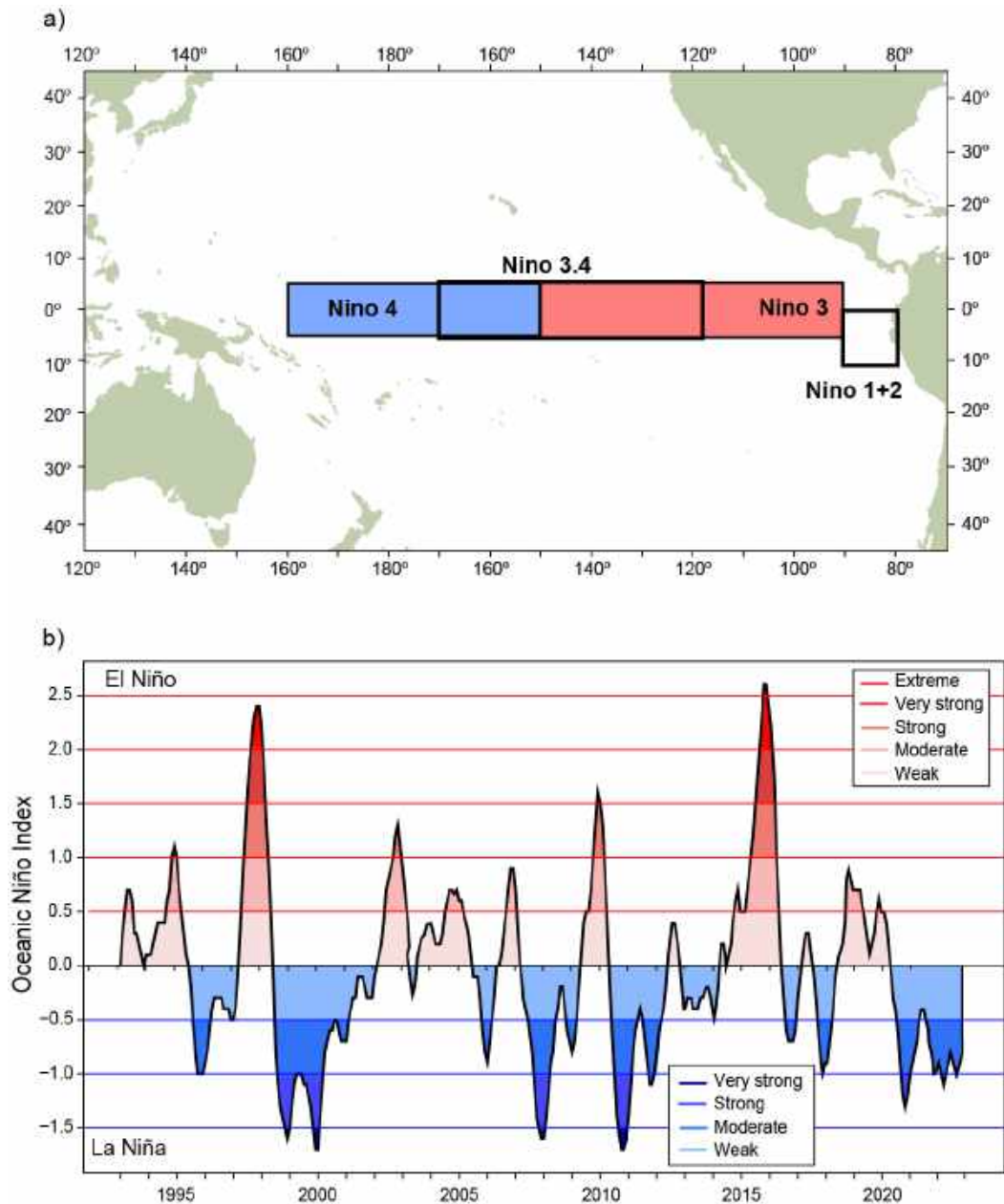


FIGURE L-7. El Niño regions used as indicators of El Niño Southern Oscillation (ENSO) events in the Pacific Ocean (top panel), and the Oceanic Niño Index (ONI) used to monitor ENSO conditions in Niño region 3.4 from 5°N to 5°S and 120°W to 170°W (bottom panel). Time series shows the running 3-month mean ONI values from the start of the IATTC observer program through December 2022. ONI data obtained from: http://origin.cpc.ncep.noaa.gov/products/analysis_monitoring/ensostuff/ONI_v5.php

FIGURA L-7. Regiones de El Niño utilizadas como indicadores de los eventos de El Niño-Oscilación del Sur (ENOS) en el Océano Pacífico (panel superior), e Índice de El Niño Oceánico (ONI) usado para dar seguimiento a las condiciones de ENOS en la región Niño 3.4 de 5°N a 5°S y de 120°O a 170°O (panel inferior). Las series de tiempo muestran los valores del promedio móvil de 3 meses del ONI desde el inicio del programa de observadores de la CIAT hasta finales de diciembre de 2022. Datos del ONI obtenidos de: http://origin.cpc.ncep.noaa.gov/products/analysis_monitoring/ensostuff/ONI_v5.php

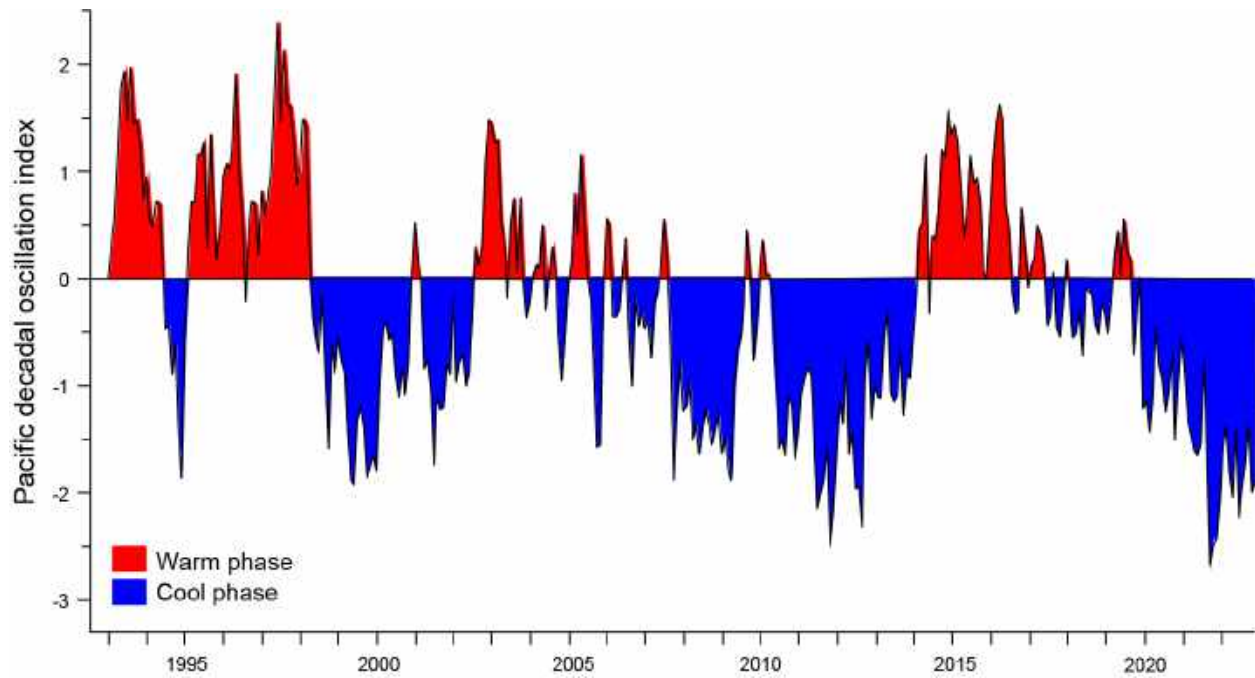


FIGURE L-8. Monthly values of the Pacific Decadal Oscillation (PDO) Index, January 1993–December 2022. ERSST V5 PDO Time Series data obtained from: <https://psl.noaa.gov/pdo/>

FIGURA L-8. Valores mensuales del índice de Oscilación Decadal del Pacífico (PDO), enero de 1993–diciembre de 2022. Datos de la serie de tiempo ERSST V5 PDO obtenidos de: <https://psl.noaa.gov/pdo/>

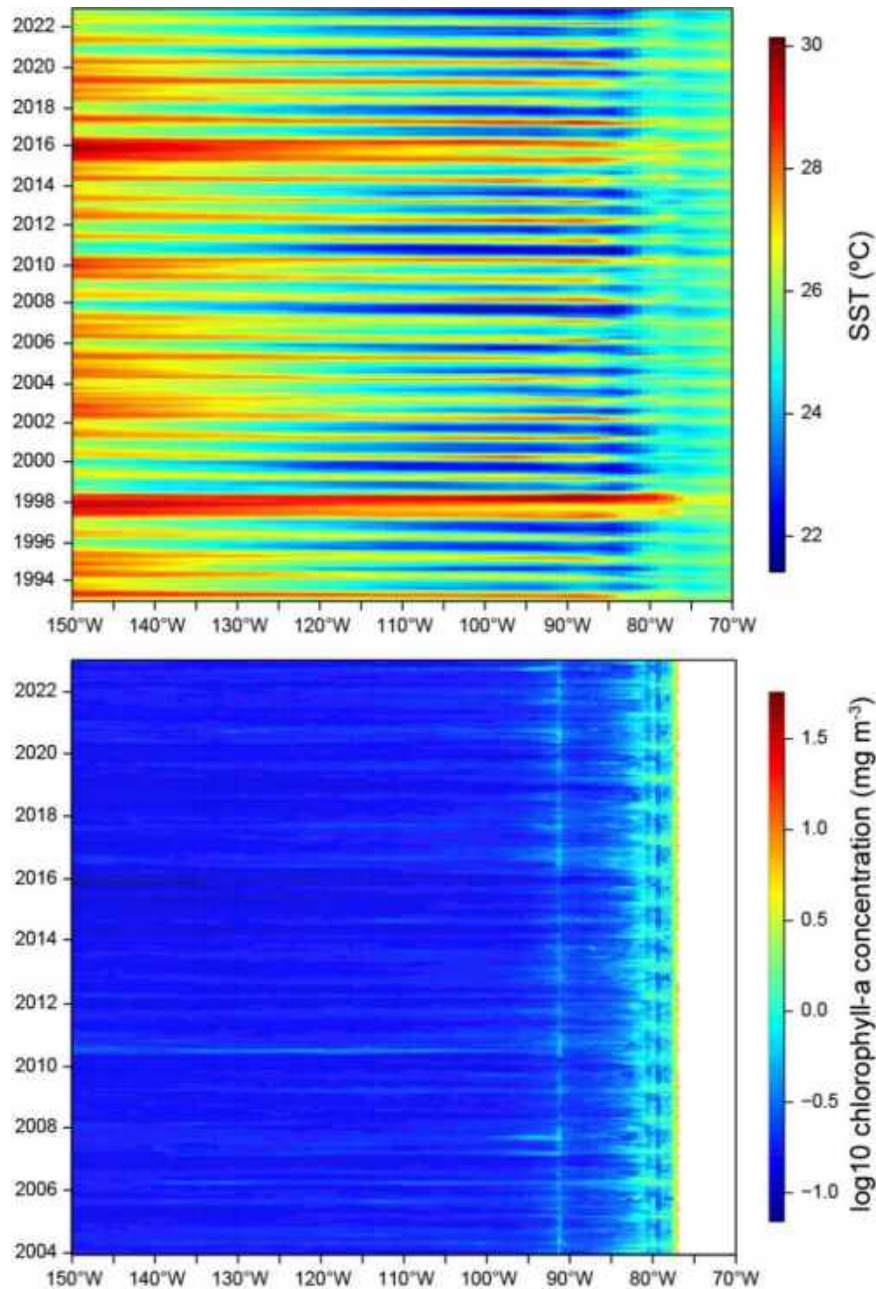


FIGURE L-9. Time-longitude Hovmöller diagram with data averaged across the tropical eastern Pacific Ocean from 5°N to 5°S for mean monthly SST for January 1993–December 2022 (top panel) (<https://www.esrl.noaa.gov/psd/>) and mean monthly chlorophyll-a concentration for January 2003–December 2022 (bottom panel) (https://coastwatch.pfeg.noaa.gov/erddap/info/erdMH1chlamday_R2022SQ/index.html)

FIGURA L-9. Diagrama de Hovmöller tiempo-longitud con datos promediados en el Océano Pacífico tropical oriental de 5°N a 5°S para la TSM promedio mensual de enero de 1993 a diciembre de 2022 (panel superior) (<https://www.esrl.noaa.gov/psd/>) y concentración promedio mensual de clorofila-a de enero de 2003 a diciembre de 2022 (panel inferior) (https://coastwatch.pfeg.noaa.gov/erddap/info/erdMH1chlamday_R2022SQ/index.html).

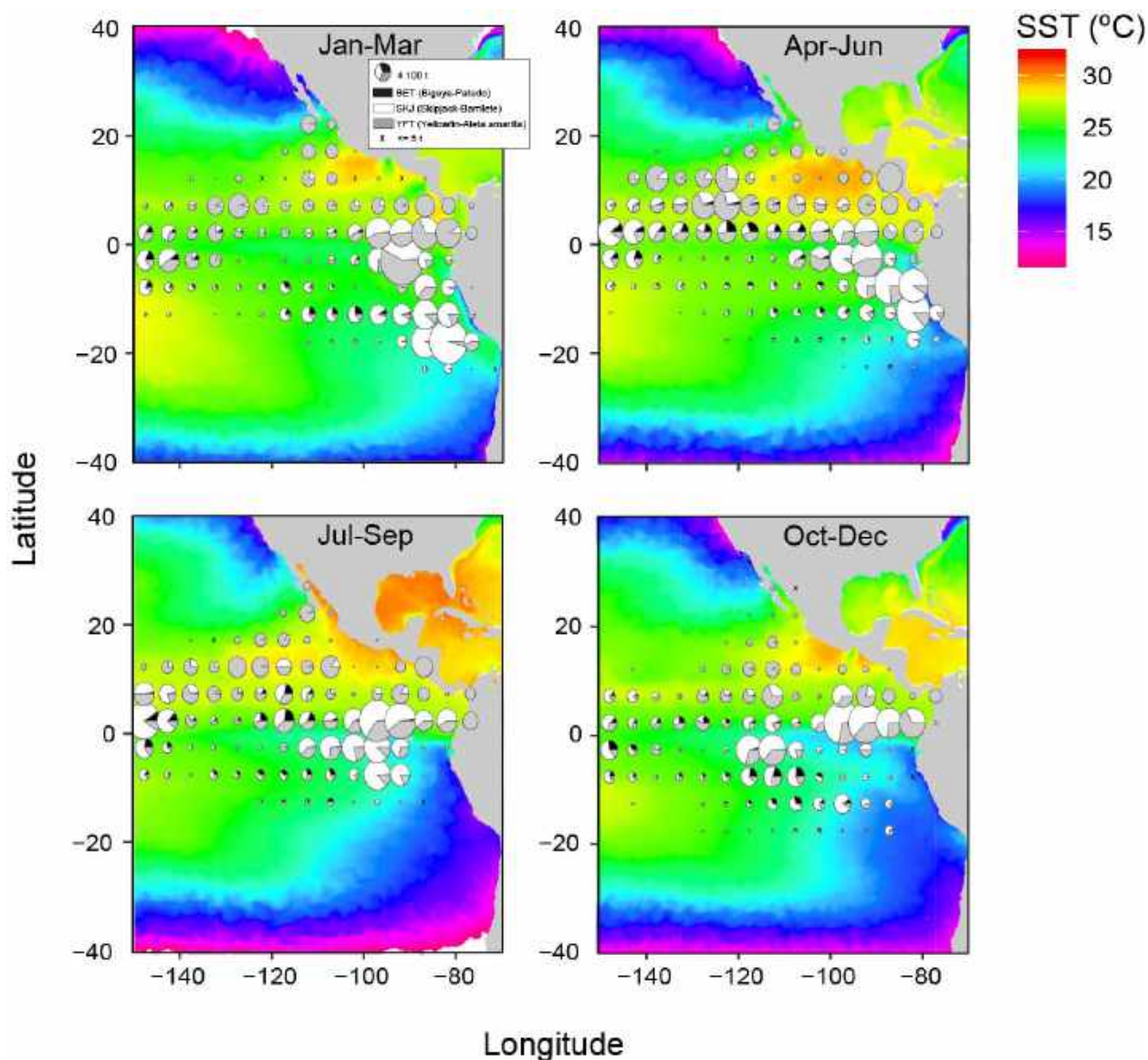


FIGURE L-10. Mean sea surface temperature (SST) for each quarter during 2022 with catches of tropical tunas overlaid. SST data obtained from NOAA NMFS SWFSC ERD on January 19, 2023, “Multi-scale Ultra-high Resolution (MUR) SST Analysis fv04.1, Global, 0.01°, 2002–present, Monthly”, <https://coastwatch.pfeg.noaa.gov/erddap/info/jplMURSST41mday/index.html>.

FIGURA L-10 Temperatura superficial del mar (TSM) promedio para cada trimestre de 2022 con las capturas de atunes tropicales superpuestas. Datos de TSM obtenidos de NOAA NMFS SWFSC ERD el 19 de enero de 2023, “Multi-scale Ultra-high Resolution (MUR) SST Analysis fv04.1, Global, 0.01°, 2002–present, Monthly”, <https://coastwatch.pfeg.noaa.gov/erddap/info/jplMURSST41mday/index.html>.

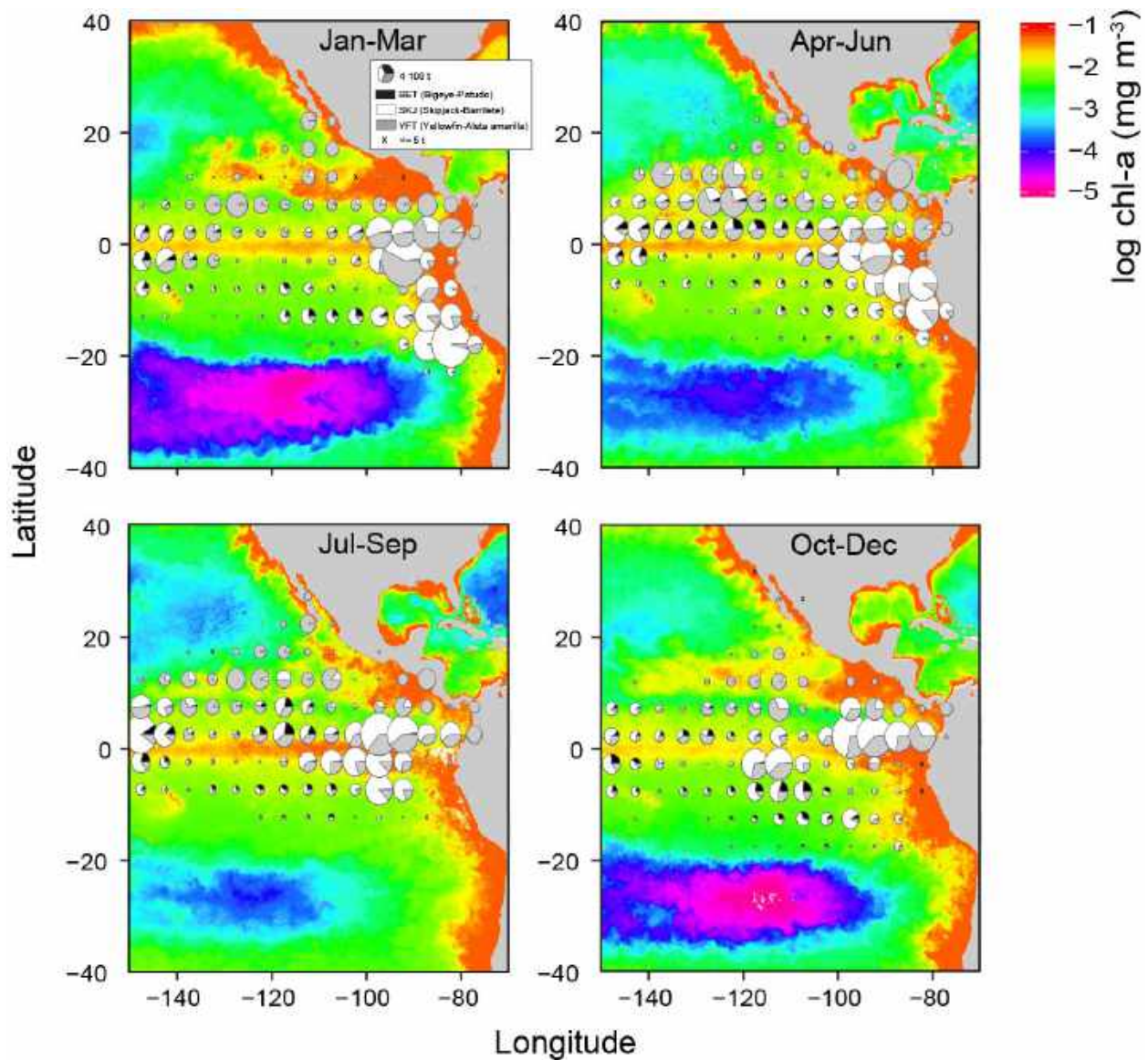


FIGURE L-11. Mean log chlorophyll-a concentration (in mg m^{-3}) for each quarter during 2022 with catches of tropical tunas overlaid. Chlorophyll data obtained from NOAA CoastWatch on March 3, 2023, “Chlorophyll-a, Aqua MODIS, NPP, L3SMI, Global, 4km, R2022 SQ, 2003-present (Monthly Composite)”, NOAA NMFS SWFSC ERD, https://coastwatch.pfeg.noaa.gov/erddap/info/erdMH1chlamday_R2022SQ/index.html.

FIGURA L-11. Concentración promedio de clorofila-a (en mg m^{-3}) para cada trimestre de 2022 con las capturas de atunes tropicales superpuestas. Datos de clorofila obtenidos de NOAA CoastWatch el 3 de marzo de 2023, “Chlorophyll-a, Aqua MODIS, NPP, L3SMI, Global, 4km, R2022 SQ, 2003-present (Monthly Composite)”, NOAA NMFS SWFSC ERD, https://coastwatch.pfeg.noaa.gov/erddap/info/erdMH1chlamday_R2022SQ/index.html.

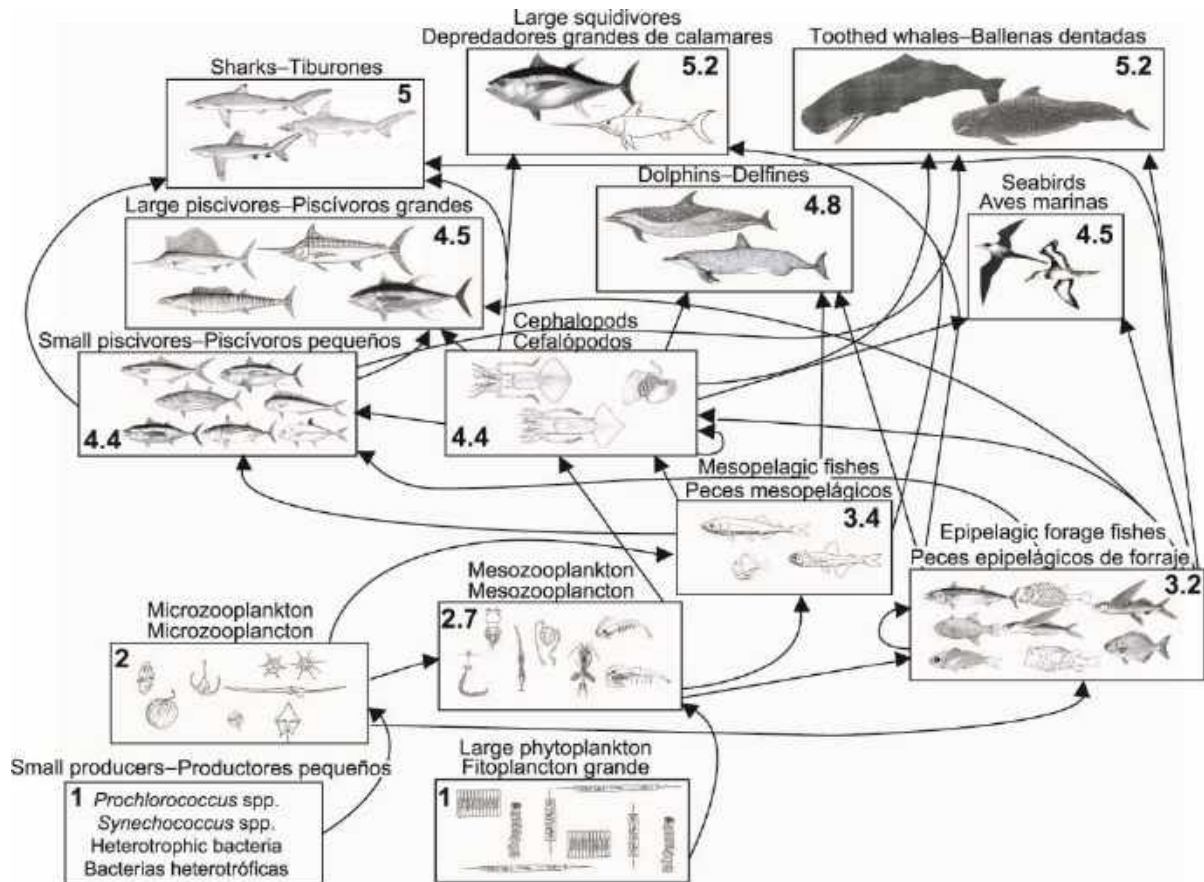


FIGURE L-12. Simplified food-web diagram of the pelagic ecosystem in the tropical EPO. The numbers inside the boxes indicate the approximate trophic level of each group.

FIGURA L-12. Diagrama simplificado de la red trófica del ecosistema pelágico en el OPO tropical. Los números en los recuadros indican el nivel trófico aproximado de cada grupo.

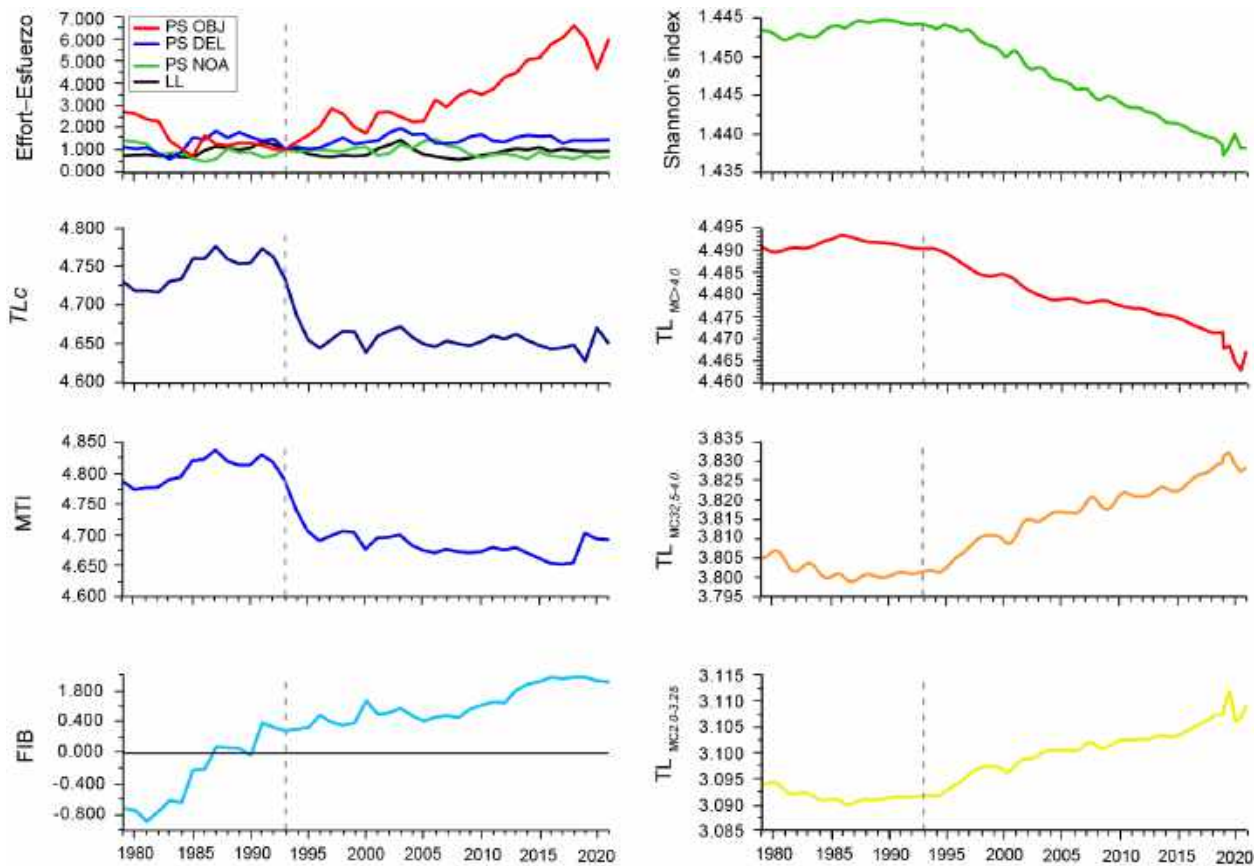


FIGURE L-13. Annual values for seven ecological indicators of changes in different components of the tropical EPO ecosystem, 1979–2021 (see Section 6 of text for details), and an index of longline (LL) and purse-seine (PS) fishing effort, by set type (dolphin (DEL), unassociated (NOA), floating object (OBJ)), relative to the model start year of 1993 (vertical dashed line), when the expansion of the purse-seine fishery on FADs began.

FIGURA L-13 Valores anuales de siete indicadores ecológicos de cambios en diferentes componentes del ecosistema del OPO tropical, 1979–2021 (ver detalles en la sección 6 del texto), y un índice de esfuerzo palangrero (LL) y cerquero (PS), por tipo de lance (delfín (DEL), no asociado (NOA), objeto flotante (OBJ)) relativo al año de inicio del modelo de 1993 (línea de trazos vertical), cuando comenzó la expansión de la pesquería cerquera sobre plantados.

Table L-1a. Estimated number of individuals of incidental dolphin mortalities by set type and stock in the eastern Pacific Ocean by the purse-seine fishery from 1993-2022. Purse-seine set types: floating object (OBJ), unassociated tuna schools (NOA) and dolphins (DEL). Data for 2022 are considered preliminary.

Tabla L-1a. Número estimado de individuos de mortalidades incidentales de delfines por la pesquería de cerco durante 1993-2022, por tipo de lance y población en el Océano Pacífico oriental. Tipos de lances de cerco: sobre objetos flotantes (OBJ), no asociados (NOA) y sobre delfines (DEL). Los datos de 2022 se consideran preliminares.

Año	Manchado nororiental Cerco			Manchado occidental-sureño Cerco			Tornillo oriental Cerco			Tornillo panza blanca Cerco		
	DEL	NOA	OBJ	DEL	NOA	OBJ	DEL	NOA	OBJ	DEL	NOA	OBJ
1993	1,112	-	-	773	-	-	725	-	-	437	-	-
1994	847	-	-	1,228	-	-	828	-	-	640	-	-
1995	952	-	-	859	-	-	654	-	-	431	5	-
1996	818	-	-	545	-	-	450	-	-	447	-	-
1997	718	3	-	1,044	-	-	391	-	-	498	-	-
1998	298	-	-	341	-	-	422	-	-	249	-	-
1999	358	-	-	253	-	-	363	-	-	192	-	-
2000	295	-	-	435	-	-	275	-	-	262	-	-
2001	592	-	-	315	-	-	470	-	-	374	-	-
2002	435	-	-	203	-	-	403	-	-	182	-	-
2003	288	-	-	335	-	-	290	-	-	170	-	-
2004	261	-	-	256	-	-	223	-	-	214	-	-
2005	273	-	-	100	-	-	275	-	-	108	-	-
2006	147	-	-	135	-	-	160	-	-	144	-	-
2007	189	-	-	116	-	-	175	-	-	113	-	-
2008	184	-	-	167	-	-	349	-	-	171	-	-
2009	266	-	-	254	-	-	288	-	-	222	-	-
2010	170	-	-	135	-	-	510	-	-	92	-	-
2011	172	-	-	124	-	-	467	-	-	139	-	-
2012	151	-	-	187	-	-	324	-	-	107	-	-
2013	158	-	-	145	-	-	303	-	-	111	-	-
2014	181	-	-	168	-	-	356	-	-	183	-	-
2015	191	-	-	158	-	-	196	-	-	139	-	-
2016	127	-	-	111	-	-	243	-	-	89	-	-
2017	85	-	-	183	-	-	266	-	-	95	-	-
2018	99	-	-	197	-	-	252	-	-	205	-	-
2019	104	-	-	220	-	-	269	-	-	143	-	-
2020	106	-	-	153	-	-	251	-	-	138	-	-
2021	166	-	-	173	-	-	194	-	-	172	-	-
2022	147	-	-	197	-	-	271	-	-	300	-	-
Total	9,891	3	-	9,511	-	-	10,644	-	-	6,768	5	-

Tabla L-1a continuación

Año	Común norteño Cercos			Común central Cercos			Común sureño Cercos			Otros delfines Cercos		
	DEL	NOA	OBJ	DEL	NOA	OBJ	DEL	NOA	OBJ	DEL	NOA	OBJ
1993	139	-	-	230	-	-	-	-	-	178	-	7
1994	75	10	-	170	-	-	-	-	-	291	7	-
1995	9	-	-	192	-	-	-	-	-	171	1	-
1996	77	-	-	51	-	-	30	-	-	129	-	-
1997	9	-	-	114	-	-	58	-	-	150	-	20
1998	256	5	-	172	-	-	14	19	-	84	16	-
1999	85	-	-	34	-	-	1	-	-	59	3	-
2000	54	-	-	223	-	-	10	-	-	57	24	1
2001	94	-	-	205	-	-	46	-	-	44	-	-
2002	69	-	-	155	-	-	3	-	-	34	9	6
2003	133	-	-	140	-	-	97	-	-	37	-	2
2004	148	8	-	97	-	-	225	-	-	37	-	-
2005	114	-	-	57	-	-	154	-	-	70	-	-
2006	129	-	-	86	-	-	40	-	-	43	2	-
2007	55	-	-	69	-	-	95	-	-	25	1	-
2008	103	1	-	14	-	-	137	-	-	43	-	-
2009	107	2	-	30	-	-	49	-	-	21	-	-
2010	124	-	-	116	-	-	8	-	-	14	-	1
2011	25	10	-	12	-	-	9	-	-	28	-	-
2012	49	-	-	4	-	-	30	-	-	18	-	-
2013	69	-	-	-	-	-	8	-	-	6	1	-
2014	49	-	-	13	-	-	9	-	-	15	-	1
2015	43	-	-	21	-	-	12	-	-	5	-	-
2016	82	-	-	36	-	-	9	-	-	4	-	1
2017	24	2	-	9	-	-	16	-	-	3	-	-
2018	41	-	-	1	-	-	18	-	-	6	-	-
2019	25	-	-	3	-	-	2	-	-	10	-	2
2020	1	-	-	18	-	-	3	-	-	19	-	-
2021	3	-	-	6	-	-	5	-	-	6	-	-
2022	23	-	-	2	-	-	20	-	-	5	-	-
Total	2,214	38	-	2,280	-	-	1,108	19	-	1,612	64	41

Table L-1b. Minimum number of marine mammal interactions and mortalities in 2021 reported by observers onboard longline vessels under the current mandate of at least 5% coverage ([C-19-08](#)) of each CPC fleet operating in the eastern Pacific Ocean. All reported marine mammal interactions were precautionarily presumed to be mortalities (i.e., disposition was either not reported or reported as "Injured"). These data are considered incomplete as some CPCs suspended their observer programs due to the COVID-19 pandemic and data are insufficient for expanding to fleet totals ([BYC-10 INF-D](#)) (see section 2.2 for uncertainty and data gaps associated with longline data reporting).

Tabla L-1b. Número mínimo de interacciones con mamíferos marinos y mortalidades en 2021 reportadas por observadores a bordo de buques palangreros bajo el mandato actual de al menos 5% de cobertura ([C-19-08](#)) de cada flota de los CPC que opera en el Océano Pacífico oriental. Se supuso precautoriamente que todas las interacciones con mamíferos marinos reportadas fueron mortalidades (es decir, no se reportó la disposición o se reportó como "Herido"). Estos datos se consideran incompletos ya que algunos CPC suspendieron sus programas de observadores debido a la pandemia de COVID-19 y los datos son insuficientes para expandirlos a totales de la flota ([BYC-10 INF-D](#)) (ver Sección 2.2. para consultar información sobre la incertidumbre y las deficiencias de los datos asociadas a la notificación de datos de palangre)

Taxones de mamíferos marinos	Interacciones	Mortalidades
Delfín nariz de botella, <i>Tursiops truncatus</i>	1	1
Delfín tornillo no identificado, <i>Stenella longirostris</i>	2	2
Delfín, nep, Delphinidae	2	2
Orca falsa, <i>Pseudorca crassidens</i>	4	4
Orca pigmea, <i>Feresa attenuata</i>	1	1
Cetáceo no identificado, nep, Cetacea	1	1
Números totales	11	11

Table L-2a. Estimated number of turtle interactions and mortalities by observers onboard purse-seine size-class 6 vessels with a carrying capacity >363 t (1993–2022). Purse-seine set types: floating object (OBJ), unassociated tuna schools (NOA) and dolphins (DEL). Data for 2022 are considered preliminary.

Tabla L-2a. Número estimado de mortalidades e interacciones de tortugas por observadores a bordo de buques cerqueros de clase 6 con una capacidad de acarreo >363 t (1993–2022). Tipos de lances cerqueros: objeto flotante (OBJ), atunes no asociados (NOA) y delfines (DEL). Los datos de 2022 se consideran preliminares.

Año	<i>Lepidochelys olivacea</i> , golfina (LKV)						<i>Chelonia agassizii</i> , <i>Chelonia mydas</i> , tortuga verde del Pacífico oriental (TUG)						<i>Caretta caretta</i> , caguama (TTL)					
	Cercos			Cercos			Cercos			Cercos			Cercos					
	Interacciones			Mortalidades			Interacciones			Mortalidades			Interacciones			Mortalidades		
	OBJ	NOA	DEL	OBJ	NOA	DEL	OBJ	NOA	DEL	OBJ	NOA	DEL	OBJ	NOA	DEL	OBJ	NOA	DEL
1993	285	376	102	24	41	13	54	220	18	2	13	-	3	51	2	-	4	-
1994	455	114	137	50	17	13	132	170	12	7	9	-	6	15	2	-	2	-
1995	537	89	117	66	11	14	181	196	8	10	2	1	9	52	3	-	2	-
1996	520	97	96	47	9	9	138	63	4	11	1	-	12	18	2	-	-	-
1997	544	439	112	54	33	7	164	59	16	8	3	2	7	38	3	1	3	1
1998	649	116	209	66	22	20	141	13	20	7	1	1	15	5	4	1	-	-
1999	1,005	140	160	82	18	9	130	16	21	5	2	4	9	9	2	1	3	-
2000	463	248	139	46	29	11	93	17	5	6	-	-	4	6	1	2	-	-
2001	802	162	136	51	11	4	164	24	8	6	2	-	10	1	2	1	-	-
2002	767	97	165	23	3	7	110	11	15	3	-	-	14	5	8	-	-	-
2003	762	147	168	16	4	3	107	25	15	-	-	-	14	4	6	-	-	-
2004	624	110	120	8	3	2	65	38	8	-	-	-	10	11	13	-	-	-
2005	606	872	249	7	6	4	101	122	21	1	1	-	5	15	14	-	-	-
2006	595	337	140	8	4	3	106	119	23	2	-	-	39	19	14	1	-	-
2007	450	494	210	6	1	3	83	56	31	-	1	-	56	38	12	1	-	-
2008	408	27	147	4	-	-	54	20	12	-	-	-	45	5	12	1	-	-
2009	464	30	110	10	-	2	56	12	19	1	-	-	30	5	20	-	-	-
2010	424	128	212	4	3	1	71	20	23	-	2	-	34	24	23	1	-	-
2011	502	96	115	6	-	1	70	89	25	1	1	-	29	46	16	-	1	-
2012	388	53	91	5	-	-	77	42	5	-	-	-	19	19	17	-	-	-
2013	454	20	66	7	1	-	61	10	7	1	-	-	24	9	8	-	-	-
2014	304	19	83	3	-	-	69	16	10	-	-	-	27	1	4	1	-	-
2015	195	49	78	2	-	1	54	12	21	-	-	-	28	6	13	-	-	-
2016	333	49	113	4	-	-	78	35	17	-	-	-	19	21	9	-	-	-
2017	285	24	72	2	-	1	39	21	34	-	-	-	31	20	7	-	-	-
2018	150	5	147	2	-	-	50	24	96	2	-	-	17	7	4	-	-	-
2019	170	28	129	1	-	-	72	13	10	-	-	-	14	46	9	-	-	-
2020	91	14	197	-	-	-	29	4	11	-	-	-	17	3	4	-	-	-
2021	191	2	54	1	-	1	32	17	3	-	-	-	13	5	11	-	-	-
2022	133	2	33	-	-	-	40	-	4	-	-	-	19	3	6	-	-	-
Total	13,557	4,385	3,908	606	215	130	2,619	1,485	522	73	38	8	579	507	251	11	14	1

Tabla L-2a continuación

Año	<i>Eretmochelys imbricata,</i> carey						<i>Dermodochelys coriacea,</i> laúd						Tortugas no identificadas					
	Cercos			Cercos			Cercos			Cercos			Cercos					
	Interacciones			Mortalidades			Interacciones			Mortalidades			Interacciones			Mortalidades		
	OBJ	NOA	DEL	OBJ	NOA	DEL	OBJ	NOA	DEL	OBJ	NOA	DEL	OBJ	NOA	DEL	OBJ	NOA	DEL
1993	1	1	2	-	-	-	2	-	3	-	-	-	66	89	38	3	16	2
1994	5	5	4	-	2	-	3	2	-	1	-	-	151	27	83	34	2	9
1995	8	2	-	-	-	-	-	-	-	-	-	-	130	27	52	24	7	3
1996	8	-	6	-	-	1	5	-	-	-	-	-	151	58	37	30	6	2
1997	4	2	-	-	-	-	3	1	1	-	-	-	180	72	46	25	15	2
1998	7	-	3	3	-	-	1	2	1	-	-	-	121	24	97	26	8	7
1999	4	5	2	1	-	1	-	-	-	-	-	-	202	28	65	39	4	3
2000	4	1	3	1	-	-	1	1	1	-	-	-	92	68	74	17	9	2
2001	5	1	3	1	-	-	-	-	1	-	-	-	206	43	96	22	14	5
2002	8	1	2	-	-	-	1	1	-	-	-	-	175	33	82	6	5	2
2003	6	1	6	-	-	-	-	1	1	-	-	-	169	40	117	5	-	3
2004	12	4	3	-	-	-	1	4	4	-	-	-	151	53	48	4	2	-
2005	1	2	9	-	-	-	1	1	3	-	-	-	103	126	73	4	7	1
2006	12	11	4	-	-	-	1	3	2	-	-	-	184	64	77	1	-	-
2007	9	8	2	1	2	-	3	2	2	-	-	-	130	240	191	7	-	2
2008	7	-	12	-	-	-	2	3	2	-	-	-	182	18	107	1	-	-
2009	8	-	6	-	-	-	1	-	2	-	-	-	141	16	95	3	1	1
2010	11	-	4	1	-	-	3	-	-	-	-	-	122	24	187	3	1	1
2011	5	5	4	-	-	-	1	1	1	-	-	-	125	28	63	-	1	-
2012	4	-	2	-	-	-	1	1	-	-	-	-	99	19	40	3	-	-
2013	7	-	2	1	-	-	1	2	2	-	-	-	175	13	51	2	-	-
2014	7	1	2	-	-	1	7	1	2	-	-	-	132	18	53	1	-	-
2015	2	1	2	-	-	-	4	2	-	-	-	-	174	152	42	-	4	-
2016	14	3	5	-	-	-	2	1	-	-	-	-	307	59	120	2	-	-
2017	7	3	5	-	-	-	2	1	1	-	-	-	243	43	83	-	-	-
2018	7	2	1	-	-	-	3	-	1	-	-	-	160	22	169	-	-	-
2019	5	2	-	-	-	-	-	-	-	-	-	-	193	155	59	-	1	-
2020	5	1	-	-	-	-	2	1	-	-	-	-	108	8	45	1	-	1
2021	4	1	-	-	-	-	1	-	-	-	-	-	102	5	53	-	-	-
2022	10	1	-	-	-	-	2	1	1	-	-	-	92	1	23	-	-	-
Total	197	64	94	9	4	3	54	32	31	1	-	-	4,567	1,571	2,365	264	103	46

Table L-2b. Minimum number of sea turtle interactions and mortalities in 2021 reported by observers onboard longline vessels under the current mandate of at least 5% coverage ([C-19-08](#)) of each CPC fleet operating in the eastern Pacific Ocean. Dispositions considered to indicate a survival event are those reported by observers as “Alive and Healthy”, “Light injuries” and “Released with a hook”, while those considered to indicate a mortality event are dispositions reported as “Dead”, “Discarded”, “Grave Injuries”, “Injured”, “Alive and injured”, or precautionarily where disposition was not reported. For 2021, all sea turtle interactions were precautionarily presumed to result in mortalities as dispositions were reported as “Injured”, “Dead” or not reported. These data are considered incomplete as some CPCs suspended their observer programs due to the COVID-19 pandemic and data are insufficient for expanding to fleet totals ([BYC-10 INF-D](#)) (see section 2.2 for uncertainty and data gaps associated with longline data reporting).

Tabla L-2b. Número mínimo de interacciones con tortugas marinas y mortalidades en 2021 reportadas por observadores a bordo de buques palangreros bajo el mandato actual de al menos 5% de cobertura ([C-19-08](#)) de cada flota de los CPC que opera en el Océano Pacífico oriental. Las disposiciones que se considera que indican un evento de supervivencia son las reportadas por los observadores como "Viva y sana", "Heridas leves" y "Liberada con un anzuelo", mientras que las que se considera que indican un evento de mortalidad son las disposiciones reportadas como "Muerta", "Descartada", "Heridas graves", "Herida", "Viva y herida" o, de manera precautoria, cuando la disposición no fue reportada. Para 2021, se supuso precautoriamente que todas las interacciones con tortugas marinas resultaron en mortalidades, ya que las disposiciones fueron reportadas como "Herida", "Muerta" o no se reportaron. Estos datos se consideran incompletos ya que algunos CPC suspendieron sus programas de observadores debido a la pandemia de COVID-19 y los datos son insuficientes para expandirlos a totales de la flota ([BYC-10 INF-D](#)) (ver Sección 2.2. para consultar información sobre la incertidumbre y las deficiencias de los datos asociadas a la notificación de datos de palangre).

Taxones de tortugas marinas	Interacciones	Mortalidades
Tortuga golfina, <i>Lepidochelys olivacea</i>	5	5
Caguama, <i>Caretta caretta</i>	3	3
Números totales	8	8

Table L-3. Minimum number of seabird interactions in 2021 reported by observers onboard longline vessels under the current mandate of at least 5% coverage (C-19-08) of each CPC fleet operating in the eastern Pacific Ocean. All reported seabird interactions are precautionarily presumed to be mortalities (i.e., disposition was reported as “Discarded” or not reported). These data are considered incomplete as some CPCs suspended their observer programs due to the COVID-19 pandemic and data are insufficient for expanding to fleet totals (BYC-10 INF-D) (see section 2.2 for uncertainty and data gaps associated with longline data reporting).

Tabla L-3. Número mínimo de interacciones con aves marinas en 2021 reportadas por observadores a bordo de buques palangreros bajo el mandato actual de al menos 5% de cobertura (C-19-08) de cada flota de los CPC que opera en el Océano Pacífico oriental. Se supone precautoriamente que todas las interacciones con aves marinas reportadas son mortalidades (es decir, la disposición fue reportada como "Descartada" o no fue reportada). Estos datos se consideran incompletos ya que algunos CPC suspendieron sus programas de observadores debido a la pandemia de COVID-19 y los datos son insuficientes para expandirlos a totales de la flota (BYC-10 INF-D) (ver Sección 2.2. para consultar información sobre la incertidumbre y las deficiencias de los datos asociadas a la notificación de datos de palangre).

Taxones de aves marinas	Interacciones	Mortalidades
Pardela gorgiblanca, <i>Procellaria aequinoctialis</i>	63	63
Albatros errante, <i>Diomedea exulans</i>	58	58
Albatros ceja negra, <i>Thalassarche melanophrys</i>	53	53
Albatros de Laysan, <i>Phoebastria immutabilis</i>	45	45
Albatros patinegro, <i>Phoebastria nigripes</i>	44	44
Petrel darnero, <i>Daption capense</i>	27	27
Albatros nep, <i>Diomedea</i> spp.	25	25
Bobos y alcatraces, nep, Sulidae	16	16
Albatros de Auckland, <i>Thalassarche steadi</i>	3	3
Golondrina nep, <i>Sterna</i> spp.	3	3
Pardela capirotada, <i>Puffinus gravis</i>	2	2
Pardelas o petreles nep, Procellariidae	1	1
Números totales	340	340

Table L-4a. Estimated purse-seine catches by set type in metric tons (t) of sharks by observers onboard size-class 6 vessels with a carrying capacity >363 t (1993–2022) and minimum reported longline (LL) catches of sharks (gross-annual removals in t) (1993–2021, *data not available; see section 2.2. for uncertainty and data gaps in reporting of bycatch caught by longline). Purse-seine set types: floating object (OBJ), unassociated tuna schools (NOA) and dolphins (DEL). Species highlighted bold are discussed in main text. Data for 2021 (longline) and 2022 (purse-seine) are considered preliminary.

Tabla L-4a. Capturas cerqueras estimadas de tiburones, por tipo de lance, en toneladas (t), por observadores a bordo de buques de clase 6 con una capacidad de acarreo >363 t (1993–2022) y capturas palangreras (LL) mínimas reportadas de tiburones (extracciones anuales brutas en t) (1993–2021, *datos no disponibles; ver Sección 2.2. para consultar información sobre la incertidumbre y las deficiencias de los datos en la notificación de especies capturadas incidentalmente con palangre). Tipos de lances cerqueros: objeto flotante (OBJ), atunes no asociados (NOA) y delfines (DEL). Las especies en negritas se discuten en el texto principal. Los datos de 2021 (palangre) y 2022 (cerco) se consideran preliminares.

Año	Carcharhinidae															
	<i>Carcharhinus falciformis</i> , tiburón sedoso				<i>Carcharhinus longimanus</i> , oceánico punta blanca				<i>Prionace glauca</i> , tiburón azul				Otros Carcharhinidae, Cazones picudos, tintoreras nep			
	Cerca				Cerca				Cerca				Cerca			
OBJ	NOA	DEL	LL	OBJ	NOA	DEL	LL	OBJ	NOA	DEL	LL	OBJ	NOA	DEL	LL	
1993	447	360	51	-	44	18	9	-	<1	2	<1	360	2	5	3	-
1994	439	244	38	-	119	9	4	-	<1	1	<1	209	24	14	5	-
1995	471	120	162	-	200	36	18	-	<1	5	<1	280	4	2	11	-
1996	442	107	47	-	209	5	12	-	2	<1	<1	606	12	<1	7	-
1997	843	188	42	-	236	11	6	-	2	<1	<1	425	18	3	5	-
1998	710	59	171	-	211	7	5	-	1	<1	<1	1,164	4	<1	<1	-
1999	460	100	74	-	163	7	2	-	<1	<1	<1	2,185	9	<1	<1	-
2000	308	97	30	-	98	9	2	-	<1	<1	<1	2,112	5	<1	<1	-
2001	399	76	53	-	96	<1	<1	-	4	<1	<1	2,304	9	<1	-	-
2002	291	142	35	-	31	6	<1	<1	1	<1	<1	2,356	4	17	<1	-
2003	320	102	59	-	19	<1	<1	-	<1	<1	<1	2,054	7	6	<1	-
2004	247	68	76	-	9	<1	<1	<1	<1	<1	-	2,325	5	3	<1	-
2005	322	41	51	-	2	-	<1	-	<1	<1	-	2,825	4	2	3	-
2006	361	46	27	13,053	5	<1	<1	46	<1	1	<1	1,341	13	3	8	280
2007	316	156	41	12,771	2	-	<1	136	<1	1	-	3,169	8	24	11	419
2008	577	27	25	11,205	2	-	<1	55	<1	1	<1	6,838	11	<1	1	741
2009	339	31	33	14,042	4	<1	<1	294	<1	<1	<1	6,678	29	4	20	431
2010	347	66	70	12,510	2	-	<1	94	<1	1	1	10,130	17	10	21	4,259
2011	266	26	55	12,866	2	-	<1	63	<1	<1	1	13,863	20	6	4	4,730
2012	200	33	52	10,585	<1	<1	-	1	<1	2	<1	12,565	8	<1	1	4,082
2013	212	55	38	14,762	<1	<1	-	5	<1	<1	1	12,237	12	2	3	753
2014	422	68	45	5,511	2	-	-	25	1	<1	<1	10,728	13	<1	5	1,515
2015	540	133	48	5,690	3	<1	<1	647	<1	<1	<1	13,194	31	7	2	1,901
2016	488	36	63	9,610	5	<1	<1	755	<1	2	1	12,381	35	<1	3	2,755
2017	665	12	21	15,893	4	<1	<1	3	<1	<1	-	11,086	54	<1	2	2,562
2018	397	12	16	15,072	3	-	<1	19	<1	<1	<1	12,499	28	3	1	1,360
2019	392	13	25	2,599	5	<1	<1	-	<1	<1	<1	11,070	26	4	6	10
2020	345	11	33	14,752	4	-	<1	-	<1	<1	-	15,080	87	5	4	2,896
2021	542	10	21	12	12	<1	<1	-	<1	<1	<1	8,323	30	<1	<1	-
2022	615	23	7	*	11	<1	<1	*	1	<1	-	*	30	2	2	*
Total	12,726	2,463	1,508	170,932	1,505	111	64	2,143	21	24	9	180,390	558	130	131	28,695

Tabla L-4a Continuación

Año	Sphyrnidae															
	<i>Sphyrna zygaena,</i> cornuda cruz				<i>Sphyrna lewini,</i> cornuda común				<i>Sphyrna mokarran,</i> cornuda gigante				<i>Sphyrna spp.,</i> cornudas, nep			
	Cercos				Cercos				Cercos				Cercos			
OBJ	NOA	DEL	LL	OBJ	NOA	DEL	LL	OBJ	NOA	DEL	LL	OBJ	NOA	DEL	LL	
1993	-	<1	-	-	<1	1	-	-	<1	-	-	-	41	17	8	-
1994	1	2	<1	-	<1	4	<1	-	-	-	-	-	102	24	2	-
1995	2	2	-	-	<1	<1	<1	-	<1	-	-	-	71	15	4	-
1996	4	2	-	-	1	<1	-	-	<1	-	-	-	87	39	5	-
1997	21	2	<1	-	10	3	<1	-	1	<1	<1	-	63	10	3	-
1998	18	5	1	-	8	9	<1	-	3	<1	3	-	37	12	5	-
1999	21	3	<1	-	16	3	1	-	1	<1	<1	-	18	5	3	-
2000	11	4	<1	-	7	15	1	-	7	<1	<1	-	7	2	7	-
2001	24	1	<1	-	12	1	<1	-	5	-	<1	-	23	<1	1	-
2002	24	3	1	-	47	<1	1	-	7	-	<1	-	46	4	2	-
2003	49	6	1	-	38	3	3	-	13	<1	<1	-	52	3	2	-
2004	51	11	3	-	25	3	2	-	3	<1	<1	-	60	2	<1	-
2005	34	2	<1	-	25	10	3	-	2	-	<1	-	19	<1	<1	<1
2006	33	6	2	58	19	3	1	-	1	<1	<1	-	3	<1	<1	5
2007	27	5	<1	200	12	3	1	<1	-	<1	<1	-	1	1	<1	43
2008	16	<1	<1	381	16	11	<1	64	<1	-	<1	-	6	<1	1	42
2009	22	<1	<1	423	13	2	1	50	<1	-	-	-	5	1	<1	22
2010	28	1	2	508	13	1	1	143	<1	-	<1	-	3	<1	<1	118
2011	49	2	2	443	13	6	2	191	3	<1	<1	-	12	<1	1	131
2012	32	2	<1	118	9	4	<1	89	<1	<1	<1	-	5	2	1	130
2013	47	2	<1	311	22	2	<1	87	<1	<1	<1	-	9	1	<1	296
2014	35	<1	<1	593	23	2	<1	5	1	<1	<1	-	14	<1	<1	208
2015	32	1	<1	1,961	9	<1	<1	11	<1	<1	-	-	9	<1	<1	392
2016	24	1	<1	4,052	12	1	<1	6	5	<1	-	-	11	1	<1	338
2017	11	<1	<1	3,495	8	3	<1	83	<1	<1	<1	-	6	<1	<1	197
2018	11	<1	<1	851	7	<1	<1	<1	<1	-	-	-	6	<1	<1	173
2019	17	<1	<1	33	11	2	<1	43	1	-	<1	-	5	<1	<1	5
2020	7	<1	<1	941	13	<1	<1	39	<1	-	<1	-	5	<1	<1	1,021
2021	13	<1	<1	37	31	<1	<1	<1	2	-	<1	-	7	-	<1	-
2022	11	-	<1	*	47	<1	<1	*	<1	-	-	*	9	<1	<1	*
Total	676	69	22	14,406	470	97	26	814	62	4	5	-	741	146	52	3,122

Tabla L-4a Continuación

Alopiidae																
<i>Alopias pelagicus</i> , zorro pelágico					<i>Alopias superciliosus</i> , zorro ojón				<i>Alopias vulpinus</i> , zorro				<i>Alopias spp.</i> , zorros, nep			
Cercos					Cercos				Cercos				Cercos			
Año	OBJ	NOA	DEL	LL	OBJ	NOA	DEL	LL	OBJ	NOA	DEL	LL	OBJ	NOA	DEL	LL
1993	-	2	<1	-	<1	2	3	-	-	<1	-	-	2	7	1	14
1994	-	<1	<1	-	-	6	<1	-	-	3	<1	-	<1	11	3	87
1995	<1	<1	<1	-	<1	2	<1	-	<1	1	1	-	1	6	3	200
1996	-	1	-	-	<1	1	<1	-	<1	<1	<1	-	<1	2	4	28
1997	<1	<1	-	-	<1	1	<1	-	<1	<1	<1	-	<1	4	<1	5
1998	<1	2	<1	-	<1	4	1	-	<1	2	<1	-	<1	5	3	5
1999	<1	4	2	-	<1	1	6	-	<1	<1	<1	-	<1	3	2	5
2000	<1	<1	<1	-	<1	8	1	-	<1	<1	<1	-	<1	<1	6	64
2001	<1	<1	<1	-	<1	4	2	-	<1	<1	<1	-	<1	4	1	172
2002	<1	<1	<1	-	2	8	1	-	<1	2	<1	-	<1	6	4	88
2003	1	5	3	-	<1	8	6	-	<1	<1	<1	-	<1	4	3	134
2004	6	3	2	-	<1	16	1	-	<1	2	<1	-	<1	4	2	43
2005	1	3	2	-	<1	6	3	-	<1	1	2	-	<1	<1	<1	12
2006	2	23	2	-	<1	22	3	187	<1	7	<1	60	<1	3	<1	8
2007	3	3	6	1,133	2	3	3	115	<1	<1	<1	35	<1	1	1	15
2008	1	3	3	4,323	<1	3	3	240	<1	2	<1	38	<1	1	2	17
2009	<1	<1	1	4,909	<1	<1	2	343	<1	<1	<1	76	<1	<1	1	4
2010	<1	<1	3	7,828	<1	<1	2	373	1	<1	<1	34	<1	<1	1	389
2011	<1	2	2	7,302	<1	2	2	458	<1	<1	<1	61	<1	1	<1	430
2012	<1	1	2	7	<1	1	2	326	<1	<1	<1	86	<1	1	<1	526
2013	<1	<1	3	46	<1	<1	2	543	<1	<1	<1	49	<1	<1	1	109
2014	<1	1	2	36	<1	3	2	636	<1	<1	<1	2	<1	<1	<1	850
2015	<1	2	1	463	<1	1	<1	859	<1	-	<1	13	<1	<1	<1	283
2016	<1	2	3	1,045	<1	<1	4	944	<1	1	<1	549	<1	<1	1	96
2017	<1	<1	<1	582	<1	<1	<1	1,148	-	<1	<1	1,682	<1	<1	<1	153
2018	<1	2	<1	464	<1	<1	<1	32	<1	<1	<1	1,684	<1	<1	<1	39
2019	1	<1	<1	444	<1	<1	<1	17	-	-	<1	1	<1	<1	<1	31
2020	<1	<1	2	342	<1	<1	1	1,273	-	-	<1	746	<1	<1	<1	6
2021	<1	<1	<1	1	<1	<1	<1	3	<1	<1	<1	<1	<1	<1	<1	1
2022	<1	<1	<1	*	<1	<1	<1	*	<1	<1	<1	*	<1	<1	<1	*
Total	23	66	45	28,925	17	108	55	7,496	5	28	13	5,116	15	70	47	3,814

Tabla L-4a Continuación

Año	Lamnidae								Triakidae				Otros tiburones				Todos los tiburones			
	Isurus spp., marrajos				Lamnidae spp., jaquetones, marrajos, nep				Triakidae spp., cazones, nep											
	Cercos				Cercos				Cercos				Cercos				Cercos			
	OBJ	NOA	DEL	LL	OBJ	NOA	DEL	LL	OBJ	NOA	DEL	LL	OBJ	NOA	DEL	LL	OBJ	NOA	DEL	LL
1993	<1	2	<1	383	-	<1	-	-	-	-	-	-	84	19	14	271	623	438	90	1,028
1994	2	<1	<1	156	-	-	-	-	-	-	-	-	69	47	7	782	759	367	62	1,234
1995	2	<1	<1	216	-	-	-	-	-	-	-	-	103	29	13	226	856	220	213	922
1996	1	<1	<1	318	-	-	-	-	-	-	-	-	69	41	34	168	830	202	110	1,120
1997	2	1	-	361	-	-	-	-	-	-	-	-	88	4	2	166	1,287	230	62	956
1998	1	<1	<1	693	-	-	-	-	-	-	-	-	90	10	6	237	1,085	116	198	2,099
1999	<1	<1	<1	460	-	-	-	-	-	-	-	-	50	12	4	3,347	739	140	97	5,997
2000	2	<1	-	502	-	-	-	-	-	-	-	-	21	67	178	5,740	466	207	227	8,418
2001	2	<1	<1	1,168	-	-	-	-	-	-	-	-	29	4	2	8,896	605	94	62	12,540
2002	4	<1	<1	1,131	-	-	-	-	-	-	-	1,484	40	11	3	7,339	497	201	51	12,398
2003	2	<1	<1	1,156	-	-	-	-	-	-	-	1,287	12	37	4	9,866	516	177	83	14,498
2004	1	<1	<1	1,374	-	-	-	-	-	-	-	846	36	10	5	6,684	446	125	95	11,273
2005	1	2	<1	1,367	-	-	-	-	-	-	-	838	5	1	1	7,075	417	71	67	12,117
2006	2	4	<1	95	-	-	-	2	-	-	-	674	8	<1	<1	4,770	449	118	46	20,579
2007	2	2	-	181	-	-	-	1	-	-	-	996	5	3	1	5,786	380	203	67	25,000
2008	<1	2	<1	707	-	-	-	1	-	-	-	1,398	12	<1	2	4,091	644	52	40	30,141
2009	1	<1	<1	534	-	-	-	7	-	-	-	695	19	3	1	2,478	434	46	63	30,988
2010	3	<1	<1	1,901	-	-	-	<1	-	-	-	<1	17	4	2	2,246	433	87	104	40,533
2011	3	2	<1	2,802	-	-	-	26	-	-	-	7	30	<1	<1	2,074	401	51	72	45,449
2012	2	2	<1	2,120	-	-	-	12	-	-	-	-	10	<1	<1	1,242	272	50	62	31,889
2013	1	<1	<1	2,121	-	-	-	44	-	-	-	211	45	2	<1	1,517	351	67	49	33,090
2014	2	<1	<1	2,778	-	-	-	51	-	-	-	4,067	24	<1	<1	2,075	540	78	56	29,082
2015	<1	<1	<1	3,118	-	-	-	79	-	-	-	621	18	3	3	10,593	645	151	58	39,823
2016	1	<1	<1	2,476	-	-	-	91	-	-	-	538	19	3	<1	2,245	602	50	78	37,880
2017	<1	<1	-	3,256	-	-	-	112	-	-	-	987	16	1	<1	1,267	766	21	27	42,506
2018	2	<1	<1	3,161	-	-	-	111	-	-	-	730	5	<1	<1	1,161	460	21	20	37,357
2019	<1	<1	<1	2,021	-	-	-	8	-	-	-	<1	6	<1	<1	18	465	23	34	16,302
2020	2	<1	-	3,694	-	-	-	95	-	-	-	1,032	3	2	<1	2,261	467	21	42	44,178
2021	2	<1	-	1,399	-	-	-	7	-	-	-	2	6	<1	<1	32	646	12	24	9,820
2022	1	<1	-	*	-	-	-	*	-	-	-	*	2	<1	<1	*	731	27	11	*
Total	49	28	4	41,649	-	<1	-	649	-	-	-	16,414	942	319	287	94,652	17,810	3,663	2,270	599,216

Table L-4b. Minimum number of shark interactions and mortalities in 2021 reported by observers onboard longline vessels under the current mandate of at least 5% coverage (C-19-08) of each CPC fleet operating in the eastern Pacific Ocean. Data are considered incomplete as some CPCs suspended their observer programs due to the COVID-19 pandemic and data are insufficient for expanding to fleet totals (BYC-10 INF-D) (see section 2.2 for uncertainty and data gaps associated with longline data reporting). Dispositions considered to indicate a survival event are those reported by observers as “Alive and Healthy”, “Alive with light injuries” and “Alive”, while those considered to indicate a mortality event are dispositions reported as “Dead”, “Alive mortal”, “Alive injured”, “Discarded”, “Unknown”, or precautionarily where disposition was not reported.

Tabla L-4b. Número mínimo de interacciones con tiburones y mortalidades en 2021 reportadas por observadores a bordo de buques palangreros bajo el mandato actual de al menos 5% de cobertura (C-19-08) de cada flota de los CPC que opera en el Océano Pacífico oriental. Los datos se consideran incompletos ya que algunos CPC suspendieron sus programas de observadores debido a la pandemia de COVID-19 y los datos son insuficientes para expandirlos a totales de la flota (BYC-10 INF-D) (ver Sección 2.2. para consultar información sobre la incertidumbre y las deficiencias de los datos asociadas a la notificación de datos de palangre). Las disposiciones que se considera que indican un evento de supervivencia son las reportadas por los observadores como "Vivo y sano", "Vivo con heridas leves" y "Vivo", mientras que las que se considera que indican un evento de mortalidad son las disposiciones reportadas como "Muerto", "Vivo, mortalidad probable", "Vivo herido", "Descartado", "Desconocida" o precautoriamente cuando la disposición no fue reportada.

Taxones de tiburones	Interacciones	Mortalidades
Tiburón azul, <i>Prionace glauca</i>	11,262	11,221
Marrajo dientuso, <i>Isurus oxyrinchus</i>	975	975
Tiburón sedoso, <i>Carcharhinus falciformis</i>	486	477
Zorro pelágico, <i>Alopias pelagicus</i>	342	342
Zorro ojón, <i>Alopias superciliosus</i>	207	195
Tiburón oceánico punta blanca, <i>Carcharhinus longimanus</i>	181	172
Cornuda común, <i>Sphyrna lewini</i>	120	120
Tiburón cocodrilo, <i>Pseudocarcharias kamoharai</i>	62	44
Marrajo carite, <i>Isurus paucus</i>	35	35
Tiburones, rayas, etc. nep, Elasmobranchii	31	31
Bruja bocachica, <i>Scymnodon squamulosus</i>	30	28
Zorros, nep, <i>Alopias</i> spp.	19	11
Cornuda cruz, <i>Sphyrna zygaena</i>	14	14
Zorro, <i>Alopias vulpinus</i>	13	13
Otros tiburones *	7	6
Números totales	13,784	13,684
*"Otros tiburones" incluye aquéllos con ≤2 interacciones de 5 taxones en 2021.		

Table L-5a. Estimated purse-seine catches by set type in numbers of rays by observers onboard size-class 6 vessels with a carrying capacity >363 t (1993–2022). Purse-seine set types: floating object (OBJ), unassociated tuna schools (NOA) and dolphins (DEL). Species highlighted bold are discussed in main text. Data for 2022 are considered preliminary.

Tabla L-5a. Capturas cerqueras estimadas de rayas, por tipo de lance, en número de rayas, por observadores a bordo de buques de clase 6 con una capacidad de acarreo >363 t (1993–2022). Tipos de lances cerqueros: objeto flotante (OBJ), atunes no asociados (NOA) y delfines (DEL). Las especies en negritas se discuten en el texto principal. Los datos de 2022 se consideran preliminares.

Año	Mobulidae														
	<i>Mobula thurstoni</i> , manta diablo			<i>Mobula mobular</i> , manta mobula			<i>Mobula munkiana</i> , manta de Munk			<i>Mobula tarapacana</i> , manta cornuda			<i>Mobula birostris</i> , manta gigante		
	OBJ	NOA	DEL	OBJ	NOA	DEL	OBJ	NOA	DEL	OBJ	NOA	DEL	OBJ	NOA	DEL
1993	-	-	-	-	-	-	-	-	-	-	-	-	-	-	-
1994	-	3	-	-	-	-	-	-	-	-	-	-	1	-	-
1995	-	-	-	-	-	-	-	-	-	-	-	-	-	1	-
1996	-	-	-	-	-	-	-	-	-	-	-	-	-	-	-
1997	-	-	-	-	-	-	-	-	-	-	-	-	-	2	-
1998	-	8	-	-	-	-	-	-	-	-	-	-	4	94	1
1999	-	2	1	-	-	-	-	-	-	-	-	-	10	63	1
2000	34	121	101	-	-	-	-	-	-	-	-	-	1	12	2
2001	7	185	98	2	8	16	-	-	3	4	-	-	2	6	6
2002	18	2,048	72	7	8	96	1	3	10	7	15	7	2	6	5
2003	37	707	141	6	79	11	7	35	26	-	-	8	3	10	1
2004	8	429	86	2	30	57	-	15	17	1	28	4	2	47	15
2005	14	72	205	16	111	126	-	21	14	3	42	79	10	23	36
2006	14	572	43	19	473	187	-	65	31	5	52	45	30	37	219
2007	14	64	105	32	202	148	2	29	24	24	37	55	5	17	8
2008	14	126	50	30	247	87	8	127	36	10	276	30	3	61	18
2009	22	31	93	17	56	243	9	45	6	2	21	190	1	11	6
2010	39	123	132	22	334	303	1	48	33	7	12	148	2	1,163	4
2011	6	397	27	18	104	152	11	58	29	9	28	78	5	9	1
2012	15	1,435	67	48	243	34	3	63	6	7	94	21	6	949	13
2013	25	180	40	18	112	62	6	55	6	7	29	26	1	24	21
2014	22	29	75	179	87	57	6	4	15	5	10	18	7	9	-
2015	14	41	101	61	21	338	6	11	74	12	25	93	1	67	38
2016	18	31	166	5	26	115	2	236	86	13	17	26	7	68	3
2017	11	52	43	45	26	15	8	15	10	10	-	11	8	53	11
2018	6	29	5	37	48	56	22	4	12	8	2	2	11	7	1
2019	7	214	11	35	167	61	9	-	8	24	8	18	2	11	3
2020	9	4	12	19	113	37	1	-	47	5	2	7	7	-	1
2021	8	-	-	34	46	16	10	5	-	11	3	13	1	26	-
2022	4	-	98	42	8	25	12	-	4	22	-	12	3	-	8
Total	367	6,904	1,771	693	2,549	2,243	125	839	497	197	702	892	135	2,777	422

Tabla L-5a Continuación

Año	Mobulidae			Dasyatidae						Otras rayas			Todas las rayas		
	Mobulidae spp., rayas mobulidae, nep			<i>Pteroplatytrygon violacea</i> , raya pelágica			Dasyatidae spp., rayas, nep								
	OBJ	NOA	DEL	OBJ	NOA	DEL	OBJ	NOA	DEL	OBJ	NOA	DEL	OBJ	NOA	DEL
1993	297	5,736	503	80	1,983	134	-	-	-	-	-	-	377	7,719	637
1994	52	1,266	375	140	1,632	337	-	-	-	-	-	-	193	2,901	712
1995	69	2,248	500	159	151	144	-	-	-	-	-	-	228	2,400	643
1996	124	1,341	385	101	165	176	-	-	-	-	-	-	225	1,506	561
1997	126	707	396	106	106	993	-	-	-	-	-	-	232	816	1,390
1998	73	2,906	337	95	258	170	-	1,136	-	2	1	-	174	4,403	508
1999	140	1,498	474	164	403	151	-	-	-	-	-	-	314	1,966	627
2000	36	1,805	1,276	104	221	159	-	-	-	-	-	-	175	2,159	1,537
2001	50	289	447	150	64	174	-	-	-	-	-	-	215	553	744
2002	40	1,994	723	113	60	153	2	-	-	-	-	-	190	4,133	1,066
2003	130	1,005	904	94	9,188	135	-	-	-	-	-	-	277	11,025	1,226
2004	63	656	351	138	39	86	4	282	5	-	-	-	218	1,526	620
2005	36	259	177	91	52	173	9	13	20	-	1,724	-	179	2,317	831
2006	43	340	295	153	91	202	29	764	30	-	-	160	293	2,394	1,213
2007	40	205	237	98	54	132	9	931	21	-	19	-	225	1,557	730
2008	41	145	91	97	19	87	14	20	28	-	-	-	217	1,022	427
2009	37	107	270	116	17	105	5	4	68	-	-	-	209	292	981
2010	97	629	256	101	21	901	5	-	60	-	1,596	-	274	3,926	1,837
2011	27	227	81	92	193	90	13	114	18	-	24	-	181	1,154	476
2012	18	186	41	121	30	100	13	17	3	1	12	7	232	3,029	292
2013	15	121	323	90	59	255	27	2	6	-	-	403	189	582	1,142
2014	24	72	24	173	43	108	19	22	18	-	-	-	436	277	315
2015	20	54	141	82	65	163	11	5	32	-	-	-	207	289	980
2016	41	248	162	60	37	352	12	-	70	-	-	-	159	663	980
2017	141	290	100	258	76	130	31	68	144	-	-	137	512	580	601
2018	102	117	155	247	61	123	62	17	14	-	-	-	495	286	368
2019	87	484	165	255	185	143	40	38	27	-	8	1	460	1,114	437
2020	62	67	163	260	145	160	17	14	41	-	-	-	380	345	468
2021	85	73	154	388	178	117	46	3	14	-	25	-	584	360	314
2022	128	23	95	421	76	187	34	9	7	-	-	-	667	116	437
Total	2,244	25,099	9,601	4,548	15,672	6,339	403	3,459	626	3	3,409	709	8,716	61,410	23,100

Table L-5b. Minimum number of ray interactions and mortalities in 2021 reported by observers onboard longline vessels under the current mandate of at least 5% coverage (C-19-08) of each CPC fleet operating in the eastern Pacific Ocean. Data are considered incomplete as some CPCs suspended their observer programs due to the COVID-19 pandemic and data are insufficient for expanding to fleet totals (BYC-10 INF-D) (see section 2.2 for uncertainty and data gaps associated with longline data reporting). Dispositions considered to indicate a survival event are those reported by observers as “Alive and Healthy”, “Alive with light injuries” and “Alive”, while those considered to indicate a mortality event are dispositions reported as “Dead”, “Alive mortal”, “Alive injured”, “Discarded”, “Unknown”, or precautionarily where disposition was not reported.

Tabla L-5b. Número mínimo de interacciones con rayas y mortalidades en 2021 reportadas por observadores a bordo de buques palangreros bajo el mandato actual de al menos 5% de cobertura (C-19-08) de cada flota de los CPC que opera en el Océano Pacífico oriental. Los datos se consideran incompletos ya que algunos CPC suspendieron sus programas de observadores debido a la pandemia de COVID-19 y los datos son insuficientes para expandirlos a totales de la flota (BYC-10 INF-D) (ver Sección 2.2. para consultar información sobre la incertidumbre y las deficiencias de los datos asociadas a la notificación de datos de palangre). Las disposiciones que se considera que indican un evento de supervivencia son las reportadas por los observadores como "Viva y sana", "Viva con heridas leves" y "Viva", mientras que las que se considera que indican un evento de mortalidad son las disposiciones reportadas como "Muerta", "Viva, mortalidad probable", "Viva herida", "Descartada", "Desconocida" o precautoriamente cuando la disposición no fue reportada.

Taxones de rayas	Interacciones	Mortalidades
Raya pelágica, <i>Pteroplatytrygon violacea</i>	3,909	3,703
Rayas nep, Dasyatidae	45	
Rayas mobulidae, Mobulidae	4	4
Números totales	3,960	3,708
*"Otras rayas" incluye aquéllas con ≤2 interacciones de 2 taxones en 2021		

Table L-6a. Estimated purse-seine catches by set type in metric tons (t) of large fishes by observers onboard size-class 6 vessels with a carrying capacity >363 t (1993–2022) and minimum reported longline (LL) catches of large fishes (gross-annual removals in t) (1993–2021, *data not available, see section 2.2. for uncertainty and data gaps in reporting of bycatch caught by longline). Purse-seine set types: floating object (OBJ), unassociated tuna schools (NOA) and dolphins (DEL). Species highlighted bold are discussed in main text. Data for 2021 (longline) and 2022 (purse-seine) are considered preliminary.

Tabla L-6a. Capturas cerqueras estimadas de peces grandes, por tipo de lance, en toneladas (t), por observadores a bordo de buques de clase 6 con una capacidad de acarreo >363 t (1993–22) y capturas palangreras (LL) mínimas reportadas de peces grandes (extracciones anuales brutas en t) (1993–2021, *datos no disponibles; ver Sección 2.2. para consultar información sobre la incertidumbre y las deficiencias de los datos en la notificación de especies capturadas incidentalmente con palangre). Tipos de lances cerqueros: objeto flotante (OBJ), atunes no asociados (NOA) y delfines (DEL). Las especies en negritas se discuten en el texto principal. Los datos de 2021 (palangre) y 2022 (cerco) se consideran preliminares.

Año	Coryphaenidae				Scombridae				Carangidae											
	Coryphaenidae spp., dorado				Acanthocybium solandri, peto				Elagatis bipinnulata, macarela salmón				Seriola spp., medregales, nep				Caranx spp., jureles, pámpanos, nep			
	Cerca				Cerca				Cerca				Cerca				Cerca			
	OBJ	NOA	DEL	LL	OBJ	NOA	DEL	LL	OBJ	NOA	DEL	LL	OBJ	NOA	DEL	LL	OBJ	NOA	DEL	LL
1993	702	14	<1	17	152	11	<1	2	16	<1	<1	-	-	-	-	-	-	-	-	-
1994	1,221	20	<1	46	472	1	1	<1	14	<1	<1	-	<1	-	-	-	-	-	-	-
1995	1,071	22	3	39	379	<1	<1	1	11	<1	<1	-	<1	<1	-	-	-	-	-	-
1996	1,312	18	<1	43	271	<1	<1	1	28	3	<1	-	4	-	-	-	-	-	-	-
1997	1,225	12	<1	6,866	475	3	1	<1	60	2	<1	-	1	-	-	-	<1	-	-	-
1998	816	18	<1	2,528	396	<1	4	2	93	<1	<1	-	4	-	-	-	<1	-	-	-
1999	1,238	4	<1	6,283	161	<1	<1	2	110	<1	<1	-	<1	-	-	-	<1	-	-	-
2000	1,437	51	2	3,537	277	2	<1	2	53	5	<1	-	<1	-	-	-	<1	-	-	-
2001	2,202	17	3	15,942	1,023	2	<1	6	90	<1	<1	-	1	-	-	-	<1	-	-	-
2002	1,815	8	<1	9,464	571	<1	<1	18	94	1	<1	-	<1	<1	-	-	<1	-	-	-
2003	894	11	1	5,301	428	<1	<1	164	108	2	-	-	1	<1	-	-	<1	-	-	-
2004	1,018	17	1	3,986	380	<1	<1	155	62	<1	-	-	56	9	<1	1	2	<1	-	-
2005	972	75	1	3,854	420	<1	<1	155	66	<1	<1	-	26	2	<1	-	2	1	-	-
2006	1,197	58	<1	3,408	424	1	<1	167	73	<1	<1	-	53	8	<1	-	10	220	<1	-
2007	1,235	47	1	6,907	421	2	<1	221	157	<1	-	-	18	80	<1	-	1	11	-	-
2008	1,112	17	2	15,845	249	1	<1	213	40	<1	<1	-	27	<1	-	-	17	18	-	-
2009	1,722	7	<1	17,136	547	<1	<1	336	28	<1	<1	-	13	<1	-	-	11	8	-	-
2010	912	3	<1	9,484	373	1	<1	284	17	<1	<1	-	3	23	-	-	1	48	-	-
2011	1,410	7	<1	12,438	169	2	<1	242	22	<1	-	-	7	33	-	<1	4	14	-	1
2012	1,705	18	<1	17,255	313	<1	<1	230	13	1	-	-	10	7	-	-	2	15	<1	-
2013	1,455	7	<1	11,249	518	1	<1	291	19	<1	-	-	6	<1	<1	-	4	2	<1	-
2014	1,779	9	<1	3,342	517	2	<1	287	15	<1	<1	-	6	2	-	-	3	<1	<1	-
2015	1,167	8	<1	1,206	357	1	<1	285	15	<1	-	-	6	<1	-	-	9	8	<1	-
2016	949	7	<1	446	318	2	<1	321	26	<1	<1	-	12	<1	<1	-	4	<1	8	-
2017	1,557	11	<1	2,118	335	<1	<1	319	18	<1	<1	-	12	5	<1	-	4	12	-	-
2018	1,483	5	5	3,927	230	<1	<1	366	20	<1	-	-	62	<1	-	-	9	<1	-	-
2019	1,208	29	<1	1,964	201	<1	<1	331	21	<1	<1	-	12	4	<1	-	5	<1	-	-
2020	783	4	<1	2,506	130	<1	<1	310	23	-	<1	-	9	1	-	<1	3	<1	<1	-
2021	2,183	13	<1	1,413	132	<1	<1	211	28	<1	<1	-	81	3	-	-	3	<1	-	-
2022	2,320	12	2	*	164	<1	<1	*	35	<1	0	*	25	4	-	*	6	<1	-	*
Total	40,102	550	33	168,551	10,806	42	10	4,924	1,375	20	<1	-	459	183	<1	2	101	360	9	1

Tabla L-6a Continuación

Año	Carangidae				Molidae				Lobotidae				Sphyraenidae				Lampridae			
	Seriola, Caranx spp., medregales, jureles, pámpanos, nep				Molidae spp., molas, nep				Lobotes surinamensis, dormilona				Sphyraenidae spp., barracudas				Lampris spp., Opas			
	Cercos		LL		Cercos		LL		Cercos		LL		Cercos		LL		Cercos		LL	
OBJ	NOA	DEL	LL	OBJ	NOA	DEL	LL	OBJ	NOA	DEL	LL	OBJ	NOA	DEL	LL	OBJ	NOA	DEL	LL	
1993	13	35	<1	-	-	20	<1	-	<1	<1	-	-	-	-	-	-	-	-	-	1
1994	19	6	<1	-	1	3	2	-	<1	-	-	-	<1	34	-	-	-	-	-	23
1995	17	19	-	-	2	4	<1	-	<1	<1	-	-	<1	3	-	-	-	-	-	33
1996	29	153	-	-	5	6	<1	-	<1	-	-	-	<1	<1	-	-	-	-	-	33
1997	68	16	3	-	5	4	3	-	1	<1	<1	-	<1	<1	-	-	-	-	-	40
1998	72	7	<1	-	2	2	1	-	16	<1	-	-	<1	<1	-	-	-	-	-	54
1999	52	46	-	-	2	5	1	-	8	<1	-	-	-	-	-	-	-	-	-	68
2000	29	19	<1	4	2	4	1	-	4	<1	-	-	<1	-	<1	-	-	-	-	88
2001	70	<1	<1	18	6	2	1	-	<1	-	-	-	<1	<1	-	-	-	-	-	73
2002	26	9	<1	15	6	2	1	-	3	-	-	-	<1	-	-	-	-	-	-	6
2003	43	<1	<1	54	<1	4	<1	-	3	<1	-	-	<1	-	-	-	-	-	-	132
2004	8	7	<1	-	6	<1	1	-	1	<1	-	-	<1	-	-	-	-	-	-	139
2005	1	<1	-	-	2	9	2	-	7	<1	<1	-	<1	-	<1	-	-	-	-	159
2006	29	-	-	-	26	14	2	-	9	<1	<1	-	<1	-	-	-	-	-	-	109
2007	2	2	-	6	9	8	2	-	3	<1	<1	-	<1	1	-	-	-	-	-	370
2008	4	-	-	5	9	6	4	-	2	<1	-	-	<1	-	<1	-	-	-	-	308
2009	3	<1	<1	10	6	5	1	-	7	<1	<1	-	1	<1	-	-	-	-	-	488
2010	<1	4	-	8	9	44	1	-	<1	-	-	-	<1	-	<1	-	-	<1	-	539
2011	<1	4	-	7	4	113	<1	-	3	<1	-	-	<1	2	<1	8	-	-	-	539
2012	7	1	-	1	9	12	<1	-	3	<1	-	-	<1	<1	-	-	-	<1	-	425
2013	2	<1	-	<1	9	28	2	-	2	-	<1	-	<1	-	<1	-	-	<1	-	648
2014	2	2	-	11	3	9	1	-	2	-	<1	-	<1	<1	-	-	-	<1	-	818
2015	2	-	<1	11	6	12	1	87	2	<1	-	-	<1	-	-	-	-	-	-	1039
2016	7	5	<1	11	10	7	<1	275	2	-	-	-	<1	<1	-	-	-	-	-	741
2017	4	4	-	-	8	4	<1	<1	5	-	<1	-	<1	-	-	-	-	-	-	846
2018	2	-	-	-	5	2	<1	-	3	<1	-	-	<1	<1	-	-	-	-	-	1102
2019	3	<1	-	-	2	6	<1	-	2	-	<1	-	<1	-	-	-	-	-	<1	740
2020	<1	1	-	-	1	<1	<1	-	2	<1	-	-	<1	-	-	-	-	-	-	683
2021	2	<1	-	-	<1	2	<1	-	1	<1	-	-	1	<1	-	-	-	-	-	449
2022	4	<1	-	*	2	2	<1	*	4	<1	<1	*	<1	-	-	*	-	-	-	*
Total	522	341	5	162	159	338	34	362	98	<1	<1	0	11	41	<1	8	0	<1	<1	10,692

Tabla L-6a Continuación

Año	Gempylidae spp., sierras, nei				Bramidae spp., japutas, nep				Otros peces grandes				Peces no identificados				Todos los peces			
	Cercos			LL	Cercos			LL	Cercos			LL	Cercos			LL				
	OBJ	NOA	DEL		OBJ	NOA	DEL		OBJ	NOA	DEL		OBJ	NOA	DEL					
1993	-	-	-	-	-	-	-	<1	3	<1	<1	-	<1	-	<1	183	887	79	1	203
1994	-	-	-	-	-	-	-	2	3	87	<1	-	<1	<1	12	250	1,731	152	16	321
1995	-	-	-	-	-	-	-	2	<1	3	<1	-	3	1	<1	209	1,485	53	4	285
1996	-	-	-	-	-	-	-	2	3	125	<1	-	3	<1	<1	456	1,655	306	1	535
1997	-	-	-	-	-	-	-	6	7	5	<1	-	7	2	-	847	1,850	44	7	7,760
1998	-	-	-	-	-	-	-	9	13	10	<1	-	7	<1	<1	1,338	1,420	38	7	3,931
1999	-	-	-	-	-	-	-	3	4	54	<1	-	22	4	<1	974	1,599	114	2	7,330
2000	-	-	-	-	-	-	-	4	1	1	-	-	1	<1	<1	1,485	1,804	82	4	5,119
2001	-	-	-	-	-	-	-	5	2	9	<1	-	3	<1	<1	1,720	3,398	30	4	17,763
2002	-	-	-	-	-	-	-	<1	2	<1	<1	-	2	6	<1	1,895	2,521	27	2	11,399
2003	-	-	-	-	-	-	-	-	4	<1	-	-	2	2	-	4,386	1,484	19	2	10,037
2004	-	-	-	-	-	-	-	-	4	<1	<1	-	10	<1	<1	377	1,548	35	3	4,658
2005	-	-	-	-	-	-	-	18	<1	<1	<1	-	3	<1	<1	303	1,501	89	3	4,489
2006	-	-	-	18	-	<1	-	17	<1	<1	<1	7	3	<1	<1	285	1,824	302	3	4,011
2007	-	-	-	65	-	-	-	57	1	<1	<1	5	1	5	<1	1,763	1,848	158	4	9,394
2008	-	-	-	144	-	-	-	68	1	<1	<1	-	<1	<1	<1	793	1,462	44	6	17,375
2009	-	-	-	412	-	-	-	56	1	<1	<1	67	2	-	<1	1,077	2,343	21	2	19,581
2010	-	-	-	575	-	-	-	64	<1	-	<1	-	<1	<1	-	879	1,318	122	2	11,833
2011	-	-	-	506	-	<1	-	50	<1	<1	-	15	<1	-	<1	612	1,621	175	<1	14,418
2012	-	-	-	661	-	-	-	61	<1	2	<1	11	1	<1	-	1,305	2,065	57	1	19,949
2013	-	-	-	574	-	-	-	134	<1	<1	<1	36	<1	<1	-	1,112	2,016	40	3	14,045
2014	-	-	-	431	-	-	-	138	<1	<1	-	77	<1	-	-	1,013	2,329	25	2	6,115
2015	-	-	-	321	<1	-	-	172	<1	<1	-	7	2	<1	-	1,367	1,568	30	2	4,495
2016	<1	-	-	730	-	-	-	108	<1	<1	<1	100	<1	1	-	506	1,328	23	9	3,238
2017	-	-	-	301	-	-	-	126	<1	<1	-	62	1	-	-	1,532	1,946	36	1	5,304
2018	-	-	-	260	-	-	-	125	<1	-	-	1	-	-	-	222	1,816	9	6	6,003
2019	-	-	-	338	-	-	-	81	<1	-	-	26	<1	<1	<1	272	1,455	41	1	3,753
2020	-	-	-	288	-	-	-	70	<1	-	-	213	<1	<1	<1	462	953	9	<1	4,533
2021	-	-	-	277	-	-	-	50	<1	<1	-	<1	<1	<1	-	1,153	2,432	19	1	3,553
2022	-	-	-	*	<1	-	-	*	<1	<1	-	*	<1	-	-	*	2,560	19	3	*
Total	<1	-	-	5,901	<1	<1	-	1,427	57	298	<1	628	75	24	13	28,776	53,765	2,198	105	221,433

Table L-6b. Minimum number of interactions and mortalities of large fishes in 2021 reported by observers onboard longline vessels under the current mandate of at least 5% coverage (C-19-08) of each CPC fleet operating in the eastern Pacific Ocean. Data are incomplete as some CPCs suspended their observer programs due to the COVID-19 pandemic and data are insufficient for expanding to fleet totals (BYC-10 INF-D) (see section 2.2 for uncertainty and data gaps associated with longline data reporting). Dispositions considered to indicate a survival event are those reported by observers as “Alive and Healthy”, “Alive with light injuries” and “Alive”, while those considered to indicate a mortality event are dispositions reported as “Dead”, “Alive mortal”, “Alive injured”, “Discarded”, “Unknown”, or where disposition was not reported.

Tabla L-6b. Número mínimo de interacciones y mortalidades de peces grandes en 2021 reportadas por observadores a bordo de buques palangreros bajo el mandato actual de al menos 5% de cobertura (C-19-08) de cada flota de los CPC que opera en el Océano Pacífico oriental. Los datos se consideran incompletos ya que algunos CPC suspendieron sus programas de observadores debido a la pandemia de COVID-19 y los datos son insuficientes para expandirlos a totales de la flota (BYC-10 INF-D) (ver Sección 2.2. para consultar información sobre la incertidumbre y las deficiencias de los datos asociadas a la notificación de datos de palangre). Las disposiciones que se considera que indican un evento de supervivencia son las reportadas por los observadores como "Vivo y sano", "Vivo con heridas leves" y "Vivo", mientras que las que se considera que indican un evento de mortalidad son las disposiciones reportadas como "Muerto", "Vivo, mortalidad probable", "Vivo herido", "Descartado", "Desconocida" o cuando la disposición no fue reportada.

Taxones de peces grandes	Interacciones	Mortalidades
Lanzón picudo, <i>Alepisaurus ferox</i>	11,309	11,309
Escolar negro, <i>Lepidocybium flavobrunneum</i>	6,007	6,002
Sierra, <i>Gempylus serpens</i>	3,050	3,031
Peto, <i>Acanthocybium solandri</i>	2,717	2,717
Opa, <i>Lampris guttatus</i>	2,394	2,393
Dorado, nep, Coryphaenidae	2,306	2,306
Tristón segador, <i>Taractichthys steindachneri</i>	1,272	1,272
Dorado común, <i>Coryphaena hippurus</i>	602	601
Japutas, nep, Bramidae	571	570
Escolar clavo, <i>Ruvettus pretiosus</i>	407	402
Caballas, nep, Scombridae	122	122
Dorado pompano, <i>Coryphaena equiselis</i>	117	117
Pez sol, mola mola, <i>Mola mola</i>	44	43
Picuda barracuda, <i>Sphyraena barracuda</i>	40	40
Barracudas nep, <i>Sphyraena</i> spp.	23	23
Tristón áspero, <i>Taractes asper</i>	10	4
Otros peces grandes*	40	40
Números totales	31,031	30,992

*"Otros peces grandes" incluye aquéllos con <10 interacciones de 15 taxones en 2021.

Table L-7. Estimated purse-seine catches by set type in metric tons (t) of small forage fishes by observers onboard size-class 6 vessels with a carrying capacity >363 t (1993–2022) and minimum reported longline (LL) catches of small forage fishes (gross-annual removals in t) (1993–2021, *data not available, see section 2.2. for uncertainty and data gaps in reporting of bycatch caught by longline). Purse-seine set types: floating object (OBJ), unassociated tuna schools (NOA) and dolphins (DEL). Species highlighted bold are discussed in main text. Data for 2021 (longline) and 2022 (purse seine) are considered preliminary. “Epipelagic forage fishes” include various mackerels and scad (*Decapterus* spp., *Trachurus* spp., *Selar crumenophthalmus*), Pacific saury (*Cololabis saira*), and tropical two-wing flyingfish (*Exocoetus volitans*).

Tabla L-7. Capturas cerqueras estimadas de peces forrajeros pequeños, por tipo de lance, en toneladas (t), por observadores a bordo de buques de clase 6 con una capacidad de acarreo >363 t (1993–2022) y capturas palangreras (LL) mínimas reportadas de peces forrajeros pequeños (extracciones anuales brutas en t) (1993-2021, *datos no disponibles; ver Sección 2.2. para consultar información sobre la incertidumbre y las deficiencias de los datos en la notificación de especies capturadas incidentalmente con palangre). Tipos de lances cerqueros: objeto flotante (OBJ), atunes no asociados (NOA) y delfines (DEL). Las especies en negritas se discuten en el texto principal. Los datos de 2021 (palangre) y 2022 (cerco) se consideran preliminares. “Peces epipelágicos de forraje” incluyen varias caballas y jureles (*Decapterus* spp., *Trachurus* spp., *Selar crumenophthalmus*), paparda del Pacífico (*Cololabis saira*), y volador tropical (*Exocoetus volitans*).

Año	Auxis spp., melvas				Balistidae, Monacanthidae spp., peces ballesta y ca- chúas				Kyphosidae, chopas				Peces epipelágicos de fo- rraje				Carangidae spp. pequeños, carángidos, nep				Otros peces pequeños			
	Cercos		DEL	LL	Cercos		DEL	LL	Cercos		DEL	LL	Cercos		DEL	LL	Cercos		DEL	LL	Cercos		DEL	LL
OBJ	NOA	OBJ			NOA	OBJ			NOA	OBJ			NOA	OBJ			NOA	OBJ			NOA	OBJ		
1993	1,832	142	2	-	261	<1	-	-	-	-	-	-	-	-	-	-	-	-	-	-	182	3	4	-
1994	294	200	2	-	114	<1	<1	-	<1	-	-	-	-	-	-	-	<1	-	-	-	53	15	2	-
1995	501	119	6	-	208	4	<1	-	<1	-	-	-	-	-	-	-	<1	-	-	-	319	4	4	-
1996	761	234	33	-	113	2	<1	-	-	-	-	-	-	-	-	-	-	<1	-	-	55	8	25	-
1997	2,734	623	25	-	219	<1	<1	-	-	-	-	-	-	-	-	-	<1	-	-	-	151	12	2	-
1998	1,033	168	32	-	801	2	1	-	<1	-	-	-	<1	-	-	-	<1	-	-	-	91	15	3	-
1999	2,589	473	29	-	551	3	<1	-	<1	<1	-	-	<1	-	-	-	<1	<1	-	-	85	3	2	-
2000	1,210	181	19	-	168	<1	9	-	2	-	-	-	-	-	-	-	<1	-	-	-	68	8	6	-
2001	641	38	-	-	426	1	-	-	<1	-	-	-	-	-	-	-	<1	-	-	-	27	2	<1	-
2002	1,382	234	248	-	453	<1	-	-	<1	-	-	-	-	-	-	-	<1	-	-	-	25	3	<1	-
2003	944	278	16	-	157	4	<1	-	<1	-	-	-	<1	-	-	-	<1	-	-	-	75	1	1	-
2004	834	115	24	-	914	7	2	-	8	<1	<1	-	<1	<1	-	-	<1	<1	-	-	22	1	<1	-
2005	1,606	309	6	-	129	<1	<1	-	23	<1	<1	-	6	<1	<1	-	2	<1	<1	-	<1	9	<1	-
2006	1,300	591	19	-	145	<1	<1	-	79	<1	<1	-	7	1	-	-	2	<1	<1	-	5	1	<1	-
2007	868	336	18	-	544	1	<1	-	12	<1	<1	-	2	5	-	-	<1	<1	<1	-	4	<1	<1	-
2008	759	619	2	-	276	7	2	-	68	<1	<1	-	3	<1	-	-	10	<1	-	-	2	<1	<1	-
2009	303	165	1	-	174	1	<1	-	47	<1	-	-	<1	<1	-	-	<1	<1	<1	-	1	<1	<1	-
2010	474	234	<1	-	69	<1	<1	-	16	-	<1	-	4	<1	<1	-	1	<1	-	-	<1	-	<1	-
2011	677	97	11	-	31	<1	-	-	48	<1	-	-	2	<1	<1	-	<1	<1	-	-	<1	<1	<1	-
2012	173	179	1	-	110	<1	-	-	39	-	-	-	13	12	-	-	<1	<1	-	-	4	2	-	-
2013	385	77	-	-	228	<1	<1	-	18	-	<1	-	4	-	<1	-	<1	4	<1	-	2	<1	<1	-
2014	297	30	<1	-	325	<1	<1	-	16	-	-	-	3	<1	<1	-	<1	<1	-	-	1	<1	<1	-
2015	177	64	-	-	140	4	<1	-	5	-	<1	-	6	-	-	-	<1	<1	-	-	1	<1	<1	-
2016	189	23	<1	-	416	2	<1	-	8	-	-	-	21	-	<1	<1	<1	<1	-	-	3	<1	<1	77
2017	131	172	-	-	83	<1	-	-	8	-	-	-	3	-	-	-	<1	<1	-	-	<1	<1	-	-
2018	276	172	-	-	54	<1	<1	-	10	-	-	-	5	<1	-	-	<1	-	-	-	<1	<1	<1	-
2019	182	94	<1	-	57	<1	<1	-	7	<1	<1	-	5	8	<1	-	<1	<1	-	-	<1	5	-	-
2020	435	44	<1	-	47	<1	<1	-	2	-	<1	-	4	<1	-	<1	<1	<1	-	<1	<1	<1	<1	<1
2021	423	18	-	-	50	<1	-	-	6	-	<1	-	15	-	-	-	<1	<1	-	-	<1	1	<1	<1
2022	682	17	<1	*	543	2	<1	*	21	1	-	*	15	-	<1	*	<1	<1	-	*	1	3	<1	*
Total	24,092	6,046	496	-	7,804	48	16	-	445	2	<1	-	118	28	<1	<1	23	6	<1	<1	1,184	100	51	78

Table L-8a. Minimum nominal purse-seine catches of a) sharks, large fishes and small fishes in metric tons (t) and b) rays in numbers of individuals in 2022 for size-class 1–5 vessels with a carrying capacity <363 t as reported by observers in 34% of all trips that carried an observer. Purse-seine set types: floating object (OBJ) and unassociated tuna schools (NOA).

Tabla L-8a. Capturas cerqueras nominales mínimas de a) tiburones, peces grandes y peces pequeños, en toneladas (t), y b) rayas en número de individuos en 2022 para buques de clases 1-5 con una capacidad de acarreo <363 t según lo reportado por los observadores en el 34% de todos los viajes que llevaban observador a bordo. Tipo de lances cerqueros: objeto flotante (OBJ) y atunes no asociados (NOA).

a.

Grupo taxonómico	Nombre común	Nombre científico	Tipo de lance	
			OBJ	NOA
Tiburones	Tiburón sedoso	<i>Carcharhinus falciformis</i>	29	<1
	Tiburón oceánico punta blanca	<i>Carcharhinus longimanus</i>	<1	-
	Tiburón azul	<i>Prionace glauca</i>	<1	-
	Otros Carcharhinidae spp.	Carcharhinidae spp.	<1	-
	Cornuda común	<i>Sphyrna lewini</i>	4	-
	Cornuda cruz	<i>Sphyrna zygaena</i>	2	-
	Cornuda gigante	<i>Sphyrna mokarran</i>	<1	-
	Zorro pelágico	<i>Alopias pelagicus</i>	<1	-
	Zorro ojón	<i>Alopias superciliosus</i>	<1	-
	Marrajos	<i>Isurus spp.</i>	<1	-
Peces grandes	Dorado	Coryphaenidae spp.	289	<1
	Peto	<i>Acanthocybium solandri</i>	26	<1
	Macarela salmón	<i>Elagatis bipinnulata</i>	2	-
	Medregales, nep	Seriola spp.	2	-
	Jureles, pámpanos, nep	Caranx spp.	<1	-
	Medregales, jureles, pámpanos, nep	Seriola, Caranx spp.	<1	-
	Dormilona	Lobotes surinamensis	2	-
	Molas, nep	Molidae spp.	<1	-
Otros peces grandes		<1	-	
Peces pequeños	Melvas	<i>Auxis spp.</i>	128	-
	Peces ballesta y cachúas	Balistidae, Monacanthidae spp.	84	<1
	Chopas	Kyphosidae spp.	3	-
	Carángidos pequeños, nep	Carangidae spp.	<1	-
	Peces epipelágicos de forraje		<1	-

b.

Grupo taxonómico	Nombre común	Nombre científico	Tipo de lance	
			OBJ	NOA
Rayas	Raya pelágica	<i>Pteroplatytrygon violacea</i>	36	5
	Manta mobula	<i>Mobula mobular</i>	18	8
	Manta diablo	<i>Mobula thurstoni</i>	11	-
	Rayas mobulidae, nep	Mobulidae spp.	10	-
	Manta gigante	<i>Mobula birostris</i>	8	-
	Manta cornuda	<i>Mobula tarapacana</i>	7	-
	Rayas, nep	Dasyatidae spp.	3	-